



**VYSOKÉ UČENÍ TECHNICKÉ V BRNĚ**

BRNO UNIVERSITY OF TECHNOLOGY

**FAKULTA STAVEBNÍ**

FACULTY OF CIVIL ENGINEERING

**ÚSTAV KOVOVÝCH A DŘEVĚNÝCH KONSTRUKCÍ**

INSTITUTE OF METAL AND TIMBER STRUCTURES

**P2 - STATICKÝ VÝPOČET VARIANTY B**

**DIPLOMOVÁ PRÁCE**

DIPLOMA THESIS

**AUTOR PRÁCE**

AUTHOR

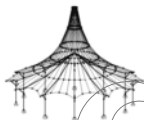
**Bc. Ondřej Komárek**

**VEDOUCÍ PRÁCE**

SUPERVISOR

**Ing. JAN BARNAT, Ph.D.**

**BRNO 2019**



Projekt:

Model: Varianta B

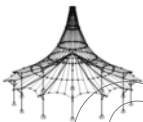
Datum: 08.01.2019

## OBSAH

Obrázek	Model - základní údaje	1	2.2	Posouzení po průřezech	65
1	Model	2		<b>PR6 - Vodorovný ztužující nosník</b>	
1.3	Materiály	3	1.2	Materiály	65
1.7	Uzlové podpory	3	1.3	Průřezy	65
1.13	Průřezy	3	2.1	Posouzení po zatěžovacích stavech	65
2	<b>Zatěžovací stavy a kombinace</b>		2.2	Posouzení po průřezech	68
2.1	Zatěžovací stavy	3		<b>PR7 - Schodnice</b>	
2.1.1	Zatěžovací stavy - parametry výpočtu	3	1.2	Materiály	69
2.2	Účinky	4	1.3	Průřezy	69
2.3	Kombinační pravidla	4	2.1	Posouzení po zatěžovacích stavech	69
2.5	Kombinace zatížení	5	2.2	Posouzení po průřezech	71
2.5.2	Kombinace zatížení - parametry výpočtu	17		<b>PR8 - Nosník schodnice</b>	
	<b>RF-STEEL EC3</b>		1.2	Materiály	72
	<b>PR1 - Sloup</b>		1.3	Průřezy	72
1.2	Materiály	47	2.1	Posouzení po zatěžovacích stavech	72
1.3	Průřezy	47	2.2	Posouzení po průřezech	75
2.1	Posouzení po zatěžovacích stavech	47		<b>PR9 - Vzpěra nosníku schodnice</b>	
2.2	Posouzení po průřezech	50	1.2	Materiály	75
	<b>PR2 - Nosník střešního pláště</b>		1.3	Průřezy	75
1.2	Materiály	50	2.1	Posouzení po zatěžovacích stavech	75
1.3	Průřezy	50	2.2	Posouzení po průřezech	78
2.1	Posouzení po zatěžovacích stavech	51		<b>PR10 - Prut spojující střední trubku a plášť</b>	
2.2	Posouzení po průřezech	54	1.2	Materiály	79
	<b>PR3 - Rošt střešního pláště</b>		1.3	Průřezy	79
1.2	Materiály	54	2.1	Posouzení po zatěžovacích stavech	79
1.3	Průřezy	54	2.2	Posouzení po průřezech	82
2.1	Posouzení po zatěžovacích stavech	54		<b>PR11 - Schodišťová trubka</b>	
2.2	Posouzení po průřezech	57	1.2	Materiály	82
	<b>PR4 - Nosník vyhlídkové plošiny</b>		1.3	Průřezy	82
1.2	Materiály	58	2.1	Posouzení po zatěžovacích stavech	83
1.3	Průřezy	58	2.2	Posouzení po průřezech	86
2.1	Posouzení po zatěžovacích stavech	58		<b>PR12 - Ztužidla</b>	
2.2	Posouzení po průřezech	61	1.2	Materiály	86
	<b>PR5 - Rošt vyhlídkové plošiny</b>		1.3	Průřezy	86
1.2	Materiály	61	2.1	Posouzení po zatěžovacích stavech	86
1.3	Průřezy	62	2.2	Posouzení po průřezech	88
2.1	Posouzení po zatěžovacích stavech	62			

## MODEL - ZÁKLADNÍ ÚDAJE

Obecné	Název modelu	:	Varianta B
	Typ modelu	:	3D
	Kladný směr globální osy Z	:	Dolů
	Klasifikace zatěžovacích stavů a kombinací	:	Podle normy: EN 1990 Národní příloha: ČSN - Česká Republika
	<input checked="" type="checkbox"/> Automaticky vytvořit kombinace	:	<input checked="" type="checkbox"/> Kombinace zatížení



Projekt:

Model: Varianta B

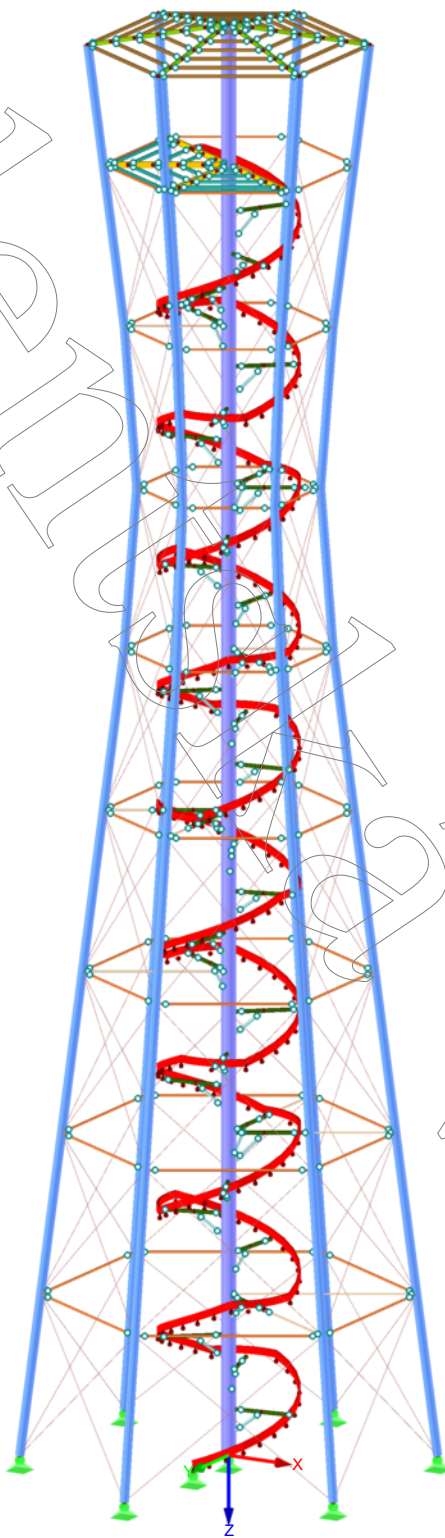
Datum:

08.01.2019

■ MODEL

ZS 1: Vlastní tíha

Izometrie



Projekt:

Model: Varianta B

Datum: 08.01.2019

### 1.3 MATERIÁLY

Mat. č.	Modul E [MPa]	Modul G [MPa]	Poissonův souč. $\nu$ [-]	Objem. tíha $\gamma$ [kN/m <sup>3</sup> ]	Souč. tepl. roz. $\alpha$ [1/°C]	Souč. spolehlivosti $\gamma_M$ [-]	Materiálový model
1	Ocel S 355   DIN EN 1993-1-1:2010-12 210000.000 Baustahl S 235	81000.000	0.296	78.50	1.20E-05	1.00	Izotropní lineárně elastický

### 1.7 UZLOVÉ PODPORY

Podpora č.	Uzly č.	Osový systém	Sloup v Z	Podepření resp. vetknutí					
				$u_x$	$u_y$	$u_z$	$\phi_x$	$\phi_y$	$\phi_z$
1	49,108,109,111,113,115,117,119	Globální X,Y,Z	<input type="checkbox"/>	<input checked="" type="checkbox"/>	<input checked="" type="checkbox"/>	<input checked="" type="checkbox"/>	<input type="checkbox"/>	<input type="checkbox"/>	<input checked="" type="checkbox"/>

### 1.13 PRŮŘEZY

Průřez č.	Mater. č.	$I_y$ [mm <sup>4</sup> ]	$I_y$ [mm <sup>4</sup> ]	$I_z$ [mm <sup>4</sup> ]	Hlavní osy $\alpha$ [°]	Natočení $\alpha'$ [°]	Celkové rozměry [mm]	
		A [mm <sup>2</sup> ]	$A_y$ [mm <sup>2</sup> ]	$A_z$ [mm <sup>2</sup> ]			Šířka b	Výška h
1	RO 219.1x8 (za studena)	59190000.0 5310.0	29600000.0 2632.7	29600000.0 2632.7	0.00	0.00	219.1	219.1
2	IPE 140   Feroná - DIN 1025-5:1994	24500.0 1640.0	5410000.0 844.6	449000.0 598.8	0.00	0.00	73.0	140.0
3	Tyč 12	2035.8 113.1	1017.9 95.0	1017.9 95.0	0.00	0.00	12.0	12.0
4	IPE 100   Feroná - DIN 1025-5:1994	12100.0 1030.0	1710000.0 527.0	159000.0 368.7	0.00	0.00	55.0	100.0
5	TO 180/60/5/5/5	4047020.0 2300.0	8689167.0 296.3	1469166.7 1626.7	0.00	0.00	60.0	180.0
6	RO 355.6x10 (za studena)	324500000.0 10900.0	162200000.0 5385.4	162200000.0 5385.4	0.00	0.00	355.6	355.6
7	IPE 80	7000.0 764.0	801400.0 402.8	84900.0 269.5	0.00	0.00	46.0	80.0
8	RO 101.6x5 (za studena)	3550000.0 1520.0	1770000.0 753.6	1770000.0 753.6	0.00	0.00	101.6	101.6
9	RO 48.3x4 (za studena)	275000.0 557.0	138000.0 277.5	138000.0 277.5	0.00	0.00	48.3	48.3
10	RO 76.1x4 (za studena)	1180000.0 906.0	591000.0 450.1	591000.0 450.1	0.00	0.00	76.1	76.1
11	RO 60.3x5 (za studena)	670000.0 869.0	335000.0 433.0	335000.0 433.0	0.00	0.00	60.3	60.3
12	IPE 80   Feroná - DIN 1025-5:1994	7000.0 764.0	801000.0 402.8	84900.0 269.5	0.00	0.00	46.0	80.0

### 2.1 ZATĚŽOVACÍ STAVY

Zatěž. stav	Označení zatěž. stavu	EN 1990   ČSN Kategorie účinků	Vlastní tíha - Součinitel ve směru			
			Aktivní	X	Y	Z
ZS1	Vlastní tíha	Stálé	<input checked="" type="checkbox"/>	0.000	0.000	1.000
ZS2	Ostatní stálé	Stálé	<input checked="" type="checkbox"/>			
ZS3	Užitné plné	Užitná zatížení - kategorie C: shromažďovací plochy	<input checked="" type="checkbox"/>			
ZS4	Užitné poloviční1	Užitná zatížení - kategorie C: shromažďovací plochy	<input type="checkbox"/>			
ZS5	Užitné poloviční2	Užitná zatížení - kategorie C: shromažďovací plochy	<input type="checkbox"/>			
ZS6	Sníh plný	Sníh (H ≤ 1000 m n.m.)	<input type="checkbox"/>			
ZS7	Sníh poloviční 1	Sníh (H ≤ 1000 m n.m.)	<input type="checkbox"/>			
ZS8	Sníh poloviční 2	Sníh (H ≤ 1000 m n.m.)	<input type="checkbox"/>			
ZS9	Vítr ve směru X + tlak na přístřešek	Vítr	<input type="checkbox"/>			
ZS10	Vítr ve směru X + sání na přístřešek	Vítr	<input type="checkbox"/>			

#### 2.1.1 ZATĚŽOVACÍ STAVY - PARAMETRY VÝPOČTU

Zatěž. stav	Označení zatěž. stavu	Parametry výpočtu	
ZS1	Vlastní tíha	Způsob výpočtu	: <input checked="" type="radio"/> Teorie I. řádu (geometricky lineární výpočet)
		Metoda pro řešení systému nelineárních algebraických rovnic	: <input checked="" type="radio"/> Newton-Raphson
		Aktivovat součinitele tuhosti:	: <input checked="" type="checkbox"/> Průřezy (součinitel pro J, I <sub>y</sub> , I <sub>z</sub> , A, A <sub>y</sub> , A <sub>z</sub> )

Projekt:

Model: Varianta B

Datum: 08.01.2019

## 2.1.1 ZATĚŽOVACÍ STAVY - PARAMETRY VÝPOČTU

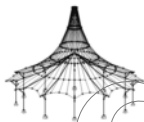
Zatěž. stav	Označení zatěž. stavu	Parametry výpočtu
ZS2	Ostatní stálé	Způsob výpočtu : <input checked="" type="checkbox"/> Pruty (faktor pro $G_j, E_{I_j}, E_{I_z}, EA, GA_y, GA_z$ ) : <input checked="" type="checkbox"/> Teorie I. řádu (geometricky lineární výpočet) : <input checked="" type="checkbox"/> Newton-Raphson Metoda pro řešení systému nelineárních algebraických rovnic : <input checked="" type="checkbox"/> Průřezy (součinitel pro $J, I_y, I_z, A, A_y, A_z$ ) Aktivovat součinitele tuhosti: : <input checked="" type="checkbox"/> Pruty (faktor pro $G_j, E_{I_j}, E_{I_z}, EA, GA_y, GA_z$ )
ZS3	Užitné plné	Způsob výpočtu : <input checked="" type="checkbox"/> Teorie I. řádu (geometricky lineární výpočet) : <input checked="" type="checkbox"/> Newton-Raphson Metoda pro řešení systému nelineárních algebraických rovnic : <input checked="" type="checkbox"/> Průřezy (součinitel pro $J, I_y, I_z, A, A_y, A_z$ ) Aktivovat součinitele tuhosti: : <input checked="" type="checkbox"/> Pruty (faktor pro $G_j, E_{I_j}, E_{I_z}, EA, GA_y, GA_z$ )
ZS4	Užitné poloviční1	Způsob výpočtu : <input checked="" type="checkbox"/> Teorie I. řádu (geometricky lineární výpočet) : <input checked="" type="checkbox"/> Newton-Raphson Metoda pro řešení systému nelineárních algebraických rovnic : <input checked="" type="checkbox"/> Průřezy (součinitel pro $J, I_y, I_z, A, A_y, A_z$ ) Aktivovat součinitele tuhosti: : <input checked="" type="checkbox"/> Pruty (faktor pro $G_j, E_{I_j}, E_{I_z}, EA, GA_y, GA_z$ )
ZS5	Užitné poloviční2	Způsob výpočtu : <input checked="" type="checkbox"/> Teorie I. řádu (geometricky lineární výpočet) : <input checked="" type="checkbox"/> Newton-Raphson Metoda pro řešení systému nelineárních algebraických rovnic : <input checked="" type="checkbox"/> Průřezy (součinitel pro $J, I_y, I_z, A, A_y, A_z$ ) Aktivovat součinitele tuhosti: : <input checked="" type="checkbox"/> Pruty (faktor pro $G_j, E_{I_j}, E_{I_z}, EA, GA_y, GA_z$ )
ZS6	Sníh plný	Způsob výpočtu : <input checked="" type="checkbox"/> Teorie I. řádu (geometricky lineární výpočet) : <input checked="" type="checkbox"/> Newton-Raphson Metoda pro řešení systému nelineárních algebraických rovnic : <input checked="" type="checkbox"/> Průřezy (součinitel pro $J, I_y, I_z, A, A_y, A_z$ ) Aktivovat součinitele tuhosti: : <input checked="" type="checkbox"/> Pruty (faktor pro $G_j, E_{I_j}, E_{I_z}, EA, GA_y, GA_z$ )
ZS7	Sníh poloviční 1	Způsob výpočtu : <input checked="" type="checkbox"/> Teorie I. řádu (geometricky lineární výpočet) : <input checked="" type="checkbox"/> Newton-Raphson Metoda pro řešení systému nelineárních algebraických rovnic : <input checked="" type="checkbox"/> Průřezy (součinitel pro $J, I_y, I_z, A, A_y, A_z$ ) Aktivovat součinitele tuhosti: : <input checked="" type="checkbox"/> Pruty (faktor pro $G_j, E_{I_j}, E_{I_z}, EA, GA_y, GA_z$ )
ZS8	Sníh poloviční 2	Způsob výpočtu : <input checked="" type="checkbox"/> Teorie I. řádu (geometricky lineární výpočet) : <input checked="" type="checkbox"/> Newton-Raphson Metoda pro řešení systému nelineárních algebraických rovnic : <input checked="" type="checkbox"/> Průřezy (součinitel pro $J, I_y, I_z, A, A_y, A_z$ ) Aktivovat součinitele tuhosti: : <input checked="" type="checkbox"/> Pruty (faktor pro $G_j, E_{I_j}, E_{I_z}, EA, GA_y, GA_z$ )
ZS9	Vítr ve směru X + tlak na přístřešek	Způsob výpočtu : <input checked="" type="checkbox"/> Teorie I. řádu (geometricky lineární výpočet) : <input checked="" type="checkbox"/> Newton-Raphson Metoda pro řešení systému nelineárních algebraických rovnic : <input checked="" type="checkbox"/> Průřezy (součinitel pro $J, I_y, I_z, A, A_y, A_z$ ) Aktivovat součinitele tuhosti: : <input checked="" type="checkbox"/> Pruty (faktor pro $G_j, E_{I_j}, E_{I_z}, EA, GA_y, GA_z$ )
ZS10	Vítr ve směru X + sání na přístřešek	Způsob výpočtu : <input checked="" type="checkbox"/> Teorie I. řádu (geometricky lineární výpočet) : <input checked="" type="checkbox"/> Newton-Raphson Metoda pro řešení systému nelineárních algebraických rovnic : <input checked="" type="checkbox"/> Průřezy (součinitel pro $J, I_y, I_z, A, A_y, A_z$ ) Aktivovat součinitele tuhosti: : <input checked="" type="checkbox"/> Pruty (faktor pro $G_j, E_{I_j}, E_{I_z}, EA, GA_y, GA_z$ )

## 2.2 ÚČINKY

Účinek	Označení účinku	EN 1990   ČSN Kategorie účinku	Působící	Působící zatěžovací stavy
Ú1	Stálé	Stálé	Současné	ZS1 Vlastní tíha
Ú2	Užitná zatížení	Užitná zatížení - kategorie C: shromažďovací plochy	Alternativně	ZS2 Ostatní stálé
Ú3	Sníh	Sníh ( $H \leq 1000$ m n.m.)	Alternativně	ZS3 Užitné plné
Ú4	Vítr	Vítr	Alternativně	ZS4 Užitné poloviční1
				ZS5 Užitné poloviční2
				ZS7 Sníh poloviční 1
				ZS8 Sníh poloviční 2
				ZS6 Sníh plný
				ZS9 Vítr ve směru X + tlak na přístřešek
				ZS10 Vítr ve směru X + sání na přístřešek

## 2.3 KOMBINAČNÍ PRAVIDLA

Kombin. pravidlo	Označení	EN 1990   ČSN Návrhová situace	Nastavení
			Číslování generovaných kombinací : První číslo generované: 1 - Kombinace zatížení 1 - Výsledné kombinace <input checked="" type="checkbox"/> Dodatečně vytvořit kombinace výsledků Bud/Nebo (obálky výsledků) <input checked="" type="checkbox"/> Dodatečně vytvořit kombinaci výsledků Bud/Nebo pro každé kombinační pravidlo
KP1	Mezní stav únosnosti	MSÚ (STR/GEO) - stálá / přechodná - rovn. 6.10	Generované kombinace zatížení : Analýza podle II. řádu (P-Delta) Způsob výpočtu : Analýza podle II. řádu (P-Delta)
KP2	Použitelnost - charakteristická	MSP - charakteristická	Zohlednit : <input type="checkbox"/> Příznivá stálá zatížení



Projekt:

Model: Varianta B

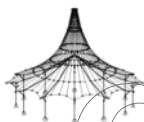
Datum: 08.01.2019

## 2.3 KOMBINAČNÍ PRAVIDLA

Kombin. pravidlo	Označení	EN 1990   ČSN Návrhová situace	Nastavení
			Číslování generovaných kombinací
			Výsledné kombinace
			Generované kombinace zatížení
			Způsob výpočtu
			První číslo generované: 1 - Kombinace zatížení 1 - Výsledné kombinace <input checked="" type="checkbox"/> Dodatečně vytvořit kombinace výsledků Bud/Nebo (obálky výsledků) <input checked="" type="checkbox"/> Dodatečně vytvořit kombinaci výsledků Bud/Nebo pro každé kombinační pravidlo
			: Analýza podle II. řádu (P-Delta)

## 2.5 KOMBINACE ZATÍŽENÍ

Kombin. zatížení	NS	Kombinace zatížení Označení	č.	Součinitel	Zatěžovací stav
KZ1	STR	1.35*ZS1 + 1.35*ZS2	1	1.35	ZS1
			2	1.35	ZS2
KZ2	STR	1.35*ZS1 + 1.35*ZS2 + 1.5*ZS3	1	1.35	ZS1
			2	1.35	ZS2
			3	1.50	ZS3
KZ3	STR	1.35*ZS1 + 1.35*ZS2 + 1.5*ZS4	1	1.35	ZS1
			2	1.35	ZS2
			3	1.50	ZS4
KZ4	STR	1.35*ZS1 + 1.35*ZS2 + 1.5*ZS5	1	1.35	ZS1
			2	1.35	ZS2
			3	1.50	ZS5
KZ5	STR	1.35*ZS1 + 1.35*ZS2 + 1.5*ZS3 + 0.75*ZS6	1	1.35	ZS1
			2	1.35	ZS2
			3	1.50	ZS3
			4	0.75	ZS6
KZ6	STR	1.35*ZS1 + 1.35*ZS2 + 1.5*ZS3 + 0.75*ZS7	1	1.35	ZS1
			2	1.35	ZS2
			3	1.50	ZS3
			4	0.75	ZS7
KZ7	STR	1.35*ZS1 + 1.35*ZS2 + 1.5*ZS3 + 0.75*ZS8	1	1.35	ZS1
			2	1.35	ZS2
			3	1.50	ZS3
			4	0.75	ZS8
KZ8	STR	1.35*ZS1 + 1.35*ZS2 + 1.5*ZS4 + 0.75*ZS6	1	1.35	ZS1
			2	1.35	ZS2
			3	1.50	ZS4
			4	0.75	ZS6
KZ9	STR	1.35*ZS1 + 1.35*ZS2 + 1.5*ZS4 + 0.75*ZS7	1	1.35	ZS1
			2	1.35	ZS2
			3	1.50	ZS4
			4	0.75	ZS7
KZ10	STR	1.35*ZS1 + 1.35*ZS2 + 1.5*ZS4 + 0.75*ZS8	1	1.35	ZS1
			2	1.35	ZS2
			3	1.50	ZS4
			4	0.75	ZS8
KZ11	STR	1.35*ZS1 + 1.35*ZS2 + 1.5*ZS5 + 0.75*ZS6	1	1.35	ZS1
			2	1.35	ZS2
			3	1.50	ZS5
			4	0.75	ZS6
KZ12	STR	1.35*ZS1 + 1.35*ZS2 + 1.5*ZS5 + 0.75*ZS7	1	1.35	ZS1
			2	1.35	ZS2
			3	1.50	ZS5
			4	0.75	ZS7
KZ13	STR	1.35*ZS1 + 1.35*ZS2 + 1.5*ZS5 + 0.75*ZS8	1	1.35	ZS1
			2	1.35	ZS2
			3	1.50	ZS5
			4	0.75	ZS8
KZ14	STR	1.35*ZS1 + 1.35*ZS2 + 1.5*ZS3 + 0.75*ZS6 + 0.9*ZS9	1	1.35	ZS1
			2	1.35	ZS2
			3	1.50	ZS3
			4	0.75	ZS6
			5	0.90	ZS9
KZ15	STR	1.35*ZS1 + 1.35*ZS2 + 1.5*ZS3 + 0.75*ZS6 + 0.9*ZS10	1	1.35	ZS1
			2	1.35	ZS2
			3	1.50	ZS3
			4	0.75	ZS6
			5	0.90	ZS10
KZ16	STR	1.35*ZS1 + 1.35*ZS2 + 1.5*ZS3 + 0.75*ZS7 + 0.9*ZS9	1	1.35	ZS1
			2	1.35	ZS2
			3	1.50	ZS3
			4	0.75	ZS7
			5	0.90	ZS9
KZ17	STR	1.35*ZS1 + 1.35*ZS2 + 1.5*ZS3 + 0.75*ZS7 + 0.9*ZS10	1	1.35	ZS1
			2	1.35	ZS2
			3	1.50	ZS3
			4	0.75	ZS7
			5	0.90	ZS10



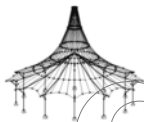
Projekt:

Model: Varianta B

Datum: 08.01.2019

## 2.5 KOMBINACE ZATÍŽENÍ

Kombin. zatížení	NS	Kombinace zatížení Označení	č.	Součinitel	Zatěžovací stav	
KZ18	STR	$1.35 \cdot ZS1 + 1.35 \cdot ZS2 + 1.5 \cdot ZS3 + 0.75 \cdot ZS8 + 0.9 \cdot ZS9$	1	1.35	ZS1	přístřešek Vlastní tíha
			2	1.35	ZS2	Ostatní stálé
			3	1.50	ZS3	Užitné plně
			4	0.75	ZS8	Sníh poloviční 2
			5	0.90	ZS9	Vítr ve směru X + tlak na přístřešek
KZ19	STR	$1.35 \cdot ZS1 + 1.35 \cdot ZS2 + 1.5 \cdot ZS3 + 0.75 \cdot ZS8 + 0.9 \cdot ZS10$	1	1.35	ZS1	Vlastní tíha
			2	1.35	ZS2	Ostatní stálé
			3	1.50	ZS3	Užitné plně
			4	0.75	ZS8	Sníh poloviční 2
			5	0.90	ZS10	Vítr ve směru X + sání na přístřešek
KZ20	STR	$1.35 \cdot ZS1 + 1.35 \cdot ZS2 + 1.5 \cdot ZS4 + 0.75 \cdot ZS6 + 0.9 \cdot ZS9$	1	1.35	ZS1	Vlastní tíha
			2	1.35	ZS2	Ostatní stálé
			3	1.50	ZS4	Užitné poloviční1
			4	0.75	ZS6	Sníh plný
			5	0.90	ZS9	Vítr ve směru X + tlak na přístřešek
KZ21	STR	$1.35 \cdot ZS1 + 1.35 \cdot ZS2 + 1.5 \cdot ZS4 + 0.75 \cdot ZS6 + 0.9 \cdot ZS10$	1	1.35	ZS1	Vlastní tíha
			2	1.35	ZS2	Ostatní stálé
			3	1.50	ZS4	Užitné poloviční1
			4	0.75	ZS6	Sníh plný
			5	0.90	ZS10	Vítr ve směru X + sání na přístřešek
KZ22	STR	$1.35 \cdot ZS1 + 1.35 \cdot ZS2 + 1.5 \cdot ZS4 + 0.75 \cdot ZS7 + 0.9 \cdot ZS9$	1	1.35	ZS1	Vlastní tíha
			2	1.35	ZS2	Ostatní stálé
			3	1.50	ZS4	Užitné poloviční1
			4	0.75	ZS7	Sníh poloviční 1
			5	0.90	ZS9	Vítr ve směru X + tlak na přístřešek
KZ23	STR	$1.35 \cdot ZS1 + 1.35 \cdot ZS2 + 1.5 \cdot ZS4 + 0.75 \cdot ZS7 + 0.9 \cdot ZS10$	1	1.35	ZS1	Vlastní tíha
			2	1.35	ZS2	Ostatní stálé
			3	1.50	ZS4	Užitné poloviční1
			4	0.75	ZS7	Sníh poloviční 1
			5	0.90	ZS10	Vítr ve směru X + sání na přístřešek
KZ24	STR	$1.35 \cdot ZS1 + 1.35 \cdot ZS2 + 1.5 \cdot ZS4 + 0.75 \cdot ZS8 + 0.9 \cdot ZS9$	1	1.35	ZS1	Vlastní tíha
			2	1.35	ZS2	Ostatní stálé
			3	1.50	ZS4	Užitné poloviční1
			4	0.75	ZS8	Sníh poloviční 2
			5	0.90	ZS9	Vítr ve směru X + tlak na přístřešek
KZ25	STR	$1.35 \cdot ZS1 + 1.35 \cdot ZS2 + 1.5 \cdot ZS4 + 0.75 \cdot ZS8 + 0.9 \cdot ZS10$	1	1.35	ZS1	Vlastní tíha
			2	1.35	ZS2	Ostatní stálé
			3	1.50	ZS4	Užitné poloviční1
			4	0.75	ZS8	Sníh poloviční 2
			5	0.90	ZS10	Vítr ve směru X + sání na přístřešek
KZ26	STR	$1.35 \cdot ZS1 + 1.35 \cdot ZS2 + 1.5 \cdot ZS5 + 0.75 \cdot ZS6 + 0.9 \cdot ZS9$	1	1.35	ZS1	Vlastní tíha
			2	1.35	ZS2	Ostatní stálé
			3	1.50	ZS5	Užitné poloviční2
			4	0.75	ZS6	Sníh plný
			5	0.90	ZS9	Vítr ve směru X + tlak na přístřešek
KZ27	STR	$1.35 \cdot ZS1 + 1.35 \cdot ZS2 + 1.5 \cdot ZS5 + 0.75 \cdot ZS6 + 0.9 \cdot ZS10$	1	1.35	ZS1	Vlastní tíha
			2	1.35	ZS2	Ostatní stálé
			3	1.50	ZS5	Užitné poloviční2
			4	0.75	ZS6	Sníh plný
			5	0.90	ZS10	Vítr ve směru X + sání na přístřešek
KZ28	STR	$1.35 \cdot ZS1 + 1.35 \cdot ZS2 + 1.5 \cdot ZS5 + 0.75 \cdot ZS7 + 0.9 \cdot ZS9$	1	1.35	ZS1	Vlastní tíha
			2	1.35	ZS2	Ostatní stálé
			3	1.50	ZS5	Užitné poloviční2
			4	0.75	ZS7	Sníh poloviční 1
			5	0.90	ZS9	Vítr ve směru X + tlak na přístřešek
KZ29	STR	$1.35 \cdot ZS1 + 1.35 \cdot ZS2 + 1.5 \cdot ZS5 + 0.75 \cdot ZS7 + 0.9 \cdot ZS10$	1	1.35	ZS1	Vlastní tíha
			2	1.35	ZS2	Ostatní stálé
			3	1.50	ZS5	Užitné poloviční2
			4	0.75	ZS7	Sníh poloviční 1
			5	0.90	ZS10	Vítr ve směru X + sání na přístřešek
KZ30	STR	$1.35 \cdot ZS1 + 1.35 \cdot ZS2 + 1.5 \cdot ZS5 + 0.75 \cdot ZS8 + 0.9 \cdot ZS9$	1	1.35	ZS1	Vlastní tíha
			2	1.35	ZS2	Ostatní stálé
			3	1.50	ZS5	Užitné poloviční2
			4	0.75	ZS8	Sníh poloviční 2
			5	0.90	ZS9	Vítr ve směru X + tlak na přístřešek
KZ31	STR	$1.35 \cdot ZS1 + 1.35 \cdot ZS2 + 1.5 \cdot ZS5 + 0.75 \cdot ZS8 + 0.9 \cdot ZS10$	1	1.35	ZS1	Vlastní tíha
			2	1.35	ZS2	Ostatní stálé
			3	1.50	ZS5	Užitné poloviční2
			4	0.75	ZS8	Sníh poloviční 2
			5	0.90	ZS9	Vítr ve směru X + tlak na přístřešek



Projekt:

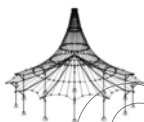
Model: Varianta B

Datum: 08.01.2019

## 2.5 KOMBINACE ZATÍŽENÍ

Kombin. zatížení	NS	Kombinace zatížení Označení	č.	Součinitel		Zatěžovací stav
KZ32	STR	1.35*ZS1 + 1.35*ZS2 + 1.5*ZS3 + 0.9*ZS9	2	1.35	ZS2	Ostatní stálé
			3	1.50	ZS5	Užitné poloviční2
			4	0.75	ZS8	Sníh poloviční 2
			5	0.90	ZS10	Vítr ve směru X + sání na přístřešek
			1	1.35	ZS1	Vlastní tíha
KZ33	STR	1.35*ZS1 + 1.35*ZS2 + 1.5*ZS3 + 0.9*ZS10	2	1.35	ZS2	Ostatní stálé
			3	1.50	ZS3	Užitné plné
			4	0.90	ZS9	Vítr ve směru X + tlak na přístřešek
			1	1.35	ZS1	Vlastní tíha
KZ34	STR	1.35*ZS1 + 1.35*ZS2 + 1.5*ZS4 + 0.9*ZS9	2	1.35	ZS2	Ostatní stálé
			3	1.50	ZS4	Užitné poloviční1
			4	0.90	ZS9	Vítr ve směru X + tlak na přístřešek
			1	1.35	ZS1	Vlastní tíha
KZ35	STR	1.35*ZS1 + 1.35*ZS2 + 1.5*ZS4 + 0.9*ZS10	2	1.35	ZS2	Ostatní stálé
			3	1.50	ZS4	Užitné poloviční1
			4	0.90	ZS10	Vítr ve směru X + sání na přístřešek
			1	1.35	ZS1	Vlastní tíha
KZ36	STR	1.35*ZS1 + 1.35*ZS2 + 1.5*ZS5 + 0.9*ZS9	2	1.35	ZS2	Ostatní stálé
			3	1.50	ZS5	Užitné poloviční2
			4	0.90	ZS9	Vítr ve směru X + tlak na přístřešek
			1	1.35	ZS1	Vlastní tíha
KZ37	STR	1.35*ZS1 + 1.35*ZS2 + 1.5*ZS5 + 0.9*ZS10	2	1.35	ZS2	Ostatní stálé
			3	1.50	ZS5	Užitné poloviční2
			4	0.90	ZS10	Vítr ve směru X + sání na přístřešek
			1	1.35	ZS1	Vlastní tíha
KZ38	STR	1.35*ZS1 + 1.35*ZS2 + 1.5*ZS6	2	1.35	ZS2	Ostatní stálé
			3	1.50	ZS6	Sníh plný
			1	1.35	ZS1	Vlastní tíha
KZ39	STR	1.35*ZS1 + 1.35*ZS2 + 1.5*ZS7	2	1.35	ZS2	Ostatní stálé
			3	1.50	ZS7	Sníh poloviční 1
			1	1.35	ZS1	Vlastní tíha
KZ40	STR	1.35*ZS1 + 1.35*ZS2 + 1.5*ZS8	2	1.35	ZS2	Ostatní stálé
			3	1.50	ZS8	Sníh poloviční 2
			1	1.35	ZS1	Vlastní tíha
KZ41	STR	1.35*ZS1 + 1.35*ZS2 + 1.05*ZS3 + 1.5*ZS6	2	1.35	ZS2	Ostatní stálé
			3	1.05	ZS3	Užitné plné
			4	1.50	ZS6	Sníh plný
			1	1.35	ZS1	Vlastní tíha
KZ42	STR	1.35*ZS1 + 1.35*ZS2 + 1.05*ZS3 + 1.5*ZS7	2	1.35	ZS2	Ostatní stálé
			3	1.05	ZS3	Užitné plné
			4	1.50	ZS7	Sníh poloviční 1
			1	1.35	ZS1	Vlastní tíha
KZ43	STR	1.35*ZS1 + 1.35*ZS2 + 1.05*ZS3 + 1.5*ZS8	2	1.35	ZS2	Ostatní stálé
			3	1.05	ZS3	Užitné plné
			4	1.50	ZS8	Sníh poloviční 2
			1	1.35	ZS1	Vlastní tíha
KZ44	STR	1.35*ZS1 + 1.35*ZS2 + 1.05*ZS4 + 1.5*ZS6	2	1.35	ZS2	Ostatní stálé
			3	1.05	ZS4	Užitné poloviční1
			4	1.50	ZS6	Sníh plný
			1	1.35	ZS1	Vlastní tíha
KZ45	STR	1.35*ZS1 + 1.35*ZS2 + 1.05*ZS4 + 1.5*ZS7	2	1.35	ZS2	Ostatní stálé
			3	1.05	ZS4	Užitné poloviční1
			4	1.50	ZS7	Sníh poloviční 1
			1	1.35	ZS1	Vlastní tíha
KZ46	STR	1.35*ZS1 + 1.35*ZS2 + 1.05*ZS4 + 1.5*ZS8	2	1.35	ZS2	Ostatní stálé
			3	1.05	ZS4	Užitné poloviční1
			4	1.50	ZS8	Sníh poloviční 2
			1	1.35	ZS1	Vlastní tíha
KZ47	STR	1.35*ZS1 + 1.35*ZS2 + 1.05*ZS5 + 1.5*ZS6	2	1.35	ZS2	Ostatní stálé
			3	1.05	ZS5	Užitné poloviční2
			4	1.50	ZS6	Sníh plný
			1	1.35	ZS1	Vlastní tíha
KZ48	STR	1.35*ZS1 + 1.35*ZS2 + 1.05*ZS5 + 1.5*ZS7	2	1.35	ZS2	Ostatní stálé
			3	1.05	ZS5	Užitné poloviční2
			4	1.50	ZS7	Sníh poloviční 1
			1	1.35	ZS1	Vlastní tíha
KZ49	STR	1.35*ZS1 + 1.35*ZS2 + 1.05*ZS5 + 1.5*ZS8	2	1.35	ZS2	Ostatní stálé
			3	1.05	ZS5	Užitné poloviční2
			4	1.50	ZS8	Sníh poloviční 2
			1	1.35	ZS1	Vlastní tíha
KZ50	STR	1.35*ZS1 + 1.35*ZS2 + 1.05*ZS3 + 1.5*ZS6 + 0.9*ZS9	2	1.35	ZS2	Ostatní stálé
			3	1.05	ZS3	Užitné plné
			4	1.50	ZS6	Sníh plný
			5	0.90	ZS9	Vítr ve směru X + tlak na přístřešek
			1	1.35	ZS1	Vlastní tíha
KZ51	STR	1.35*ZS1 + 1.35*ZS2 + 1.05*ZS3 + 1.5*ZS6 + 0.9*ZS10	2	1.35	ZS2	Ostatní stálé
			3	1.05	ZS3	Užitné plné
			4	1.50	ZS6	Sníh plný
			5	0.90	ZS10	Vítr ve směru X + sání na přístřešek
			1	1.35	ZS1	Vlastní tíha





Projekt:

Model: Varianta B

Datum: 08.01.2019

## 2.5 KOMBINACE ZATÍŽENÍ

Kombin. zatížení	NS	Kombinace zatížení	č.	Součinitel	Zatěžovací stav	
KZ52	STR	1.35*ZS1 + 1.35*ZS2 + 1.05*ZS3 + 1.5*ZS7 + 0.9*ZS9	1	1.35	ZS1	Vlastní tíha
			2	1.35	ZS2	Ostatní stálé
			3	1.05	ZS3	Užitné plné
			4	1.50	ZS7	Sníh poloviční 1
			5	0.90	ZS9	Vítr ve směru X + tlak na přístřešek
KZ53	STR	1.35*ZS1 + 1.35*ZS2 + 1.05*ZS3 + 1.5*ZS7 + 0.9*ZS10	1	1.35	ZS1	Vlastní tíha
			2	1.35	ZS2	Ostatní stálé
			3	1.05	ZS3	Užitné plné
			4	1.50	ZS7	Sníh poloviční 1
			5	0.90	ZS10	Vítr ve směru X + sání na přístřešek
KZ54	STR	1.35*ZS1 + 1.35*ZS2 + 1.05*ZS3 + 1.5*ZS8 + 0.9*ZS9	1	1.35	ZS1	Vlastní tíha
			2	1.35	ZS2	Ostatní stálé
			3	1.05	ZS3	Užitné plné
			4	1.50	ZS8	Sníh poloviční 2
			5	0.90	ZS9	Vítr ve směru X + tlak na přístřešek
KZ55	STR	1.35*ZS1 + 1.35*ZS2 + 1.05*ZS3 + 1.5*ZS8 + 0.9*ZS10	1	1.35	ZS1	Vlastní tíha
			2	1.35	ZS2	Ostatní stálé
			3	1.05	ZS3	Užitné plné
			4	1.50	ZS8	Sníh poloviční 2
			5	0.90	ZS10	Vítr ve směru X + sání na přístřešek
KZ56	STR	1.35*ZS1 + 1.35*ZS2 + 1.05*ZS4 + 1.5*ZS6 + 0.9*ZS9	1	1.35	ZS1	Vlastní tíha
			2	1.35	ZS2	Ostatní stálé
			3	1.05	ZS4	Užitné poloviční1
			4	1.50	ZS6	Sníh plný
			5	0.90	ZS9	Vítr ve směru X + tlak na přístřešek
KZ57	STR	1.35*ZS1 + 1.35*ZS2 + 1.05*ZS4 + 1.5*ZS6 + 0.9*ZS10	1	1.35	ZS1	Vlastní tíha
			2	1.35	ZS2	Ostatní stálé
			3	1.05	ZS4	Užitné poloviční1
			4	1.50	ZS6	Sníh plný
			5	0.90	ZS10	Vítr ve směru X + sání na přístřešek
KZ58	STR	1.35*ZS1 + 1.35*ZS2 + 1.05*ZS4 + 1.5*ZS7 + 0.9*ZS9	1	1.35	ZS1	Vlastní tíha
			2	1.35	ZS2	Ostatní stálé
			3	1.05	ZS4	Užitné poloviční1
			4	1.50	ZS7	Sníh poloviční 1
			5	0.90	ZS9	Vítr ve směru X + tlak na přístřešek
KZ59	STR	1.35*ZS1 + 1.35*ZS2 + 1.05*ZS4 + 1.5*ZS7 + 0.9*ZS10	1	1.35	ZS1	Vlastní tíha
			2	1.35	ZS2	Ostatní stálé
			3	1.05	ZS4	Užitné poloviční1
			4	1.50	ZS7	Sníh poloviční 1
			5	0.90	ZS10	Vítr ve směru X + sání na přístřešek
KZ60	STR	1.35*ZS1 + 1.35*ZS2 + 1.05*ZS4 + 1.5*ZS8 + 0.9*ZS9	1	1.35	ZS1	Vlastní tíha
			2	1.35	ZS2	Ostatní stálé
			3	1.05	ZS4	Užitné poloviční1
			4	1.50	ZS8	Sníh poloviční 2
			5	0.90	ZS9	Vítr ve směru X + tlak na přístřešek
KZ61	STR	1.35*ZS1 + 1.35*ZS2 + 1.05*ZS4 + 1.5*ZS8 + 0.9*ZS10	1	1.35	ZS1	Vlastní tíha
			2	1.35	ZS2	Ostatní stálé
			3	1.05	ZS4	Užitné poloviční1
			4	1.50	ZS8	Sníh poloviční 2
			5	0.90	ZS10	Vítr ve směru X + sání na přístřešek
KZ62	STR	1.35*ZS1 + 1.35*ZS2 + 1.05*ZS5 + 1.5*ZS6 + 0.9*ZS9	1	1.35	ZS1	Vlastní tíha
			2	1.35	ZS2	Ostatní stálé
			3	1.05	ZS5	Užitné poloviční2
			4	1.50	ZS6	Sníh plný
			5	0.90	ZS9	Vítr ve směru X + tlak na přístřešek
KZ63	STR	1.35*ZS1 + 1.35*ZS2 + 1.05*ZS5 + 1.5*ZS6 + 0.9*ZS10	1	1.35	ZS1	Vlastní tíha
			2	1.35	ZS2	Ostatní stálé
			3	1.05	ZS5	Užitné poloviční2
			4	1.50	ZS6	Sníh plný
			5	0.90	ZS10	Vítr ve směru X + sání na přístřešek
KZ64	STR	1.35*ZS1 + 1.35*ZS2 + 1.05*ZS5 + 1.5*ZS7 + 0.9*ZS9	1	1.35	ZS1	Vlastní tíha
			2	1.35	ZS2	Ostatní stálé
			3	1.05	ZS5	Užitné poloviční2
			4	1.50	ZS7	Sníh poloviční 1
			5	0.90	ZS9	Vítr ve směru X + tlak na přístřešek
KZ65	STR	1.35*ZS1 + 1.35*ZS2 + 1.05*ZS5 + 1.5*ZS7 + 0.9*ZS10	1	1.35	ZS1	Vlastní tíha
			2	1.35	ZS2	Ostatní stálé



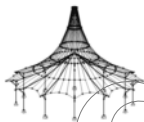
Projekt:

Model: Varianta B

Datum: 08.01.2019

## 2.5 KOMBINACE ZATÍŽENÍ

Kombin. zatížení	NS	Kombinace zatížení Označení	č.	Součinitel		Zatěžovací stav
KZ66	STR	1.35*ZS1 + 1.35*ZS2 + 1.05*ZS5 + 1.5*ZS8 + 0.9*ZS9	3	1.05	ZS5	Užitné poloviční2
			4	1.50	ZS7	Sníh poloviční 1
			5	0.90	ZS10	Vitr ve směru X + sání na přístřešek
			1	1.35	ZS1	Vlastní tíha
			2	1.35	ZS2	Ostatní stálé
KZ67	STR	1.35*ZS1 + 1.35*ZS2 + 1.05*ZS5 + 1.5*ZS8 + 0.9*ZS10	3	1.05	ZS5	Užitné poloviční2
			4	1.50	ZS8	Sníh poloviční 2
			5	0.90	ZS9	Vitr ve směru X + tlak na přístřešek
			1	1.35	ZS1	Vlastní tíha
			2	1.35	ZS2	Ostatní stálé
KZ68	STR	1.35*ZS1 + 1.35*ZS2 + 1.5*ZS6 + 0.9*ZS9	3	1.05	ZS5	Užitné poloviční2
			4	1.50	ZS8	Sníh poloviční 2
			5	0.90	ZS9	Vitr ve směru X + sání na přístřešek
			1	1.35	ZS1	Vlastní tíha
			2	1.35	ZS2	Ostatní stálé
KZ69	STR	1.35*ZS1 + 1.35*ZS2 + 1.5*ZS6 + 0.9*ZS10	3	1.50	ZS6	Sníh plný
			4	0.90	ZS9	Vitr ve směru X + tlak na přístřešek
			1	1.35	ZS1	Vlastní tíha
			2	1.35	ZS2	Ostatní stálé
			3	1.50	ZS6	Sníh plný
KZ70	STR	1.35*ZS1 + 1.35*ZS2 + 1.5*ZS7 + 0.9*ZS9	4	0.90	ZS10	Vitr ve směru X + sání na přístřešek
			1	1.35	ZS1	Vlastní tíha
			2	1.35	ZS2	Ostatní stálé
			3	1.50	ZS7	Sníh poloviční 1
			4	0.90	ZS9	Vitr ve směru X + tlak na přístřešek
KZ71	STR	1.35*ZS1 + 1.35*ZS2 + 1.5*ZS7 + 0.9*ZS10	1	1.35	ZS1	Vlastní tíha
			2	1.35	ZS2	Ostatní stálé
			3	1.50	ZS7	Sníh poloviční 1
			4	0.90	ZS10	Vitr ve směru X + sání na přístřešek
			1	1.35	ZS1	Vlastní tíha
KZ72	STR	1.35*ZS1 + 1.35*ZS2 + 1.5*ZS8 + 0.9*ZS9	2	1.35	ZS2	Ostatní stálé
			3	1.50	ZS8	Sníh poloviční 2
			4	0.90	ZS9	Vitr ve směru X + tlak na přístřešek
			1	1.35	ZS1	Vlastní tíha
			2	1.35	ZS2	Ostatní stálé
KZ73	STR	1.35*ZS1 + 1.35*ZS2 + 1.5*ZS8 + 0.9*ZS10	3	1.50	ZS8	Sníh poloviční 2
			4	0.90	ZS10	Vitr ve směru X + tlak na přístřešek
			1	1.35	ZS1	Vlastní tíha
			2	1.35	ZS2	Ostatní stálé
			3	1.50	ZS8	Sníh poloviční 2
KZ74	STR	1.35*ZS1 + 1.35*ZS2 + 1.5*ZS9	4	0.90	ZS9	Vitr ve směru X + sání na přístřešek
			1	1.35	ZS1	Vlastní tíha
			2	1.35	ZS2	Ostatní stálé
			3	1.50	ZS9	Vitr ve směru X + tlak na přístřešek
			1	1.35	ZS1	Vlastní tíha
KZ75	STR	1.35*ZS1 + 1.35*ZS2 + 1.5*ZS10	2	1.35	ZS2	Ostatní stálé
			3	1.50	ZS10	Vitr ve směru X + sání na přístřešek
			1	1.35	ZS1	Vlastní tíha
			2	1.35	ZS2	Ostatní stálé
			3	1.50	ZS10	Vitr ve směru X + sání na přístřešek
KZ76	STR	1.35*ZS1 + 1.35*ZS2 + 1.05*ZS3 + 1.5*ZS9	4	1.50	ZS9	Vitr ve směru X + tlak na přístřešek
			1	1.35	ZS1	Vlastní tíha
			2	1.35	ZS2	Ostatní stálé
			3	1.05	ZS3	Užitné plné
			4	1.50	ZS9	Vitr ve směru X + tlak na přístřešek
KZ77	STR	1.35*ZS1 + 1.35*ZS2 + 1.05*ZS3 + 1.5*ZS10	1	1.35	ZS1	Vlastní tíha
			2	1.35	ZS2	Ostatní stálé
			3	1.05	ZS3	Užitné plné
			4	1.50	ZS10	Vitr ve směru X + sání na přístřešek
			1	1.35	ZS1	Vlastní tíha
KZ78	STR	1.35*ZS1 + 1.35*ZS2 + 1.05*ZS4 + 1.5*ZS9	2	1.35	ZS2	Ostatní stálé
			3	1.05	ZS4	Užitné poloviční1
			4	1.50	ZS9	Vitr ve směru X + tlak na přístřešek
			1	1.35	ZS1	Vlastní tíha
			2	1.35	ZS2	Ostatní stálé
KZ79	STR	1.35*ZS1 + 1.35*ZS2 + 1.05*ZS4 + 1.5*ZS10	3	1.05	ZS4	Užitné poloviční1
			4	1.50	ZS10	Vitr ve směru X + sání na přístřešek
			1	1.35	ZS1	Vlastní tíha
			2	1.35	ZS2	Ostatní stálé
			3	1.05	ZS4	Užitné poloviční1
KZ80	STR	1.35*ZS1 + 1.35*ZS2 + 1.05*ZS5 + 1.5*ZS9	4	1.50	ZS9	Vitr ve směru X + tlak na přístřešek
			1	1.35	ZS1	Vlastní tíha
			2	1.35	ZS2	Ostatní stálé
			3	1.05	ZS5	Užitné poloviční2
			4	1.50	ZS9	Vitr ve směru X + tlak na přístřešek
KZ81	STR	1.35*ZS1 + 1.35*ZS2 + 1.05*ZS5 + 1.5*ZS10	1	1.35	ZS1	Vlastní tíha
			2	1.35	ZS2	Ostatní stálé
			3	1.05	ZS5	Užitné poloviční2
			4	1.50	ZS10	Vitr ve směru X + sání na přístřešek
			1	1.35	ZS1	Vlastní tíha
KZ82	STR	1.35*ZS1 + 1.35*ZS2 + 1.05*ZS3 + 0.75*ZS6 + 1.5*ZS9	2	1.35	ZS2	Ostatní stálé
			3	1.05	ZS3	Užitné plné
			4	0.75	ZS6	Sníh plný
			5	1.50	ZS9	Vitr ve směru X + tlak na přístřešek
			1	1.35	ZS1	Vlastní tíha
KZ83	STR	1.35*ZS1 + 1.35*ZS2 + 1.05*ZS3 + 0.75*ZS6 + 1	1	1.35	ZS1	Vlastní tíha



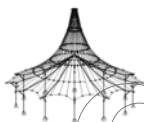
Projekt:

Model: Varianta B

Datum: 08.01.2019

## 2.5 KOMBINACE ZATÍŽENÍ

Kombin. zatížení	NS	Kombinace zatížení Označení	č.	Součinitel		Zatěžovací stav
KZ84	STR	1.5*ZS10	2	1.35	ZS2	Ostatní stálé
			3	1.05	ZS3	Užitné plné
			4	0.75	ZS6	Sníh plný
			5	1.50	ZS10	Vitr ve směru X + sání na přístřešek
						Vlastní tíha
KZ85	STR	1.35*ZS1 + 1.35*ZS2 + 1.05*ZS3 + 0.75*ZS7 + 1.5*ZS9	1	1.35	ZS1	Ostatní stálé
			2	1.35	ZS2	Užitné plné
			3	1.05	ZS3	Sníh poloviční 1
			4	0.75	ZS7	Vitr ve směru X + tlak na přístřešek
			5	1.50	ZS9	Vlastní tíha
KZ86	STR	1.35*ZS1 + 1.35*ZS2 + 1.05*ZS3 + 0.75*ZS7 + 1.5*ZS9	1	1.35	ZS1	Ostatní stálé
			2	1.35	ZS2	Užitné plné
			3	1.05	ZS3	Sníh poloviční 1
			4	0.75	ZS7	Vitr ve směru X + sání na přístřešek
			5	1.50	ZS9	Vlastní tíha
KZ87	STR	1.35*ZS1 + 1.35*ZS2 + 1.05*ZS3 + 0.75*ZS8 + 1.5*ZS9	1	1.35	ZS1	Ostatní stálé
			2	1.35	ZS2	Užitné plné
			3	1.05	ZS3	Sníh poloviční 1
			4	0.75	ZS8	Vitr ve směru X + sání na přístřešek
			5	1.50	ZS9	Vlastní tíha
KZ88	STR	1.35*ZS1 + 1.35*ZS2 + 1.05*ZS4 + 0.75*ZS6 + 1.5*ZS9	1	1.35	ZS1	Ostatní stálé
			2	1.35	ZS2	Užitné plné
			3	1.05	ZS3	Sníh poloviční 1
			4	0.75	ZS6	Vitr ve směru X + sání na přístřešek
			5	1.50	ZS9	Vlastní tíha
KZ89	STR	1.35*ZS1 + 1.35*ZS2 + 1.05*ZS4 + 0.75*ZS6 + 1.5*ZS10	1	1.35	ZS1	Ostatní stálé
			2	1.35	ZS2	Užitné plné
			3	1.05	ZS3	Sníh poloviční 1
			4	0.75	ZS6	Vitr ve směru X + sání na přístřešek
			5	1.50	ZS10	Vlastní tíha
KZ90	STR	1.35*ZS1 + 1.35*ZS2 + 1.05*ZS4 + 0.75*ZS7 + 1.5*ZS9	1	1.35	ZS1	Ostatní stálé
			2	1.35	ZS2	Užitné plné
			3	1.05	ZS3	Sníh poloviční 1
			4	0.75	ZS7	Vitr ve směru X + sání na přístřešek
			5	1.50	ZS9	Vlastní tíha
KZ91	STR	1.35*ZS1 + 1.35*ZS2 + 1.05*ZS4 + 0.75*ZS7 + 1.5*ZS10	1	1.35	ZS1	Ostatní stálé
			2	1.35	ZS2	Užitné plné
			3	1.05	ZS3	Sníh poloviční 1
			4	0.75	ZS7	Vitr ve směru X + sání na přístřešek
			5	1.50	ZS10	Vlastní tíha
KZ92	STR	1.35*ZS1 + 1.35*ZS2 + 1.05*ZS4 + 0.75*ZS8 + 1.5*ZS9	1	1.35	ZS1	Ostatní stálé
			2	1.35	ZS2	Užitné plné
			3	1.05	ZS3	Sníh poloviční 1
			4	0.75	ZS8	Vitr ve směru X + sání na přístřešek
			5	1.50	ZS9	Vlastní tíha
KZ93	STR	1.35*ZS1 + 1.35*ZS2 + 1.05*ZS4 + 0.75*ZS8 + 1.5*ZS10	1	1.35	ZS1	Ostatní stálé
			2	1.35	ZS2	Užitné plné
			3	1.05	ZS3	Sníh poloviční 1
			4	0.75	ZS8	Vitr ve směru X + sání na přístřešek
			5	1.50	ZS10	Vlastní tíha
KZ94	STR	1.35*ZS1 + 1.35*ZS2 + 1.05*ZS5 + 0.75*ZS6 + 1.5*ZS9	1	1.35	ZS1	Ostatní stálé
			2	1.35	ZS2	Užitné plné
			3	1.05	ZS3	Sníh poloviční 1
			4	0.75	ZS6	Vitr ve směru X + sání na přístřešek
			5	1.50	ZS9	Vlastní tíha
KZ95	STR	1.35*ZS1 + 1.35*ZS2 + 1.05*ZS5 + 0.75*ZS6 + 1.5*ZS10	1	1.35	ZS1	Ostatní stálé
			2	1.35	ZS2	Užitné plné
			3	1.05	ZS3	Sníh poloviční 1
			4	0.75	ZS6	Vitr ve směru X + sání na přístřešek
			5	1.50	ZS10	Vlastní tíha
KZ96	STR	1.35*ZS1 + 1.35*ZS2 + 1.05*ZS5 + 0.75*ZS7 + 1.5*ZS9	1	1.35	ZS1	Ostatní stálé
			2	1.35	ZS2	Užitné plné
			3	1.05	ZS3	Sníh poloviční 1



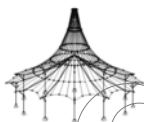
Projekt:

Model: Varianta B

Datum: 08.01.2019

## 2.5 KOMBINACE ZATÍŽENÍ

Kombin. zatížení	NS	Kombinace zatížení Označení	č.	Součinitel			Zatěžovací stav
KZ97	STR	1.35*ZS1 + 1.35*ZS2 + 1.05*ZS5 + 0.75*ZS7 + 1.5*ZS10	4	0.75	ZS7		Sníh poloviční 1
			5	1.50	ZS9		Vitr ve směru X + tlak na přístřešek
			1	1.35	ZS1		Vlastní tíha
			2	1.35	ZS2		Ostatní stálé
			3	1.05	ZS5		Užitné poloviční 2
KZ98	STR	1.35*ZS1 + 1.35*ZS2 + 1.05*ZS5 + 0.75*ZS8 + 1.5*ZS9	4	0.75	ZS7		Sníh poloviční 1
			5	1.50	ZS10		Vitr ve směru X + sání na přístřešek
			1	1.35	ZS1		Vlastní tíha
			2	1.35	ZS2		Ostatní stálé
			3	1.05	ZS5		Užitné poloviční 2
KZ99	STR	1.35*ZS1 + 1.35*ZS2 + 1.05*ZS5 + 0.75*ZS8 + 1.5*ZS10	4	0.75	ZS8		Sníh poloviční 2
			5	1.50	ZS9		Vitr ve směru X + tlak na přístřešek
			1	1.35	ZS1		Vlastní tíha
			2	1.35	ZS2		Ostatní stálé
			3	1.05	ZS5		Užitné poloviční 2
KZ100	STR	1.35*ZS1 + 1.35*ZS2 + 0.75*ZS6 + 1.5*ZS9	4	0.75	ZS8		Sníh poloviční 2
			5	1.50	ZS10		Vitr ve směru X + sání na přístřešek
			1	1.35	ZS1		Vlastní tíha
			2	1.35	ZS2		Ostatní stálé
			3	0.75	ZS6		Sníh plný
KZ101	STR	1.35*ZS1 + 1.35*ZS2 + 0.75*ZS6 + 1.5*ZS10	4	1.50	ZS9		Vitr ve směru X + tlak na přístřešek
			1	1.35	ZS1		Vlastní tíha
			2	1.35	ZS2		Ostatní stálé
			3	0.75	ZS6		Sníh plný
			4	1.50	ZS10		Vitr ve směru X + sání na přístřešek
KZ102	STR	1.35*ZS1 + 1.35*ZS2 + 0.75*ZS7 + 1.5*ZS9	1	1.35	ZS1		Vlastní tíha
			2	1.35	ZS2		Ostatní stálé
			3	0.75	ZS7		Sníh poloviční 1
			4	1.50	ZS9		Vitr ve směru X + tlak na přístřešek
			1	1.35	ZS1		Vlastní tíha
KZ103	STR	1.35*ZS1 + 1.35*ZS2 + 0.75*ZS7 + 1.5*ZS10	2	1.35	ZS2		Ostatní stálé
			3	0.75	ZS7		Sníh poloviční 1
			4	1.50	ZS10		Vitr ve směru X + sání na přístřešek
			1	1.35	ZS1		Vlastní tíha
			2	1.35	ZS2		Ostatní stálé
KZ104	STR	1.35*ZS1 + 1.35*ZS2 + 0.75*ZS8 + 1.5*ZS9	3	0.75	ZS8		Sníh poloviční 2
			4	1.50	ZS9		Vitr ve směru X + tlak na přístřešek
			1	1.35	ZS1		Vlastní tíha
			2	1.35	ZS2		Ostatní stálé
			3	0.75	ZS8		Sníh poloviční 2
KZ105	STR	1.35*ZS1 + 1.35*ZS2 + 0.75*ZS8 + 1.5*ZS10	4	1.50	ZS9		Vitr ve směru X + tlak na přístřešek
			1	1.35	ZS1		Vlastní tíha
			2	1.35	ZS2		Ostatní stálé
			3	0.75	ZS8		Sníh poloviční 2
			4	1.50	ZS10		Vitr ve směru X + sání na přístřešek
KZ106	S Ch	ZS1 + ZS2	1	1.00	ZS1		Vlastní tíha
KZ107	S Ch	ZS1 + ZS2 + ZS3	2	1.00	ZS2		Ostatní stálé
			1	1.00	ZS1		Vlastní tíha
KZ108	S Ch	ZS1 + ZS2 + ZS4	2	1.00	ZS2		Ostatní stálé
			3	1.00	ZS3		Užitné plné
KZ109	S Ch	ZS1 + ZS2 + ZS5	1	1.00	ZS1		Vlastní tíha
			2	1.00	ZS2		Ostatní stálé
KZ110	S Ch	ZS1 + ZS2 + ZS3 + 0.5*ZS6	3	1.00	ZS3		Užitné poloviční 1
			1	1.00	ZS1		Vlastní tíha
KZ111	S Ch	ZS1 + ZS2 + ZS3 + 0.5*ZS7	2	1.00	ZS2		Ostatní stálé
			3	1.00	ZS3		Užitné plné
KZ112	S Ch	ZS1 + ZS2 + ZS3 + 0.5*ZS8	4	0.50	ZS7		Sníh poloviční 1
			1	1.00	ZS1		Vlastní tíha
KZ113	S Ch	ZS1 + ZS2 + ZS4 + 0.5*ZS6	2	1.00	ZS2		Ostatní stálé
			3	1.00	ZS3		Užitné poloviční 1
KZ114	S Ch	ZS1 + ZS2 + ZS4 + 0.5*ZS7	4	0.50	ZS6		Sníh plný
			1	1.00	ZS1		Vlastní tíha
KZ115	S Ch	ZS1 + ZS2 + ZS4 + 0.5*ZS8	2	1.00	ZS2		Ostatní stálé
			3	1.00	ZS3		Užitné poloviční 1
KZ116	S Ch	ZS1 + ZS2 + ZS5 + 0.5*ZS6	4	0.50	ZS7		Sníh poloviční 1
			1	1.00	ZS1		Vlastní tíha
KZ117	S Ch	ZS1 + ZS2 + ZS5 + 0.5*ZS7	2	1.00	ZS2		Ostatní stálé
			3	1.00	ZS3		Užitné poloviční 2
			4	0.50	ZS6		Sníh plný
			1	1.00	ZS1		Vlastní tíha



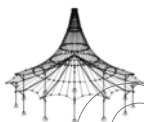
Projekt:

Model: Varianta B

Datum: 08.01.2019

## 2.5 KOMBINACE ZATÍŽENÍ

Kombin. zatížení	NS	Kombinace zatížení Označení	č.	Součinitel		Zatěžovací stav
KZ118	S Ch	ZS1 + ZS2 + ZS5 + 0.5*ZS8	2	1.00	ZS2	Ostatní stálé
			3	1.00	ZS5	Užitné poloviční2
			4	0.50	ZS7	Sníh poloviční 1
			1	1.00	ZS1	Vlastní tíha
			2	1.00	ZS2	Ostatní stálé
KZ119	S Ch	ZS1 + ZS2 + ZS3 + 0.5*ZS6 + 0.6*ZS9	3	1.00	ZS5	Užitné poloviční2
			4	0.50	ZS8	Sníh poloviční 2
			1	1.00	ZS1	Vlastní tíha
			2	1.00	ZS2	Ostatní stálé
			3	1.00	ZS3	Užitné plné
KZ120	S Ch	ZS1 + ZS2 + ZS3 + 0.5*ZS6 + 0.6*ZS10	4	0.50	ZS6	Sníh plný
			5	0.60	ZS9	Vítr ve směru X + tlak na přístřešek
			1	1.00	ZS1	Vlastní tíha
			2	1.00	ZS2	Ostatní stálé
			3	1.00	ZS3	Užitné plné
KZ121	S Ch	ZS1 + ZS2 + ZS3 + 0.5*ZS7 + 0.6*ZS9	4	0.50	ZS6	Sníh plný
			5	0.60	ZS10	Vítr ve směru X + sání na přístřešek
			1	1.00	ZS1	Vlastní tíha
			2	1.00	ZS2	Ostatní stálé
			3	1.00	ZS3	Užitné plné
KZ122	S Ch	ZS1 + ZS2 + ZS3 + 0.5*ZS7 + 0.6*ZS10	4	0.50	ZS7	Sníh poloviční 1
			5	0.60	ZS9	Vítr ve směru X + tlak na přístřešek
			1	1.00	ZS1	Vlastní tíha
			2	1.00	ZS2	Ostatní stálé
			3	1.00	ZS3	Užitné plné
KZ123	S Ch	ZS1 + ZS2 + ZS3 + 0.5*ZS8 + 0.6*ZS9	4	0.50	ZS8	Sníh poloviční 2
			5	0.60	ZS9	Vítr ve směru X + tlak na přístřešek
			1	1.00	ZS1	Vlastní tíha
			2	1.00	ZS2	Ostatní stálé
			3	1.00	ZS3	Užitné plné
KZ124	S Ch	ZS1 + ZS2 + ZS3 + 0.5*ZS8 + 0.6*ZS10	4	0.50	ZS8	Sníh poloviční 2
			5	0.60	ZS10	Vítr ve směru X + sání na přístřešek
			1	1.00	ZS1	Vlastní tíha
			2	1.00	ZS2	Ostatní stálé
			3	1.00	ZS3	Užitné plné
KZ125	S Ch	ZS1 + ZS2 + ZS4 + 0.5*ZS6 + 0.6*ZS9	4	0.50	ZS6	Sníh plný
			5	0.60	ZS9	Vítr ve směru X + tlak na přístřešek
			1	1.00	ZS1	Vlastní tíha
			2	1.00	ZS2	Ostatní stálé
			3	1.00	ZS4	Užitné poloviční1
KZ126	S Ch	ZS1 + ZS2 + ZS4 + 0.5*ZS6 + 0.6*ZS10	4	0.50	ZS6	Sníh plný
			5	0.60	ZS10	Vítr ve směru X + sání na přístřešek
			1	1.00	ZS1	Vlastní tíha
			2	1.00	ZS2	Ostatní stálé
			3	1.00	ZS4	Užitné poloviční1
KZ127	S Ch	ZS1 + ZS2 + ZS4 + 0.5*ZS7 + 0.6*ZS9	4	0.50	ZS7	Sníh poloviční 1
			5	0.60	ZS9	Vítr ve směru X + tlak na přístřešek
			1	1.00	ZS1	Vlastní tíha
			2	1.00	ZS2	Ostatní stálé
			3	1.00	ZS4	Užitné poloviční1
KZ128	S Ch	ZS1 + ZS2 + ZS4 + 0.5*ZS7 + 0.6*ZS10	4	0.50	ZS7	Sníh poloviční 1
			5	0.60	ZS10	Vítr ve směru X + sání na přístřešek
			1	1.00	ZS1	Vlastní tíha
			2	1.00	ZS2	Ostatní stálé
			3	1.00	ZS4	Užitné poloviční1
KZ129	S Ch	ZS1 + ZS2 + ZS4 + 0.5*ZS8 + 0.6*ZS9	4	0.50	ZS8	Sníh poloviční 2
			5	0.60	ZS9	Vítr ve směru X + tlak na přístřešek
			1	1.00	ZS1	Vlastní tíha
			2	1.00	ZS2	Ostatní stálé
			3	1.00	ZS4	Užitné poloviční1
KZ130	S Ch	ZS1 + ZS2 + ZS4 + 0.5*ZS8 + 0.6*ZS10	4	0.50	ZS8	Sníh poloviční 2
			5	0.60	ZS10	Vítr ve směru X + sání na přístřešek
			1	1.00	ZS1	Vlastní tíha
			2	1.00	ZS2	Ostatní stálé
			3	1.00	ZS4	Užitné poloviční1
KZ131	S Ch	ZS1 + ZS2 + ZS5 + 0.5*ZS6 + 0.6*ZS9	4	0.50	ZS6	Sníh plný
			5	0.60	ZS9	Vítr ve směru X + tlak na přístřešek
			1	1.00	ZS1	Vlastní tíha
			2	1.00	ZS2	Ostatní stálé
			3	1.00	ZS5	Užitné poloviční2
KZ132	S Ch	ZS1 + ZS2 + ZS5 + 0.5*ZS6 + 0.6*ZS10	4	0.50	ZS6	Sníh plný
			5	0.60	ZS10	Vítr ve směru X + sání na přístřešek
			1	1.00	ZS1	Vlastní tíha
			2	1.00	ZS2	Ostatní stálé
			3	1.00	ZS5	Užitné poloviční2
KZ133	S Ch	ZS1 + ZS2 + ZS5 + 0.5*ZS7 + 0.6*ZS9	3	1.00	ZS5	Užitné poloviční2



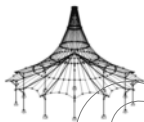
Projekt:

Model: Varianta B

Datum: 08.01.2019

## 2.5 KOMBINACE ZATÍŽENÍ

Kombin. zatížení	NS	Kombinace zatížení Označení	č.	Součinitel		Zatěžovací stav
KZ134	S Ch	ZS1 + ZS2 + ZS5 + 0.5*ZS7 + 0.6*ZS10	4	0.50	ZS7	Sníh poloviční 1
			5	0.60	ZS9	Vítr ve směru X + tlak na přístřešek
			1	1.00	ZS1	Vlastní tíha
			2	1.00	ZS2	Ostatní stálé
			3	1.00	ZS5	Užitné poloviční2
KZ135	S Ch	ZS1 + ZS2 + ZS5 + 0.5*ZS8 + 0.6*ZS9	4	0.50	ZS7	Sníh poloviční 1
			5	0.60	ZS10	Vítr ve směru X + sání na přístřešek
			1	1.00	ZS1	Vlastní tíha
			2	1.00	ZS2	Ostatní stálé
			3	1.00	ZS5	Užitné poloviční2
KZ136	S Ch	ZS1 + ZS2 + ZS5 + 0.5*ZS8 + 0.6*ZS10	4	0.50	ZS8	Sníh poloviční 2
			5	0.60	ZS10	Vítr ve směru X + sání na přístřešek
			1	1.00	ZS1	Vlastní tíha
			2	1.00	ZS2	Ostatní stálé
			3	1.00	ZS5	Užitné poloviční2
KZ137	S Ch	ZS1 + ZS2 + ZS3 + 0.6*ZS9	4	0.50	ZS8	Sníh poloviční 2
			5	0.60	ZS10	Vítr ve směru X + sání na přístřešek
			1	1.00	ZS1	Vlastní tíha
			2	1.00	ZS2	Ostatní stálé
			3	1.00	ZS3	Užitné plné
KZ138	S Ch	ZS1 + ZS2 + ZS3 + 0.6*ZS10	4	0.60	ZS9	Vítr ve směru X + tlak na přístřešek
			1	1.00	ZS1	Vlastní tíha
			2	1.00	ZS2	Ostatní stálé
			3	1.00	ZS3	Užitné plné
			4	0.60	ZS10	Vítr ve směru X + sání na přístřešek
KZ139	S Ch	ZS1 + ZS2 + ZS4 + 0.6*ZS9	1	1.00	ZS1	Vlastní tíha
			2	1.00	ZS2	Ostatní stálé
			3	1.00	ZS4	Užitné poloviční1
			4	0.60	ZS9	Vítr ve směru X + tlak na přístřešek
KZ140	S Ch	ZS1 + ZS2 + ZS4 + 0.6*ZS10	1	1.00	ZS1	Vlastní tíha
			2	1.00	ZS2	Ostatní stálé
			3	1.00	ZS4	Užitné poloviční1
			4	0.60	ZS10	Vítr ve směru X + sání na přístřešek
KZ141	S Ch	ZS1 + ZS2 + ZS5 + 0.6*ZS9	1	1.00	ZS1	Vlastní tíha
			2	1.00	ZS2	Ostatní stálé
			3	1.00	ZS5	Užitné poloviční2
			4	0.60	ZS9	Vítr ve směru X + tlak na přístřešek
KZ142	S Ch	ZS1 + ZS2 + ZS5 + 0.6*ZS10	1	1.00	ZS1	Vlastní tíha
			2	1.00	ZS2	Ostatní stálé
			3	1.00	ZS5	Užitné poloviční2
			4	0.60	ZS10	Vítr ve směru X + sání na přístřešek
KZ143	S Ch	ZS1 + ZS2 + ZS6	1	1.00	ZS1	Vlastní tíha
			2	1.00	ZS2	Ostatní stálé
			3	1.00	ZS6	Sníh plný
KZ144	S Ch	ZS1 + ZS2 + ZS7	1	1.00	ZS1	Vlastní tíha
			2	1.00	ZS2	Ostatní stálé
			3	1.00	ZS7	Sníh poloviční 1
KZ145	S Ch	ZS1 + ZS2 + ZS8	1	1.00	ZS1	Vlastní tíha
			2	1.00	ZS2	Ostatní stálé
			3	1.00	ZS8	Sníh poloviční 2
KZ146	S Ch	ZS1 + ZS2 + 0.7*ZS3 + ZS6	1	1.00	ZS1	Vlastní tíha
			2	1.00	ZS2	Ostatní stálé
			3	0.70	ZS3	Užitné plné
KZ147	S Ch	ZS1 + ZS2 + 0.7*ZS3 + ZS7	4	1.00	ZS6	Sníh plný
			1	1.00	ZS1	Vlastní tíha
			2	1.00	ZS2	Ostatní stálé
KZ148	S Ch	ZS1 + ZS2 + 0.7*ZS3 + ZS8	3	0.70	ZS3	Užitné plné
			4	1.00	ZS7	Sníh poloviční 1
			1	1.00	ZS1	Vlastní tíha
KZ149	S Ch	ZS1 + ZS2 + 0.7*ZS4 + ZS6	2	1.00	ZS2	Ostatní stálé
			3	0.70	ZS3	Užitné plné
			4	1.00	ZS8	Sníh poloviční 2
KZ150	S Ch	ZS1 + ZS2 + 0.7*ZS4 + ZS7	1	1.00	ZS1	Vlastní tíha
			2	1.00	ZS2	Ostatní stálé
			3	0.70	ZS4	Užitné poloviční1
KZ151	S Ch	ZS1 + ZS2 + 0.7*ZS4 + ZS8	4	1.00	ZS7	Sníh poloviční 1
			1	1.00	ZS1	Vlastní tíha
			2	1.00	ZS2	Ostatní stálé
KZ152	S Ch	ZS1 + ZS2 + 0.7*ZS5 + ZS6	3	0.70	ZS4	Užitné poloviční1
			4	1.00	ZS8	Sníh poloviční 2
			1	1.00	ZS1	Vlastní tíha
KZ153	S Ch	ZS1 + ZS2 + 0.7*ZS5 + ZS7	2	1.00	ZS2	Ostatní stálé
			3	0.70	ZS5	Užitné poloviční2
			4	1.00	ZS7	Sníh poloviční 1
KZ154	S Ch	ZS1 + ZS2 + 0.7*ZS5 + ZS8	1	1.00	ZS1	Vlastní tíha
			2	1.00	ZS2	Ostatní stálé



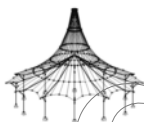
Projekt:

Model: Varianta B

Datum: 08.01.2019

## 2.5 KOMBINACE ZATÍŽENÍ

Kombin. zatížení	NS	Kombinace zatížení Označení	č.	Součinitel	Zatěžovací stav	
KZ155	S Ch	$ZS1 + ZS2 + 0.7 \cdot ZS3 + ZS6 + 0.6 \cdot ZS9$	3	0.70	ZS5	Užitné poloviční2
			4	1.00	ZS8	Snih poloviční 2
			1	1.00	ZS1	Vlastní tíha
			2	1.00	ZS2	Ostatní stálé
			3	0.70	ZS3	Užitné plné
KZ156	S Ch	$ZS1 + ZS2 + 0.7 \cdot ZS3 + ZS6 + 0.6 \cdot ZS10$	4	1.00	ZS6	Snih plný
			5	0.60	ZS9	Vitr ve směru X + tlak na přístřešek
			1	1.00	ZS1	Vlastní tíha
			2	1.00	ZS2	Ostatní stálé
			3	0.70	ZS3	Užitné plné
KZ157	S Ch	$ZS1 + ZS2 + 0.7 \cdot ZS3 + ZS7 + 0.6 \cdot ZS9$	4	1.00	ZS6	Snih plný
			5	0.60	ZS9	Vitr ve směru X + tlak na přístřešek
			1	1.00	ZS1	Vlastní tíha
			2	1.00	ZS2	Ostatní stálé
			3	0.70	ZS3	Užitné plné
KZ158	S Ch	$ZS1 + ZS2 + 0.7 \cdot ZS3 + ZS7 + 0.6 \cdot ZS10$	4	1.00	ZS7	Snih poloviční 1
			5	0.60	ZS10	Vitr ve směru X + tlak na přístřešek
			1	1.00	ZS1	Vlastní tíha
			2	1.00	ZS2	Ostatní stálé
			3	0.70	ZS3	Užitné plné
KZ159	S Ch	$ZS1 + ZS2 + 0.7 \cdot ZS3 + ZS8 + 0.6 \cdot ZS9$	4	1.00	ZS7	Snih poloviční 1
			5	0.60	ZS10	Vitr ve směru X + sání na přístřešek
			1	1.00	ZS1	Vlastní tíha
			2	1.00	ZS2	Ostatní stálé
			3	0.70	ZS3	Užitné plné
KZ160	S Ch	$ZS1 + ZS2 + 0.7 \cdot ZS3 + ZS8 + 0.6 \cdot ZS10$	4	1.00	ZS8	Snih poloviční 2
			5	0.60	ZS9	Vitr ve směru X + tlak na přístřešek
			1	1.00	ZS1	Vlastní tíha
			2	1.00	ZS2	Ostatní stálé
			3	0.70	ZS3	Užitné plné
KZ161	S Ch	$ZS1 + ZS2 + 0.7 \cdot ZS4 + ZS6 + 0.6 \cdot ZS9$	4	1.00	ZS8	Snih poloviční 2
			5	0.60	ZS9	Vitr ve směru X + sání na přístřešek
			1	1.00	ZS1	Vlastní tíha
			2	1.00	ZS2	Ostatní stálé
			3	0.70	ZS4	Užitné poloviční1
KZ162	S Ch	$ZS1 + ZS2 + 0.7 \cdot ZS4 + ZS6 + 0.6 \cdot ZS10$	4	1.00	ZS6	Snih plný
			5	0.60	ZS10	Vitr ve směru X + tlak na přístřešek
			1	1.00	ZS1	Vlastní tíha
			2	1.00	ZS2	Ostatní stálé
			3	0.70	ZS4	Užitné poloviční1
KZ163	S Ch	$ZS1 + ZS2 + 0.7 \cdot ZS4 + ZS7 + 0.6 \cdot ZS9$	4	1.00	ZS7	Snih poloviční 1
			5	0.60	ZS9	Vitr ve směru X + sání na přístřešek
			1	1.00	ZS1	Vlastní tíha
			2	1.00	ZS2	Ostatní stálé
			3	0.70	ZS4	Užitné poloviční1
KZ164	S Ch	$ZS1 + ZS2 + 0.7 \cdot ZS4 + ZS7 + 0.6 \cdot ZS10$	4	1.00	ZS7	Snih poloviční 1
			5	0.60	ZS10	Vitr ve směru X + tlak na přístřešek
			1	1.00	ZS1	Vlastní tíha
			2	1.00	ZS2	Ostatní stálé
			3	0.70	ZS4	Užitné poloviční1
KZ165	S Ch	$ZS1 + ZS2 + 0.7 \cdot ZS4 + ZS8 + 0.6 \cdot ZS9$	4	1.00	ZS7	Snih poloviční 1
			5	0.60	ZS10	Vitr ve směru X + sání na přístřešek
			1	1.00	ZS1	Vlastní tíha
			2	1.00	ZS2	Ostatní stálé
			3	0.70	ZS4	Užitné poloviční1
KZ166	S Ch	$ZS1 + ZS2 + 0.7 \cdot ZS4 + ZS8 + 0.6 \cdot ZS10$	4	1.00	ZS8	Snih poloviční 2
			5	0.60	ZS10	Vitr ve směru X + tlak na přístřešek
			1	1.00	ZS1	Vlastní tíha
			2	1.00	ZS2	Ostatní stálé
			3	0.70	ZS4	Užitné poloviční1
KZ167	S Ch	$ZS1 + ZS2 + 0.7 \cdot ZS5 + ZS6 + 0.6 \cdot ZS9$	4	1.00	ZS8	Snih poloviční 2
			5	0.60	ZS9	Vitr ve směru X + tlak na přístřešek
			1	1.00	ZS1	Vlastní tíha
			2	1.00	ZS2	Ostatní stálé
			3	0.70	ZS5	Užitné poloviční2
KZ168	S Ch	$ZS1 + ZS2 + 0.7 \cdot ZS5 + ZS6 + 0.6 \cdot ZS10$	4	1.00	ZS6	Snih plný
			5	0.60	ZS10	Vitr ve směru X + sání na přístřešek
			1	1.00	ZS1	Vlastní tíha
			2	1.00	ZS2	Ostatní stálé
			3	0.70	ZS5	Užitné poloviční2
KZ169	S Ch	$ZS1 + ZS2 + 0.7 \cdot ZS5 + ZS7 + 0.6 \cdot ZS9$	4	1.00	ZS7	Snih poloviční 1
			5	0.60	ZS9	Vitr ve směru X + tlak na přístřešek
			1	1.00	ZS1	Vlastní tíha
			2	1.00	ZS2	Ostatní stálé
			3	0.70	ZS5	Užitné poloviční2
KZ170	S Ch	$ZS1 + ZS2 + 0.7 \cdot ZS5 + ZS7 + 0.6 \cdot ZS10$	4	1.00	ZS7	Snih poloviční 1
			5	0.60	ZS9	Vitr ve směru X + tlak na přístřešek
	S Ch		1	1.00	ZS1	Vlastní tíha
			2	1.00	ZS2	Ostatní stálé



Projekt:

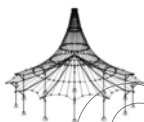
Model: Varianta B

Datum: 08.01.2019

## 2.5 KOMBINACE ZATÍŽENÍ

Kombin. zatížení	NS	Kombinace zatížení Označení	č.	Součinitel		Zatěžovací stav
KZ171	S Ch	ZS1 + ZS2 + 0.7*ZS5 + ZS8 + 0.6*ZS9	3	0.70	ZS5	Užitné poloviční2
			4	1.00	ZS7	Sníh poloviční 1
			5	0.60	ZS10	Vitr ve směru X + sání na přístřešek
			1	1.00	ZS1	Vlastní tíha
			2	1.00	ZS2	Ostatní stálé
KZ172	S Ch	ZS1 + ZS2 + 0.7*ZS5 + ZS8 + 0.6*ZS10	3	0.70	ZS5	Užitné poloviční2
			4	1.00	ZS8	Sníh poloviční 2
			5	0.60	ZS9	Vitr ve směru X + tlak na přístřešek
			1	1.00	ZS1	Vlastní tíha
			2	1.00	ZS2	Ostatní stálé
KZ173	S Ch	ZS1 + ZS2 + ZS6 + 0.6*ZS9	3	0.70	ZS5	Užitné poloviční2
			4	1.00	ZS8	Sníh poloviční 2
			5	0.60	ZS10	Vitr ve směru X + sání na přístřešek
			1	1.00	ZS1	Vlastní tíha
			2	1.00	ZS2	Ostatní stálé
KZ174	S Ch	ZS1 + ZS2 + ZS6 + 0.6*ZS10	3	1.00	ZS6	Sníh plný
			4	0.60	ZS10	Vitr ve směru X + tlak na přístřešek
			1	1.00	ZS1	Vlastní tíha
			2	1.00	ZS2	Ostatní stálé
			3	1.00	ZS7	Sníh poloviční 1
KZ175	S Ch	ZS1 + ZS2 + ZS7 + 0.6*ZS9	4	0.60	ZS9	Vitr ve směru X + tlak na přístřešek
			1	1.00	ZS1	Vlastní tíha
			2	1.00	ZS2	Ostatní stálé
			3	1.00	ZS7	Sníh poloviční 1
			4	0.60	ZS9	Vitr ve směru X + tlak na přístřešek
KZ176	S Ch	ZS1 + ZS2 + ZS7 + 0.6*ZS10	1	1.00	ZS1	Vlastní tíha
			2	1.00	ZS2	Ostatní stálé
			3	1.00	ZS7	Sníh poloviční 1
			4	0.60	ZS10	Vitr ve směru X + sání na přístřešek
			1	1.00	ZS1	Vlastní tíha
KZ177	S Ch	ZS1 + ZS2 + ZS8 + 0.6*ZS9	2	1.00	ZS2	Ostatní stálé
			3	1.00	ZS8	Sníh poloviční 2
			4	0.60	ZS9	Vitr ve směru X + tlak na přístřešek
			1	1.00	ZS1	Vlastní tíha
			2	1.00	ZS2	Ostatní stálé
KZ178	S Ch	ZS1 + ZS2 + ZS8 + 0.6*ZS10	3	1.00	ZS8	Sníh poloviční 2
			4	0.60	ZS10	Vitr ve směru X + sání na přístřešek
			1	1.00	ZS1	Vlastní tíha
			2	1.00	ZS2	Ostatní stálé
			3	1.00	ZS7	Sníh poloviční 1
KZ179	S Ch	ZS1 + ZS2 + ZS9	4	0.60	ZS9	Vitr ve směru X + tlak na přístřešek
			1	1.00	ZS1	Vlastní tíha
			2	1.00	ZS2	Ostatní stálé
			3	1.00	ZS9	Vitr ve směru X + tlak na přístřešek
			1	1.00	ZS1	Vlastní tíha
KZ180	S Ch	ZS1 + ZS2 + ZS10	2	1.00	ZS2	Ostatní stálé
			3	1.00	ZS10	Vitr ve směru X + sání na přístřešek
			1	1.00	ZS1	Vlastní tíha
			2	1.00	ZS2	Ostatní stálé
			3	1.00	ZS3	Užitné plné
KZ181	S Ch	ZS1 + ZS2 + 0.7*ZS3 + ZS9	4	1.00	ZS9	Vitr ve směru X + tlak na přístřešek
			1	1.00	ZS1	Vlastní tíha
			2	1.00	ZS2	Ostatní stálé
			3	0.70	ZS3	Užitné plné
			4	1.00	ZS9	Vitr ve směru X + tlak na přístřešek
KZ182	S Ch	ZS1 + ZS2 + 0.7*ZS3 + ZS10	1	1.00	ZS1	Vlastní tíha
			2	1.00	ZS2	Ostatní stálé
			3	0.70	ZS3	Užitné plné
			4	1.00	ZS10	Vitr ve směru X + sání na přístřešek
			1	1.00	ZS1	Vlastní tíha
KZ183	S Ch	ZS1 + ZS2 + 0.7*ZS4 + ZS9	2	1.00	ZS2	Ostatní stálé
			3	0.70	ZS4	Užitné poloviční1
			4	1.00	ZS9	Vitr ve směru X + tlak na přístřešek
			1	1.00	ZS1	Vlastní tíha
			2	1.00	ZS2	Ostatní stálé
KZ184	S Ch	ZS1 + ZS2 + 0.7*ZS4 + ZS10	3	0.70	ZS4	Užitné poloviční1
			4	1.00	ZS10	Vitr ve směru X + sání na přístřešek
			1	1.00	ZS1	Vlastní tíha
			2	1.00	ZS2	Ostatní stálé
			3	0.70	ZS5	Užitné poloviční2
KZ185	S Ch	ZS1 + ZS2 + 0.7*ZS5 + ZS9	4	1.00	ZS9	Vitr ve směru X + tlak na přístřešek
			1	1.00	ZS1	Vlastní tíha
			2	1.00	ZS2	Ostatní stálé
			3	0.70	ZS5	Užitné poloviční2
			4	1.00	ZS9	Vitr ve směru X + tlak na přístřešek
KZ186	S Ch	ZS1 + ZS2 + 0.7*ZS5 + ZS10	1	1.00	ZS1	Vlastní tíha
			2	1.00	ZS2	Ostatní stálé
			3	0.70	ZS5	Užitné poloviční2
			4	1.00	ZS10	Vitr ve směru X + sání na přístřešek
			1	1.00	ZS1	Vlastní tíha
KZ187	S Ch	ZS1 + ZS2 + 0.7*ZS3 + 0.5*ZS6 + ZS9	2	1.00	ZS2	Ostatní stálé
			3	0.70	ZS3	Užitné plné
			4	0.50	ZS6	Sníh plný
			5	1.00	ZS9	Vitr ve směru X + tlak na přístřešek
			1	1.00	ZS1	Vlastní tíha
KZ188	S Ch	ZS1 + ZS2 + 0.7*ZS3 + 0.5*ZS6 + ZS10	2	1.00	ZS2	Ostatní stálé
			3	0.70	ZS3	Užitné plné
			4	0.50	ZS6	Sníh plný
			1	1.00	ZS1	Vlastní tíha
			2	1.00	ZS2	Ostatní stálé





Projekt:

Model: Varianta B

Datum: 08.01.2019

## 2.5 KOMBINACE ZATÍŽENÍ

Kombin. zatížení	NS	Kombinace zatížení Označení	č.	Součinitel		Zatěžovací stav
KZ189	S Ch	$ZS1 + ZS2 + 0.7 \cdot ZS3 + 0.5 \cdot ZS7 + ZS9$	5	1.00	ZS10	Vitr ve směru X + sání na přístřešek
			1	1.00	ZS1	Vlastní tíha
			2	1.00	ZS2	Ostatní stálé
			3	0.70	ZS3	Užitné plně
			4	0.50	ZS7	Sníh poloviční 1
KZ190	S Ch	$ZS1 + ZS2 + 0.7 \cdot ZS3 + 0.5 \cdot ZS7 + ZS10$	5	1.00	ZS9	Vitr ve směru X + tlak na přístřešek
			1	1.00	ZS1	Vlastní tíha
			2	1.00	ZS2	Ostatní stálé
			3	0.70	ZS3	Užitné plně
			4	0.50	ZS7	Sníh poloviční 1
KZ191	S Ch	$ZS1 + ZS2 + 0.7 \cdot ZS3 + 0.5 \cdot ZS8 + ZS9$	5	1.00	ZS10	Vitr ve směru X + sání na přístřešek
			1	1.00	ZS1	Vlastní tíha
			2	1.00	ZS2	Ostatní stálé
			3	0.70	ZS3	Užitné plně
			4	0.50	ZS8	Sníh poloviční 2
KZ192	S Ch	$ZS1 + ZS2 + 0.7 \cdot ZS3 + 0.5 \cdot ZS8 + ZS10$	5	1.00	ZS9	Vitr ve směru X + tlak na přístřešek
			1	1.00	ZS1	Vlastní tíha
			2	1.00	ZS2	Ostatní stálé
			3	0.70	ZS3	Užitné plně
			4	0.50	ZS8	Sníh poloviční 2
KZ193	S Ch	$ZS1 + ZS2 + 0.7 \cdot ZS4 + 0.5 \cdot ZS6 + ZS9$	5	1.00	ZS10	Vitr ve směru X + sání na přístřešek
			1	1.00	ZS1	Vlastní tíha
			2	1.00	ZS2	Ostatní stálé
			3	0.70	ZS4	Užitné poloviční 1
			4	0.50	ZS6	Sníh plný
KZ194	S Ch	$ZS1 + ZS2 + 0.7 \cdot ZS4 + 0.5 \cdot ZS6 + ZS10$	5	1.00	ZS9	Vitr ve směru X + tlak na přístřešek
			1	1.00	ZS1	Vlastní tíha
			2	1.00	ZS2	Ostatní stálé
			3	0.70	ZS4	Užitné poloviční 1
			4	0.50	ZS6	Sníh plný
KZ195	S Ch	$ZS1 + ZS2 + 0.7 \cdot ZS4 + 0.5 \cdot ZS7 + ZS9$	5	1.00	ZS10	Vitr ve směru X + sání na přístřešek
			1	1.00	ZS1	Vlastní tíha
			2	1.00	ZS2	Ostatní stálé
			3	0.70	ZS4	Užitné poloviční 1
			4	0.50	ZS7	Sníh poloviční 1
KZ196	S Ch	$ZS1 + ZS2 + 0.7 \cdot ZS4 + 0.5 \cdot ZS7 + ZS10$	5	1.00	ZS9	Vitr ve směru X + tlak na přístřešek
			1	1.00	ZS1	Vlastní tíha
			2	1.00	ZS2	Ostatní stálé
			3	0.70	ZS4	Užitné poloviční 1
			4	0.50	ZS7	Sníh poloviční 1
KZ197	S Ch	$ZS1 + ZS2 + 0.7 \cdot ZS4 + 0.5 \cdot ZS8 + ZS9$	5	1.00	ZS10	Vitr ve směru X + sání na přístřešek
			1	1.00	ZS1	Vlastní tíha
			2	1.00	ZS2	Ostatní stálé
			3	0.70	ZS4	Užitné poloviční 1
			4	0.50	ZS8	Sníh poloviční 2
KZ198	S Ch	$ZS1 + ZS2 + 0.7 \cdot ZS4 + 0.5 \cdot ZS8 + ZS10$	5	1.00	ZS9	Vitr ve směru X + tlak na přístřešek
			1	1.00	ZS1	Vlastní tíha
			2	1.00	ZS2	Ostatní stálé
			3	0.70	ZS4	Užitné poloviční 1
			4	0.50	ZS8	Sníh poloviční 2
KZ199	S Ch	$ZS1 + ZS2 + 0.7 \cdot ZS5 + 0.5 \cdot ZS6 + ZS9$	5	1.00	ZS10	Vitr ve směru X + sání na přístřešek
			1	1.00	ZS1	Vlastní tíha
			2	1.00	ZS2	Ostatní stálé
			3	0.70	ZS5	Užitné poloviční 2
			4	0.50	ZS6	Sníh plný
KZ200	S Ch	$ZS1 + ZS2 + 0.7 \cdot ZS5 + 0.5 \cdot ZS6 + ZS10$	5	1.00	ZS9	Vitr ve směru X + tlak na přístřešek
			1	1.00	ZS1	Vlastní tíha
			2	1.00	ZS2	Ostatní stálé
			3	0.70	ZS5	Užitné poloviční 2
			4	0.50	ZS6	Sníh plný
KZ201	S Ch	$ZS1 + ZS2 + 0.7 \cdot ZS5 + 0.5 \cdot ZS7 + ZS9$	5	1.00	ZS10	Vitr ve směru X + sání na přístřešek
			1	1.00	ZS1	Vlastní tíha
			2	1.00	ZS2	Ostatní stálé
			3	0.70	ZS5	Užitné poloviční 2
			4	0.50	ZS7	Sníh poloviční 1
KZ202	S Ch	$ZS1 + ZS2 + 0.7 \cdot ZS5 + 0.5 \cdot ZS7 + ZS10$	5	1.00	ZS9	Vitr ve směru X + tlak na přístřešek
			1	1.00	ZS1	Vlastní tíha
			2	1.00	ZS2	Ostatní stálé
			3	0.70	ZS5	Užitné poloviční 2
			4	0.50	ZS7	Sníh poloviční 1
KZ203	S Ch	$ZS1 + ZS2 + 0.7 \cdot ZS5 + 0.5 \cdot ZS8 + ZS9$	5	1.00	ZS10	Vitr ve směru X + sání na přístřešek
			1	1.00	ZS1	Vlastní tíha
			2	1.00	ZS2	Ostatní stálé
			3	0.70	ZS5	Užitné poloviční 2
			4	0.50	ZS8	Sníh poloviční 2
KZ204	S Ch	$ZS1 + ZS2 + 0.7 \cdot ZS5 + 0.5 \cdot ZS8 + ZS10$	5	1.00	ZS9	Vitr ve směru X + tlak na přístřešek
			1	1.00	ZS1	Vlastní tíha
			2	1.00	ZS2	Ostatní stálé



Projekt:

Model: Varianta B

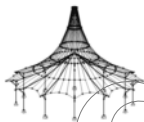
Datum: 08.01.2019

## 2.5 KOMBINACE ZATÍŽENÍ

Kombin. zatížení	Kombinace zatížení		č.	Součinitel	Zatěžovací stav	
	NS	Označení				
KZ205	S Ch	ZS1 + ZS2 + 0.5*ZS6 + ZS9	3	0.70	ZS5	Užitné poloviční 2
			4	0.50	ZS8	Sníh poloviční 2
			5	1.00	ZS10	Vitr ve směru X + sání na přístřešek
KZ206	S Ch	ZS1 + ZS2 + 0.5*ZS6 + ZS10	1	1.00	ZS1	Vlastní tíha
			2	1.00	ZS2	Ostatní stálé
			3	0.50	ZS6	Sníh plný
			4	1.00	ZS9	Vitr ve směru X + tlak na přístřešek
KZ207	S Ch	ZS1 + ZS2 + 0.5*ZS7 + ZS9	1	1.00	ZS1	Vlastní tíha
			2	1.00	ZS2	Ostatní stálé
			3	0.50	ZS7	Sníh poloviční 1
			4	1.00	ZS9	Vitr ve směru X + tlak na přístřešek
KZ208	S Ch	ZS1 + ZS2 + 0.5*ZS7 + ZS10	1	1.00	ZS1	Vlastní tíha
			2	1.00	ZS2	Ostatní stálé
			3	0.50	ZS7	Sníh poloviční 1
			4	1.00	ZS10	Vitr ve směru X + sání na přístřešek
KZ209	S Ch	ZS1 + ZS2 + 0.5*ZS8 + ZS9	1	1.00	ZS1	Vlastní tíha
			2	1.00	ZS2	Ostatní stálé
			3	0.50	ZS8	Sníh poloviční 2
			4	1.00	ZS9	Vitr ve směru X + tlak na přístřešek
KZ210	S Ch	ZS1 + ZS2 + 0.5*ZS8 + ZS10	1	1.00	ZS1	Vlastní tíha
			2	1.00	ZS2	Ostatní stálé
			3	0.50	ZS8	Sníh poloviční 2
			4	1.00	ZS10	Vitr ve směru X + sání na přístřešek

## 2.5.2 KOMBINACE ZATÍŽENÍ - PARAMETRY VÝPOČTU

Kombin. zatížení	Označení	Parametry výpočtu
KZ1	1.35*ZS1 + 1.35*ZS2	Způsob výpočtu : <input checked="" type="radio"/> Analýza podle II. řádu (P-Delta)
		Metoda pro řešení systému : <input checked="" type="radio"/> Picard
		Možnosti : <input checked="" type="checkbox"/> Zohlednit příznivé tahové účinky
		Možnosti : <input checked="" type="checkbox"/> Vztáhnout vnitřní síly na přetvořený systém pro:
KZ2	1.35*ZS1 + 1.35*ZS2 + 1.5*ZS3	Možnosti : <input checked="" type="checkbox"/> Normálové síly N
		Možnosti : <input checked="" type="checkbox"/> Smykové síly $V_y$ a $V_z$
		Možnosti : <input checked="" type="checkbox"/> Momenty $M_y$ , $M_z$ a $M_T$
		Možnosti : <input checked="" type="checkbox"/> Materiály (díleč souč. spolehlivosti $\gamma_M$ )
KZ3	1.35*ZS1 + 1.35*ZS2 + 1.5*ZS4	Možnosti : <input checked="" type="checkbox"/> Průřezy (součinitel pro $J$ , $I_y$ , $I_z$ , $A$ , $A_y$ , $A_z$ )
		Možnosti : <input checked="" type="checkbox"/> Pruty (faktor pro $GJ$ , $EI_y$ , $EI_z$ , $EA$ , $GA_y$ , $GA_z$ )
		Možnosti : <input checked="" type="checkbox"/> Analýza podle II. řádu (P-Delta)
		Možnosti : <input checked="" type="checkbox"/> Picard
KZ4	1.35*ZS1 + 1.35*ZS2 + 1.5*ZS5	Možnosti : <input checked="" type="checkbox"/> Zohlednit příznivé tahové účinky
		Možnosti : <input checked="" type="checkbox"/> Vztáhnout vnitřní síly na přetvořený systém pro:
		Možnosti : <input checked="" type="checkbox"/> Normálové síly N
		Možnosti : <input checked="" type="checkbox"/> Smykové síly $V_y$ a $V_z$
KZ5	1.35*ZS1 + 1.35*ZS2 + 1.5*ZS3 + 0.75*ZS6	Možnosti : <input checked="" type="checkbox"/> Momenty $M_y$ , $M_z$ a $M_T$
		Možnosti : <input checked="" type="checkbox"/> Materiály (díleč souč. spolehlivosti $\gamma_M$ )
		Možnosti : <input checked="" type="checkbox"/> Průřezy (součinitel pro $J$ , $I_y$ , $I_z$ , $A$ , $A_y$ , $A_z$ )
		Možnosti : <input checked="" type="checkbox"/> Pruty (faktor pro $GJ$ , $EI_y$ , $EI_z$ , $EA$ , $GA_y$ , $GA_z$ )



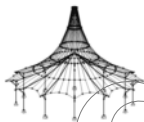
Projekt:

Model: Varianta B

Datum: 08.01.2019

## 2.5.2 KOMBINACE ZATÍŽENÍ - PARAMETRY VÝPOČTU

Kombin. zatížení	Označení	Možnosti	Parametry výpočtu
			<input checked="" type="checkbox"/> Zohlednit příznivé tahové účinky <input checked="" type="checkbox"/> Vztáhnout vnitřní síly na přetvořený systém pro: <input checked="" type="checkbox"/> Normálové síly $N$ <input checked="" type="checkbox"/> Smykové síly $V_y$ a $V_z$ <input checked="" type="checkbox"/> Momenty $M_y$ , $M_z$ a $M_T$
		Aktivovat součinitele tuhosti:	<input checked="" type="checkbox"/> Materiály (dílčí souč. spolehlivosti $\gamma_M$ ) <input checked="" type="checkbox"/> Průřezy (součinitel pro $J$ , $I_y$ , $I_z$ , $A$ , $A_y$ , $A_z$ ) <input checked="" type="checkbox"/> Pruty (faktor pro $GJ$ , $El_y$ , $El_z$ , $EA$ , $GA_y$ , $GA_z$ )
KZ6	$1.35 \cdot ZS1 + 1.35 \cdot ZS2 + 1.5 \cdot ZS3 + 0.75 \cdot ZS7$	Způsob výpočtu	<input checked="" type="checkbox"/> Analýza podle II. řádu (P-Delta)
		Metoda pro řešení systému nelineárních algebraických rovnic	<input checked="" type="checkbox"/> Picard
		Možnosti	<input checked="" type="checkbox"/> Zohlednit příznivé tahové účinky <input checked="" type="checkbox"/> Vztáhnout vnitřní síly na přetvořený systém pro: <input checked="" type="checkbox"/> Normálové síly $N$ <input checked="" type="checkbox"/> Smykové síly $V_y$ a $V_z$ <input checked="" type="checkbox"/> Momenty $M_y$ , $M_z$ a $M_T$
		Aktivovat součinitele tuhosti:	<input checked="" type="checkbox"/> Materiály (dílčí souč. spolehlivosti $\gamma_M$ ) <input checked="" type="checkbox"/> Průřezy (součinitel pro $J$ , $I_y$ , $I_z$ , $A$ , $A_y$ , $A_z$ ) <input checked="" type="checkbox"/> Pruty (faktor pro $GJ$ , $El_y$ , $El_z$ , $EA$ , $GA_y$ , $GA_z$ )
KZ7	$1.35 \cdot ZS1 + 1.35 \cdot ZS2 + 1.5 \cdot ZS3 + 0.75 \cdot ZS8$	Způsob výpočtu	<input checked="" type="checkbox"/> Analýza podle II. řádu (P-Delta)
		Metoda pro řešení systému nelineárních algebraických rovnic	<input checked="" type="checkbox"/> Picard
		Možnosti	<input checked="" type="checkbox"/> Zohlednit příznivé tahové účinky <input checked="" type="checkbox"/> Vztáhnout vnitřní síly na přetvořený systém pro: <input checked="" type="checkbox"/> Normálové síly $N$ <input checked="" type="checkbox"/> Smykové síly $V_y$ a $V_z$ <input checked="" type="checkbox"/> Momenty $M_y$ , $M_z$ a $M_T$
		Aktivovat součinitele tuhosti:	<input checked="" type="checkbox"/> Materiály (dílčí souč. spolehlivosti $\gamma_M$ ) <input checked="" type="checkbox"/> Průřezy (součinitel pro $J$ , $I_y$ , $I_z$ , $A$ , $A_y$ , $A_z$ ) <input checked="" type="checkbox"/> Pruty (faktor pro $GJ$ , $El_y$ , $El_z$ , $EA$ , $GA_y$ , $GA_z$ )
KZ8	$1.35 \cdot ZS1 + 1.35 \cdot ZS2 + 1.5 \cdot ZS4 + 0.75 \cdot ZS6$	Způsob výpočtu	<input checked="" type="checkbox"/> Analýza podle II. řádu (P-Delta)
		Metoda pro řešení systému nelineárních algebraických rovnic	<input checked="" type="checkbox"/> Picard
		Možnosti	<input checked="" type="checkbox"/> Zohlednit příznivé tahové účinky <input checked="" type="checkbox"/> Vztáhnout vnitřní síly na přetvořený systém pro: <input checked="" type="checkbox"/> Normálové síly $N$ <input checked="" type="checkbox"/> Smykové síly $V_y$ a $V_z$ <input checked="" type="checkbox"/> Momenty $M_y$ , $M_z$ a $M_T$
		Aktivovat součinitele tuhosti:	<input checked="" type="checkbox"/> Materiály (dílčí souč. spolehlivosti $\gamma_M$ ) <input checked="" type="checkbox"/> Průřezy (součinitel pro $J$ , $I_y$ , $I_z$ , $A$ , $A_y$ , $A_z$ ) <input checked="" type="checkbox"/> Pruty (faktor pro $GJ$ , $El_y$ , $El_z$ , $EA$ , $GA_y$ , $GA_z$ )
KZ9	$1.35 \cdot ZS1 + 1.35 \cdot ZS2 + 1.5 \cdot ZS4 + 0.75 \cdot ZS7$	Způsob výpočtu	<input checked="" type="checkbox"/> Analýza podle II. řádu (P-Delta)
		Metoda pro řešení systému nelineárních algebraických rovnic	<input checked="" type="checkbox"/> Picard
		Možnosti	<input checked="" type="checkbox"/> Zohlednit příznivé tahové účinky <input checked="" type="checkbox"/> Vztáhnout vnitřní síly na přetvořený systém pro: <input checked="" type="checkbox"/> Normálové síly $N$ <input checked="" type="checkbox"/> Smykové síly $V_y$ a $V_z$ <input checked="" type="checkbox"/> Momenty $M_y$ , $M_z$ a $M_T$
		Aktivovat součinitele tuhosti:	<input checked="" type="checkbox"/> Materiály (dílčí souč. spolehlivosti $\gamma_M$ ) <input checked="" type="checkbox"/> Průřezy (součinitel pro $J$ , $I_y$ , $I_z$ , $A$ , $A_y$ , $A_z$ ) <input checked="" type="checkbox"/> Pruty (faktor pro $GJ$ , $El_y$ , $El_z$ , $EA$ , $GA_y$ , $GA_z$ )
KZ10	$1.35 \cdot ZS1 + 1.35 \cdot ZS2 + 1.5 \cdot ZS4 + 0.75 \cdot ZS8$	Způsob výpočtu	<input checked="" type="checkbox"/> Analýza podle II. řádu (P-Delta)
		Metoda pro řešení systému nelineárních algebraických rovnic	<input checked="" type="checkbox"/> Picard
		Možnosti	<input checked="" type="checkbox"/> Zohlednit příznivé tahové účinky <input checked="" type="checkbox"/> Vztáhnout vnitřní síly na přetvořený systém pro: <input checked="" type="checkbox"/> Normálové síly $N$ <input checked="" type="checkbox"/> Smykové síly $V_y$ a $V_z$ <input checked="" type="checkbox"/> Momenty $M_y$ , $M_z$ a $M_T$
		Aktivovat součinitele tuhosti:	<input checked="" type="checkbox"/> Materiály (dílčí souč. spolehlivosti $\gamma_M$ ) <input checked="" type="checkbox"/> Průřezy (součinitel pro $J$ , $I_y$ , $I_z$ , $A$ , $A_y$ , $A_z$ ) <input checked="" type="checkbox"/> Pruty (faktor pro $GJ$ , $El_y$ , $El_z$ , $EA$ , $GA_y$ , $GA_z$ )
KZ11	$1.35 \cdot ZS1 + 1.35 \cdot ZS2 + 1.5 \cdot ZS5 + 0.75 \cdot ZS6$	Způsob výpočtu	<input checked="" type="checkbox"/> Analýza podle II. řádu (P-Delta)
		Metoda pro řešení systému nelineárních algebraických rovnic	<input checked="" type="checkbox"/> Picard
		Možnosti	<input checked="" type="checkbox"/> Zohlednit příznivé tahové účinky <input checked="" type="checkbox"/> Vztáhnout vnitřní síly na přetvořený systém pro: <input checked="" type="checkbox"/> Normálové síly $N$ <input checked="" type="checkbox"/> Smykové síly $V_y$ a $V_z$ <input checked="" type="checkbox"/> Momenty $M_y$ , $M_z$ a $M_T$
		Aktivovat součinitele tuhosti:	<input checked="" type="checkbox"/> Materiály (dílčí souč. spolehlivosti $\gamma_M$ ) <input checked="" type="checkbox"/> Průřezy (součinitel pro $J$ , $I_y$ , $I_z$ , $A$ , $A_y$ , $A_z$ ) <input checked="" type="checkbox"/> Pruty (faktor pro $GJ$ , $El_y$ , $El_z$ , $EA$ , $GA_y$ , $GA_z$ )
KZ12	$1.35 \cdot ZS1 + 1.35 \cdot ZS2 + 1.5 \cdot ZS5 + 0.75 \cdot ZS7$	Způsob výpočtu	<input checked="" type="checkbox"/> Analýza podle II. řádu (P-Delta)
		Metoda pro řešení systému nelineárních algebraických rovnic	<input checked="" type="checkbox"/> Picard
		Možnosti	<input checked="" type="checkbox"/> Zohlednit příznivé tahové účinky



Projekt:

Model: Varianta B

Datum: 08.01.2019

## 2.5.2 KOMBINACE ZATÍŽENÍ - PARAMETRY VÝPOČTU

Kombin. zatížení	Označení	Parametry výpočtu
		<input checked="" type="checkbox"/> Vztáhnout vnitřní síly na přetvořený systém pro: <input checked="" type="checkbox"/> Normálové síly $N$ <input checked="" type="checkbox"/> Smykové síly $V_y$ a $V_z$ <input checked="" type="checkbox"/> Momenty $M_y$ , $M_z$ a $M_T$
	Aktivovat součinitele tuhosti:	<input checked="" type="checkbox"/> Materiály (dílčí souč. spolehlivosti $\gamma_M$ ) <input checked="" type="checkbox"/> Průřezy (součinitel pro $J$ , $I_y$ , $I_z$ , $A$ , $A_y$ , $A_z$ ) <input checked="" type="checkbox"/> Pruty (faktor pro $GJ$ , $El_y$ , $El_z$ , $EA$ , $GA_y$ , $GA_z$ )
KZ13	$1.35 \cdot ZS1 + 1.35 \cdot ZS2 + 1.5 \cdot ZS5 + 0.75 \cdot ZS8$	<input checked="" type="checkbox"/> Analýza podle II. řádu (P-Delta)
	Metoda pro řešení systému nelineárních algebraických rovnic Možnosti	<input checked="" type="checkbox"/> Picard
	Aktivovat součinitele tuhosti:	<input checked="" type="checkbox"/> Zohlednit příznivé tahové účinky <input checked="" type="checkbox"/> Vztáhnout vnitřní síly na přetvořený systém pro: <input checked="" type="checkbox"/> Normálové síly $N$ <input checked="" type="checkbox"/> Smykové síly $V_y$ a $V_z$ <input checked="" type="checkbox"/> Momenty $M_y$ , $M_z$ a $M_T$ <input checked="" type="checkbox"/> Materiály (dílčí souč. spolehlivosti $\gamma_M$ ) <input checked="" type="checkbox"/> Průřezy (součinitel pro $J$ , $I_y$ , $I_z$ , $A$ , $A_y$ , $A_z$ ) <input checked="" type="checkbox"/> Pruty (faktor pro $GJ$ , $El_y$ , $El_z$ , $EA$ , $GA_y$ , $GA_z$ )
KZ14	$1.35 \cdot ZS1 + 1.35 \cdot ZS2 + 1.5 \cdot ZS3 + 0.75 \cdot ZS6 + 0.9 \cdot ZS9$	<input checked="" type="checkbox"/> Analýza podle II. řádu (P-Delta)
	Metoda pro řešení systému nelineárních algebraických rovnic Možnosti	<input checked="" type="checkbox"/> Picard
	Aktivovat součinitele tuhosti:	<input checked="" type="checkbox"/> Zohlednit příznivé tahové účinky <input checked="" type="checkbox"/> Vztáhnout vnitřní síly na přetvořený systém pro: <input checked="" type="checkbox"/> Normálové síly $N$ <input checked="" type="checkbox"/> Smykové síly $V_y$ a $V_z$ <input checked="" type="checkbox"/> Momenty $M_y$ , $M_z$ a $M_T$ <input checked="" type="checkbox"/> Materiály (dílčí souč. spolehlivosti $\gamma_M$ ) <input checked="" type="checkbox"/> Průřezy (součinitel pro $J$ , $I_y$ , $I_z$ , $A$ , $A_y$ , $A_z$ ) <input checked="" type="checkbox"/> Pruty (faktor pro $GJ$ , $El_y$ , $El_z$ , $EA$ , $GA_y$ , $GA_z$ )
KZ15	$1.35 \cdot ZS1 + 1.35 \cdot ZS2 + 1.5 \cdot ZS3 + 0.75 \cdot ZS6 + 0.9 \cdot ZS10$	<input checked="" type="checkbox"/> Analýza podle II. řádu (P-Delta)
	Metoda pro řešení systému nelineárních algebraických rovnic Možnosti	<input checked="" type="checkbox"/> Picard
	Aktivovat součinitele tuhosti:	<input checked="" type="checkbox"/> Zohlednit příznivé tahové účinky <input checked="" type="checkbox"/> Vztáhnout vnitřní síly na přetvořený systém pro: <input checked="" type="checkbox"/> Normálové síly $N$ <input checked="" type="checkbox"/> Smykové síly $V_y$ a $V_z$ <input checked="" type="checkbox"/> Momenty $M_y$ , $M_z$ a $M_T$ <input checked="" type="checkbox"/> Materiály (dílčí souč. spolehlivosti $\gamma_M$ ) <input checked="" type="checkbox"/> Průřezy (součinitel pro $J$ , $I_y$ , $I_z$ , $A$ , $A_y$ , $A_z$ ) <input checked="" type="checkbox"/> Pruty (faktor pro $GJ$ , $El_y$ , $El_z$ , $EA$ , $GA_y$ , $GA_z$ )
KZ16	$1.35 \cdot ZS1 + 1.35 \cdot ZS2 + 1.5 \cdot ZS3 + 0.75 \cdot ZS7 + 0.9 \cdot ZS9$	<input checked="" type="checkbox"/> Analýza podle II. řádu (P-Delta)
	Metoda pro řešení systému nelineárních algebraických rovnic Možnosti	<input checked="" type="checkbox"/> Picard
	Aktivovat součinitele tuhosti:	<input checked="" type="checkbox"/> Zohlednit příznivé tahové účinky <input checked="" type="checkbox"/> Vztáhnout vnitřní síly na přetvořený systém pro: <input checked="" type="checkbox"/> Normálové síly $N$ <input checked="" type="checkbox"/> Smykové síly $V_y$ a $V_z$ <input checked="" type="checkbox"/> Momenty $M_y$ , $M_z$ a $M_T$ <input checked="" type="checkbox"/> Materiály (dílčí souč. spolehlivosti $\gamma_M$ ) <input checked="" type="checkbox"/> Průřezy (součinitel pro $J$ , $I_y$ , $I_z$ , $A$ , $A_y$ , $A_z$ ) <input checked="" type="checkbox"/> Pruty (faktor pro $GJ$ , $El_y$ , $El_z$ , $EA$ , $GA_y$ , $GA_z$ )
KZ17	$1.35 \cdot ZS1 + 1.35 \cdot ZS2 + 1.5 \cdot ZS3 + 0.75 \cdot ZS7 + 0.9 \cdot ZS10$	<input checked="" type="checkbox"/> Analýza podle II. řádu (P-Delta)
	Metoda pro řešení systému nelineárních algebraických rovnic Možnosti	<input checked="" type="checkbox"/> Picard
	Aktivovat součinitele tuhosti:	<input checked="" type="checkbox"/> Zohlednit příznivé tahové účinky <input checked="" type="checkbox"/> Vztáhnout vnitřní síly na přetvořený systém pro: <input checked="" type="checkbox"/> Normálové síly $N$ <input checked="" type="checkbox"/> Smykové síly $V_y$ a $V_z$ <input checked="" type="checkbox"/> Momenty $M_y$ , $M_z$ a $M_T$ <input checked="" type="checkbox"/> Materiály (dílčí souč. spolehlivosti $\gamma_M$ ) <input checked="" type="checkbox"/> Průřezy (součinitel pro $J$ , $I_y$ , $I_z$ , $A$ , $A_y$ , $A_z$ ) <input checked="" type="checkbox"/> Pruty (faktor pro $GJ$ , $El_y$ , $El_z$ , $EA$ , $GA_y$ , $GA_z$ )
KZ18	$1.35 \cdot ZS1 + 1.35 \cdot ZS2 + 1.5 \cdot ZS3 + 0.75 \cdot ZS8 + 0.9 \cdot ZS9$	<input checked="" type="checkbox"/> Analýza podle II. řádu (P-Delta)
	Metoda pro řešení systému nelineárních algebraických rovnic Možnosti	<input checked="" type="checkbox"/> Picard
	Aktivovat součinitele tuhosti:	<input checked="" type="checkbox"/> Zohlednit příznivé tahové účinky <input checked="" type="checkbox"/> Vztáhnout vnitřní síly na přetvořený systém pro: <input checked="" type="checkbox"/> Normálové síly $N$ <input checked="" type="checkbox"/> Smykové síly $V_y$ a $V_z$ <input checked="" type="checkbox"/> Momenty $M_y$ , $M_z$ a $M_T$ <input checked="" type="checkbox"/> Materiály (dílčí souč. spolehlivosti $\gamma_M$ ) <input checked="" type="checkbox"/> Průřezy (součinitel pro $J$ , $I_y$ , $I_z$ , $A$ , $A_y$ , $A_z$ ) <input checked="" type="checkbox"/> Pruty (faktor pro $GJ$ , $El_y$ , $El_z$ , $EA$ , $GA_y$ , $GA_z$ )
KZ19	$1.35 \cdot ZS1 + 1.35 \cdot ZS2 + 1.5 \cdot ZS3 + 0.75 \cdot ZS8 + 0.9 \cdot ZS10$	<input checked="" type="checkbox"/> Analýza podle II. řádu (P-Delta)
	Metoda pro řešení systému nelineárních algebraických rovnic Možnosti	<input checked="" type="checkbox"/> Picard
	Aktivovat součinitele tuhosti:	<input checked="" type="checkbox"/> Zohlednit příznivé tahové účinky <input checked="" type="checkbox"/> Vztáhnout vnitřní síly na přetvořený s



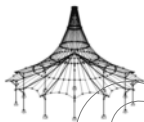
Projekt:

Model: Varianta B

Datum: 08.01.2019

## 2.5.2 KOMBINACE ZATÍŽENÍ - PARAMETRY VÝPOČTU

Kombin. zatížení	Označení	Parametry výpočtu
		<input checked="" type="checkbox"/> Normálové síly $N$ <input checked="" type="checkbox"/> Smykové síly $V_y$ a $V_z$ <input checked="" type="checkbox"/> Momenty $M_y$ , $M_z$ a $M_T$
	Aktivovat součinitele tuhosti:	<input checked="" type="checkbox"/> Materiály (dílčí souč. spolehlivosti $\gamma_M$ ) <input checked="" type="checkbox"/> Průřezy (součinitel pro $J$ , $I_y$ , $I_z$ , $A$ , $A_y$ , $A_z$ ) <input checked="" type="checkbox"/> Pruty (faktor pro $GJ$ , $EI_y$ , $EI_z$ , $EA$ , $GA_y$ , $GA_z$ )
KZ27	$1.35 \cdot ZS1 + 1.35 \cdot ZS2 + 1.5 \cdot ZS5 + 0.75 \cdot ZS6 + 0.9 \cdot ZS10$	Způsob výpočtu: <input checked="" type="radio"/> Analýza podle II. řádu (P-Delta) Metoda pro řešení systému nelineárních algebraických rovnic Možnosti: <input checked="" type="radio"/> Picard <input checked="" type="checkbox"/> Zohlednit příznivé tahové účinky <input checked="" type="checkbox"/> Vztáhnout vnitřní síly na přetvořený systém pro: <input checked="" type="checkbox"/> Normálové síly $N$ <input checked="" type="checkbox"/> Smykové síly $V_y$ a $V_z$ <input checked="" type="checkbox"/> Momenty $M_y$ , $M_z$ a $M_T$ Aktivovat součinitele tuhosti: <input checked="" type="checkbox"/> Materiály (dílčí souč. spolehlivosti $\gamma_M$ ) <input checked="" type="checkbox"/> Průřezy (součinitel pro $J$ , $I_y$ , $I_z$ , $A$ , $A_y$ , $A_z$ ) <input checked="" type="checkbox"/> Pruty (faktor pro $GJ$ , $EI_y$ , $EI_z$ , $EA$ , $GA_y$ , $GA_z$ )
KZ28	$1.35 \cdot ZS1 + 1.35 \cdot ZS2 + 1.5 \cdot ZS5 + 0.75 \cdot ZS7 + 0.9 \cdot ZS9$	Způsob výpočtu: <input checked="" type="radio"/> Analýza podle II. řádu (P-Delta) Metoda pro řešení systému nelineárních algebraických rovnic Možnosti: <input checked="" type="radio"/> Picard <input checked="" type="checkbox"/> Zohlednit příznivé tahové účinky <input checked="" type="checkbox"/> Vztáhnout vnitřní síly na přetvořený systém pro: <input checked="" type="checkbox"/> Normálové síly $N$ <input checked="" type="checkbox"/> Smykové síly $V_y$ a $V_z$ <input checked="" type="checkbox"/> Momenty $M_y$ , $M_z$ a $M_T$ Aktivovat součinitele tuhosti: <input checked="" type="checkbox"/> Materiály (dílčí souč. spolehlivosti $\gamma_M$ ) <input checked="" type="checkbox"/> Průřezy (součinitel pro $J$ , $I_y$ , $I_z$ , $A$ , $A_y$ , $A_z$ ) <input checked="" type="checkbox"/> Pruty (faktor pro $GJ$ , $EI_y$ , $EI_z$ , $EA$ , $GA_y$ , $GA_z$ )
KZ29	$1.35 \cdot ZS1 + 1.35 \cdot ZS2 + 1.5 \cdot ZS5 + 0.75 \cdot ZS7 + 0.9 \cdot ZS10$	Způsob výpočtu: <input checked="" type="radio"/> Analýza podle II. řádu (P-Delta) Metoda pro řešení systému nelineárních algebraických rovnic Možnosti: <input checked="" type="radio"/> Picard <input checked="" type="checkbox"/> Zohlednit příznivé tahové účinky <input checked="" type="checkbox"/> Vztáhnout vnitřní síly na přetvořený systém pro: <input checked="" type="checkbox"/> Normálové síly $N$ <input checked="" type="checkbox"/> Smykové síly $V_y$ a $V_z$ <input checked="" type="checkbox"/> Momenty $M_y$ , $M_z$ a $M_T$ Aktivovat součinitele tuhosti: <input checked="" type="checkbox"/> Materiály (dílčí souč. spolehlivosti $\gamma_M$ ) <input checked="" type="checkbox"/> Průřezy (součinitel pro $J$ , $I_y$ , $I_z$ , $A$ , $A_y$ , $A_z$ ) <input checked="" type="checkbox"/> Pruty (faktor pro $GJ$ , $EI_y$ , $EI_z$ , $EA$ , $GA_y$ , $GA_z$ )
KZ30	$1.35 \cdot ZS1 + 1.35 \cdot ZS2 + 1.5 \cdot ZS5 + 0.75 \cdot ZS8 + 0.9 \cdot ZS9$	Způsob výpočtu: <input checked="" type="radio"/> Analýza podle II. řádu (P-Delta) Metoda pro řešení systému nelineárních algebraických rovnic Možnosti: <input checked="" type="radio"/> Picard <input checked="" type="checkbox"/> Zohlednit příznivé tahové účinky <input checked="" type="checkbox"/> Vztáhnout vnitřní síly na přetvořený systém pro: <input checked="" type="checkbox"/> Normálové síly $N$ <input checked="" type="checkbox"/> Smykové síly $V_y$ a $V_z$ <input checked="" type="checkbox"/> Momenty $M_y$ , $M_z$ a $M_T$ Aktivovat součinitele tuhosti: <input checked="" type="checkbox"/> Materiály (dílčí souč. spolehlivosti $\gamma_M$ ) <input checked="" type="checkbox"/> Průřezy (součinitel pro $J$ , $I_y$ , $I_z$ , $A$ , $A_y$ , $A_z$ ) <input checked="" type="checkbox"/> Pruty (faktor pro $GJ$ , $EI_y$ , $EI_z$ , $EA$ , $GA_y$ , $GA_z$ )
KZ31	$1.35 \cdot ZS1 + 1.35 \cdot ZS2 + 1.5 \cdot ZS5 + 0.75 \cdot ZS8 + 0.9 \cdot ZS10$	Způsob výpočtu: <input checked="" type="radio"/> Analýza podle II. řádu (P-Delta) Metoda pro řešení systému nelineárních algebraických rovnic Možnosti: <input checked="" type="radio"/> Picard <input checked="" type="checkbox"/> Zohlednit příznivé tahové účinky <input checked="" type="checkbox"/> Vztáhnout vnitřní síly na přetvořený systém pro: <input checked="" type="checkbox"/> Normálové síly $N$ <input checked="" type="checkbox"/> Smykové síly $V_y$ a $V_z$ <input checked="" type="checkbox"/> Momenty $M_y$ , $M_z$ a $M_T$ Aktivovat součinitele tuhosti: <input checked="" type="checkbox"/> Materiály (dílčí souč. spolehlivosti $\gamma_M$ ) <input checked="" type="checkbox"/> Průřezy (součinitel pro $J$ , $I_y$ , $I_z$ , $A$ , $A_y$ , $A_z$ ) <input checked="" type="checkbox"/> Pruty (faktor pro $GJ$ , $EI_y$ , $EI_z$ , $EA$ , $GA_y$ , $GA_z$ )
KZ32	$1.35 \cdot ZS1 + 1.35 \cdot ZS2 + 1.5 \cdot ZS3 + 0.9 \cdot ZS9$	Způsob výpočtu: <input checked="" type="radio"/> Analýza podle II. řádu (P-Delta) Metoda pro řešení systému nelineárních algebraických rovnic Možnosti: <input checked="" type="radio"/> Picard <input checked="" type="checkbox"/> Zohlednit příznivé tahové účinky <input checked="" type="checkbox"/> Vztáhnout vnitřní síly na přetvořený systém pro: <input checked="" type="checkbox"/> Normálové síly $N$ <input checked="" type="checkbox"/> Smykové síly $V_y$ a $V_z$ <input checked="" type="checkbox"/> Momenty $M_y$ , $M_z$ a $M_T$ Aktivovat součinitele tuhosti: <input checked="" type="checkbox"/> Materiály (dílčí souč. spolehlivosti $\gamma_M$ ) <input checked="" type="checkbox"/> Průřezy (součinitel pro $J$ , $I_y$ , $I_z$ , $A$ , $A_y$ , $A_z$ ) <input checked="" type="checkbox"/> Pruty (faktor pro $GJ$ , $EI_y$ , $EI_z$ , $EA$ , $GA_y$ , $GA_z$ )
KZ33	$1.35 \cdot ZS1 + 1.35 \cdot ZS2 + 1.5 \cdot ZS3 + 0.9 \cdot ZS10$	Způsob výpočtu: <input checked="" type="radio"/> Analýza podle II. řádu (P-Delta) Metoda pro řešení systému nelineárních algebraických rovnic Možnosti: <input checked="" type="radio"/> Picard <input checked="" type="checkbox"/> Zohlednit příznivé tahové účinky <input checked="" type="checkbox"/> Vztáhnout vnitřní síly na přetvořený systém pro: <input checked="" type="checkbox"/> Normálové síly $N$



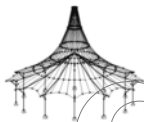
Projekt:

Model: Varianta B

Datum: 08.01.2019

## 2.5.2 KOMBINACE ZATÍŽENÍ - PARAMETRY VÝPOČTU

Kombin. zatížení	Označení	Parametry výpočtu	
KZ34	1.35*ZS1 + 1.35*ZS2 + 1.5*ZS4 + 0.9*ZS9	Aktivovat součinitele tuhosti:	<input checked="" type="checkbox"/> Smykové síly $V_y$ a $V_z$ <input checked="" type="checkbox"/> Momenty $M_y$ , $M_z$ a $M_T$
			<input checked="" type="checkbox"/> Materiály (dílčí souč. spolehlivosti $\gamma_M$ ) <input checked="" type="checkbox"/> Průřezy (součinitel pro $J$ , $I_y$ , $I_z$ , $A$ , $A_y$ , $A_z$ ) <input checked="" type="checkbox"/> Pruty (faktor pro $GJ$ , $EI_y$ , $EI_z$ , $EA$ , $GA_y$ , $GA_z$ )
		Způsob výpočtu	<input checked="" type="checkbox"/> Analýza podle II. řádu (P-Delta)
		Metoda pro řešení systému nelineárních algebraických rovnic Možnosti	<input checked="" type="checkbox"/> Picard
KZ35	1.35*ZS1 + 1.35*ZS2 + 1.5*ZS4 + 0.9*ZS10		<input checked="" type="checkbox"/> Zohlednit příznivé tahové účinky <input checked="" type="checkbox"/> Vztáhnout vnitřní síly na přetvořený systém pro: <input checked="" type="checkbox"/> Normálové síly $N$ <input checked="" type="checkbox"/> Smykové síly $V_y$ a $V_z$ <input checked="" type="checkbox"/> Momenty $M_y$ , $M_z$ a $M_T$
		Aktivovat součinitele tuhosti:	<input checked="" type="checkbox"/> Materiály (dílčí souč. spolehlivosti $\gamma_M$ ) <input checked="" type="checkbox"/> Průřezy (součinitel pro $J$ , $I_y$ , $I_z$ , $A$ , $A_y$ , $A_z$ ) <input checked="" type="checkbox"/> Pruty (faktor pro $GJ$ , $EI_y$ , $EI_z$ , $EA$ , $GA_y$ , $GA_z$ )
		Způsob výpočtu	<input checked="" type="checkbox"/> Analýza podle II. řádu (P-Delta)
		Metoda pro řešení systému nelineárních algebraických rovnic Možnosti	<input checked="" type="checkbox"/> Picard
KZ36	1.35*ZS1 + 1.35*ZS2 + 1.5*ZS5 + 0.9*ZS9		<input checked="" type="checkbox"/> Zohlednit příznivé tahové účinky <input checked="" type="checkbox"/> Vztáhnout vnitřní síly na přetvořený systém pro: <input checked="" type="checkbox"/> Normálové síly $N$ <input checked="" type="checkbox"/> Smykové síly $V_y$ a $V_z$ <input checked="" type="checkbox"/> Momenty $M_y$ , $M_z$ a $M_T$
		Aktivovat součinitele tuhosti:	<input checked="" type="checkbox"/> Materiály (dílčí souč. spolehlivosti $\gamma_M$ ) <input checked="" type="checkbox"/> Průřezy (součinitel pro $J$ , $I_y$ , $I_z$ , $A$ , $A_y$ , $A_z$ ) <input checked="" type="checkbox"/> Pruty (faktor pro $GJ$ , $EI_y$ , $EI_z$ , $EA$ , $GA_y$ , $GA_z$ )
		Způsob výpočtu	<input checked="" type="checkbox"/> Analýza podle II. řádu (P-Delta)
		Metoda pro řešení systému nelineárních algebraických rovnic Možnosti	<input checked="" type="checkbox"/> Picard
KZ37	1.35*ZS1 + 1.35*ZS2 + 1.5*ZS5 + 0.9*ZS10		<input checked="" type="checkbox"/> Zohlednit příznivé tahové účinky <input checked="" type="checkbox"/> Vztáhnout vnitřní síly na přetvořený systém pro: <input checked="" type="checkbox"/> Normálové síly $N$ <input checked="" type="checkbox"/> Smykové síly $V_y$ a $V_z$ <input checked="" type="checkbox"/> Momenty $M_y$ , $M_z$ a $M_T$
		Aktivovat součinitele tuhosti:	<input checked="" type="checkbox"/> Materiály (dílčí souč. spolehlivosti $\gamma_M$ ) <input checked="" type="checkbox"/> Průřezy (součinitel pro $J$ , $I_y$ , $I_z$ , $A$ , $A_y$ , $A_z$ ) <input checked="" type="checkbox"/> Pruty (faktor pro $GJ$ , $EI_y$ , $EI_z$ , $EA$ , $GA_y$ , $GA_z$ )
		Způsob výpočtu	<input checked="" type="checkbox"/> Analýza podle II. řádu (P-Delta)
		Metoda pro řešení systému nelineárních algebraických rovnic Možnosti	<input checked="" type="checkbox"/> Picard
KZ38	1.35*ZS1 + 1.35*ZS2 + 1.5*ZS6		<input checked="" type="checkbox"/> Zohlednit příznivé tahové účinky <input checked="" type="checkbox"/> Vztáhnout vnitřní síly na přetvořený systém pro: <input checked="" type="checkbox"/> Normálové síly $N$ <input checked="" type="checkbox"/> Smykové síly $V_y$ a $V_z$ <input checked="" type="checkbox"/> Momenty $M_y$ , $M_z$ a $M_T$
		Aktivovat součinitele tuhosti:	<input checked="" type="checkbox"/> Materiály (dílčí souč. spolehlivosti $\gamma_M$ ) <input checked="" type="checkbox"/> Průřezy (součinitel pro $J$ , $I_y$ , $I_z$ , $A$ , $A_y$ , $A_z$ ) <input checked="" type="checkbox"/> Pruty (faktor pro $GJ$ , $EI_y$ , $EI_z$ , $EA$ , $GA_y$ , $GA_z$ )
		Způsob výpočtu	<input checked="" type="checkbox"/> Analýza podle II. řádu (P-Delta)
		Metoda pro řešení systému nelineárních algebraických rovnic Možnosti	<input checked="" type="checkbox"/> Picard
KZ39	1.35*ZS1 + 1.35*ZS2 + 1.5*ZS7		<input checked="" type="checkbox"/> Zohlednit příznivé tahové účinky <input checked="" type="checkbox"/> Vztáhnout vnitřní síly na přetvořený systém pro: <input checked="" type="checkbox"/> Normálové síly $N$ <input checked="" type="checkbox"/> Smykové síly $V_y$ a $V_z$ <input checked="" type="checkbox"/> Momenty $M_y$ , $M_z$ a $M_T$
		Aktivovat součinitele tuhosti:	<input checked="" type="checkbox"/> Materiály (dílčí souč. spolehlivosti $\gamma_M$ ) <input checked="" type="checkbox"/> Průřezy (součinitel pro $J$ , $I_y$ , $I_z$ , $A$ , $A_y$ , $A_z$ ) <input checked="" type="checkbox"/> Pruty (faktor pro $GJ$ , $EI_y$ , $EI_z$ , $EA$ , $GA_y$ , $GA_z$ )
		Způsob výpočtu	<input checked="" type="checkbox"/> Analýza podle II. řádu (P-Delta)
		Metoda pro řešení systému nelineárních algebraických rovnic Možnosti	<input checked="" type="checkbox"/> Picard
KZ40	1.35*ZS1 + 1.35*ZS2 + 1.5*ZS8		<input checked="" type="checkbox"/> Zohlednit příznivé tahové účinky <input checked="" type="checkbox"/> Vztáhnout vnitřní síly na přetvořený systém pro: <input checked="" type="checkbox"/> Normálové síly $N$ <input checked="" type="checkbox"/> Smykové síly $V_y$ a $V_z$ <input checked="" type="checkbox"/> Momenty $M_y$ , $M_z$ a $M_T$
		Aktivovat součinitele tuhosti:	<input checked="" type="checkbox"/> Materiály (dílčí souč. spolehlivosti $\gamma_M$ )
		Způsob výpočtu	<input checked="" type="checkbox"/> Analýza podle II. řádu (P-Delta)
		Metoda pro řešení systému nelineárních algebraických rovnic Možnosti	<input checked="" type="checkbox"/> Picard



Projekt:

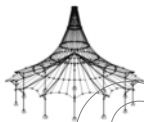
Model: Varianta B

Datum: 08.01.2019

## 2.5.2 KOMBINACE ZATÍŽENÍ - PARAMETRY VÝPOČTU

Kombin. zatížení	Označení	Parametry výpočtu
		<input checked="" type="checkbox"/> Průřezy (součinitel pro $J, I_y, I_z, A, A_y, A_z$ ) <input checked="" type="checkbox"/> Pruty (faktor pro $GJ, EI_y, EI_z, EA, GA_y, GA_z$ ) <input checked="" type="checkbox"/> Analýza podle II. řádu (P-Delta)
KZ41	$1.35 \cdot ZS1 + 1.35 \cdot ZS2 + 1.05 \cdot ZS3 + 1.5 \cdot ZS6$	<p>Způsob výpočtu</p> <p>Metoda pro řešení systému nelineárních algebraických rovnic</p> <p>Možnosti</p> <p>Aktivovat součinitele tuhosti:</p> <input checked="" type="checkbox"/> Picard <input checked="" type="checkbox"/> Zohlednit příznivé tahové účinky <input checked="" type="checkbox"/> Vztáhnout vnitřní síly na přetvořený systém pro: <input checked="" type="checkbox"/> Normálové síly $N$ <input checked="" type="checkbox"/> Smykové síly $V_y$ a $V_z$ <input checked="" type="checkbox"/> Momenty $M_y, M_z$ a $M_T$ <input checked="" type="checkbox"/> Materiály (dílčí souč. spolehlivosti $\gamma_M$ ) <input checked="" type="checkbox"/> Průřezy (součinitel pro $J, I_y, I_z, A, A_y, A_z$ ) <input checked="" type="checkbox"/> Pruty (faktor pro $GJ, EI_y, EI_z, EA, GA_y, GA_z$ ) <input checked="" type="checkbox"/> Analýza podle II. řádu (P-Delta)
KZ42	$1.35 \cdot ZS1 + 1.35 \cdot ZS2 + 1.05 \cdot ZS3 + 1.5 \cdot ZS7$	<p>Způsob výpočtu</p> <p>Metoda pro řešení systému nelineárních algebraických rovnic</p> <p>Možnosti</p> <p>Aktivovat součinitele tuhosti:</p> <input checked="" type="checkbox"/> Picard <input checked="" type="checkbox"/> Zohlednit příznivé tahové účinky <input checked="" type="checkbox"/> Vztáhnout vnitřní síly na přetvořený systém pro: <input checked="" type="checkbox"/> Normálové síly $N$ <input checked="" type="checkbox"/> Smykové síly $V_y$ a $V_z$ <input checked="" type="checkbox"/> Momenty $M_y, M_z$ a $M_T$ <input checked="" type="checkbox"/> Materiály (dílčí souč. spolehlivosti $\gamma_M$ ) <input checked="" type="checkbox"/> Průřezy (součinitel pro $J, I_y, I_z, A, A_y, A_z$ ) <input checked="" type="checkbox"/> Pruty (faktor pro $GJ, EI_y, EI_z, EA, GA_y, GA_z$ ) <input checked="" type="checkbox"/> Analýza podle II. řádu (P-Delta)
KZ43	$1.35 \cdot ZS1 + 1.35 \cdot ZS2 + 1.05 \cdot ZS3 + 1.5 \cdot ZS8$	<p>Způsob výpočtu</p> <p>Metoda pro řešení systému nelineárních algebraických rovnic</p> <p>Možnosti</p> <p>Aktivovat součinitele tuhosti:</p> <input checked="" type="checkbox"/> Picard <input checked="" type="checkbox"/> Zohlednit příznivé tahové účinky <input checked="" type="checkbox"/> Vztáhnout vnitřní síly na přetvořený systém pro: <input checked="" type="checkbox"/> Normálové síly $N$ <input checked="" type="checkbox"/> Smykové síly $V_y$ a $V_z$ <input checked="" type="checkbox"/> Momenty $M_y, M_z$ a $M_T$ <input checked="" type="checkbox"/> Materiály (dílčí souč. spolehlivosti $\gamma_M$ ) <input checked="" type="checkbox"/> Průřezy (součinitel pro $J, I_y, I_z, A, A_y, A_z$ ) <input checked="" type="checkbox"/> Pruty (faktor pro $GJ, EI_y, EI_z, EA, GA_y, GA_z$ ) <input checked="" type="checkbox"/> Analýza podle II. řádu (P-Delta)
KZ44	$1.35 \cdot ZS1 + 1.35 \cdot ZS2 + 1.05 \cdot ZS4 + 1.5 \cdot ZS6$	<p>Způsob výpočtu</p> <p>Metoda pro řešení systému nelineárních algebraických rovnic</p> <p>Možnosti</p> <p>Aktivovat součinitele tuhosti:</p> <input checked="" type="checkbox"/> Picard <input checked="" type="checkbox"/> Zohlednit příznivé tahové účinky <input checked="" type="checkbox"/> Vztáhnout vnitřní síly na přetvořený systém pro: <input checked="" type="checkbox"/> Normálové síly $N$ <input checked="" type="checkbox"/> Smykové síly $V_y$ a $V_z$ <input checked="" type="checkbox"/> Momenty $M_y, M_z$ a $M_T$ <input checked="" type="checkbox"/> Materiály (dílčí souč. spolehlivosti $\gamma_M$ ) <input checked="" type="checkbox"/> Průřezy (součinitel pro $J, I_y, I_z, A, A_y, A_z$ ) <input checked="" type="checkbox"/> Pruty (faktor pro $GJ, EI_y, EI_z, EA, GA_y, GA_z$ ) <input checked="" type="checkbox"/> Analýza podle II. řádu (P-Delta)
KZ45	$1.35 \cdot ZS1 + 1.35 \cdot ZS2 + 1.05 \cdot ZS4 + 1.5 \cdot ZS7$	<p>Způsob výpočtu</p> <p>Metoda pro řešení systému nelineárních algebraických rovnic</p> <p>Možnosti</p> <p>Aktivovat součinitele tuhosti:</p> <input checked="" type="checkbox"/> Picard <input checked="" type="checkbox"/> Zohlednit příznivé tahové účinky <input checked="" type="checkbox"/> Vztáhnout vnitřní síly na přetvořený systém pro: <input checked="" type="checkbox"/> Normálové síly $N$ <input checked="" type="checkbox"/> Smykové síly $V_y$ a $V_z$ <input checked="" type="checkbox"/> Momenty $M_y, M_z$ a $M_T$ <input checked="" type="checkbox"/> Materiály (dílčí souč. spolehlivosti $\gamma_M$ ) <input checked="" type="checkbox"/> Průřezy (součinitel pro $J, I_y, I_z, A, A_y, A_z$ ) <input checked="" type="checkbox"/> Pruty (faktor pro $GJ, EI_y, EI_z, EA, GA_y, GA_z$ ) <input checked="" type="checkbox"/> Analýza podle II. řádu (P-Delta)
KZ46	$1.35 \cdot ZS1 + 1.35 \cdot ZS2 + 1.05 \cdot ZS4 + 1.5 \cdot ZS8$	<p>Způsob výpočtu</p> <p>Metoda pro řešení systému nelineárních algebraických rovnic</p> <p>Možnosti</p> <p>Aktivovat součinitele tuhosti:</p> <input checked="" type="checkbox"/> Picard <input checked="" type="checkbox"/> Zohlednit příznivé tahové účinky <input checked="" type="checkbox"/> Vztáhnout vnitřní síly na přetvořený systém pro: <input checked="" type="checkbox"/> Normálové síly $N$ <input checked="" type="checkbox"/> Smykové síly $V_y$ a $V_z$ <input checked="" type="checkbox"/> Momenty $M_y, M_z$ a $M_T$ <input checked="" type="checkbox"/> Materiály (dílčí souč. spolehlivosti $\gamma_M$ ) <input checked="" type="checkbox"/> Průřezy (součinitel pro $J, I_y, I_z, A, A_y, A_z$ ) <input checked="" type="checkbox"/> Pruty (faktor pro $GJ, EI_y, EI_z, EA, GA_y, GA_z$ ) <input checked="" type="checkbox"/> Analýza podle II. řádu (P-Delta)
KZ47	$1.35 \cdot ZS1 + 1.35 \cdot ZS2 + 1.05 \cdot ZS5 + 1.5 \cdot ZS6$	<p>Způsob výpočtu</p> <p>Metoda pro řešení systému nelineárních algebraických rovnic</p> <p>Možnosti</p> <p>Aktivovat součinitele tuhosti:</p> <input checked="" type="checkbox"/> Picard <input checked="" type="checkbox"/> Zohlednit příznivé tahové účinky <input checked="" type="checkbox"/> Vztáhnout vnitřní síly na přetvořený systém pro: <input checked="" type="checkbox"/> Normálové síly $N$ <input checked="" type="checkbox"/> Smykové síly $V_y$ a $V_z$ <input checked="" type="checkbox"/> Momenty $M_y, M_z$ a $M_T$ <input checked="" type="checkbox"/> Materiály (dílčí souč. spolehlivosti $\gamma_M$ )





Projekt:

Model: Varianta B

Datum: 08.01.2019

## 2.5.2 KOMBINACE ZATÍŽENÍ - PARAMETRY VÝPOČTU

Kombin. zatížení	Označení	Parametry výpočtu
		<input checked="" type="checkbox"/> Průřezy (součinitel pro $J, I_y, I_z, A, A_y, A_z$ ) <input checked="" type="checkbox"/> Pruty (faktor pro $GJ, EI_y, EI_z, EA, GA_y, GA_z$ ) <input checked="" type="checkbox"/> Analýza podle II. řádu (P-Delta)
KZ48	$1.35 \cdot ZS1 + 1.35 \cdot ZS2 + 1.05 \cdot ZS5 + 1.5 \cdot ZS7$	<p>Způsob výpočtu</p> <p>Metoda pro řešení systému nelineárních algebraických rovnic</p> <p>Možnosti</p> <p>Aktivovat součinitele tuhosti:</p> <input checked="" type="checkbox"/> Picard <input checked="" type="checkbox"/> Zohlednit příznivé tahové účinky <input checked="" type="checkbox"/> Vztáhnout vnitřní síly na přetvořený systém pro: <input checked="" type="checkbox"/> Normálové síly $N$ <input checked="" type="checkbox"/> Smykové síly $V_y$ a $V_z$ <input checked="" type="checkbox"/> Momenty $M_y, M_z$ a $M_T$ <input checked="" type="checkbox"/> Materiály (dílčí souč. spolehlivosti $\gamma_M$ ) <input checked="" type="checkbox"/> Průřezy (součinitel pro $J, I_y, I_z, A, A_y, A_z$ ) <input checked="" type="checkbox"/> Pruty (faktor pro $GJ, EI_y, EI_z, EA, GA_y, GA_z$ ) <input checked="" type="checkbox"/> Analýza podle II. řádu (P-Delta)
KZ49	$1.35 \cdot ZS1 + 1.35 \cdot ZS2 + 1.05 \cdot ZS5 + 1.5 \cdot ZS8$	<p>Způsob výpočtu</p> <p>Metoda pro řešení systému nelineárních algebraických rovnic</p> <p>Možnosti</p> <p>Aktivovat součinitele tuhosti:</p> <input checked="" type="checkbox"/> Picard <input checked="" type="checkbox"/> Zohlednit příznivé tahové účinky <input checked="" type="checkbox"/> Vztáhnout vnitřní síly na přetvořený systém pro: <input checked="" type="checkbox"/> Normálové síly $N$ <input checked="" type="checkbox"/> Smykové síly $V_y$ a $V_z$ <input checked="" type="checkbox"/> Momenty $M_y, M_z$ a $M_T$ <input checked="" type="checkbox"/> Materiály (dílčí souč. spolehlivosti $\gamma_M$ ) <input checked="" type="checkbox"/> Průřezy (součinitel pro $J, I_y, I_z, A, A_y, A_z$ ) <input checked="" type="checkbox"/> Pruty (faktor pro $GJ, EI_y, EI_z, EA, GA_y, GA_z$ ) <input checked="" type="checkbox"/> Analýza podle II. řádu (P-Delta)
KZ50	$1.35 \cdot ZS1 + 1.35 \cdot ZS2 + 1.05 \cdot ZS3 + 1.5 \cdot ZS6 + 0.9 \cdot ZS9$	<p>Způsob výpočtu</p> <p>Metoda pro řešení systému nelineárních algebraických rovnic</p> <p>Možnosti</p> <p>Aktivovat součinitele tuhosti:</p> <input checked="" type="checkbox"/> Picard <input checked="" type="checkbox"/> Zohlednit příznivé tahové účinky <input checked="" type="checkbox"/> Vztáhnout vnitřní síly na přetvořený systém pro: <input checked="" type="checkbox"/> Normálové síly $N$ <input checked="" type="checkbox"/> Smykové síly $V_y$ a $V_z$ <input checked="" type="checkbox"/> Momenty $M_y, M_z$ a $M_T$ <input checked="" type="checkbox"/> Materiály (dílčí souč. spolehlivosti $\gamma_M$ ) <input checked="" type="checkbox"/> Průřezy (součinitel pro $J, I_y, I_z, A, A_y, A_z$ ) <input checked="" type="checkbox"/> Pruty (faktor pro $GJ, EI_y, EI_z, EA, GA_y, GA_z$ ) <input checked="" type="checkbox"/> Analýza podle II. řádu (P-Delta)
KZ51	$1.35 \cdot ZS1 + 1.35 \cdot ZS2 + 1.05 \cdot ZS3 + 1.5 \cdot ZS6 + 0.9 \cdot ZS10$	<p>Způsob výpočtu</p> <p>Metoda pro řešení systému nelineárních algebraických rovnic</p> <p>Možnosti</p> <p>Aktivovat součinitele tuhosti:</p> <input checked="" type="checkbox"/> Picard <input checked="" type="checkbox"/> Zohlednit příznivé tahové účinky <input checked="" type="checkbox"/> Vztáhnout vnitřní síly na přetvořený systém pro: <input checked="" type="checkbox"/> Normálové síly $N$ <input checked="" type="checkbox"/> Smykové síly $V_y$ a $V_z$ <input checked="" type="checkbox"/> Momenty $M_y, M_z$ a $M_T$ <input checked="" type="checkbox"/> Materiály (dílčí souč. spolehlivosti $\gamma_M$ ) <input checked="" type="checkbox"/> Průřezy (součinitel pro $J, I_y, I_z, A, A_y, A_z$ ) <input checked="" type="checkbox"/> Pruty (faktor pro $GJ, EI_y, EI_z, EA, GA_y, GA_z$ ) <input checked="" type="checkbox"/> Analýza podle II. řádu (P-Delta)
KZ52	$1.35 \cdot ZS1 + 1.35 \cdot ZS2 + 1.05 \cdot ZS3 + 1.5 \cdot ZS7 + 0.9 \cdot ZS9$	<p>Způsob výpočtu</p> <p>Metoda pro řešení systému nelineárních algebraických rovnic</p> <p>Možnosti</p> <p>Aktivovat součinitele tuhosti:</p> <input checked="" type="checkbox"/> Picard <input checked="" type="checkbox"/> Zohlednit příznivé tahové účinky <input checked="" type="checkbox"/> Vztáhnout vnitřní síly na přetvořený systém pro: <input checked="" type="checkbox"/> Normálové síly $N$ <input checked="" type="checkbox"/> Smykové síly $V_y$ a $V_z$ <input checked="" type="checkbox"/> Momenty $M_y, M_z$ a $M_T$ <input checked="" type="checkbox"/> Materiály (dílčí souč. spolehlivosti $\gamma_M$ ) <input checked="" type="checkbox"/> Průřezy (součinitel pro $J, I_y, I_z, A, A_y, A_z$ ) <input checked="" type="checkbox"/> Pruty (faktor pro $GJ, EI_y, EI_z, EA, GA_y, GA_z$ ) <input checked="" type="checkbox"/> Analýza podle II. řádu (P-Delta)
KZ53	$1.35 \cdot ZS1 + 1.35 \cdot ZS2 + 1.05 \cdot ZS3 + 1.5 \cdot ZS7 + 0.9 \cdot ZS10$	<p>Způsob výpočtu</p> <p>Metoda pro řešení systému nelineárních algebraických rovnic</p> <p>Možnosti</p> <p>Aktivovat součinitele tuhosti:</p> <input checked="" type="checkbox"/> Picard <input checked="" type="checkbox"/> Zohlednit příznivé tahové účinky <input checked="" type="checkbox"/> Vztáhnout vnitřní síly na přetvořený systém pro: <input checked="" type="checkbox"/> Normálové síly $N$ <input checked="" type="checkbox"/> Smykové síly $V_y$ a $V_z$ <input checked="" type="checkbox"/> Momenty $M_y, M_z$ a $M_T$ <input checked="" type="checkbox"/> Materiály (dílčí souč. spolehlivosti $\gamma_M$ ) <input checked="" type="checkbox"/> Průřezy (součinitel pro $J, I_y, I_z, A, A_y, A_z$ ) <input checked="" type="checkbox"/> Pruty (faktor pro $GJ, EI_y, EI_z, EA, GA_y, GA_z$ ) <input checked="" type="checkbox"/> Analýza podle II. řádu (P-Delta)
KZ54	$1.35 \cdot ZS1 + 1.35 \cdot ZS2 + 1.05 \cdot ZS3 + 1.5 \cdot ZS8 + 0.9 \cdot ZS9$	<p>Způsob výpočtu</p> <p>Metoda pro řešení systému nelineárních algebraických rovnic</p> <p>Možnosti</p> <p>Aktivovat součinitele tuhosti:</p> <input checked="" type="checkbox"/> Picard <input checked="" type="checkbox"/> Zohlednit příznivé tahové účinky <input checked="" type="checkbox"/> Vztáhnout vnitřní síly na přetvořený systém pro: <input checked="" type="checkbox"/> Normálové síly $N$ <input checked="" type="checkbox"/> Smykové síly $V_y$ a $V_z$ <input checked="" type="checkbox"/> Momenty $M_y, M_z$ a $M_T$ <input checked="" type="checkbox"/> Materiály (dílčí souč. spolehlivosti $\gamma_M$ )



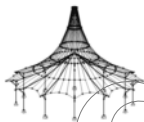
Projekt:

Model: Varianta B

Datum: 08.01.2019

## 2.5.2 KOMBINACE ZATÍŽENÍ - PARAMETRY VÝPOČTU

Kombin. zatížení	Označení	Parametry výpočtu
		<input checked="" type="checkbox"/> Průřezy (součinitel pro $J, I_y, I_z, A, A_y, A_z$ ) <input checked="" type="checkbox"/> Pruty (faktor pro $GJ, EI_y, EI_z, EA, GA_y, GA_z$ ) <input checked="" type="checkbox"/> Analýza podle II. řádu (P-Delta)
KZ55	$1.35 \cdot ZS1 + 1.35 \cdot ZS2 + 1.05 \cdot ZS3 + 1.5 \cdot ZS8 + 0.9 \cdot ZS10$	Způsob výpočtu Metoda pro řešení systému nelineárních algebraických rovnic Možnosti Aktivovat součinitele tuhosti:
		<input checked="" type="checkbox"/> Picard <input checked="" type="checkbox"/> Zohlednit příznivé tahové účinky <input checked="" type="checkbox"/> Vztáhnout vnitřní síly na přetvořený systém pro: <input checked="" type="checkbox"/> Normálové síly $N$ <input checked="" type="checkbox"/> Smykové síly $V_y$ a $V_z$ <input checked="" type="checkbox"/> Momenty $M_y, M_z$ a $M_T$ <input checked="" type="checkbox"/> Materiály (dílčí souč. spolehlivosti $\gamma_M$ ) <input checked="" type="checkbox"/> Průřezy (součinitel pro $J, I_y, I_z, A, A_y, A_z$ ) <input checked="" type="checkbox"/> Pruty (faktor pro $GJ, EI_y, EI_z, EA, GA_y, GA_z$ ) <input checked="" type="checkbox"/> Analýza podle II. řádu (P-Delta)
KZ56	$1.35 \cdot ZS1 + 1.35 \cdot ZS2 + 1.05 \cdot ZS4 + 1.5 \cdot ZS6 + 0.9 \cdot ZS9$	Způsob výpočtu Metoda pro řešení systému nelineárních algebraických rovnic Možnosti Aktivovat součinitele tuhosti:
		<input checked="" type="checkbox"/> Picard <input checked="" type="checkbox"/> Zohlednit příznivé tahové účinky <input checked="" type="checkbox"/> Vztáhnout vnitřní síly na přetvořený systém pro: <input checked="" type="checkbox"/> Normálové síly $N$ <input checked="" type="checkbox"/> Smykové síly $V_y$ a $V_z$ <input checked="" type="checkbox"/> Momenty $M_y, M_z$ a $M_T$ <input checked="" type="checkbox"/> Materiály (dílčí souč. spolehlivosti $\gamma_M$ ) <input checked="" type="checkbox"/> Průřezy (součinitel pro $J, I_y, I_z, A, A_y, A_z$ ) <input checked="" type="checkbox"/> Pruty (faktor pro $GJ, EI_y, EI_z, EA, GA_y, GA_z$ ) <input checked="" type="checkbox"/> Analýza podle II. řádu (P-Delta)
KZ57	$1.35 \cdot ZS1 + 1.35 \cdot ZS2 + 1.05 \cdot ZS4 + 1.5 \cdot ZS6 + 0.9 \cdot ZS10$	Způsob výpočtu Metoda pro řešení systému nelineárních algebraických rovnic Možnosti Aktivovat součinitele tuhosti:
		<input checked="" type="checkbox"/> Picard <input checked="" type="checkbox"/> Zohlednit příznivé tahové účinky <input checked="" type="checkbox"/> Vztáhnout vnitřní síly na přetvořený systém pro: <input checked="" type="checkbox"/> Normálové síly $N$ <input checked="" type="checkbox"/> Smykové síly $V_y$ a $V_z$ <input checked="" type="checkbox"/> Momenty $M_y, M_z$ a $M_T$ <input checked="" type="checkbox"/> Materiály (dílčí souč. spolehlivosti $\gamma_M$ ) <input checked="" type="checkbox"/> Průřezy (součinitel pro $J, I_y, I_z, A, A_y, A_z$ ) <input checked="" type="checkbox"/> Pruty (faktor pro $GJ, EI_y, EI_z, EA, GA_y, GA_z$ ) <input checked="" type="checkbox"/> Analýza podle II. řádu (P-Delta)
KZ58	$1.35 \cdot ZS1 + 1.35 \cdot ZS2 + 1.05 \cdot ZS4 + 1.5 \cdot ZS7 + 0.9 \cdot ZS9$	Způsob výpočtu Metoda pro řešení systému nelineárních algebraických rovnic Možnosti Aktivovat součinitele tuhosti:
		<input checked="" type="checkbox"/> Picard <input checked="" type="checkbox"/> Zohlednit příznivé tahové účinky <input checked="" type="checkbox"/> Vztáhnout vnitřní síly na přetvořený systém pro: <input checked="" type="checkbox"/> Normálové síly $N$ <input checked="" type="checkbox"/> Smykové síly $V_y$ a $V_z$ <input checked="" type="checkbox"/> Momenty $M_y, M_z$ a $M_T$ <input checked="" type="checkbox"/> Materiály (dílčí souč. spolehlivosti $\gamma_M$ ) <input checked="" type="checkbox"/> Průřezy (součinitel pro $J, I_y, I_z, A, A_y, A_z$ ) <input checked="" type="checkbox"/> Pruty (faktor pro $GJ, EI_y, EI_z, EA, GA_y, GA_z$ ) <input checked="" type="checkbox"/> Analýza podle II. řádu (P-Delta)
KZ59	$1.35 \cdot ZS1 + 1.35 \cdot ZS2 + 1.05 \cdot ZS4 + 1.5 \cdot ZS7 + 0.9 \cdot ZS10$	Způsob výpočtu Metoda pro řešení systému nelineárních algebraických rovnic Možnosti Aktivovat součinitele tuhosti:
		<input checked="" type="checkbox"/> Picard <input checked="" type="checkbox"/> Zohlednit příznivé tahové účinky <input checked="" type="checkbox"/> Vztáhnout vnitřní síly na přetvořený systém pro: <input checked="" type="checkbox"/> Normálové síly $N$ <input checked="" type="checkbox"/> Smykové síly $V_y$ a $V_z$ <input checked="" type="checkbox"/> Momenty $M_y, M_z$ a $M_T$ <input checked="" type="checkbox"/> Materiály (dílčí souč. spolehlivosti $\gamma_M$ ) <input checked="" type="checkbox"/> Průřezy (součinitel pro $J, I_y, I_z, A, A_y, A_z$ ) <input checked="" type="checkbox"/> Pruty (faktor pro $GJ, EI_y, EI_z, EA, GA_y, GA_z$ ) <input checked="" type="checkbox"/> Analýza podle II. řádu (P-Delta)
KZ60	$1.35 \cdot ZS1 + 1.35 \cdot ZS2 + 1.05 \cdot ZS4 + 1.5 \cdot ZS8 + 0.9 \cdot ZS9$	Způsob výpočtu Metoda pro řešení systému nelineárních algebraických rovnic Možnosti Aktivovat součinitele tuhosti:
		<input checked="" type="checkbox"/> Picard <input checked="" type="checkbox"/> Zohlednit příznivé tahové účinky <input checked="" type="checkbox"/> Vztáhnout vnitřní síly na přetvořený systém pro: <input checked="" type="checkbox"/> Normálové síly $N$ <input checked="" type="checkbox"/> Smykové síly $V_y$ a $V_z$ <input checked="" type="checkbox"/> Momenty $M_y, M_z$ a $M_T$ <input checked="" type="checkbox"/> Materiály (dílčí souč. spolehlivosti $\gamma_M$ ) <input checked="" type="checkbox"/> Průřezy (součinitel pro $J, I_y, I_z, A, A_y, A_z$ ) <input checked="" type="checkbox"/> Pruty (faktor pro $GJ, EI_y, EI_z, EA, GA_y, GA_z$ ) <input checked="" type="checkbox"/> Analýza podle II. řádu (P-Delta)
KZ61	$1.35 \cdot ZS1 + 1.35 \cdot ZS2 + 1.05 \cdot ZS4 + 1.5 \cdot ZS8 + 0.9 \cdot ZS10$	Způsob výpočtu Metoda pro řešení systému nelineárních algebraických rovnic Možnosti Aktivovat součinitele tuhosti:
		<input checked="" type="checkbox"/> Picard <input checked="" type="checkbox"/> Zohlednit příznivé tahové účinky <input checked="" type="checkbox"/> Vztáhnout vnitřní síly na přetvořený systém pro: <input checked="" type="checkbox"/> Normálové síly $N$ <input checked="" type="checkbox"/> Smykové síly $V_y$ a $V_z$ <input checked="" type="checkbox"/> Momenty $M_y, M_z$ a $M_T$ <input checked="" type="checkbox"/> Materiály (dílčí souč. spolehlivosti $\gamma_M$ )



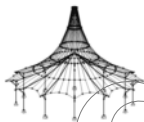
Projekt:

Model: Varianta B

Datum: 08.01.2019

## 2.5.2 KOMBINACE ZATÍŽENÍ - PARAMETRY VÝPOČTU

Kombin. zatížení	Označení	Parametry výpočtu
		<input checked="" type="checkbox"/> Průřezy (součinitel pro $J, I_y, I_z, A, A_y, A_z$ ) <input checked="" type="checkbox"/> Pruty (faktor pro $GJ, EI_y, EI_z, EA, GA_y, GA_z$ ) <input checked="" type="checkbox"/> Analýza podle II. řádu (P-Delta)
KZ62	1.35*ZS1 + 1.35*ZS2 + 1.05*ZS5 + 1.5*ZS6 + 0.9*ZS9	Způsob výpočtu <input checked="" type="checkbox"/> Picard Metoda pro řešení systému nelineárních algebraických rovnic Možnosti <input checked="" type="checkbox"/> Zohlednit příznivé tahové účinky <input checked="" type="checkbox"/> Vztáhnout vnitřní síly na přetvořený systém pro: <input checked="" type="checkbox"/> Normálové síly $N$ <input checked="" type="checkbox"/> Smykové síly $V_y$ a $V_z$ <input checked="" type="checkbox"/> Momenty $M_y, M_z$ a $M_T$ Aktivovat součinitele tuhosti: <input checked="" type="checkbox"/> Materiály (dílčí souč. spolehlivosti $\gamma_M$ ) <input checked="" type="checkbox"/> Průřezy (součinitel pro $J, I_y, I_z, A, A_y, A_z$ ) <input checked="" type="checkbox"/> Pruty (faktor pro $GJ, EI_y, EI_z, EA, GA_y, GA_z$ ) <input checked="" type="checkbox"/> Analýza podle II. řádu (P-Delta)
KZ63	1.35*ZS1 + 1.35*ZS2 + 1.05*ZS5 + 1.5*ZS6 + 0.9*ZS10	Způsob výpočtu <input checked="" type="checkbox"/> Picard Metoda pro řešení systému nelineárních algebraických rovnic Možnosti <input checked="" type="checkbox"/> Zohlednit příznivé tahové účinky <input checked="" type="checkbox"/> Vztáhnout vnitřní síly na přetvořený systém pro: <input checked="" type="checkbox"/> Normálové síly $N$ <input checked="" type="checkbox"/> Smykové síly $V_y$ a $V_z$ <input checked="" type="checkbox"/> Momenty $M_y, M_z$ a $M_T$ Aktivovat součinitele tuhosti: <input checked="" type="checkbox"/> Materiály (dílčí souč. spolehlivosti $\gamma_M$ ) <input checked="" type="checkbox"/> Průřezy (součinitel pro $J, I_y, I_z, A, A_y, A_z$ ) <input checked="" type="checkbox"/> Pruty (faktor pro $GJ, EI_y, EI_z, EA, GA_y, GA_z$ ) <input checked="" type="checkbox"/> Analýza podle II. řádu (P-Delta)
KZ64	1.35*ZS1 + 1.35*ZS2 + 1.05*ZS5 + 1.5*ZS7 + 0.9*ZS9	Způsob výpočtu <input checked="" type="checkbox"/> Picard Metoda pro řešení systému nelineárních algebraických rovnic Možnosti <input checked="" type="checkbox"/> Zohlednit příznivé tahové účinky <input checked="" type="checkbox"/> Vztáhnout vnitřní síly na přetvořený systém pro: <input checked="" type="checkbox"/> Normálové síly $N$ <input checked="" type="checkbox"/> Smykové síly $V_y$ a $V_z$ <input checked="" type="checkbox"/> Momenty $M_y, M_z$ a $M_T$ Aktivovat součinitele tuhosti: <input checked="" type="checkbox"/> Materiály (dílčí souč. spolehlivosti $\gamma_M$ ) <input checked="" type="checkbox"/> Průřezy (součinitel pro $J, I_y, I_z, A, A_y, A_z$ ) <input checked="" type="checkbox"/> Pruty (faktor pro $GJ, EI_y, EI_z, EA, GA_y, GA_z$ ) <input checked="" type="checkbox"/> Analýza podle II. řádu (P-Delta)
KZ65	1.35*ZS1 + 1.35*ZS2 + 1.05*ZS5 + 1.5*ZS7 + 0.9*ZS10	Způsob výpočtu <input checked="" type="checkbox"/> Picard Metoda pro řešení systému nelineárních algebraických rovnic Možnosti <input checked="" type="checkbox"/> Zohlednit příznivé tahové účinky <input checked="" type="checkbox"/> Vztáhnout vnitřní síly na přetvořený systém pro: <input checked="" type="checkbox"/> Normálové síly $N$ <input checked="" type="checkbox"/> Smykové síly $V_y$ a $V_z$ <input checked="" type="checkbox"/> Momenty $M_y, M_z$ a $M_T$ Aktivovat součinitele tuhosti: <input checked="" type="checkbox"/> Materiály (dílčí souč. spolehlivosti $\gamma_M$ ) <input checked="" type="checkbox"/> Průřezy (součinitel pro $J, I_y, I_z, A, A_y, A_z$ ) <input checked="" type="checkbox"/> Pruty (faktor pro $GJ, EI_y, EI_z, EA, GA_y, GA_z$ ) <input checked="" type="checkbox"/> Analýza podle II. řádu (P-Delta)
KZ66	1.35*ZS1 + 1.35*ZS2 + 1.05*ZS5 + 1.5*ZS8 + 0.9*ZS9	Způsob výpočtu <input checked="" type="checkbox"/> Picard Metoda pro řešení systému nelineárních algebraických rovnic Možnosti <input checked="" type="checkbox"/> Zohlednit příznivé tahové účinky <input checked="" type="checkbox"/> Vztáhnout vnitřní síly na přetvořený systém pro: <input checked="" type="checkbox"/> Normálové síly $N$ <input checked="" type="checkbox"/> Smykové síly $V_y$ a $V_z$ <input checked="" type="checkbox"/> Momenty $M_y, M_z$ a $M_T$ Aktivovat součinitele tuhosti: <input checked="" type="checkbox"/> Materiály (dílčí souč. spolehlivosti $\gamma_M$ ) <input checked="" type="checkbox"/> Průřezy (součinitel pro $J, I_y, I_z, A, A_y, A_z$ ) <input checked="" type="checkbox"/> Pruty (faktor pro $GJ, EI_y, EI_z, EA, GA_y, GA_z$ ) <input checked="" type="checkbox"/> Analýza podle II. řádu (P-Delta)
KZ67	1.35*ZS1 + 1.35*ZS2 + 1.05*ZS5 + 1.5*ZS8 + 0.9*ZS10	Způsob výpočtu <input checked="" type="checkbox"/> Picard Metoda pro řešení systému nelineárních algebraických rovnic Možnosti <input checked="" type="checkbox"/> Zohlednit příznivé tahové účinky <input checked="" type="checkbox"/> Vztáhnout vnitřní síly na přetvořený systém pro: <input checked="" type="checkbox"/> Normálové síly $N$ <input checked="" type="checkbox"/> Smykové síly $V_y$ a $V_z$ <input checked="" type="checkbox"/> Momenty $M_y, M_z$ a $M_T$ Aktivovat součinitele tuhosti: <input checked="" type="checkbox"/> Materiály (dílčí souč. spolehlivosti $\gamma_M$ ) <input checked="" type="checkbox"/> Průřezy (součinitel pro $J, I_y, I_z, A, A_y, A_z$ ) <input checked="" type="checkbox"/> Pruty (faktor pro $GJ, EI_y, EI_z, EA, GA_y, GA_z$ ) <input checked="" type="checkbox"/> Analýza podle II. řádu (P-Delta)
KZ68	1.35*ZS1 + 1.35*ZS2 + 1.5*ZS6 + 0.9*ZS9	Způsob výpočtu <input checked="" type="checkbox"/> Picard Metoda pro řešení systému nelineárních algebraických rovnic Možnosti <input checked="" type="checkbox"/> Zohlednit příznivé tahové účinky <input checked="" type="checkbox"/> Vztáhnout vnitřní síly na přetvořený systém pro: <input checked="" type="checkbox"/> Normálové síly $N$ <input checked="" type="checkbox"/> Smykové síly $V_y$ a $V_z$ <input checked="" type="checkbox"/> Momenty $M_y, M_z$ a $M_T$ Aktivovat součinitele tuhosti: <input checked="" type="checkbox"/> Materiály (dílčí souč. spolehlivosti $\gamma_M$ )



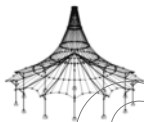
Projekt:

Model: Varianta B

Datum: 08.01.2019

## 2.5.2 KOMBINACE ZATÍŽENÍ - PARAMETRY VÝPOČTU

Kombin. zatížení	Označení	Parametry výpočtu
KZ69	1.35*ZS1 + 1.35*ZS2 + 1.5*ZS6 + 0.9*ZS10	<div><div>Způsob výpočtu</div><div><div><input checked="" type="checkbox"/> Průřezy (součinitel pro <math>J, I_y, I_z, A, A_y, A_z</math>)</div><div><input checked="" type="checkbox"/> Pruty (faktor pro <math>GJ, EI_y, EI_z, EA, GA_y, GA_z</math>)</div><div><input checked="" type="checkbox"/> Analýza podle II. řádu (P-Delta)</div></div></div> <div><div>Metoda pro řešení systému nelineárních algebraických rovnic</div><div><input checked="" type="checkbox"/> Picard</div></div> <div><div>Možnosti</div><div><input checked="" type="checkbox"/> Zohlednit příznivé tahové účinky</div><div><input checked="" type="checkbox"/> Vztáhnout vnitřní síly na přetvořený systém pro:<div><input checked="" type="checkbox"/> Normálové síly <math>N</math></div><div><input checked="" type="checkbox"/> Smykové síly <math>V_y</math> a <math>V_z</math></div><div><input checked="" type="checkbox"/> Momenty <math>M_y, M_z</math> a <math>M_T</math></div></div></div> <div><div>Aktivovat součinitele tuhosti:</div><div><input checked="" type="checkbox"/> Materiály (dílčí souč. spolehlivosti <math>\gamma_M</math>)</div><div><input checked="" type="checkbox"/> Průřezy (součinitel pro <math>J, I_y, I_z, A, A_y, A_z</math>)</div><div><input checked="" type="checkbox"/> Pruty (faktor pro <math>GJ, EI_y, EI_z, EA, GA_y, GA_z</math>)</div><div><input checked="" type="checkbox"/> Analýza podle II. řádu (P-Delta)</div></div>
KZ70	1.35*ZS1 + 1.35*ZS2 + 1.5*ZS7 + 0.9*ZS9	<div><div>Způsob výpočtu</div><div><div><input checked="" type="checkbox"/> Průřezy (součinitel pro <math>J, I_y, I_z, A, A_y, A_z</math>)</div><div><input checked="" type="checkbox"/> Pruty (faktor pro <math>GJ, EI_y, EI_z, EA, GA_y, GA_z</math>)</div><div><input checked="" type="checkbox"/> Analýza podle II. řádu (P-Delta)</div></div></div> <div><div>Metoda pro řešení systému nelineárních algebraických rovnic</div><div><input checked="" type="checkbox"/> Picard</div></div> <div><div>Možnosti</div><div><input checked="" type="checkbox"/> Zohlednit příznivé tahové účinky</div><div><input checked="" type="checkbox"/> Vztáhnout vnitřní síly na přetvořený systém pro:<div><input checked="" type="checkbox"/> Normálové síly <math>N</math></div><div><input checked="" type="checkbox"/> Smykové síly <math>V_y</math> a <math>V_z</math></div><div><input checked="" type="checkbox"/> Momenty <math>M_y, M_z</math> a <math>M_T</math></div></div></div> <div><div>Aktivovat součinitele tuhosti:</div><div><input checked="" type="checkbox"/> Materiály (dílčí souč. spolehlivosti <math>\gamma_M</math>)</div><div><input checked="" type="checkbox"/> Průřezy (součinitel pro <math>J, I_y, I_z, A, A_y, A_z</math>)</div><div><input checked="" type="checkbox"/> Pruty (faktor pro <math>GJ, EI_y, EI_z, EA, GA_y, GA_z</math>)</div><div><input checked="" type="checkbox"/> Analýza podle II. řádu (P-Delta)</div></div>
KZ71	1.35*ZS1 + 1.35*ZS2 + 1.5*ZS7 + 0.9*ZS10	<div><div>Způsob výpočtu</div><div><div><input checked="" type="checkbox"/> Průřezy (součinitel pro <math>J, I_y, I_z, A, A_y, A_z</math>)</div><div><input checked="" type="checkbox"/> Pruty (faktor pro <math>GJ, EI_y, EI_z, EA, GA_y, GA_z</math>)</div><div><input checked="" type="checkbox"/> Analýza podle II. řádu (P-Delta)</div></div></div> <div><div>Metoda pro řešení systému nelineárních algebraických rovnic</div><div><input checked="" type="checkbox"/> Picard</div></div> <div><div>Možnosti</div><div><input checked="" type="checkbox"/> Zohlednit příznivé tahové účinky</div><div><input checked="" type="checkbox"/> Vztáhnout vnitřní síly na přetvořený systém pro:<div><input checked="" type="checkbox"/> Normálové síly <math>N</math></div><div><input checked="" type="checkbox"/> Smykové síly <math>V_y</math> a <math>V_z</math></div><div><input checked="" type="checkbox"/> Momenty <math>M_y, M_z</math> a <math>M_T</math></div></div></div> <div><div>Aktivovat součinitele tuhosti:</div><div><input checked="" type="checkbox"/> Materiály (dílčí souč. spolehlivosti <math>\gamma_M</math>)</div><div><input checked="" type="checkbox"/> Průřezy (součinitel pro <math>J, I_y, I_z, A, A_y, A_z</math>)</div><div><input checked="" type="checkbox"/> Pruty (faktor pro <math>GJ, EI_y, EI_z, EA, GA_y, GA_z</math>)</div><div><input checked="" type="checkbox"/> Analýza podle II. řádu (P-Delta)</div></div>
KZ72	1.35*ZS1 + 1.35*ZS2 + 1.5*ZS8 + 0.9*ZS9	<div><div>Způsob výpočtu</div><div><div><input checked="" type="checkbox"/> Průřezy (součinitel pro <math>J, I_y, I_z, A, A_y, A_z</math>)</div><div><input checked="" type="checkbox"/> Pruty (faktor pro <math>GJ, EI_y, EI_z, EA, GA_y, GA_z</math>)</div><div><input checked="" type="checkbox"/> Analýza podle II. řádu (P-Delta)</div></div></div> <div><div>Metoda pro řešení systému nelineárních algebraických rovnic</div><div><input checked="" type="checkbox"/> Picard</div></div> <div><div>Možnosti</div><div><input checked="" type="checkbox"/> Zohlednit příznivé tahové účinky</div><div><input checked="" type="checkbox"/> Vztáhnout vnitřní síly na přetvořený systém pro:<div><input checked="" type="checkbox"/> Normálové síly <math>N</math></div><div><input checked="" type="checkbox"/> Smykové síly <math>V_y</math> a <math>V_z</math></div><div><input checked="" type="checkbox"/> Momenty <math>M_y, M_z</math> a <math>M_T</math></div></div></div> <div><div>Aktivovat součinitele tuhosti:</div><div><input checked="" type="checkbox"/> Materiály (dílčí souč. spolehlivosti <math>\gamma_M</math>)</div><div><input checked="" type="checkbox"/> Průřezy (součinitel pro <math>J, I_y, I_z, A, A_y, A_z</math>)</div><div><input checked="" type="checkbox"/> Pruty (faktor pro <math>GJ, EI_y, EI_z, EA, GA_y, GA_z</math>)</div><div><input checked="" type="checkbox"/> Analýza podle II. řádu (P-Delta)</div></div>
KZ73	1.35*ZS1 + 1.35*ZS2 + 1.5*ZS8 + 0.9*ZS10	<div><div>Způsob výpočtu</div><div><div><input checked="" type="checkbox"/> Průřezy (součinitel pro <math>J, I_y, I_z, A, A_y, A_z</math>)</div><div><input checked="" type="checkbox"/> Pruty (faktor pro <math>GJ, EI_y, EI_z, EA, GA_y, GA_z</math>)</div><div><input checked="" type="checkbox"/> Analýza podle II. řádu (P-Delta)</div></div></div> <div><div>Metoda pro řešení systému nelineárních algebraických rovnic</div><div><input checked="" type="checkbox"/> Picard</div></div> <div><div>Možnosti</div><div><input checked="" type="checkbox"/> Zohlednit příznivé tahové účinky</div><div><input checked="" type="checkbox"/> Vztáhnout vnitřní síly na přetvořený systém pro:<div><input checked="" type="checkbox"/> Normálové síly <math>N</math></div><div><input checked="" type="checkbox"/> Smykové síly <math>V_y</math> a <math>V_z</math></div><div><input checked="" type="checkbox"/> Momenty <math>M_y, M_z</math> a <math>M_T</math></div></div></div> <div><div>Aktivovat součinitele tuhosti:</div><div><input checked="" type="checkbox"/> Materiály (dílčí souč. spolehlivosti <math>\gamma_M</math>)</div><div><input checked="" type="checkbox"/> Průřezy (součinitel pro <math>J, I_y, I_z, A, A_y, A_z</math>)</div><div><input checked="" type="checkbox"/> Pruty (faktor pro <math>GJ, EI_y, EI_z, EA, GA_y, GA_z</math>)</div><div><input checked="" type="checkbox"/> Analýza podle II. řádu (P-Delta)</div></div>
KZ74	1.35*ZS1 + 1.35*ZS2 + 1.5*ZS9	<div><div>Způsob výpočtu</div><div><div><input checked="" type="checkbox"/> Průřezy (součinitel pro <math>J, I_y, I_z, A, A_y, A_z</math>)</div><div><input checked="" type="checkbox"/> Pruty (faktor pro <math>GJ, EI_y, EI_z, EA, GA_y, GA_z</math>)</div><div><input checked="" type="checkbox"/> Analýza podle II. řádu (P-Delta)</div></div></div> <div><div>Metoda pro řešení systému nelineárních algebraických rovnic</div><div><input checked="" type="checkbox"/> Picard</div></div> <div><div>Možnosti</div><div><input checked="" type="checkbox"/> Zohlednit příznivé tahové účinky</div><div><input checked="" type="checkbox"/> Vztáhnout vnitřní síly na přetvořený systém pro:<div><input checked="" type="checkbox"/> Normálové síly <math>N</math></div><div><input checked="" type="checkbox"/> Smykové síly <math>V_y</math> a <math>V_z</math></div><div><input checked="" type="checkbox"/> Momenty <math>M_y, M_z</math> a <math>M_T</math></div></div></div> <div><div>Aktivovat součinitele tuhosti:</div><div><input checked="" type="checkbox"/> Materiály (dílčí souč. spolehlivosti <math>\gamma_M</math>)</div><div><input checked="" type="checkbox"/> Průřezy (součinitel pro <math>J, I_y, I_z, A, A_y, A_z</math>)</div><div><input checked="" type="checkbox"/> Pruty (faktor pro <math>GJ, EI_y, EI_z, EA, GA_y, GA_z</math>)</div><div><input checked="" type="checkbox"/> Analýza podle II. řádu (P-Delta)</div></div>
KZ75	1.35*ZS1 + 1.35*ZS2 + 1.5*ZS10	<div><div>Způsob výpočtu</div><div><div><input checked="" type="checkbox"/> Průřezy (součinitel pro <math>J, I_y, I_z, A, A_y, A_z</math>)</div><div><input checked="" type="checkbox"/> Pruty (faktor pro <math>GJ, EI_y, EI_z, EA, GA_y, GA_z</math>)</div><div><input checked="" type="checkbox"/> Analýza podle II. řádu (P-Delta)</div></div></div> <div><div>Metoda pro řešení systému nelineárních algebraických rovnic</div><div><input checked="" type="checkbox"/> Picard</div></div> <div><div>Možnosti</div><div><input checked="" type="checkbox"/> Zohlednit příznivé tahové účinky</div><div><input checked="" type="checkbox"/> Vztáhnout vnitřní síly na přetvořený systém pro:<div><input checked="" type="checkbox"/> Normálové síly <math>N</math></div><div><input checked="" type="checkbox"/> Smykové síly <math>V_y</math> a <math>V_z</math></div><div><input checked="" type="checkbox"/> Momenty <math>M_y, M_z</math> a <math>M_T</math></div></div></div> <div><div>Aktivovat součinitele tuhosti:</div><div><input checked="" type="checkbox"/> Materiály (dílčí souč. spolehlivosti <math>\gamma_M</math>)</div><div><input checked="" type="checkbox"/> Průřezy (součinitel pro <math>J, I_y, I_z, A, A_y, A_z</math>)</div><div><input checked="" type="checkbox"/> Pruty (faktor pro <math>GJ, EI_y, EI_z, EA, GA_y, GA_z</math>)</div><div><input checked="" type="checkbox"/> Analýza podle II. řádu (P-Delta)</div></div>



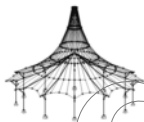
Projekt:

Model: Varianta B

Datum: 08.01.2019

## 2.5.2 KOMBINACE ZATÍŽENÍ - PARAMETRY VÝPOČTU

Kombin. zatížení	Označení	Parametry výpočtu
KZ76	1.35*ZS1 + 1.35*ZS2 + 1.05*ZS3 + 1.5*ZS9	<p>Způsob výpočtu: <input checked="" type="radio"/> Analýza podle II. řádu (P-Delta)</p> <p>Metoda pro řešení systému nelineárních algebraických rovnic Možnosti: <input checked="" type="radio"/> Picard</p> <p><input checked="" type="checkbox"/> Zohlednit příznivé tahové účinky <input checked="" type="checkbox"/> Vztáhnout vnitřní síly na přetvořený systém pro: <input checked="" type="checkbox"/> Normálové síly <math>N</math> <input checked="" type="checkbox"/> Smykové síly <math>V_y</math> a <math>V_z</math> <input checked="" type="checkbox"/> Momenty <math>M_y</math>, <math>M_z</math> a <math>M_T</math></p> <p>Aktivovat součinitele tuhosti: <input checked="" type="checkbox"/> Materiály (dílčí souč. spolehlivosti <math>\gamma_M</math>) <input checked="" type="checkbox"/> Průřezy (součinitel pro <math>J</math>, <math>I_y</math>, <math>I_z</math>, <math>A</math>, <math>A_y</math>, <math>A_z</math>) <input checked="" type="checkbox"/> Pruty (faktor pro <math>GJ</math>, <math>El_y</math>, <math>El_z</math>, <math>EA</math>, <math>GA_y</math>, <math>GA_z</math>)</p>
KZ77	1.35*ZS1 + 1.35*ZS2 + 1.05*ZS3 + 1.5*ZS10	<p>Způsob výpočtu: <input checked="" type="radio"/> Analýza podle II. řádu (P-Delta)</p> <p>Metoda pro řešení systému nelineárních algebraických rovnic Možnosti: <input checked="" type="radio"/> Picard</p> <p><input checked="" type="checkbox"/> Zohlednit příznivé tahové účinky <input checked="" type="checkbox"/> Vztáhnout vnitřní síly na přetvořený systém pro: <input checked="" type="checkbox"/> Normálové síly <math>N</math> <input checked="" type="checkbox"/> Smykové síly <math>V_y</math> a <math>V_z</math> <input checked="" type="checkbox"/> Momenty <math>M_y</math>, <math>M_z</math> a <math>M_T</math></p> <p>Aktivovat součinitele tuhosti: <input checked="" type="checkbox"/> Materiály (dílčí souč. spolehlivosti <math>\gamma_M</math>) <input checked="" type="checkbox"/> Průřezy (součinitel pro <math>J</math>, <math>I_y</math>, <math>I_z</math>, <math>A</math>, <math>A_y</math>, <math>A_z</math>) <input checked="" type="checkbox"/> Pruty (faktor pro <math>GJ</math>, <math>El_y</math>, <math>El_z</math>, <math>EA</math>, <math>GA_y</math>, <math>GA_z</math>)</p>
KZ78	1.35*ZS1 + 1.35*ZS2 + 1.05*ZS4 + 1.5*ZS9	<p>Způsob výpočtu: <input checked="" type="radio"/> Analýza podle II. řádu (P-Delta)</p> <p>Metoda pro řešení systému nelineárních algebraických rovnic Možnosti: <input checked="" type="radio"/> Picard</p> <p><input checked="" type="checkbox"/> Zohlednit příznivé tahové účinky <input checked="" type="checkbox"/> Vztáhnout vnitřní síly na přetvořený systém pro: <input checked="" type="checkbox"/> Normálové síly <math>N</math> <input checked="" type="checkbox"/> Smykové síly <math>V_y</math> a <math>V_z</math> <input checked="" type="checkbox"/> Momenty <math>M_y</math>, <math>M_z</math> a <math>M_T</math></p> <p>Aktivovat součinitele tuhosti: <input checked="" type="checkbox"/> Materiály (dílčí souč. spolehlivosti <math>\gamma_M</math>) <input checked="" type="checkbox"/> Průřezy (součinitel pro <math>J</math>, <math>I_y</math>, <math>I_z</math>, <math>A</math>, <math>A_y</math>, <math>A_z</math>) <input checked="" type="checkbox"/> Pruty (faktor pro <math>GJ</math>, <math>El_y</math>, <math>El_z</math>, <math>EA</math>, <math>GA_y</math>, <math>GA_z</math>)</p>
KZ79	1.35*ZS1 + 1.35*ZS2 + 1.05*ZS4 + 1.5*ZS10	<p>Způsob výpočtu: <input checked="" type="radio"/> Analýza podle II. řádu (P-Delta)</p> <p>Metoda pro řešení systému nelineárních algebraických rovnic Možnosti: <input checked="" type="radio"/> Picard</p> <p><input checked="" type="checkbox"/> Zohlednit příznivé tahové účinky <input checked="" type="checkbox"/> Vztáhnout vnitřní síly na přetvořený systém pro: <input checked="" type="checkbox"/> Normálové síly <math>N</math> <input checked="" type="checkbox"/> Smykové síly <math>V_y</math> a <math>V_z</math> <input checked="" type="checkbox"/> Momenty <math>M_y</math>, <math>M_z</math> a <math>M_T</math></p> <p>Aktivovat součinitele tuhosti: <input checked="" type="checkbox"/> Materiály (dílčí souč. spolehlivosti <math>\gamma_M</math>) <input checked="" type="checkbox"/> Průřezy (součinitel pro <math>J</math>, <math>I_y</math>, <math>I_z</math>, <math>A</math>, <math>A_y</math>, <math>A_z</math>) <input checked="" type="checkbox"/> Pruty (faktor pro <math>GJ</math>, <math>El_y</math>, <math>El_z</math>, <math>EA</math>, <math>GA_y</math>, <math>GA_z</math>)</p>
KZ80	1.35*ZS1 + 1.35*ZS2 + 1.05*ZS5 + 1.5*ZS9	<p>Způsob výpočtu: <input checked="" type="radio"/> Analýza podle II. řádu (P-Delta)</p> <p>Metoda pro řešení systému nelineárních algebraických rovnic Možnosti: <input checked="" type="radio"/> Picard</p> <p><input checked="" type="checkbox"/> Zohlednit příznivé tahové účinky <input checked="" type="checkbox"/> Vztáhnout vnitřní síly na přetvořený systém pro: <input checked="" type="checkbox"/> Normálové síly <math>N</math> <input checked="" type="checkbox"/> Smykové síly <math>V_y</math> a <math>V_z</math> <input checked="" type="checkbox"/> Momenty <math>M_y</math>, <math>M_z</math> a <math>M_T</math></p> <p>Aktivovat součinitele tuhosti: <input checked="" type="checkbox"/> Materiály (dílčí souč. spolehlivosti <math>\gamma_M</math>) <input checked="" type="checkbox"/> Průřezy (součinitel pro <math>J</math>, <math>I_y</math>, <math>I_z</math>, <math>A</math>, <math>A_y</math>, <math>A_z</math>) <input checked="" type="checkbox"/> Pruty (faktor pro <math>GJ</math>, <math>El_y</math>, <math>El_z</math>, <math>EA</math>, <math>GA_y</math>, <math>GA_z</math>)</p>
KZ81	1.35*ZS1 + 1.35*ZS2 + 1.05*ZS5 + 1.5*ZS10	<p>Způsob výpočtu: <input checked="" type="radio"/> Analýza podle II. řádu (P-Delta)</p> <p>Metoda pro řešení systému nelineárních algebraických rovnic Možnosti: <input checked="" type="radio"/> Picard</p> <p><input checked="" type="checkbox"/> Zohlednit příznivé tahové účinky <input checked="" type="checkbox"/> Vztáhnout vnitřní síly na přetvořený systém pro: <input checked="" type="checkbox"/> Normálové síly <math>N</math> <input checked="" type="checkbox"/> Smykové síly <math>V_y</math> a <math>V_z</math> <input checked="" type="checkbox"/> Momenty <math>M_y</math>, <math>M_z</math> a <math>M_T</math></p> <p>Aktivovat součinitele tuhosti: <input checked="" type="checkbox"/> Materiály (dílčí souč. spolehlivosti <math>\gamma_M</math>) <input checked="" type="checkbox"/> Průřezy (součinitel pro <math>J</math>, <math>I_y</math>, <math>I_z</math>, <math>A</math>, <math>A_y</math>, <math>A_z</math>) <input checked="" type="checkbox"/> Pruty (faktor pro <math>GJ</math>, <math>El_y</math>, <math>El_z</math>, <math>EA</math>, <math>GA_y</math>, <math>GA_z</math>)</p>
KZ82	1.35*ZS1 + 1.35*ZS2 + 1.05*ZS3 + 0.75*ZS6 + 1.5*ZS9	<p>Způsob výpočtu: <input checked="" type="radio"/> Analýza podle II. řádu (P-Delta)</p> <p>Metoda pro řešení systému nelineárních algebraických rovnic Možnosti: <input checked="" type="radio"/> Picard</p> <p><input checked="" type="checkbox"/> Zohlednit příznivé tahové účinky <input checked="" type="checkbox"/> Vztáhnout vnitřní síly na přetvořený systém pro: <input checked="" type="checkbox"/> Normálové síly <math>N</math> <input checked="" type="checkbox"/> Smykové síly <math>V_y</math> a <math>V_z</math> <input checked="" type="checkbox"/> Momenty <math>M_y</math>, <math>M_z</math> a <math>M_T</math></p> <p>Aktivovat součinitele tuhosti: <input checked="" type="checkbox"/> Materiály (dílčí souč. spolehlivosti <math>\gamma_M</math>) <input checked="" type="checkbox"/> Průřezy (součinitel pro <math>J</math>, <math>I_y</math>, <math>I_z</math>, <math>A</math>, <math>A_y</math>, <math>A_z</math>) <input checked="" type="checkbox"/> Pruty (faktor pro <math>GJ</math>, <math>El_y</math>, <math>El_z</math>, <math>EA</math>, <math>GA_y</math>, <math>GA_z</math>)</p>
KZ83	1.35*ZS1 + 1.35*ZS2 + 1.05*ZS3 +	<p>Způsob výpočtu: <input checked="" type="radio"/> Analýza podle II. řádu (P-Delta)</p>



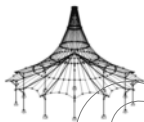
Projekt:

Model: Varianta B

Datum: 08.01.2019

## 2.5.2 KOMBINACE ZATÍŽENÍ - PARAMETRY VÝPOČTU

Kombin. zatížení	Označení	Parametry výpočtu
	$+ 0.75 \cdot \text{ZS6} + 1.5 \cdot \text{ZS10}$	<p>Metoda pro řešení systému nelineárních algebraických rovnic Možnosti : <input type="radio"/> Picard</p> <p>: <input checked="" type="checkbox"/> Zohlednit příznivé tahové účinky</p> <p>: <input checked="" type="checkbox"/> Vztáhnout vnitřní síly na přetvořený systém pro:</p> <p><input checked="" type="checkbox"/> Normálové síly <math>N</math></p> <p><input checked="" type="checkbox"/> Smykové síly <math>V_y</math> a <math>V_z</math></p> <p><input checked="" type="checkbox"/> Momenty <math>M_y</math>, <math>M_z</math> a <math>M_T</math></p> <p>Aktivovat součinitele tuhosti: : <input checked="" type="checkbox"/> Materiály (dílčí souč. spolehlivosti <math>\gamma_M</math>)</p> <p>: <input checked="" type="checkbox"/> Průřezy (součinitel pro <math>J</math>, <math>I_y</math>, <math>I_z</math>, <math>A</math>, <math>A_y</math>, <math>A_z</math>)</p> <p>: <input checked="" type="checkbox"/> Pruty (faktor pro <math>GJ</math>, <math>El_y</math>, <math>El_z</math>, <math>EA</math>, <math>GA_y</math>, <math>GA_z</math>)</p>
KZ84	$1.35 \cdot \text{ZS1} + 1.35 \cdot \text{ZS2} + 1.05 \cdot \text{ZS3} + 0.75 \cdot \text{ZS7} + 1.5 \cdot \text{ZS9}$	<p>Způsob výpočtu : <input type="radio"/> Analýza podle II. řádu (P-Delta)</p> <p>Metoda pro řešení systému nelineárních algebraických rovnic Možnosti : <input type="radio"/> Picard</p> <p>: <input checked="" type="checkbox"/> Zohlednit příznivé tahové účinky</p> <p>: <input checked="" type="checkbox"/> Vztáhnout vnitřní síly na přetvořený systém pro:</p> <p><input checked="" type="checkbox"/> Normálové síly <math>N</math></p> <p><input checked="" type="checkbox"/> Smykové síly <math>V_y</math> a <math>V_z</math></p> <p><input checked="" type="checkbox"/> Momenty <math>M_y</math>, <math>M_z</math> a <math>M_T</math></p> <p>Aktivovat součinitele tuhosti: : <input checked="" type="checkbox"/> Materiály (dílčí souč. spolehlivosti <math>\gamma_M</math>)</p> <p>: <input checked="" type="checkbox"/> Průřezy (součinitel pro <math>J</math>, <math>I_y</math>, <math>I_z</math>, <math>A</math>, <math>A_y</math>, <math>A_z</math>)</p> <p>: <input checked="" type="checkbox"/> Pruty (faktor pro <math>GJ</math>, <math>El_y</math>, <math>El_z</math>, <math>EA</math>, <math>GA_y</math>, <math>GA_z</math>)</p>
KZ85	$1.35 \cdot \text{ZS1} + 1.35 \cdot \text{ZS2} + 1.05 \cdot \text{ZS3} + 0.75 \cdot \text{ZS7} + 1.5 \cdot \text{ZS10}$	<p>Způsob výpočtu : <input type="radio"/> Analýza podle II. řádu (P-Delta)</p> <p>Metoda pro řešení systému nelineárních algebraických rovnic Možnosti : <input type="radio"/> Picard</p> <p>: <input checked="" type="checkbox"/> Zohlednit příznivé tahové účinky</p> <p>: <input checked="" type="checkbox"/> Vztáhnout vnitřní síly na přetvořený systém pro:</p> <p><input checked="" type="checkbox"/> Normálové síly <math>N</math></p> <p><input checked="" type="checkbox"/> Smykové síly <math>V_y</math> a <math>V_z</math></p> <p><input checked="" type="checkbox"/> Momenty <math>M_y</math>, <math>M_z</math> a <math>M_T</math></p> <p>Aktivovat součinitele tuhosti: : <input checked="" type="checkbox"/> Materiály (dílčí souč. spolehlivosti <math>\gamma_M</math>)</p> <p>: <input checked="" type="checkbox"/> Průřezy (součinitel pro <math>J</math>, <math>I_y</math>, <math>I_z</math>, <math>A</math>, <math>A_y</math>, <math>A_z</math>)</p> <p>: <input checked="" type="checkbox"/> Pruty (faktor pro <math>GJ</math>, <math>El_y</math>, <math>El_z</math>, <math>EA</math>, <math>GA_y</math>, <math>GA_z</math>)</p>
KZ86	$1.35 \cdot \text{ZS1} + 1.35 \cdot \text{ZS2} + 1.05 \cdot \text{ZS3} + 0.75 \cdot \text{ZS8} + 1.5 \cdot \text{ZS9}$	<p>Způsob výpočtu : <input type="radio"/> Analýza podle II. řádu (P-Delta)</p> <p>Metoda pro řešení systému nelineárních algebraických rovnic Možnosti : <input type="radio"/> Picard</p> <p>: <input checked="" type="checkbox"/> Zohlednit příznivé tahové účinky</p> <p>: <input checked="" type="checkbox"/> Vztáhnout vnitřní síly na přetvořený systém pro:</p> <p><input checked="" type="checkbox"/> Normálové síly <math>N</math></p> <p><input checked="" type="checkbox"/> Smykové síly <math>V_y</math> a <math>V_z</math></p> <p><input checked="" type="checkbox"/> Momenty <math>M_y</math>, <math>M_z</math> a <math>M_T</math></p> <p>Aktivovat součinitele tuhosti: : <input checked="" type="checkbox"/> Materiály (dílčí souč. spolehlivosti <math>\gamma_M</math>)</p> <p>: <input checked="" type="checkbox"/> Průřezy (součinitel pro <math>J</math>, <math>I_y</math>, <math>I_z</math>, <math>A</math>, <math>A_y</math>, <math>A_z</math>)</p> <p>: <input checked="" type="checkbox"/> Pruty (faktor pro <math>GJ</math>, <math>El_y</math>, <math>El_z</math>, <math>EA</math>, <math>GA_y</math>, <math>GA_z</math>)</p>
KZ87	$1.35 \cdot \text{ZS1} + 1.35 \cdot \text{ZS2} + 1.05 \cdot \text{ZS3} + 0.75 \cdot \text{ZS8} + 1.5 \cdot \text{ZS10}$	<p>Způsob výpočtu : <input type="radio"/> Analýza podle II. řádu (P-Delta)</p> <p>Metoda pro řešení systému nelineárních algebraických rovnic Možnosti : <input type="radio"/> Picard</p> <p>: <input checked="" type="checkbox"/> Zohlednit příznivé tahové účinky</p> <p>: <input checked="" type="checkbox"/> Vztáhnout vnitřní síly na přetvořený systém pro:</p> <p><input checked="" type="checkbox"/> Normálové síly <math>N</math></p> <p><input checked="" type="checkbox"/> Smykové síly <math>V_y</math> a <math>V_z</math></p> <p><input checked="" type="checkbox"/> Momenty <math>M_y</math>, <math>M_z</math> a <math>M_T</math></p> <p>Aktivovat součinitele tuhosti: : <input checked="" type="checkbox"/> Materiály (dílčí souč. spolehlivosti <math>\gamma_M</math>)</p> <p>: <input checked="" type="checkbox"/> Průřezy (součinitel pro <math>J</math>, <math>I_y</math>, <math>I_z</math>, <math>A</math>, <math>A_y</math>, <math>A_z</math>)</p> <p>: <input checked="" type="checkbox"/> Pruty (faktor pro <math>GJ</math>, <math>El_y</math>, <math>El_z</math>, <math>EA</math>, <math>GA_y</math>, <math>GA_z</math>)</p>
KZ88	$1.35 \cdot \text{ZS1} + 1.35 \cdot \text{ZS2} + 1.05 \cdot \text{ZS4} + 0.75 \cdot \text{ZS6} + 1.5 \cdot \text{ZS9}$	<p>Způsob výpočtu : <input type="radio"/> Analýza podle II. řádu (P-Delta)</p> <p>Metoda pro řešení systému nelineárních algebraických rovnic Možnosti : <input type="radio"/> Picard</p> <p>: <input checked="" type="checkbox"/> Zohlednit příznivé tahové účinky</p> <p>: <input checked="" type="checkbox"/> Vztáhnout vnitřní síly na přetvořený systém pro:</p> <p><input checked="" type="checkbox"/> Normálové síly <math>N</math></p> <p><input checked="" type="checkbox"/> Smykové síly <math>V_y</math> a <math>V_z</math></p> <p><input checked="" type="checkbox"/> Momenty <math>M_y</math>, <math>M_z</math> a <math>M_T</math></p> <p>Aktivovat součinitele tuhosti: : <input checked="" type="checkbox"/> Materiály (dílčí souč. spolehlivosti <math>\gamma_M</math>)</p> <p>: <input checked="" type="checkbox"/> Průřezy (součinitel pro <math>J</math>, <math>I_y</math>, <math>I_z</math>, <math>A</math>, <math>A_y</math>, <math>A_z</math>)</p> <p>: <input checked="" type="checkbox"/> Pruty (faktor pro <math>GJ</math>, <math>El_y</math>, <math>El_z</math>, <math>EA</math>, <math>GA_y</math>, <math>GA_z</math>)</p>
KZ89	$1.35 \cdot \text{ZS1} + 1.35 \cdot \text{ZS2} + 1.05 \cdot \text{ZS4} + 0.75 \cdot \text{ZS6} + 1.5 \cdot \text{ZS10}$	<p>Způsob výpočtu : <input type="radio"/> Analýza podle II. řádu (P-Delta)</p> <p>Metoda pro řešení systému nelineárních algebraických rovnic Možnosti : <input type="radio"/> Picard</p> <p>: <input checked="" type="checkbox"/> Zohlednit příznivé tahové účinky</p> <p>: <input checked="" type="checkbox"/> Vztáhnout vnitřní síly na přetvořený systém pro:</p> <p><input checked="" type="checkbox"/> Normálové síly <math>N</math></p> <p><input checked="" type="checkbox"/> Smykové síly <math>V_y</math> a <math>V_z</math></p> <p><input checked="" type="checkbox"/> Momenty <math>M_y</math>, <math>M_z</math> a <math>M_T</math></p> <p>Aktivovat součinitele tuhosti: : <input checked="" type="checkbox"/> Materiály (dílčí souč. spolehlivosti <math>\gamma_M</math>)</p> <p>: <input checked="" type="checkbox"/> Průřezy (součinitel pro <math>J</math>, <math>I_y</math>, <math>I_z</math>, <math>A</math>, <math>A_y</math>, <math>A_z</math>)</p> <p>: <input checked="" type="checkbox"/> Pruty (faktor pro <math>GJ</math>, <math>El_y</math>, <math>El_z</math>, <math>EA</math>, <math>GA_y</math>, <math>GA_z</math>)</p>
KZ90	$1.35 \cdot \text{ZS1} + 1.35 \cdot \text{ZS2} + 1.05 \cdot \text{ZS4} + 0.75 \cdot \text{ZS7} + 1.5 \cdot \text{ZS9}$	<p>Způsob výpočtu : <input type="radio"/> Analýza podle II. řádu (P-Delta)</p>



Projekt:

Model: Varianta B

Datum: 08.01.2019

## 2.5.2 KOMBINACE ZATÍŽENÍ - PARAMETRY VÝPOČTU

Kombin. zatížení	Označení	Parametry výpočtu
KZ91	$1.35 \cdot ZS1 + 1.35 \cdot ZS2 + 1.05 \cdot ZS4 + 0.75 \cdot ZS7 + 1.5 \cdot ZS10$	Metoda pro řešení systému nelineárních algebraických rovnic Možnosti : <input checked="" type="checkbox"/> Picard : <input checked="" type="checkbox"/> Zohlednit příznivé tahové účinky : <input checked="" type="checkbox"/> Vztáhnout vnitřní síly na přetvořený systém pro: : <input checked="" type="checkbox"/> Normálové síly $N$ : <input checked="" type="checkbox"/> Smykové síly $V_y$ a $V_z$ : <input checked="" type="checkbox"/> Momenty $M_y$ , $M_z$ a $M_T$ Aktivovat součinitele tuhosti: : <input checked="" type="checkbox"/> Materiály (díleč souč. spolehlivosti $\gamma_M$ ) : <input checked="" type="checkbox"/> Průřezy (součinitel pro $J$ , $I_y$ , $I_z$ , $A$ , $A_y$ , $A_z$ ) : <input checked="" type="checkbox"/> Pruty (faktor pro $GJ$ , $EI_y$ , $EI_z$ , $EA$ , $GA_y$ , $GA_z$ )
		Způsob výpočtu : <input checked="" type="checkbox"/> Analýza podle II. řádu (P-Delta)
KZ92	$1.35 \cdot ZS1 + 1.35 \cdot ZS2 + 1.05 \cdot ZS4 + 0.75 \cdot ZS8 + 1.5 \cdot ZS9$	Metoda pro řešení systému nelineárních algebraických rovnic Možnosti : <input checked="" type="checkbox"/> Picard : <input checked="" type="checkbox"/> Zohlednit příznivé tahové účinky : <input checked="" type="checkbox"/> Vztáhnout vnitřní síly na přetvořený systém pro: : <input checked="" type="checkbox"/> Normálové síly $N$ : <input checked="" type="checkbox"/> Smykové síly $V_y$ a $V_z$ : <input checked="" type="checkbox"/> Momenty $M_y$ , $M_z$ a $M_T$ Aktivovat součinitele tuhosti: : <input checked="" type="checkbox"/> Materiály (díleč souč. spolehlivosti $\gamma_M$ ) : <input checked="" type="checkbox"/> Průřezy (součinitel pro $J$ , $I_y$ , $I_z$ , $A$ , $A_y$ , $A_z$ ) : <input checked="" type="checkbox"/> Pruty (faktor pro $GJ$ , $EI_y$ , $EI_z$ , $EA$ , $GA_y$ , $GA_z$ )
		Způsob výpočtu : <input checked="" type="checkbox"/> Analýza podle II. řádu (P-Delta)
KZ93	$1.35 \cdot ZS1 + 1.35 \cdot ZS2 + 1.05 \cdot ZS4 + 0.75 \cdot ZS8 + 1.5 \cdot ZS10$	Metoda pro řešení systému nelineárních algebraických rovnic Možnosti : <input checked="" type="checkbox"/> Picard : <input checked="" type="checkbox"/> Zohlednit příznivé tahové účinky : <input checked="" type="checkbox"/> Vztáhnout vnitřní síly na přetvořený systém pro: : <input checked="" type="checkbox"/> Normálové síly $N$ : <input checked="" type="checkbox"/> Smykové síly $V_y$ a $V_z$ : <input checked="" type="checkbox"/> Momenty $M_y$ , $M_z$ a $M_T$ Aktivovat součinitele tuhosti: : <input checked="" type="checkbox"/> Materiály (díleč souč. spolehlivosti $\gamma_M$ ) : <input checked="" type="checkbox"/> Průřezy (součinitel pro $J$ , $I_y$ , $I_z$ , $A$ , $A_y$ , $A_z$ ) : <input checked="" type="checkbox"/> Pruty (faktor pro $GJ$ , $EI_y$ , $EI_z$ , $EA$ , $GA_y$ , $GA_z$ )
		Způsob výpočtu : <input checked="" type="checkbox"/> Analýza podle II. řádu (P-Delta)
KZ94	$1.35 \cdot ZS1 + 1.35 \cdot ZS2 + 1.05 \cdot ZS5 + 0.75 \cdot ZS6 + 1.5 \cdot ZS9$	Metoda pro řešení systému nelineárních algebraických rovnic Možnosti : <input checked="" type="checkbox"/> Picard : <input checked="" type="checkbox"/> Zohlednit příznivé tahové účinky : <input checked="" type="checkbox"/> Vztáhnout vnitřní síly na přetvořený systém pro: : <input checked="" type="checkbox"/> Normálové síly $N$ : <input checked="" type="checkbox"/> Smykové síly $V_y$ a $V_z$ : <input checked="" type="checkbox"/> Momenty $M_y$ , $M_z$ a $M_T$ Aktivovat součinitele tuhosti: : <input checked="" type="checkbox"/> Materiály (díleč souč. spolehlivosti $\gamma_M$ ) : <input checked="" type="checkbox"/> Průřezy (součinitel pro $J$ , $I_y$ , $I_z$ , $A$ , $A_y$ , $A_z$ ) : <input checked="" type="checkbox"/> Pruty (faktor pro $GJ$ , $EI_y$ , $EI_z$ , $EA$ , $GA_y$ , $GA_z$ )
		Způsob výpočtu : <input checked="" type="checkbox"/> Analýza podle II. řádu (P-Delta)
KZ95	$1.35 \cdot ZS1 + 1.35 \cdot ZS2 + 1.05 \cdot ZS5 + 0.75 \cdot ZS6 + 1.5 \cdot ZS10$	Metoda pro řešení systému nelineárních algebraických rovnic Možnosti : <input checked="" type="checkbox"/> Picard : <input checked="" type="checkbox"/> Zohlednit příznivé tahové účinky : <input checked="" type="checkbox"/> Vztáhnout vnitřní síly na přetvořený systém pro: : <input checked="" type="checkbox"/> Normálové síly $N$ : <input checked="" type="checkbox"/> Smykové síly $V_y$ a $V_z$ : <input checked="" type="checkbox"/> Momenty $M_y$ , $M_z$ a $M_T$ Aktivovat součinitele tuhosti: : <input checked="" type="checkbox"/> Materiály (díleč souč. spolehlivosti $\gamma_M$ ) : <input checked="" type="checkbox"/> Průřezy (součinitel pro $J$ , $I_y$ , $I_z$ , $A$ , $A_y$ , $A_z$ ) : <input checked="" type="checkbox"/> Pruty (faktor pro $GJ$ , $EI_y$ , $EI_z$ , $EA$ , $GA_y$ , $GA_z$ )
		Způsob výpočtu : <input checked="" type="checkbox"/> Analýza podle II. řádu (P-Delta)
KZ96	$1.35 \cdot ZS1 + 1.35 \cdot ZS2 + 1.05 \cdot ZS5 + 0.75 \cdot ZS7 + 1.5 \cdot ZS9$	Metoda pro řešení systému nelineárních algebraických rovnic Možnosti : <input checked="" type="checkbox"/> Picard : <input checked="" type="checkbox"/> Zohlednit příznivé tahové účinky : <input checked="" type="checkbox"/> Vztáhnout vnitřní síly na přetvořený systém pro: : <input checked="" type="checkbox"/> Normálové síly $N$ : <input checked="" type="checkbox"/> Smykové síly $V_y$ a $V_z$ : <input checked="" type="checkbox"/> Momenty $M_y$ , $M_z$ a $M_T$ Aktivovat součinitele tuhosti: : <input checked="" type="checkbox"/> Materiály (díleč souč. spolehlivosti $\gamma_M$ ) : <input checked="" type="checkbox"/> Průřezy (součinitel pro $J$ , $I_y$ , $I_z$ , $A$ , $A_y$ , $A_z$ ) : <input checked="" type="checkbox"/> Pruty (faktor pro $GJ$ , $EI_y$ , $EI_z$ , $EA$ , $GA_y$ , $GA_z$ )
		Způsob výpočtu : <input checked="" type="checkbox"/> Analýza podle II. řádu (P-Delta)
KZ97	$1.35 \cdot ZS1 + 1.35 \cdot ZS2 + 1.05 \cdot ZS5 + 0.75 \cdot ZS7 + 1.5 \cdot ZS10$	Metoda pro řešení systému n
		: <input checked="" type="checkbox"/> Picard

Projekt:

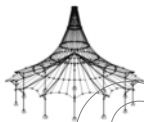
Model: Varianta B

Datum: 08.01.2019

## 2.5.2 KOMBINACE ZATÍŽENÍ - PARAMETRY VÝPOČTU

Kombin. zatížení	Označení	Parametry výpočtu
		<p>nelineárních algebraických rovnic</p> <p>Možnosti</p> <ul style="list-style-type: none"> <li><input checked="" type="checkbox"/> Zohlednit příznivé tahové účinky</li> <li><input checked="" type="checkbox"/> Vztáhnout vnitřní síly na přetvořený systém pro: <ul style="list-style-type: none"> <li><input checked="" type="checkbox"/> Normálové síly <math>N</math></li> <li><input checked="" type="checkbox"/> Smykové síly <math>V_y</math> a <math>V_z</math></li> <li><input checked="" type="checkbox"/> Momenty <math>M_y</math>, <math>M_z</math> a <math>M_T</math></li> </ul> </li> </ul> <p>Aktivovat součinitele tuhosti:</p> <ul style="list-style-type: none"> <li><input checked="" type="checkbox"/> Materiály (dílčí souč. spolehlivosti <math>\gamma_M</math>)</li> <li><input checked="" type="checkbox"/> Průřezy (součinitel pro <math>J</math>, <math>I_y</math>, <math>I_z</math>, <math>A</math>, <math>A_y</math>, <math>A_z</math>)</li> <li><input checked="" type="checkbox"/> Pruty (faktor pro <math>GJ</math>, <math>El_y</math>, <math>El_z</math>, <math>EA</math>, <math>GA_y</math>, <math>GA_z</math>)</li> </ul>
KZ98	$1.35 \cdot ZS1 + 1.35 \cdot ZS2 + 1.05 \cdot ZS5 + 0.75 \cdot ZS8 + 1.5 \cdot ZS9$	<p>Způsob výpočtu</p> <ul style="list-style-type: none"> <li><input checked="" type="checkbox"/> Analýza podle II. řádu (P-Delta)</li> </ul> <p>Metoda pro řešení systému nelineárních algebraických rovnic</p> <p>Možnosti</p> <ul style="list-style-type: none"> <li><input checked="" type="checkbox"/> Zohlednit příznivé tahové účinky</li> <li><input checked="" type="checkbox"/> Vztáhnout vnitřní síly na přetvořený systém pro: <ul style="list-style-type: none"> <li><input checked="" type="checkbox"/> Normálové síly <math>N</math></li> <li><input checked="" type="checkbox"/> Smykové síly <math>V_y</math> a <math>V_z</math></li> <li><input checked="" type="checkbox"/> Momenty <math>M_y</math>, <math>M_z</math> a <math>M_T</math></li> </ul> </li> </ul> <p>Aktivovat součinitele tuhosti:</p> <ul style="list-style-type: none"> <li><input checked="" type="checkbox"/> Materiály (dílčí souč. spolehlivosti <math>\gamma_M</math>)</li> <li><input checked="" type="checkbox"/> Průřezy (součinitel pro <math>J</math>, <math>I_y</math>, <math>I_z</math>, <math>A</math>, <math>A_y</math>, <math>A_z</math>)</li> <li><input checked="" type="checkbox"/> Pruty (faktor pro <math>GJ</math>, <math>El_y</math>, <math>El_z</math>, <math>EA</math>, <math>GA_y</math>, <math>GA_z</math>)</li> </ul>
KZ99	$1.35 \cdot ZS1 + 1.35 \cdot ZS2 + 1.05 \cdot ZS5 + 0.75 \cdot ZS8 + 1.5 \cdot ZS10$	<p>Způsob výpočtu</p> <ul style="list-style-type: none"> <li><input checked="" type="checkbox"/> Analýza podle II. řádu (P-Delta)</li> </ul> <p>Metoda pro řešení systému nelineárních algebraických rovnic</p> <p>Možnosti</p> <ul style="list-style-type: none"> <li><input checked="" type="checkbox"/> Zohlednit příznivé tahové účinky</li> <li><input checked="" type="checkbox"/> Vztáhnout vnitřní síly na přetvořený systém pro: <ul style="list-style-type: none"> <li><input checked="" type="checkbox"/> Normálové síly <math>N</math></li> <li><input checked="" type="checkbox"/> Smykové síly <math>V_y</math> a <math>V_z</math></li> <li><input checked="" type="checkbox"/> Momenty <math>M_y</math>, <math>M_z</math> a <math>M_T</math></li> </ul> </li> </ul> <p>Aktivovat součinitele tuhosti:</p> <ul style="list-style-type: none"> <li><input checked="" type="checkbox"/> Materiály (dílčí souč. spolehlivosti <math>\gamma_M</math>)</li> <li><input checked="" type="checkbox"/> Průřezy (součinitel pro <math>J</math>, <math>I_y</math>, <math>I_z</math>, <math>A</math>, <math>A_y</math>, <math>A_z</math>)</li> <li><input checked="" type="checkbox"/> Pruty (faktor pro <math>GJ</math>, <math>El_y</math>, <math>El_z</math>, <math>EA</math>, <math>GA_y</math>, <math>GA_z</math>)</li> </ul>
KZ100	$1.35 \cdot ZS1 + 1.35 \cdot ZS2 + 0.75 \cdot ZS6 + 1.5 \cdot ZS9$	<p>Způsob výpočtu</p> <ul style="list-style-type: none"> <li><input checked="" type="checkbox"/> Analýza podle II. řádu (P-Delta)</li> </ul> <p>Metoda pro řešení systému nelineárních algebraických rovnic</p> <p>Možnosti</p> <ul style="list-style-type: none"> <li><input checked="" type="checkbox"/> Zohlednit příznivé tahové účinky</li> <li><input checked="" type="checkbox"/> Vztáhnout vnitřní síly na přetvořený systém pro: <ul style="list-style-type: none"> <li><input checked="" type="checkbox"/> Normálové síly <math>N</math></li> <li><input checked="" type="checkbox"/> Smykové síly <math>V_y</math> a <math>V_z</math></li> <li><input checked="" type="checkbox"/> Momenty <math>M_y</math>, <math>M_z</math> a <math>M_T</math></li> </ul> </li> </ul> <p>Aktivovat součinitele tuhosti:</p> <ul style="list-style-type: none"> <li><input checked="" type="checkbox"/> Materiály (dílčí souč. spolehlivosti <math>\gamma_M</math>)</li> <li><input checked="" type="checkbox"/> Průřezy (součinitel pro <math>J</math>, <math>I_y</math>, <math>I_z</math>, <math>A</math>, <math>A_y</math>, <math>A_z</math>)</li> <li><input checked="" type="checkbox"/> Pruty (faktor pro <math>GJ</math>, <math>El_y</math>, <math>El_z</math>, <math>EA</math>, <math>GA_y</math>, <math>GA_z</math>)</li> </ul>
KZ101	$1.35 \cdot ZS1 + 1.35 \cdot ZS2 + 0.75 \cdot ZS6 + 1.5 \cdot ZS10$	<p>Způsob výpočtu</p> <ul style="list-style-type: none"> <li><input checked="" type="checkbox"/> Analýza podle II. řádu (P-Delta)</li> </ul> <p>Metoda pro řešení systému nelineárních algebraických rovnic</p> <p>Možnosti</p> <ul style="list-style-type: none"> <li><input checked="" type="checkbox"/> Zohlednit příznivé tahové účinky</li> <li><input checked="" type="checkbox"/> Vztáhnout vnitřní síly na přetvořený systém pro: <ul style="list-style-type: none"> <li><input checked="" type="checkbox"/> Normálové síly <math>N</math></li> <li><input checked="" type="checkbox"/> Smykové síly <math>V_y</math> a <math>V_z</math></li> <li><input checked="" type="checkbox"/> Momenty <math>M_y</math>, <math>M_z</math> a <math>M_T</math></li> </ul> </li> </ul> <p>Aktivovat součinitele tuhosti:</p> <ul style="list-style-type: none"> <li><input checked="" type="checkbox"/> Materiály (dílčí souč. spolehlivosti <math>\gamma_M</math>)</li> <li><input checked="" type="checkbox"/> Průřezy (součinitel pro <math>J</math>, <math>I_y</math>, <math>I_z</math>, <math>A</math>, <math>A_y</math>, <math>A_z</math>)</li> <li><input checked="" type="checkbox"/> Pruty (faktor pro <math>GJ</math>, <math>El_y</math>, <math>El_z</math>, <math>EA</math>, <math>GA_y</math>, <math>GA_z</math>)</li> </ul>
KZ102	$1.35 \cdot ZS1 + 1.35 \cdot ZS2 + 0.75 \cdot ZS7 + 1.5 \cdot ZS9$	<p>Způsob výpočtu</p> <ul style="list-style-type: none"> <li><input checked="" type="checkbox"/> Analýza podle II. řádu (P-Delta)</li> </ul> <p>Metoda pro řešení systému nelineárních algebraických rovnic</p> <p>Možnosti</p> <ul style="list-style-type: none"> <li><input checked="" type="checkbox"/> Zohlednit příznivé tahové účinky</li> <li><input checked="" type="checkbox"/> Vztáhnout vnitřní síly na přetvořený systém pro: <ul style="list-style-type: none"> <li><input checked="" type="checkbox"/> Normálové síly <math>N</math></li> <li><input checked="" type="checkbox"/> Smykové síly <math>V_y</math> a <math>V_z</math></li> <li><input checked="" type="checkbox"/> Momenty <math>M_y</math>, <math>M_z</math> a <math>M_T</math></li> </ul> </li> </ul> <p>Aktivovat součinitele tuhosti:</p> <ul style="list-style-type: none"> <li><input checked="" type="checkbox"/> Materiály (dílčí souč. spolehlivosti <math>\gamma_M</math>)</li> <li><input checked="" type="checkbox"/> Průřezy (součinitel pro <math>J</math>, <math>I_y</math>, <math>I_z</math>, <math>A</math>, <math>A_y</math>, <math>A_z</math>)</li> <li><input checked="" type="checkbox"/> Pruty (faktor pro <math>GJ</math>, <math>El_y</math>, <math>El_z</math>, <math>EA</math>, <math>GA_y</math>, <math>GA_z</math>)</li> </ul>
KZ103	$1.35 \cdot ZS1 + 1.35 \cdot ZS2 + 0.75 \cdot ZS7 + 1.5 \cdot ZS10$	<p>Způsob výpočtu</p> <ul style="list-style-type: none"> <li><input checked="" type="checkbox"/> Analýza podle II. řádu (P-Delta)</li> </ul> <p>Metoda pro řešení systému nelineárních algebraických rovnic</p> <p>Možnosti</p> <ul style="list-style-type: none"> <li><input checked="" type="checkbox"/> Zohlednit příznivé tahové účinky</li> <li><input checked="" type="checkbox"/> Vztáhnout vnitřní síly na přetvořený systém pro: <ul style="list-style-type: none"> <li><input checked="" type="checkbox"/> Normálové síly <math>N</math></li> <li><input checked="" type="checkbox"/> Smykové síly <math>V_y</math> a <math>V_z</math></li> <li><input checked="" type="checkbox"/> Momenty <math>M_y</math>, <math>M_z</math> a <math>M_T</math></li> </ul> </li> </ul> <p>Aktivovat součinitele tuhosti:</p> <ul style="list-style-type: none"> <li><input checked="" type="checkbox"/> Materiály (dílčí souč. spolehlivosti <math>\gamma_M</math>)</li> <li><input checked="" type="checkbox"/> Průřezy (součinitel pro <math>J</math>, <math>I_y</math>, <math>I_z</math>, <math>A</math>, <math>A_y</math>, <math>A_z</math>)</li> <li><input checked="" type="checkbox"/> Pruty (faktor pro <math>GJ</math>, <math>El_y</math>, <math>El_z</math>, <math>EA</math>, <math>GA_y</math>, <math>GA_z</math>)</li> </ul>
KZ104	$1.35 \cdot ZS1 + 1.35 \cdot ZS2 + 0.75 \cdot ZS8 + 1.5 \cdot ZS9$	<p>Způsob výpočtu</p> <ul style="list-style-type: none"> <li><input checked="" type="checkbox"/> Analýza podle II. řádu (P-Delta)</li> </ul> <p>Metoda pro řešení systému nelineárních algebraických rovnic</p> <p>Možnosti</p> <ul style="list-style-type: none"> <li><input checked="" type="checkbox"/> Zohlednit příznivé tahové účinky</li> <li><input checked="" type="checkbox"/> Vztáhnout vnitřní síly na přetvořený systém pro: <ul style="list-style-type: none"> <li><input checked="" type="checkbox"/> Normálové síly <math>N</math></li> <li><input checked="" type="checkbox"/> Smykové síly <math>V_y</math> a <math>V_z</math></li> <li><input checked="" type="checkbox"/> Momenty <math>M_y</math>, <math>M_z</math> a <math>M_T</math></li> </ul> </li> </ul> <p>Aktivovat součinitele tuhosti:</p> <ul style="list-style-type: none"> <li><input checked="" type="checkbox"/> Materiály (dílčí souč. spolehlivosti <math>\gamma_M</math>)</li> <li><input checked="" type="checkbox"/> Průřezy (součinitel pro <math>J</math>, <math>I_y</math>, <math>I_z</math>, <math>A</math>, <math>A_y</math>, <math>A_z</math>)</li> <li><input checked="" type="checkbox"/> Pruty (faktor pro <math>GJ</math>, <math>El_y</math>, <math>El_z</math>, <math>EA</math>, <math>GA_y</math>, <math>GA_z</math>)</li> </ul>





Projekt:

Model: Varianta B

Datum: 08.01.2019

## 2.5.2 KOMBINACE ZATÍŽENÍ - PARAMETRY VÝPOČTU

Kombin. zatížení	Označení	Možnosti	Parametry výpočtu
			<input checked="" type="checkbox"/> Zohlednit příznivé tahové účinky <input checked="" type="checkbox"/> Vztáhnout vnitřní síly na přetvořený systém pro: <input checked="" type="checkbox"/> Normálové síly $N$ <input checked="" type="checkbox"/> Smykové síly $V_y$ a $V_z$ <input checked="" type="checkbox"/> Momenty $M_y$ , $M_z$ a $M_T$
		Aktivovat součinitele tuhosti:	<input checked="" type="checkbox"/> Materiály (díleč souč. spolehlivosti $\gamma_M$ ) <input checked="" type="checkbox"/> Průřezy (součinitel pro $J$ , $I_y$ , $I_z$ , $A$ , $A_y$ , $A_z$ ) <input checked="" type="checkbox"/> Pruty (faktor pro $GJ$ , $EI_y$ , $EI_z$ , $EA$ , $GA_y$ , $GA_z$ )
KZ105	$1.35 \cdot ZS1 + 1.35 \cdot ZS2 + 0.75 \cdot ZS8 + 1.5 \cdot ZS10$	Způsob výpočtu	<input checked="" type="checkbox"/> Analýza podle II. řádu (P-Delta)
		Metoda pro řešení systému nelineárních algebraických rovnic	<input checked="" type="checkbox"/> Picard
		Možnosti	<input checked="" type="checkbox"/> Zohlednit příznivé tahové účinky <input checked="" type="checkbox"/> Vztáhnout vnitřní síly na přetvořený systém pro: <input checked="" type="checkbox"/> Normálové síly $N$ <input checked="" type="checkbox"/> Smykové síly $V_y$ a $V_z$ <input checked="" type="checkbox"/> Momenty $M_y$ , $M_z$ a $M_T$
		Aktivovat součinitele tuhosti:	<input checked="" type="checkbox"/> Materiály (díleč souč. spolehlivosti $\gamma_M$ ) <input checked="" type="checkbox"/> Průřezy (součinitel pro $J$ , $I_y$ , $I_z$ , $A$ , $A_y$ , $A_z$ ) <input checked="" type="checkbox"/> Pruty (faktor pro $GJ$ , $EI_y$ , $EI_z$ , $EA$ , $GA_y$ , $GA_z$ )
KZ106	$ZS1 + ZS2$	Způsob výpočtu	<input checked="" type="checkbox"/> Analýza podle II. řádu (P-Delta)
		Metoda pro řešení systému nelineárních algebraických rovnic	<input checked="" type="checkbox"/> Picard
		Možnosti	<input checked="" type="checkbox"/> Zohlednit příznivé tahové účinky <input checked="" type="checkbox"/> Vztáhnout vnitřní síly na přetvořený systém pro: <input checked="" type="checkbox"/> Normálové síly $N$ <input checked="" type="checkbox"/> Smykové síly $V_y$ a $V_z$ <input checked="" type="checkbox"/> Momenty $M_y$ , $M_z$ a $M_T$
		Aktivovat součinitele tuhosti:	<input checked="" type="checkbox"/> Materiály (díleč souč. spolehlivosti $\gamma_M$ ) <input checked="" type="checkbox"/> Průřezy (součinitel pro $J$ , $I_y$ , $I_z$ , $A$ , $A_y$ , $A_z$ ) <input checked="" type="checkbox"/> Pruty (faktor pro $GJ$ , $EI_y$ , $EI_z$ , $EA$ , $GA_y$ , $GA_z$ )
KZ107	$ZS1 + ZS2 + ZS3$	Způsob výpočtu	<input checked="" type="checkbox"/> Analýza podle II. řádu (P-Delta)
		Metoda pro řešení systému nelineárních algebraických rovnic	<input checked="" type="checkbox"/> Picard
		Možnosti	<input checked="" type="checkbox"/> Zohlednit příznivé tahové účinky <input checked="" type="checkbox"/> Vztáhnout vnitřní síly na přetvořený systém pro: <input checked="" type="checkbox"/> Normálové síly $N$ <input checked="" type="checkbox"/> Smykové síly $V_y$ a $V_z$ <input checked="" type="checkbox"/> Momenty $M_y$ , $M_z$ a $M_T$
		Aktivovat součinitele tuhosti:	<input checked="" type="checkbox"/> Materiály (díleč souč. spolehlivosti $\gamma_M$ ) <input checked="" type="checkbox"/> Průřezy (součinitel pro $J$ , $I_y$ , $I_z$ , $A$ , $A_y$ , $A_z$ ) <input checked="" type="checkbox"/> Pruty (faktor pro $GJ$ , $EI_y$ , $EI_z$ , $EA$ , $GA_y$ , $GA_z$ )
KZ108	$ZS1 + ZS2 + ZS4$	Způsob výpočtu	<input checked="" type="checkbox"/> Analýza podle II. řádu (P-Delta)
		Metoda pro řešení systému nelineárních algebraických rovnic	<input checked="" type="checkbox"/> Picard
		Možnosti	<input checked="" type="checkbox"/> Zohlednit příznivé tahové účinky <input checked="" type="checkbox"/> Vztáhnout vnitřní síly na přetvořený systém pro: <input checked="" type="checkbox"/> Normálové síly $N$ <input checked="" type="checkbox"/> Smykové síly $V_y$ a $V_z$ <input checked="" type="checkbox"/> Momenty $M_y$ , $M_z$ a $M_T$
		Aktivovat součinitele tuhosti:	<input checked="" type="checkbox"/> Materiály (díleč souč. spolehlivosti $\gamma_M$ ) <input checked="" type="checkbox"/> Průřezy (součinitel pro $J$ , $I_y$ , $I_z$ , $A$ , $A_y$ , $A_z$ ) <input checked="" type="checkbox"/> Pruty (faktor pro $GJ$ , $EI_y$ , $EI_z$ , $EA$ , $GA_y$ , $GA_z$ )
KZ109	$ZS1 + ZS2 + ZS5$	Způsob výpočtu	<input checked="" type="checkbox"/> Analýza podle II. řádu (P-Delta)
		Metoda pro řešení systému nelineárních algebraických rovnic	<input checked="" type="checkbox"/> Picard
		Možnosti	<input checked="" type="checkbox"/> Zohlednit příznivé tahové účinky <input checked="" type="checkbox"/> Vztáhnout vnitřní síly na přetvořený systém pro: <input checked="" type="checkbox"/> Normálové síly $N$ <input checked="" type="checkbox"/> Smykové síly $V_y$ a $V_z$ <input checked="" type="checkbox"/> Momenty $M_y$ , $M_z$ a $M_T$
		Aktivovat součinitele tuhosti:	<input checked="" type="checkbox"/> Materiály (díleč souč. spolehlivosti $\gamma_M$ ) <input checked="" type="checkbox"/> Průřezy (součinitel pro $J$ , $I_y$ , $I_z$ , $A$ , $A_y$ , $A_z$ ) <input checked="" type="checkbox"/> Pruty (faktor pro $GJ$ , $EI_y$ , $EI_z$ , $EA$ , $GA_y$ , $GA_z$ )
KZ110	$ZS1 + ZS2 + ZS3 + 0.5 \cdot ZS6$	Způsob výpočtu	<input checked="" type="checkbox"/> Analýza podle II. řádu (P-Delta)
		Metoda pro řešení systému nelineárních algebraických rovnic	<input checked="" type="checkbox"/> Picard
		Možnosti	<input checked="" type="checkbox"/> Zohlednit příznivé tahové účinky <input checked="" type="checkbox"/> Vztáhnout vnitřní síly na přetvořený systém pro: <input checked="" type="checkbox"/> Normálové síly $N$ <input checked="" type="checkbox"/> Smykové síly $V_y$ a $V_z$ <input checked="" type="checkbox"/> Momenty $M_y$ , $M_z$ a $M_T$
		Aktivovat součinitele tuhosti:	<input checked="" type="checkbox"/> Materiály (díleč souč. spolehlivosti $\gamma_M$ ) <input checked="" type="checkbox"/> Průřezy (součinitel pro $J$ , $I_y$ , $I_z$ , $A$ , $A_y$ , $A_z$ ) <input checked="" type="checkbox"/> Pruty (faktor pro $GJ$ , $EI_y$ , $EI_z$ , $EA$ , $GA_y$ , $GA_z$ )
KZ111	$ZS1 + ZS2 + ZS3 + 0.5 \cdot ZS7$	Způsob výpočtu	<input checked="" type="checkbox"/> Analýza podle II. řádu (P-Delta)
		Metoda pro řešení systému nelineárních algebraických rovnic	<input checked="" type="checkbox"/> Picard
		Možnosti	<input checked="" type="checkbox"/> Zohlednit příznivé tahové účinky <input checked="" type="checkbox"/> Vztáhnout vnitřní síly na přetvořený systém pro: <input checked="" type="checkbox"/> Normálové síly $N$ <input checked="" type="checkbox"/> Smykové síly $V_y$ a $V_z$ <input checked="" type="checkbox"/> Momenty $M_y$ , $M_z$ a $M_T$



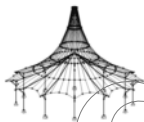
Projekt:

Model: Varianta B

Datum: 08.01.2019

## 2.5.2 KOMBINACE ZATÍŽENÍ - PARAMETRY VÝPOČTU

Kombin. zatížení	Označení	Parametry výpočtu
		Aktivovat součinitele tuhosti: <input checked="" type="checkbox"/> Materiály (díleč souč. spolehlivosti $\gamma_M$ ) <input checked="" type="checkbox"/> Průřezy (součinitel pro $J, I_y, I_z, A, A_y, A_z$ ) <input checked="" type="checkbox"/> Pruty (faktor pro $GJ, EI_y, EI_z, EA, GA_y, GA_z$ )
KZ112	ZS1 + ZS2 + ZS3 + 0.5*ZS8	Způsob výpočtu: <input checked="" type="checkbox"/> Analýza podle II. řádu (P-Delta) Metoda pro řešení systému nelineárních algebraických rovnic: <input checked="" type="checkbox"/> Picard Možnosti: <input checked="" type="checkbox"/> Zohlednit příznivé tahové účinky <input checked="" type="checkbox"/> Vztáhnout vnitřní síly na přetvořený systém pro: <input checked="" type="checkbox"/> Normálové síly $N$ <input checked="" type="checkbox"/> Smykové síly $V_y$ a $V_z$ <input checked="" type="checkbox"/> Momenty $M_y, M_z$ a $M_T$ Aktivovat součinitele tuhosti: <input checked="" type="checkbox"/> Materiály (díleč souč. spolehlivosti $\gamma_M$ ) <input checked="" type="checkbox"/> Průřezy (součinitel pro $J, I_y, I_z, A, A_y, A_z$ ) <input checked="" type="checkbox"/> Pruty (faktor pro $GJ, EI_y, EI_z, EA, GA_y, GA_z$ ) <input checked="" type="checkbox"/> Analýza podle II. řádu (P-Delta)
KZ113	ZS1 + ZS2 + ZS4 + 0.5*ZS6	Způsob výpočtu: <input checked="" type="checkbox"/> Analýza podle II. řádu (P-Delta) Metoda pro řešení systému nelineárních algebraických rovnic: <input checked="" type="checkbox"/> Picard Možnosti: <input checked="" type="checkbox"/> Zohlednit příznivé tahové účinky <input checked="" type="checkbox"/> Vztáhnout vnitřní síly na přetvořený systém pro: <input checked="" type="checkbox"/> Normálové síly $N$ <input checked="" type="checkbox"/> Smykové síly $V_y$ a $V_z$ <input checked="" type="checkbox"/> Momenty $M_y, M_z$ a $M_T$ Aktivovat součinitele tuhosti: <input checked="" type="checkbox"/> Materiály (díleč souč. spolehlivosti $\gamma_M$ ) <input checked="" type="checkbox"/> Průřezy (součinitel pro $J, I_y, I_z, A, A_y, A_z$ ) <input checked="" type="checkbox"/> Pruty (faktor pro $GJ, EI_y, EI_z, EA, GA_y, GA_z$ ) <input checked="" type="checkbox"/> Analýza podle II. řádu (P-Delta)
KZ114	ZS1 + ZS2 + ZS4 + 0.5*ZS7	Způsob výpočtu: <input checked="" type="checkbox"/> Analýza podle II. řádu (P-Delta) Metoda pro řešení systému nelineárních algebraických rovnic: <input checked="" type="checkbox"/> Picard Možnosti: <input checked="" type="checkbox"/> Zohlednit příznivé tahové účinky <input checked="" type="checkbox"/> Vztáhnout vnitřní síly na přetvořený systém pro: <input checked="" type="checkbox"/> Normálové síly $N$ <input checked="" type="checkbox"/> Smykové síly $V_y$ a $V_z$ <input checked="" type="checkbox"/> Momenty $M_y, M_z$ a $M_T$ Aktivovat součinitele tuhosti: <input checked="" type="checkbox"/> Materiály (díleč souč. spolehlivosti $\gamma_M$ ) <input checked="" type="checkbox"/> Průřezy (součinitel pro $J, I_y, I_z, A, A_y, A_z$ ) <input checked="" type="checkbox"/> Pruty (faktor pro $GJ, EI_y, EI_z, EA, GA_y, GA_z$ ) <input checked="" type="checkbox"/> Analýza podle II. řádu (P-Delta)
KZ115	ZS1 + ZS2 + ZS4 + 0.5*ZS8	Způsob výpočtu: <input checked="" type="checkbox"/> Analýza podle II. řádu (P-Delta) Metoda pro řešení systému nelineárních algebraických rovnic: <input checked="" type="checkbox"/> Picard Možnosti: <input checked="" type="checkbox"/> Zohlednit příznivé tahové účinky <input checked="" type="checkbox"/> Vztáhnout vnitřní síly na přetvořený systém pro: <input checked="" type="checkbox"/> Normálové síly $N$ <input checked="" type="checkbox"/> Smykové síly $V_y$ a $V_z$ <input checked="" type="checkbox"/> Momenty $M_y, M_z$ a $M_T$ Aktivovat součinitele tuhosti: <input checked="" type="checkbox"/> Materiály (díleč souč. spolehlivosti $\gamma_M$ ) <input checked="" type="checkbox"/> Průřezy (součinitel pro $J, I_y, I_z, A, A_y, A_z$ ) <input checked="" type="checkbox"/> Pruty (faktor pro $GJ, EI_y, EI_z, EA, GA_y, GA_z$ ) <input checked="" type="checkbox"/> Analýza podle II. řádu (P-Delta)
KZ116	ZS1 + ZS2 + ZS5 + 0.5*ZS6	Způsob výpočtu: <input checked="" type="checkbox"/> Analýza podle II. řádu (P-Delta) Metoda pro řešení systému nelineárních algebraických rovnic: <input checked="" type="checkbox"/> Picard Možnosti: <input checked="" type="checkbox"/> Zohlednit příznivé tahové účinky <input checked="" type="checkbox"/> Vztáhnout vnitřní síly na přetvořený systém pro: <input checked="" type="checkbox"/> Normálové síly $N$ <input checked="" type="checkbox"/> Smykové síly $V_y$ a $V_z$ <input checked="" type="checkbox"/> Momenty $M_y, M_z$ a $M_T$ Aktivovat součinitele tuhosti: <input checked="" type="checkbox"/> Materiály (díleč souč. spolehlivosti $\gamma_M$ ) <input checked="" type="checkbox"/> Průřezy (součinitel pro $J, I_y, I_z, A, A_y, A_z$ ) <input checked="" type="checkbox"/> Pruty (faktor pro $GJ, EI_y, EI_z, EA, GA_y, GA_z$ ) <input checked="" type="checkbox"/> Analýza podle II. řádu (P-Delta)
KZ117	ZS1 + ZS2 + ZS5 + 0.5*ZS7	Způsob výpočtu: <input checked="" type="checkbox"/> Analýza podle II. řádu (P-Delta) Metoda pro řešení systému nelineárních algebraických rovnic: <input checked="" type="checkbox"/> Picard Možnosti: <input checked="" type="checkbox"/> Zohlednit příznivé tahové účinky <input checked="" type="checkbox"/> Vztáhnout vnitřní síly na přetvořený systém pro: <input checked="" type="checkbox"/> Normálové síly $N$ <input checked="" type="checkbox"/> Smykové síly $V_y$ a $V_z$ <input checked="" type="checkbox"/> Momenty $M_y, M_z$ a $M_T$ Aktivovat součinitele tuhosti: <input checked="" type="checkbox"/> Materiály (díleč souč. spolehlivosti $\gamma_M$ ) <input checked="" type="checkbox"/> Průřezy (součinitel pro $J, I_y, I_z, A, A_y, A_z$ ) <input checked="" type="checkbox"/> Pruty (faktor pro $GJ, EI_y, EI_z, EA, GA_y, GA_z$ ) <input checked="" type="checkbox"/> Analýza podle II. řádu (P-Delta)
KZ118	ZS1 + ZS2 + ZS5 + 0.5*ZS8	Způsob výpočtu: <input checked="" type="checkbox"/> Analýza podle II. řádu (P-Delta) Metoda pro řešení systému nelineárních algebraických rovnic: <input checked="" type="checkbox"/> Picard Možnosti: <input checked="" type="checkbox"/> Zohlednit příznivé tahové účinky <input checked="" type="checkbox"/> Vztáhnout vnitřní síly na přetvořený systém pro: <input checked="" type="checkbox"/> Normálové síly $N$ <input checked="" type="checkbox"/> Smykové síly $V_y$ a $V_z$ <input checked="" type="checkbox"/> Momenty $M_y, M_z$ a $M_T$ Aktivovat součinitele tuhosti: <input checked="" type="checkbox"/> Materiály (díleč souč. spolehlivosti $\gamma_M$ ) <input checked="" type="checkbox"/> Průřezy (součinitel pro $J, I_y, I_z, A, A_y, A_z$ ) <input checked="" type="checkbox"/> Pruty (faktor pro $GJ, EI_y, EI_z, EA, GA_y, GA_z$ ) <input checked="" type="checkbox"/> Analýza podle II. řádu (P-Delta)
KZ119	ZS1 + ZS2 + ZS3 + 0.5*ZS6 + 0.6*ZS9	Způsob výpočtu: <input checked="" type="checkbox"/> Analýza podle II. řádu (P-Delta) Metoda pro řešení systému nelineárních algebraických rovnic: <input checked="" type="checkbox"/> Picard



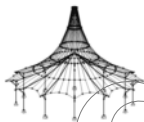
Projekt:

Model: Varianta B

Datum: 08.01.2019

## 2.5.2 KOMBINACE ZATÍŽENÍ - PARAMETRY VÝPOČTU

Kombin. zatížení	Označení	Parametry výpočtu
		<p>Možnosti</p> <ul style="list-style-type: none"><li><input checked="" type="checkbox"/> Zohlednit příznivé tahové účinky</li><li><input checked="" type="checkbox"/> Vztáhnout vnitřní síly na přetvořený systém pro:<ul style="list-style-type: none"><li><input checked="" type="checkbox"/> Normálové síly <math>N</math></li><li><input checked="" type="checkbox"/> Smykové síly <math>V_y</math> a <math>V_z</math></li><li><input checked="" type="checkbox"/> Momenty <math>M_y</math>, <math>M_z</math> a <math>M_T</math></li></ul></li></ul> <p>Aktivovat součinitele tuhosti:</p> <ul style="list-style-type: none"><li><input checked="" type="checkbox"/> Materiály (dílič souč. spolehlivosti <math>\gamma_M</math>)</li><li><input checked="" type="checkbox"/> Průřezy (součinitel pro <math>J</math>, <math>I_y</math>, <math>I_z</math>, <math>A</math>, <math>A_y</math>, <math>A_z</math>)</li><li><input checked="" type="checkbox"/> Pruty (faktor pro <math>GJ</math>, <math>EI_y</math>, <math>EI_z</math>, <math>EA</math>, <math>GA_y</math>, <math>GA_z</math>)</li></ul>
KZ120	VS1 + VS2 + VS3 + 0.5*VS6 + 0.6*VS10	<p>Způsob výpočtu</p> <ul style="list-style-type: none"><li><input checked="" type="checkbox"/> Analýza podle II. řádu (P-Delta)</li></ul> <p>Metoda pro řešení systému nelineárních algebraických rovnic</p> <ul style="list-style-type: none"><li><input checked="" type="checkbox"/> Picard</li></ul> <p>Možnosti</p> <ul style="list-style-type: none"><li><input checked="" type="checkbox"/> Zohlednit příznivé tahové účinky</li><li><input checked="" type="checkbox"/> Vztáhnout vnitřní síly na přetvořený systém pro:<ul style="list-style-type: none"><li><input checked="" type="checkbox"/> Normálové síly <math>N</math></li><li><input checked="" type="checkbox"/> Smykové síly <math>V_y</math> a <math>V_z</math></li><li><input checked="" type="checkbox"/> Momenty <math>M_y</math>, <math>M_z</math> a <math>M_T</math></li></ul></li></ul> <p>Aktivovat součinitele tuhosti:</p> <ul style="list-style-type: none"><li><input checked="" type="checkbox"/> Materiály (dílič souč. spolehlivosti <math>\gamma_M</math>)</li><li><input checked="" type="checkbox"/> Průřezy (součinitel pro <math>J</math>, <math>I_y</math>, <math>I_z</math>, <math>A</math>, <math>A_y</math>, <math>A_z</math>)</li><li><input checked="" type="checkbox"/> Pruty (faktor pro <math>GJ</math>, <math>EI_y</math>, <math>EI_z</math>, <math>EA</math>, <math>GA_y</math>, <math>GA_z</math>)</li></ul>
KZ121	VS1 + VS2 + VS3 + 0.5*VS7 + 0.6*VS9	<p>Způsob výpočtu</p> <ul style="list-style-type: none"><li><input checked="" type="checkbox"/> Analýza podle II. řádu (P-Delta)</li></ul> <p>Metoda pro řešení systému nelineárních algebraických rovnic</p> <ul style="list-style-type: none"><li><input checked="" type="checkbox"/> Picard</li></ul> <p>Možnosti</p> <ul style="list-style-type: none"><li><input checked="" type="checkbox"/> Zohlednit příznivé tahové účinky</li><li><input checked="" type="checkbox"/> Vztáhnout vnitřní síly na přetvořený systém pro:<ul style="list-style-type: none"><li><input checked="" type="checkbox"/> Normálové síly <math>N</math></li><li><input checked="" type="checkbox"/> Smykové síly <math>V_y</math> a <math>V_z</math></li><li><input checked="" type="checkbox"/> Momenty <math>M_y</math>, <math>M_z</math> a <math>M_T</math></li></ul></li></ul> <p>Aktivovat součinitele tuhosti:</p> <ul style="list-style-type: none"><li><input checked="" type="checkbox"/> Materiály (dílič souč. spolehlivosti <math>\gamma_M</math>)</li><li><input checked="" type="checkbox"/> Průřezy (součinitel pro <math>J</math>, <math>I_y</math>, <math>I_z</math>, <math>A</math>, <math>A_y</math>, <math>A_z</math>)</li><li><input checked="" type="checkbox"/> Pruty (faktor pro <math>GJ</math>, <math>EI_y</math>, <math>EI_z</math>, <math>EA</math>, <math>GA_y</math>, <math>GA_z</math>)</li></ul>
KZ122	VS1 + VS2 + VS3 + 0.5*VS7 + 0.6*VS10	<p>Způsob výpočtu</p> <ul style="list-style-type: none"><li><input checked="" type="checkbox"/> Analýza podle II. řádu (P-Delta)</li></ul> <p>Metoda pro řešení systému nelineárních algebraických rovnic</p> <ul style="list-style-type: none"><li><input checked="" type="checkbox"/> Picard</li></ul> <p>Možnosti</p> <ul style="list-style-type: none"><li><input checked="" type="checkbox"/> Zohlednit příznivé tahové účinky</li><li><input checked="" type="checkbox"/> Vztáhnout vnitřní síly na přetvořený systém pro:<ul style="list-style-type: none"><li><input checked="" type="checkbox"/> Normálové síly <math>N</math></li><li><input checked="" type="checkbox"/> Smykové síly <math>V_y</math> a <math>V_z</math></li><li><input checked="" type="checkbox"/> Momenty <math>M_y</math>, <math>M_z</math> a <math>M_T</math></li></ul></li></ul> <p>Aktivovat součinitele tuhosti:</p> <ul style="list-style-type: none"><li><input checked="" type="checkbox"/> Materiály (dílič souč. spolehlivosti <math>\gamma_M</math>)</li><li><input checked="" type="checkbox"/> Průřezy (součinitel pro <math>J</math>, <math>I_y</math>, <math>I_z</math>, <math>A</math>, <math>A_y</math>, <math>A_z</math>)</li><li><input checked="" type="checkbox"/> Pruty (faktor pro <math>GJ</math>, <math>EI_y</math>, <math>EI_z</math>, <math>EA</math>, <math>GA_y</math>, <math>GA_z</math>)</li></ul>
KZ123	VS1 + VS2 + VS3 + 0.5*VS8 + 0.6*VS9	<p>Způsob výpočtu</p> <ul style="list-style-type: none"><li><input checked="" type="checkbox"/> Analýza podle II. řádu (P-Delta)</li></ul> <p>Metoda pro řešení systému nelineárních algebraických rovnic</p> <ul style="list-style-type: none"><li><input checked="" type="checkbox"/> Picard</li></ul> <p>Možnosti</p> <ul style="list-style-type: none"><li><input checked="" type="checkbox"/> Zohlednit příznivé tahové účinky</li><li><input checked="" type="checkbox"/> Vztáhnout vnitřní síly na přetvořený systém pro:<ul style="list-style-type: none"><li><input checked="" type="checkbox"/> Normálové síly <math>N</math></li><li><input checked="" type="checkbox"/> Smykové síly <math>V_y</math> a <math>V_z</math></li><li><input checked="" type="checkbox"/> Momenty <math>M_y</math>, <math>M_z</math> a <math>M_T</math></li></ul></li></ul> <p>Aktivovat součinitele tuhosti:</p> <ul style="list-style-type: none"><li><input checked="" type="checkbox"/> Materiály (dílič souč. spolehlivosti <math>\gamma_M</math>)</li><li><input checked="" type="checkbox"/> Průřezy (součinitel pro <math>J</math>, <math>I_y</math>, <math>I_z</math>, <math>A</math>, <math>A_y</math>, <math>A_z</math>)</li><li><input checked="" type="checkbox"/> Pruty (faktor pro <math>GJ</math>, <math>EI_y</math>, <math>EI_z</math>, <math>EA</math>, <math>GA_y</math>, <math>GA_z</math>)</li></ul>
KZ124	VS1 + VS2 + VS3 + 0.5*VS8 + 0.6*VS10	<p>Způsob výpočtu</p> <ul style="list-style-type: none"><li><input checked="" type="checkbox"/> Analýza podle II. řádu (P-Delta)</li></ul> <p>Metoda pro řešení systému nelineárních algebraických rovnic</p> <ul style="list-style-type: none"><li><input checked="" type="checkbox"/> Picard</li></ul> <p>Možnosti</p> <ul style="list-style-type: none"><li><input checked="" type="checkbox"/> Zohlednit příznivé tahové účinky</li><li><input checked="" type="checkbox"/> Vztáhnout vnitřní síly na přetvořený systém pro:<ul style="list-style-type: none"><li><input checked="" type="checkbox"/> Normálové síly <math>N</math></li><li><input checked="" type="checkbox"/> Smykové síly <math>V_y</math> a <math>V_z</math></li><li><input checked="" type="checkbox"/> Momenty <math>M_y</math>, <math>M_z</math> a <math>M_T</math></li></ul></li></ul> <p>Aktivovat součinitele tuhosti:</p> <ul style="list-style-type: none"><li><input checked="" type="checkbox"/> Materiály (dílič souč. spolehlivosti <math>\gamma_M</math>)</li><li><input checked="" type="checkbox"/> Průřezy (součinitel pro <math>J</math>, <math>I_y</math>, <math>I_z</math>, <math>A</math>, <math>A_y</math>, <math>A_z</math>)</li><li><input checked="" type="checkbox"/> Pruty (faktor pro <math>GJ</math>, <math>EI_y</math>, <math>EI_z</math>, <math>EA</math>, <math>GA_y</math>, <math>GA_z</math>)</li></ul>
KZ125	VS1 + VS2 + VS4 + 0.5*VS6 + 0.6*VS9	<p>Způsob výpočtu</p> <ul style="list-style-type: none"><li><input checked="" type="checkbox"/> Analýza podle II. řádu (P-Delta)</li></ul> <p>Metoda pro řešení systému nelineárních algebraických rovnic</p> <ul style="list-style-type: none"><li><input checked="" type="checkbox"/> Picard</li></ul> <p>Možnosti</p> <ul style="list-style-type: none"><li><input checked="" type="checkbox"/> Zohlednit příznivé tahové účinky</li><li><input checked="" type="checkbox"/> Vztáhnout vnitřní síly na přetvořený systém pro:<ul style="list-style-type: none"><li><input checked="" type="checkbox"/> Normálové síly <math>N</math></li><li><input checked="" type="checkbox"/> Smykové síly <math>V_y</math> a <math>V_z</math></li><li><input checked="" type="checkbox"/> Momenty <math>M_y</math>, <math>M_z</math> a <math>M_T</math></li></ul></li></ul> <p>Aktivovat součinitele tuhosti:</p> <ul style="list-style-type: none"><li><input checked="" type="checkbox"/> Materiály (dílič souč. spolehlivosti <math>\gamma_M</math>)</li><li><input checked="" type="checkbox"/> Průřezy (součinitel pro <math>J</math>, <math>I_y</math>, <math>I_z</math>, <math>A</math>, <math>A_y</math>, <math>A_z</math>)</li><li><input checked="" type="checkbox"/> Pruty (faktor pro <math>GJ</math>, <math>EI_y</math>, <math>EI_z</math>, <math>EA</math>, <math>GA_y</math>, <math>GA_z</math>)</li></ul>
KZ126	VS1 + VS2 + VS4 + 0.5*VS6 + 0.6*VS10	<p>Způsob výpočtu</p> <ul style="list-style-type: none"><li><input checked="" type="checkbox"/> Analýza podle II. řádu (P-Delta)</li></ul> <p>Metoda pro řešení systému nelineárních algebraických rovnic</p> <ul style="list-style-type: none"><li><input checked="" type="checkbox"/> Picard</li></ul> <p>Možnosti</p> <ul style="list-style-type: none"><li><input checked="" type="checkbox"/> Zohlednit příznivé tahové účinky</li></ul>



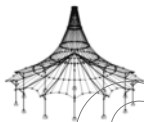
Projekt:

Model: Varianta B

Datum: 08.01.2019

## 2.5.2 KOMBINACE ZATÍŽENÍ - PARAMETRY VÝPOČTU

Kombin. zatížení	Označení	Parametry výpočtu
		<input checked="" type="checkbox"/> Vztáhnout vnitřní síly na přetvořený systém pro: <input checked="" type="checkbox"/> Normálové síly $N$ <input checked="" type="checkbox"/> Smykové síly $V_y$ a $V_z$ <input checked="" type="checkbox"/> Momenty $M_y$ , $M_z$ a $M_T$
	Aktivovat součinitele tuhosti:	<input checked="" type="checkbox"/> Materiály (dílčí souč. spolehlivosti $\gamma_M$ ) <input checked="" type="checkbox"/> Průřezy (součinitel pro $J$ , $I_y$ , $I_z$ , $A$ , $A_y$ , $A_z$ ) <input checked="" type="checkbox"/> Pruty (faktor pro $GJ$ , $El_y$ , $El_z$ , $EA$ , $GA_y$ , $GA_z$ )
KZ127	$ZS1 + ZS2 + ZS4 + 0.5 \cdot ZS7 + 0.6 \cdot ZS9$	<input checked="" type="checkbox"/> Analýza podle II. řádu (P-Delta)
	Metoda pro řešení systému nelineárních algebraických rovnic Možnosti	<input checked="" type="checkbox"/> Picard
	Aktivovat součinitele tuhosti:	<input checked="" type="checkbox"/> Zohlednit příznivé tahové účinky <input checked="" type="checkbox"/> Vztáhnout vnitřní síly na přetvořený systém pro: <input checked="" type="checkbox"/> Normálové síly $N$ <input checked="" type="checkbox"/> Smykové síly $V_y$ a $V_z$ <input checked="" type="checkbox"/> Momenty $M_y$ , $M_z$ a $M_T$ <input checked="" type="checkbox"/> Materiály (dílčí souč. spolehlivosti $\gamma_M$ ) <input checked="" type="checkbox"/> Průřezy (součinitel pro $J$ , $I_y$ , $I_z$ , $A$ , $A_y$ , $A_z$ ) <input checked="" type="checkbox"/> Pruty (faktor pro $GJ$ , $El_y$ , $El_z$ , $EA$ , $GA_y$ , $GA_z$ )
KZ128	$ZS1 + ZS2 + ZS4 + 0.5 \cdot ZS7 + 0.6 \cdot ZS10$	<input checked="" type="checkbox"/> Analýza podle II. řádu (P-Delta)
	Metoda pro řešení systému nelineárních algebraických rovnic Možnosti	<input checked="" type="checkbox"/> Picard
	Aktivovat součinitele tuhosti:	<input checked="" type="checkbox"/> Zohlednit příznivé tahové účinky <input checked="" type="checkbox"/> Vztáhnout vnitřní síly na přetvořený systém pro: <input checked="" type="checkbox"/> Normálové síly $N$ <input checked="" type="checkbox"/> Smykové síly $V_y$ a $V_z$ <input checked="" type="checkbox"/> Momenty $M_y$ , $M_z$ a $M_T$ <input checked="" type="checkbox"/> Materiály (dílčí souč. spolehlivosti $\gamma_M$ ) <input checked="" type="checkbox"/> Průřezy (součinitel pro $J$ , $I_y$ , $I_z$ , $A$ , $A_y$ , $A_z$ ) <input checked="" type="checkbox"/> Pruty (faktor pro $GJ$ , $El_y$ , $El_z$ , $EA$ , $GA_y$ , $GA_z$ )
KZ129	$ZS1 + ZS2 + ZS4 + 0.5 \cdot ZS8 + 0.6 \cdot ZS9$	<input checked="" type="checkbox"/> Analýza podle II. řádu (P-Delta)
	Metoda pro řešení systému nelineárních algebraických rovnic Možnosti	<input checked="" type="checkbox"/> Picard
	Aktivovat součinitele tuhosti:	<input checked="" type="checkbox"/> Zohlednit příznivé tahové účinky <input checked="" type="checkbox"/> Vztáhnout vnitřní síly na přetvořený systém pro: <input checked="" type="checkbox"/> Normálové síly $N$ <input checked="" type="checkbox"/> Smykové síly $V_y$ a $V_z$ <input checked="" type="checkbox"/> Momenty $M_y$ , $M_z$ a $M_T$ <input checked="" type="checkbox"/> Materiály (dílčí souč. spolehlivosti $\gamma_M$ ) <input checked="" type="checkbox"/> Průřezy (součinitel pro $J$ , $I_y$ , $I_z$ , $A$ , $A_y$ , $A_z$ ) <input checked="" type="checkbox"/> Pruty (faktor pro $GJ$ , $El_y$ , $El_z$ , $EA$ , $GA_y$ , $GA_z$ )
KZ130	$ZS1 + ZS2 + ZS4 + 0.5 \cdot ZS8 + 0.6 \cdot ZS10$	<input checked="" type="checkbox"/> Analýza podle II. řádu (P-Delta)
	Metoda pro řešení systému nelineárních algebraických rovnic Možnosti	<input checked="" type="checkbox"/> Picard
	Aktivovat součinitele tuhosti:	<input checked="" type="checkbox"/> Zohlednit příznivé tahové účinky <input checked="" type="checkbox"/> Vztáhnout vnitřní síly na přetvořený systém pro: <input checked="" type="checkbox"/> Normálové síly $N$ <input checked="" type="checkbox"/> Smykové síly $V_y$ a $V_z$ <input checked="" type="checkbox"/> Momenty $M_y$ , $M_z$ a $M_T$ <input checked="" type="checkbox"/> Materiály (dílčí souč. spolehlivosti $\gamma_M$ ) <input checked="" type="checkbox"/> Průřezy (součinitel pro $J$ , $I_y$ , $I_z$ , $A$ , $A_y$ , $A_z$ ) <input checked="" type="checkbox"/> Pruty (faktor pro $GJ$ , $El_y$ , $El_z$ , $EA$ , $GA_y$ , $GA_z$ )
KZ131	$ZS1 + ZS2 + ZS5 + 0.5 \cdot ZS6 + 0.6 \cdot ZS9$	<input checked="" type="checkbox"/> Analýza podle II. řádu (P-Delta)
	Metoda pro řešení systému nelineárních algebraických rovnic Možnosti	<input checked="" type="checkbox"/> Picard
	Aktivovat součinitele tuhosti:	<input checked="" type="checkbox"/> Zohlednit příznivé tahové účinky <input checked="" type="checkbox"/> Vztáhnout vnitřní síly na přetvořený systém pro: <input checked="" type="checkbox"/> Normálové síly $N$ <input checked="" type="checkbox"/> Smykové síly $V_y$ a $V_z$ <input checked="" type="checkbox"/> Momenty $M_y$ , $M_z$ a $M_T$ <input checked="" type="checkbox"/> Materiály (dílčí souč. spolehlivosti $\gamma_M$ ) <input checked="" type="checkbox"/> Průřezy (součinitel pro $J$ , $I_y$ , $I_z$ , $A$ , $A_y$ , $A_z$ ) <input checked="" type="checkbox"/> Pruty (faktor pro $GJ$ , $El_y$ , $El_z$ , $EA$ , $GA_y$ , $GA_z$ )
KZ132	$ZS1 + ZS2 + ZS5 + 0.5 \cdot ZS6 + 0.6 \cdot ZS10$	<input checked="" type="checkbox"/> Analýza podle II. řádu (P-Delta)
	Metoda pro řešení systému nelineárních algebraických rovnic Možnosti	<input checked="" type="checkbox"/> Picard
	Aktivovat součinitele tuhosti:	<input checked="" type="checkbox"/> Zohlednit příznivé tahové účinky <input checked="" type="checkbox"/> Vztáhnout vnitřní síly na přetvořený systém pro: <input checked="" type="checkbox"/> Normálové síly $N$ <input checked="" type="checkbox"/> Smykové síly $V_y$ a $V_z$ <input checked="" type="checkbox"/> Momenty $M_y$ , $M_z$ a $M_T$ <input checked="" type="checkbox"/> Materiály (dílčí souč. spolehlivosti $\gamma_M$ ) <input checked="" type="checkbox"/> Průřezy (součinitel pro $J$ , $I_y$ , $I_z$ , $A$ , $A_y$ , $A_z$ ) <input checked="" type="checkbox"/> Pruty (faktor pro $GJ$ , $El_y$ , $El_z$ , $EA$ , $GA_y$ , $GA_z$ )
KZ133	$ZS1 + ZS2 + ZS5 + 0.5 \cdot ZS7 + 0.6 \cdot ZS9$	<input checked="" type="checkbox"/> Analýza podle II. řádu (P-Delta)
	Metoda pro řešení systému nelineárních algebraických rovnic Možnosti	<input checked="" type="checkbox"/> Picard
	Aktivovat součinitele tuhosti:	<input checked="" type="checkbox"/> Zohlednit příznivé tahové účinky <input checked="" type="checkbox"/> Vztáhnout vnitřní síly na přetvořený s



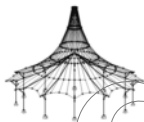
Projekt:

Model: Varianta B

Datum: 08.01.2019

## 2.5.2 KOMBINACE ZATÍŽENÍ - PARAMETRY VÝPOČTU

Kombin. zatížení	Označení	Parametry výpočtu
		<p>systém pro:</p> <ul style="list-style-type: none"><li><input checked="" type="checkbox"/> Normálové síly N</li><li><input checked="" type="checkbox"/> Smykové síly <math>V_y</math> a <math>V_z</math></li><li><input checked="" type="checkbox"/> Momenty <math>M_y</math>, <math>M_z</math> a <math>M_T</math></li></ul> <p>Aktivovat součinitele tuhosti:</p> <ul style="list-style-type: none"><li><input checked="" type="checkbox"/> Materiály (dílčí souč. spolehlivosti <math>\gamma_M</math>)</li><li><input checked="" type="checkbox"/> Průřezy (součinitel pro <math>J</math>, <math>I_y</math>, <math>I_z</math>, <math>A</math>, <math>A_y</math>, <math>A_z</math>)</li><li><input checked="" type="checkbox"/> Pruty (faktor pro <math>GJ</math>, <math>El_y</math>, <math>El_z</math>, <math>EA</math>, <math>GA_y</math>, <math>GA_z</math>)</li></ul> <p><input checked="" type="checkbox"/> Analýza podle II. řádu (P-Delta)</p>
KZ134	ZS1 + ZS2 + ZS5 + 0.5*ZS7 + 0.6*ZS10	<p>Způsob výpočtu</p> <p><input checked="" type="checkbox"/> Picard</p> <p>Metoda pro řešení systému nelineárních algebraických rovnic</p> <p>Možnosti</p> <ul style="list-style-type: none"><li><input checked="" type="checkbox"/> Zohlednit příznivé tahové účinky</li><li><input checked="" type="checkbox"/> Vztáhnout vnitřní síly na přetvořený systém pro:</li></ul> <p>systém pro:</p> <ul style="list-style-type: none"><li><input checked="" type="checkbox"/> Normálové síly N</li><li><input checked="" type="checkbox"/> Smykové síly <math>V_y</math> a <math>V_z</math></li><li><input checked="" type="checkbox"/> Momenty <math>M_y</math>, <math>M_z</math> a <math>M_T</math></li></ul> <p>Aktivovat součinitele tuhosti:</p> <ul style="list-style-type: none"><li><input checked="" type="checkbox"/> Materiály (dílčí souč. spolehlivosti <math>\gamma_M</math>)</li><li><input checked="" type="checkbox"/> Průřezy (součinitel pro <math>J</math>, <math>I_y</math>, <math>I_z</math>, <math>A</math>, <math>A_y</math>, <math>A_z</math>)</li><li><input checked="" type="checkbox"/> Pruty (faktor pro <math>GJ</math>, <math>El_y</math>, <math>El_z</math>, <math>EA</math>, <math>GA_y</math>, <math>GA_z</math>)</li></ul> <p><input checked="" type="checkbox"/> Analýza podle II. řádu (P-Delta)</p>
KZ135	ZS1 + ZS2 + ZS5 + 0.5*ZS8 + 0.6*ZS9	<p>Způsob výpočtu</p> <p><input checked="" type="checkbox"/> Picard</p> <p>Metoda pro řešení systému nelineárních algebraických rovnic</p> <p>Možnosti</p> <ul style="list-style-type: none"><li><input checked="" type="checkbox"/> Zohlednit příznivé tahové účinky</li><li><input checked="" type="checkbox"/> Vztáhnout vnitřní síly na přetvořený systém pro:</li></ul> <p>systém pro:</p> <ul style="list-style-type: none"><li><input checked="" type="checkbox"/> Normálové síly N</li><li><input checked="" type="checkbox"/> Smykové síly <math>V_y</math> a <math>V_z</math></li><li><input checked="" type="checkbox"/> Momenty <math>M_y</math>, <math>M_z</math> a <math>M_T</math></li></ul> <p>Aktivovat součinitele tuhosti:</p> <ul style="list-style-type: none"><li><input checked="" type="checkbox"/> Materiály (dílčí souč. spolehlivosti <math>\gamma_M</math>)</li><li><input checked="" type="checkbox"/> Průřezy (součinitel pro <math>J</math>, <math>I_y</math>, <math>I_z</math>, <math>A</math>, <math>A_y</math>, <math>A_z</math>)</li><li><input checked="" type="checkbox"/> Pruty (faktor pro <math>GJ</math>, <math>El_y</math>, <math>El_z</math>, <math>EA</math>, <math>GA_y</math>, <math>GA_z</math>)</li></ul> <p><input checked="" type="checkbox"/> Analýza podle II. řádu (P-Delta)</p>
KZ136	ZS1 + ZS2 + ZS5 + 0.5*ZS8 + 0.6*ZS10	<p>Způsob výpočtu</p> <p><input checked="" type="checkbox"/> Picard</p> <p>Metoda pro řešení systému nelineárních algebraických rovnic</p> <p>Možnosti</p> <ul style="list-style-type: none"><li><input checked="" type="checkbox"/> Zohlednit příznivé tahové účinky</li><li><input checked="" type="checkbox"/> Vztáhnout vnitřní síly na přetvořený systém pro:</li></ul> <p>systém pro:</p> <ul style="list-style-type: none"><li><input checked="" type="checkbox"/> Normálové síly N</li><li><input checked="" type="checkbox"/> Smykové síly <math>V_y</math> a <math>V_z</math></li><li><input checked="" type="checkbox"/> Momenty <math>M_y</math>, <math>M_z</math> a <math>M_T</math></li></ul> <p>Aktivovat součinitele tuhosti:</p> <ul style="list-style-type: none"><li><input checked="" type="checkbox"/> Materiály (dílčí souč. spolehlivosti <math>\gamma_M</math>)</li><li><input checked="" type="checkbox"/> Průřezy (součinitel pro <math>J</math>, <math>I_y</math>, <math>I_z</math>, <math>A</math>, <math>A_y</math>, <math>A_z</math>)</li><li><input checked="" type="checkbox"/> Pruty (faktor pro <math>GJ</math>, <math>El_y</math>, <math>El_z</math>, <math>EA</math>, <math>GA_y</math>, <math>GA_z</math>)</li></ul> <p><input checked="" type="checkbox"/> Analýza podle II. řádu (P-Delta)</p>
KZ137	ZS1 + ZS2 + ZS3 + 0.6*ZS9	<p>Způsob výpočtu</p> <p><input checked="" type="checkbox"/> Picard</p> <p>Metoda pro řešení systému nelineárních algebraických rovnic</p> <p>Možnosti</p> <ul style="list-style-type: none"><li><input checked="" type="checkbox"/> Zohlednit příznivé tahové účinky</li><li><input checked="" type="checkbox"/> Vztáhnout vnitřní síly na přetvořený systém pro:</li></ul> <p>systém pro:</p> <ul style="list-style-type: none"><li><input checked="" type="checkbox"/> Normálové síly N</li><li><input checked="" type="checkbox"/> Smykové síly <math>V_y</math> a <math>V_z</math></li><li><input checked="" type="checkbox"/> Momenty <math>M_y</math>, <math>M_z</math> a <math>M_T</math></li></ul> <p>Aktivovat součinitele tuhosti:</p> <ul style="list-style-type: none"><li><input checked="" type="checkbox"/> Materiály (dílčí souč. spolehlivosti <math>\gamma_M</math>)</li><li><input checked="" type="checkbox"/> Průřezy (součinitel pro <math>J</math>, <math>I_y</math>, <math>I_z</math>, <math>A</math>, <math>A_y</math>, <math>A_z</math>)</li><li><input checked="" type="checkbox"/> Pruty (faktor pro <math>GJ</math>, <math>El_y</math>, <math>El_z</math>, <math>EA</math>, <math>GA_y</math>, <math>GA_z</math>)</li></ul> <p><input checked="" type="checkbox"/> Analýza podle II. řádu (P-Delta)</p>
KZ138	ZS1 + ZS2 + ZS3 + 0.6*ZS10	<p>Způsob výpočtu</p> <p><input checked="" type="checkbox"/> Picard</p> <p>Metoda pro řešení systému nelineárních algebraických rovnic</p> <p>Možnosti</p> <ul style="list-style-type: none"><li><input checked="" type="checkbox"/> Zohlednit příznivé tahové účinky</li><li><input checked="" type="checkbox"/> Vztáhnout vnitřní síly na přetvořený systém pro:</li></ul> <p>systém pro:</p> <ul style="list-style-type: none"><li><input checked="" type="checkbox"/> Normálové síly N</li><li><input checked="" type="checkbox"/> Smykové síly <math>V_y</math> a <math>V_z</math></li><li><input checked="" type="checkbox"/> Momenty <math>M_y</math>, <math>M_z</math> a <math>M_T</math></li></ul> <p>Aktivovat součinitele tuhosti:</p> <ul style="list-style-type: none"><li><input checked="" type="checkbox"/> Materiály (dílčí souč. spolehlivosti <math>\gamma_M</math>)</li><li><input checked="" type="checkbox"/> Průřezy (součinitel pro <math>J</math>, <math>I_y</math>, <math>I_z</math>, <math>A</math>, <math>A_y</math>, <math>A_z</math>)</li><li><input checked="" type="checkbox"/> Pruty (faktor pro <math>GJ</math>, <math>El_y</math>, <math>El_z</math>, <math>EA</math>, <math>GA_y</math>, <math>GA_z</math>)</li></ul> <p><input checked="" type="checkbox"/> Analýza podle II. řádu (P-Delta)</p>
KZ139	ZS1 + ZS2 + ZS4 + 0.6*ZS9	<p>Způsob výpočtu</p> <p><input checked="" type="checkbox"/> Picard</p> <p>Metoda pro řešení systému nelineárních algebraických rovnic</p> <p>Možnosti</p> <ul style="list-style-type: none"><li><input checked="" type="checkbox"/> Zohlednit příznivé tahové účinky</li><li><input checked="" type="checkbox"/> Vztáhnout vnitřní síly na přetvořený systém pro:</li></ul> <p>systém pro:</p> <ul style="list-style-type: none"><li><input checked="" type="checkbox"/> Normálové síly N</li><li><input checked="" type="checkbox"/> Smykové síly <math>V_y</math> a <math>V_z</math></li><li><input checked="" type="checkbox"/> Momenty <math>M_y</math>, <math>M_z</math> a <math>M_T</math></li></ul> <p>Aktivovat součinitele tuhosti:</p> <ul style="list-style-type: none"><li><input checked="" type="checkbox"/> Materiály (dílčí souč. spolehlivosti <math>\gamma_M</math>)</li><li><input checked="" type="checkbox"/> Průřezy (součinitel pro <math>J</math>, <math>I_y</math>, <math>I_z</math>, <math>A</math>, <math>A_y</math>, <math>A_z</math>)</li><li><input checked="" type="checkbox"/> Pruty (faktor pro <math>GJ</math>, <math>El_y</math>, <math>El_z</math>, <math>EA</math>, <math>GA_y</math>, <math>GA_z</math>)</li></ul> <p><input checked="" type="checkbox"/> Analýza podle II. řádu (P-Delta)</p>
KZ140	ZS1 + ZS2 + ZS4 + 0.6*ZS10	<p>Způsob výpočtu</p> <p><input checked="" type="checkbox"/> Picard</p> <p>Metoda pro řešení systému nelineárních algebraických rovnic</p> <p>Možnosti</p> <ul style="list-style-type: none"><li><input checked="" type="checkbox"/> Zohlednit příznivé tahové účinky</li><li><input checked="" type="checkbox"/> Vztáhnout vnitřní síly na přetvořený systém pro:</li></ul> <p>systém pro:</p> <ul style="list-style-type: none"><li><input checked="" type="checkbox"/> Normálové síly N</li><li><input checked="" type="checkbox"/> Smykové síly <math>V_y</math> a <math>V_z</math></li><li><input checked="" type="checkbox"/> Momenty <math>M_y</math>, <math>M_z</math> a <math>M_T</math></li></ul>



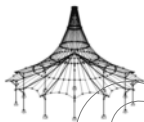
Projekt:

Model: Varianta B

Datum: 08.01.2019

## 2.5.2 KOMBINACE ZATÍŽENÍ - PARAMETRY VÝPOČTU

Kombin. zatížení	Označení	Parametry výpočtu
		Aktivovat součinitele tuhosti: <ul style="list-style-type: none"><li><input checked="" type="checkbox"/> Materiály (díleč souč. spolehlivosti <math>\gamma_M</math>)</li><li><input checked="" type="checkbox"/> Průřezy (součinitel pro <math>J, I_y, I_z, A, A_y, A_z</math>)</li><li><input checked="" type="checkbox"/> Pruty (faktor pro <math>GJ, EI_y, EI_z, EA, GA_y, GA_z</math>)</li></ul>
KZ141	ZS1 + ZS2 + ZS5 + 0.6*ZS9	Způsob výpočtu Metoda pro řešení systému nelineárních algebraických rovnic Možnosti <ul style="list-style-type: none"><li><input checked="" type="checkbox"/> Zohlednit příznivé tahové účinky</li><li><input checked="" type="checkbox"/> Vztáhnout vnitřní síly na přetvořený systém pro:<ul style="list-style-type: none"><li><input checked="" type="checkbox"/> Normálové síly <math>N</math></li><li><input checked="" type="checkbox"/> Smykové síly <math>V_y</math> a <math>V_z</math></li><li><input checked="" type="checkbox"/> Momenty <math>M_y, M_z</math> a <math>M_T</math></li></ul></li></ul> Aktivovat součinitele tuhosti: <ul style="list-style-type: none"><li><input checked="" type="checkbox"/> Materiály (díleč souč. spolehlivosti <math>\gamma_M</math>)</li><li><input checked="" type="checkbox"/> Průřezy (součinitel pro <math>J, I_y, I_z, A, A_y, A_z</math>)</li><li><input checked="" type="checkbox"/> Pruty (faktor pro <math>GJ, EI_y, EI_z, EA, GA_y, GA_z</math>)</li></ul>
KZ142	ZS1 + ZS2 + ZS5 + 0.6*ZS10	Způsob výpočtu Metoda pro řešení systému nelineárních algebraických rovnic Možnosti <ul style="list-style-type: none"><li><input checked="" type="checkbox"/> Zohlednit příznivé tahové účinky</li><li><input checked="" type="checkbox"/> Vztáhnout vnitřní síly na přetvořený systém pro:<ul style="list-style-type: none"><li><input checked="" type="checkbox"/> Normálové síly <math>N</math></li><li><input checked="" type="checkbox"/> Smykové síly <math>V_y</math> a <math>V_z</math></li><li><input checked="" type="checkbox"/> Momenty <math>M_y, M_z</math> a <math>M_T</math></li></ul></li></ul> Aktivovat součinitele tuhosti: <ul style="list-style-type: none"><li><input checked="" type="checkbox"/> Materiály (díleč souč. spolehlivosti <math>\gamma_M</math>)</li><li><input checked="" type="checkbox"/> Průřezy (součinitel pro <math>J, I_y, I_z, A, A_y, A_z</math>)</li><li><input checked="" type="checkbox"/> Pruty (faktor pro <math>GJ, EI_y, EI_z, EA, GA_y, GA_z</math>)</li></ul>
KZ143	ZS1 + ZS2 + ZS6	Způsob výpočtu Metoda pro řešení systému nelineárních algebraických rovnic Možnosti <ul style="list-style-type: none"><li><input checked="" type="checkbox"/> Zohlednit příznivé tahové účinky</li><li><input checked="" type="checkbox"/> Vztáhnout vnitřní síly na přetvořený systém pro:<ul style="list-style-type: none"><li><input checked="" type="checkbox"/> Normálové síly <math>N</math></li><li><input checked="" type="checkbox"/> Smykové síly <math>V_y</math> a <math>V_z</math></li><li><input checked="" type="checkbox"/> Momenty <math>M_y, M_z</math> a <math>M_T</math></li></ul></li></ul> Aktivovat součinitele tuhosti: <ul style="list-style-type: none"><li><input checked="" type="checkbox"/> Materiály (díleč souč. spolehlivosti <math>\gamma_M</math>)</li><li><input checked="" type="checkbox"/> Průřezy (součinitel pro <math>J, I_y, I_z, A, A_y, A_z</math>)</li><li><input checked="" type="checkbox"/> Pruty (faktor pro <math>GJ, EI_y, EI_z, EA, GA_y, GA_z</math>)</li></ul>
KZ144	ZS1 + ZS2 + ZS7	Způsob výpočtu Metoda pro řešení systému nelineárních algebraických rovnic Možnosti <ul style="list-style-type: none"><li><input checked="" type="checkbox"/> Zohlednit příznivé tahové účinky</li><li><input checked="" type="checkbox"/> Vztáhnout vnitřní síly na přetvořený systém pro:<ul style="list-style-type: none"><li><input checked="" type="checkbox"/> Normálové síly <math>N</math></li><li><input checked="" type="checkbox"/> Smykové síly <math>V_y</math> a <math>V_z</math></li><li><input checked="" type="checkbox"/> Momenty <math>M_y, M_z</math> a <math>M_T</math></li></ul></li></ul> Aktivovat součinitele tuhosti: <ul style="list-style-type: none"><li><input checked="" type="checkbox"/> Materiály (díleč souč. spolehlivosti <math>\gamma_M</math>)</li><li><input checked="" type="checkbox"/> Průřezy (součinitel pro <math>J, I_y, I_z, A, A_y, A_z</math>)</li><li><input checked="" type="checkbox"/> Pruty (faktor pro <math>GJ, EI_y, EI_z, EA, GA_y, GA_z</math>)</li></ul>
KZ145	ZS1 + ZS2 + ZS8	Způsob výpočtu Metoda pro řešení systému nelineárních algebraických rovnic Možnosti <ul style="list-style-type: none"><li><input checked="" type="checkbox"/> Zohlednit příznivé tahové účinky</li><li><input checked="" type="checkbox"/> Vztáhnout vnitřní síly na přetvořený systém pro:<ul style="list-style-type: none"><li><input checked="" type="checkbox"/> Normálové síly <math>N</math></li><li><input checked="" type="checkbox"/> Smykové síly <math>V_y</math> a <math>V_z</math></li><li><input checked="" type="checkbox"/> Momenty <math>M_y, M_z</math> a <math>M_T</math></li></ul></li></ul> Aktivovat součinitele tuhosti: <ul style="list-style-type: none"><li><input checked="" type="checkbox"/> Materiály (díleč souč. spolehlivosti <math>\gamma_M</math>)</li><li><input checked="" type="checkbox"/> Průřezy (součinitel pro <math>J, I_y, I_z, A, A_y, A_z</math>)</li><li><input checked="" type="checkbox"/> Pruty (faktor pro <math>GJ, EI_y, EI_z, EA, GA_y, GA_z</math>)</li></ul>
KZ146	ZS1 + ZS2 + 0.7*ZS3 + ZS6	Způsob výpočtu Metoda pro řešení systému nelineárních algebraických rovnic Možnosti <ul style="list-style-type: none"><li><input checked="" type="checkbox"/> Zohlednit příznivé tahové účinky</li><li><input checked="" type="checkbox"/> Vztáhnout vnitřní síly na přetvořený systém pro:<ul style="list-style-type: none"><li><input checked="" type="checkbox"/> Normálové síly <math>N</math></li><li><input checked="" type="checkbox"/> Smykové síly <math>V_y</math> a <math>V_z</math></li><li><input checked="" type="checkbox"/> Momenty <math>M_y, M_z</math> a <math>M_T</math></li></ul></li></ul> Aktivovat součinitele tuhosti: <ul style="list-style-type: none"><li><input checked="" type="checkbox"/> Materiály (díleč souč. spolehlivosti <math>\gamma_M</math>)</li><li><input checked="" type="checkbox"/> Průřezy (součinitel pro <math>J, I_y, I_z, A, A_y, A_z</math>)</li><li><input checked="" type="checkbox"/> Pruty (faktor pro <math>GJ, EI_y, EI_z, EA, GA_y, GA_z</math>)</li></ul>
KZ147	ZS1 + ZS2 + 0.7*ZS3 + ZS7	Způsob výpočtu Metoda pro řešení systému nelineárních algebraických rovnic Možnosti <ul style="list-style-type: none"><li><input checked="" type="checkbox"/> Zohlednit příznivé tahové účinky</li><li><input checked="" type="checkbox"/> Vztáhnout vnitřní síly na přetvořený systém pro:<ul style="list-style-type: none"><li><input checked="" type="checkbox"/> Normálové síly <math>N</math></li><li><input checked="" type="checkbox"/> Smykové síly <math>V_y</math> a <math>V_z</math></li><li><input checked="" type="checkbox"/> Momenty <math>M_y, M_z</math> a <math>M_T</math></li></ul></li></ul> Aktivovat součinitele tuhosti: <ul style="list-style-type: none"><li><input checked="" type="checkbox"/> Materiály (díleč souč. spolehlivosti <math>\gamma_M</math>)</li><li><input checked="" type="checkbox"/> Průřezy (součinitel pro <math>J, I_y, I_z, A, A_y, A_z</math>)</li><li><input checked="" type="checkbox"/> Pruty (faktor pro <math>GJ, EI_y, EI_z, EA, GA_y, GA_z</math>)</li></ul>
KZ148	ZS1 + ZS2 + 0.7*ZS3 + ZS8	Způsob výpočtu Metoda pro řešení systému nelineárních algebraických rovnic Možnosti <ul style="list-style-type: none"><li><input checked="" type="checkbox"/> Zohlednit příznivé tahové účinky</li></ul>



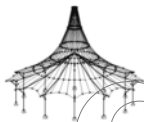
Projekt:

Model: Varianta B

Datum: 08.01.2019

## 2.5.2 KOMBINACE ZATÍŽENÍ - PARAMETRY VÝPOČTU

Kombin. zatížení	Označení	Parametry výpočtu
		<input checked="" type="checkbox"/> Vztáhnout vnitřní síly na přetvořený systém pro: <input checked="" type="checkbox"/> Normálové síly $N$ <input checked="" type="checkbox"/> Smykové síly $V_y$ a $V_z$ <input checked="" type="checkbox"/> Momenty $M_y$ , $M_z$ a $M_T$
		Aktivovat součinitele tuhosti: <input checked="" type="checkbox"/> Materiály (dílčí souč. spolehlivosti $\gamma_M$ ) <input checked="" type="checkbox"/> Průřezy (součinitel pro $J$ , $I_y$ , $I_z$ , $A$ , $A_y$ , $A_z$ ) <input checked="" type="checkbox"/> Pruty (faktor pro $GJ$ , $EI_y$ , $EI_z$ , $EA$ , $GA_y$ , $GA_z$ )
KZ149	ZS1 + ZS2 + 0.7*ZS4 + ZS6	Způsob výpočtu: <input checked="" type="checkbox"/> Analýza podle II. řádu (P-Delta) Metoda pro řešení systému nelineárních algebraických rovnic: <input checked="" type="checkbox"/> Picard Možnosti: <input checked="" type="checkbox"/> Zohlednit příznivé tahové účinky <input checked="" type="checkbox"/> Vztáhnout vnitřní síly na přetvořený systém pro: <input checked="" type="checkbox"/> Normálové síly $N$ <input checked="" type="checkbox"/> Smykové síly $V_y$ a $V_z$ <input checked="" type="checkbox"/> Momenty $M_y$ , $M_z$ a $M_T$
		Aktivovat součinitele tuhosti: <input checked="" type="checkbox"/> Materiály (dílčí souč. spolehlivosti $\gamma_M$ ) <input checked="" type="checkbox"/> Průřezy (součinitel pro $J$ , $I_y$ , $I_z$ , $A$ , $A_y$ , $A_z$ ) <input checked="" type="checkbox"/> Pruty (faktor pro $GJ$ , $EI_y$ , $EI_z$ , $EA$ , $GA_y$ , $GA_z$ )
KZ150	ZS1 + ZS2 + 0.7*ZS4 + ZS7	Způsob výpočtu: <input checked="" type="checkbox"/> Analýza podle II. řádu (P-Delta) Metoda pro řešení systému nelineárních algebraických rovnic: <input checked="" type="checkbox"/> Picard Možnosti: <input checked="" type="checkbox"/> Zohlednit příznivé tahové účinky <input checked="" type="checkbox"/> Vztáhnout vnitřní síly na přetvořený systém pro: <input checked="" type="checkbox"/> Normálové síly $N$ <input checked="" type="checkbox"/> Smykové síly $V_y$ a $V_z$ <input checked="" type="checkbox"/> Momenty $M_y$ , $M_z$ a $M_T$
		Aktivovat součinitele tuhosti: <input checked="" type="checkbox"/> Materiály (dílčí souč. spolehlivosti $\gamma_M$ ) <input checked="" type="checkbox"/> Průřezy (součinitel pro $J$ , $I_y$ , $I_z$ , $A$ , $A_y$ , $A_z$ ) <input checked="" type="checkbox"/> Pruty (faktor pro $GJ$ , $EI_y$ , $EI_z$ , $EA$ , $GA_y$ , $GA_z$ )
KZ151	ZS1 + ZS2 + 0.7*ZS4 + ZS8	Způsob výpočtu: <input checked="" type="checkbox"/> Analýza podle II. řádu (P-Delta) Metoda pro řešení systému nelineárních algebraických rovnic: <input checked="" type="checkbox"/> Picard Možnosti: <input checked="" type="checkbox"/> Zohlednit příznivé tahové účinky <input checked="" type="checkbox"/> Vztáhnout vnitřní síly na přetvořený systém pro: <input checked="" type="checkbox"/> Normálové síly $N$ <input checked="" type="checkbox"/> Smykové síly $V_y$ a $V_z$ <input checked="" type="checkbox"/> Momenty $M_y$ , $M_z$ a $M_T$
		Aktivovat součinitele tuhosti: <input checked="" type="checkbox"/> Materiály (dílčí souč. spolehlivosti $\gamma_M$ ) <input checked="" type="checkbox"/> Průřezy (součinitel pro $J$ , $I_y$ , $I_z$ , $A$ , $A_y$ , $A_z$ ) <input checked="" type="checkbox"/> Pruty (faktor pro $GJ$ , $EI_y$ , $EI_z$ , $EA$ , $GA_y$ , $GA_z$ )
KZ152	ZS1 + ZS2 + 0.7*ZS5 + ZS6	Způsob výpočtu: <input checked="" type="checkbox"/> Analýza podle II. řádu (P-Delta) Metoda pro řešení systému nelineárních algebraických rovnic: <input checked="" type="checkbox"/> Picard Možnosti: <input checked="" type="checkbox"/> Zohlednit příznivé tahové účinky <input checked="" type="checkbox"/> Vztáhnout vnitřní síly na přetvořený systém pro: <input checked="" type="checkbox"/> Normálové síly $N$ <input checked="" type="checkbox"/> Smykové síly $V_y$ a $V_z$ <input checked="" type="checkbox"/> Momenty $M_y$ , $M_z$ a $M_T$
		Aktivovat součinitele tuhosti: <input checked="" type="checkbox"/> Materiály (dílčí souč. spolehlivosti $\gamma_M$ ) <input checked="" type="checkbox"/> Průřezy (součinitel pro $J$ , $I_y$ , $I_z$ , $A$ , $A_y$ , $A_z$ ) <input checked="" type="checkbox"/> Pruty (faktor pro $GJ$ , $EI_y$ , $EI_z$ , $EA$ , $GA_y$ , $GA_z$ )
KZ153	ZS1 + ZS2 + 0.7*ZS5 + ZS7	Způsob výpočtu: <input checked="" type="checkbox"/> Analýza podle II. řádu (P-Delta) Metoda pro řešení systému nelineárních algebraických rovnic: <input checked="" type="checkbox"/> Picard Možnosti: <input checked="" type="checkbox"/> Zohlednit příznivé tahové účinky <input checked="" type="checkbox"/> Vztáhnout vnitřní síly na přetvořený systém pro: <input checked="" type="checkbox"/> Normálové síly $N$ <input checked="" type="checkbox"/> Smykové síly $V_y$ a $V_z$ <input checked="" type="checkbox"/> Momenty $M_y$ , $M_z$ a $M_T$
		Aktivovat součinitele tuhosti: <input checked="" type="checkbox"/> Materiály (dílčí souč. spolehlivosti $\gamma_M$ ) <input checked="" type="checkbox"/> Průřezy (součinitel pro $J$ , $I_y$ , $I_z$ , $A$ , $A_y$ , $A_z$ ) <input checked="" type="checkbox"/> Pruty (faktor pro $GJ$ , $EI_y$ , $EI_z$ , $EA$ , $GA_y$ , $GA_z$ )
KZ154	ZS1 + ZS2 + 0.7*ZS5 + ZS8	Způsob výpočtu: <input checked="" type="checkbox"/> Analýza podle II. řádu (P-Delta) Metoda pro řešení systému nelineárních algebraických rovnic: <input checked="" type="checkbox"/> Picard Možnosti: <input checked="" type="checkbox"/> Zohlednit příznivé tahové účinky <input checked="" type="checkbox"/> Vztáhnout vnitřní síly na přetvořený systém pro: <input checked="" type="checkbox"/> Normálové síly $N$ <input checked="" type="checkbox"/> Smykové síly $V_y$ a $V_z$ <input checked="" type="checkbox"/> Momenty $M_y$ , $M_z$ a $M_T$
		Aktivovat součinitele tuhosti: <input checked="" type="checkbox"/> Materiály (dílčí souč. spolehlivosti $\gamma_M$ ) <input checked="" type="checkbox"/> Průřezy (součinitel pro $J$ , $I_y$ , $I_z$ , $A$ , $A_y$ , $A_z$ ) <input checked="" type="checkbox"/> Pruty (faktor pro $GJ$ , $EI_y$ , $EI_z$ , $EA$ , $GA_y$ , $GA_z$ )
KZ155	ZS1 + ZS2 + 0.7*ZS3 + ZS6 + 0.6*ZS9	Způsob výpočtu: <input checked="" type="checkbox"/> Analýza podle II. řádu (P-Delta) Metoda pro řešení systému nelineárních algebraických rovnic: <input checked="" type="checkbox"/> Picard Možnosti: <input checked="" type="checkbox"/> Zohlednit příznivé tahové účinky <input checked="" type="checkbox"/> Vztáhnout vnitřní síly na přetvořený systém pro: <input checked="" type="checkbox"/> Normálové síly $N$ <input checked="" type="checkbox"/> Smykové síly $V_y$ a $V_z$ <input checked="" type="checkbox"/> Momenty $M_y$ , $M_z$ a $M_T$
		Aktivovat součinitele tuhosti: <input checked="" type="checkbox"/> Materiály (dílčí souč. spolehlivosti $\gamma_M$ )



Projekt:

Model: Varianta B

Datum: 08.01.2019

## 2.5.2 KOMBINACE ZATÍŽENÍ - PARAMETRY VÝPOČTU

Kombin. zatížení	Označení	Parametry výpočtu
		<input checked="" type="checkbox"/> Průřezy (součinitel pro $J, I_y, I_z, A, A_y, A_z$ ) <input checked="" type="checkbox"/> Pruty (faktor pro $GJ, EI_y, EI_z, EA, GA_y, GA_z$ ) <input checked="" type="checkbox"/> Analýza podle II. řádu (P-Delta)
KZ156	$ZS1 + ZS2 + 0.7 \cdot ZS3 + ZS6 + 0.6 \cdot ZS10$	<p>Způsob výpočtu</p> <p>Metoda pro řešení systému nelineárních algebraických rovnic</p> <p>Možnosti</p> <p>Aktivovat součinitele tuhosti:</p> <p><input checked="" type="checkbox"/> Picard</p> <p><input checked="" type="checkbox"/> Zohlednit příznivé tahové účinky</p> <p><input checked="" type="checkbox"/> Vztáhnout vnitřní síly na přetvořený systém pro:</p> <p><input checked="" type="checkbox"/> Normálové síly <math>N</math></p> <p><input checked="" type="checkbox"/> Smykové síly <math>V_y</math> a <math>V_z</math></p> <p><input checked="" type="checkbox"/> Momenty <math>M_y, M_z</math> a <math>M_T</math></p> <p><input checked="" type="checkbox"/> Materiály (dílčí souč. spolehlivosti <math>\gamma_M</math>)</p> <p><input checked="" type="checkbox"/> Průřezy (součinitel pro <math>J, I_y, I_z, A, A_y, A_z</math>)</p> <p><input checked="" type="checkbox"/> Pruty (faktor pro <math>GJ, EI_y, EI_z, EA, GA_y, GA_z</math>)</p> <p><input checked="" type="checkbox"/> Analýza podle II. řádu (P-Delta)</p>
KZ157	$ZS1 + ZS2 + 0.7 \cdot ZS3 + ZS7 + 0.6 \cdot ZS9$	<p>Způsob výpočtu</p> <p>Metoda pro řešení systému nelineárních algebraických rovnic</p> <p>Možnosti</p> <p>Aktivovat součinitele tuhosti:</p> <p><input checked="" type="checkbox"/> Picard</p> <p><input checked="" type="checkbox"/> Zohlednit příznivé tahové účinky</p> <p><input checked="" type="checkbox"/> Vztáhnout vnitřní síly na přetvořený systém pro:</p> <p><input checked="" type="checkbox"/> Normálové síly <math>N</math></p> <p><input checked="" type="checkbox"/> Smykové síly <math>V_y</math> a <math>V_z</math></p> <p><input checked="" type="checkbox"/> Momenty <math>M_y, M_z</math> a <math>M_T</math></p> <p><input checked="" type="checkbox"/> Materiály (dílčí souč. spolehlivosti <math>\gamma_M</math>)</p> <p><input checked="" type="checkbox"/> Průřezy (součinitel pro <math>J, I_y, I_z, A, A_y, A_z</math>)</p> <p><input checked="" type="checkbox"/> Pruty (faktor pro <math>GJ, EI_y, EI_z, EA, GA_y, GA_z</math>)</p> <p><input checked="" type="checkbox"/> Analýza podle II. řádu (P-Delta)</p>
KZ158	$ZS1 + ZS2 + 0.7 \cdot ZS3 + ZS7 + 0.6 \cdot ZS10$	<p>Způsob výpočtu</p> <p>Metoda pro řešení systému nelineárních algebraických rovnic</p> <p>Možnosti</p> <p>Aktivovat součinitele tuhosti:</p> <p><input checked="" type="checkbox"/> Picard</p> <p><input checked="" type="checkbox"/> Zohlednit příznivé tahové účinky</p> <p><input checked="" type="checkbox"/> Vztáhnout vnitřní síly na přetvořený systém pro:</p> <p><input checked="" type="checkbox"/> Normálové síly <math>N</math></p> <p><input checked="" type="checkbox"/> Smykové síly <math>V_y</math> a <math>V_z</math></p> <p><input checked="" type="checkbox"/> Momenty <math>M_y, M_z</math> a <math>M_T</math></p> <p><input checked="" type="checkbox"/> Materiály (dílčí souč. spolehlivosti <math>\gamma_M</math>)</p> <p><input checked="" type="checkbox"/> Průřezy (součinitel pro <math>J, I_y, I_z, A, A_y, A_z</math>)</p> <p><input checked="" type="checkbox"/> Pruty (faktor pro <math>GJ, EI_y, EI_z, EA, GA_y, GA_z</math>)</p> <p><input checked="" type="checkbox"/> Analýza podle II. řádu (P-Delta)</p>
KZ159	$ZS1 + ZS2 + 0.7 \cdot ZS3 + ZS8 + 0.6 \cdot ZS9$	<p>Způsob výpočtu</p> <p>Metoda pro řešení systému nelineárních algebraických rovnic</p> <p>Možnosti</p> <p>Aktivovat součinitele tuhosti:</p> <p><input checked="" type="checkbox"/> Picard</p> <p><input checked="" type="checkbox"/> Zohlednit příznivé tahové účinky</p> <p><input checked="" type="checkbox"/> Vztáhnout vnitřní síly na přetvořený systém pro:</p> <p><input checked="" type="checkbox"/> Normálové síly <math>N</math></p> <p><input checked="" type="checkbox"/> Smykové síly <math>V_y</math> a <math>V_z</math></p> <p><input checked="" type="checkbox"/> Momenty <math>M_y, M_z</math> a <math>M_T</math></p> <p><input checked="" type="checkbox"/> Materiály (dílčí souč. spolehlivosti <math>\gamma_M</math>)</p> <p><input checked="" type="checkbox"/> Průřezy (součinitel pro <math>J, I_y, I_z, A, A_y, A_z</math>)</p> <p><input checked="" type="checkbox"/> Pruty (faktor pro <math>GJ, EI_y, EI_z, EA, GA_y, GA_z</math>)</p> <p><input checked="" type="checkbox"/> Analýza podle II. řádu (P-Delta)</p>
KZ160	$ZS1 + ZS2 + 0.7 \cdot ZS3 + ZS8 + 0.6 \cdot ZS10$	<p>Způsob výpočtu</p> <p>Metoda pro řešení systému nelineárních algebraických rovnic</p> <p>Možnosti</p> <p>Aktivovat součinitele tuhosti:</p> <p><input checked="" type="checkbox"/> Picard</p> <p><input checked="" type="checkbox"/> Zohlednit příznivé tahové účinky</p> <p><input checked="" type="checkbox"/> Vztáhnout vnitřní síly na přetvořený systém pro:</p> <p><input checked="" type="checkbox"/> Normálové síly <math>N</math></p> <p><input checked="" type="checkbox"/> Smykové síly <math>V_y</math> a <math>V_z</math></p> <p><input checked="" type="checkbox"/> Momenty <math>M_y, M_z</math> a <math>M_T</math></p> <p><input checked="" type="checkbox"/> Materiály (dílčí souč. spolehlivosti <math>\gamma_M</math>)</p> <p><input checked="" type="checkbox"/> Průřezy (součinitel pro <math>J, I_y, I_z, A, A_y, A_z</math>)</p> <p><input checked="" type="checkbox"/> Pruty (faktor pro <math>GJ, EI_y, EI_z, EA, GA_y, GA_z</math>)</p> <p><input checked="" type="checkbox"/> Analýza podle II. řádu (P-Delta)</p>
KZ161	$ZS1 + ZS2 + 0.7 \cdot ZS4 + ZS6 + 0.6 \cdot ZS9$	<p>Způsob výpočtu</p> <p>Metoda pro řešení systému nelineárních algebraických rovnic</p> <p>Možnosti</p> <p>Aktivovat součinitele tuhosti:</p> <p><input checked="" type="checkbox"/> Picard</p> <p><input checked="" type="checkbox"/> Zohlednit příznivé tahové účinky</p> <p><input checked="" type="checkbox"/> Vztáhnout vnitřní síly na přetvořený systém pro:</p> <p><input checked="" type="checkbox"/> Normálové síly <math>N</math></p> <p><input checked="" type="checkbox"/> Smykové síly <math>V_y</math> a <math>V_z</math></p> <p><input checked="" type="checkbox"/> Momenty <math>M_y, M_z</math> a <math>M_T</math></p> <p><input checked="" type="checkbox"/> Materiály (dílčí souč. spolehlivosti <math>\gamma_M</math>)</p> <p><input checked="" type="checkbox"/> Průřezy (součinitel pro <math>J, I_y, I_z, A, A_y, A_z</math>)</p> <p><input checked="" type="checkbox"/> Pruty (faktor pro <math>GJ, EI_y, EI_z, EA, GA_y, GA_z</math>)</p> <p><input checked="" type="checkbox"/> Analýza podle II. řádu (P-Delta)</p>
KZ162	$ZS1 + ZS2 + 0.7 \cdot ZS4 + ZS6 + 0.6 \cdot ZS10$	<p>Způsob výpočtu</p> <p>Metoda pro řešení systému nelineárních algebraických rovnic</p> <p>Možnosti</p> <p>Aktivovat součinitele tuhosti:</p> <p><input checked="" type="checkbox"/> Picard</p> <p><input checked="" type="checkbox"/> Zohlednit příznivé tahové účinky</p> <p><input checked="" type="checkbox"/> Vztáhnout vnitřní síly na přetvořený systém pro:</p> <p><input checked="" type="checkbox"/> Normálové síly <math>N</math></p> <p><input checked="" type="checkbox"/> Smykové síly <math>V_y</math> a <math>V_z</math></p> <p><input checked="" type="checkbox"/> Momenty <math>M_y, M_z</math> a <math>M_T</math></p> <p><input checked="" type="checkbox"/> Materiály (dílčí souč. spolehlivosti <math>\gamma_M</math>)</p>







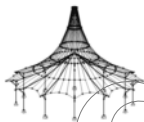
Projekt:

Model: Varianta B

Datum: 08.01.2019

## 2.5.2 KOMBINACE ZATÍŽENÍ - PARAMETRY VÝPOČTU

Kombin. zatížení	Označení	Parametry výpočtu
		<input checked="" type="checkbox"/> Průřezy (součinitel pro $J, I_y, I_z, A, A_y, A_z$ ) <input checked="" type="checkbox"/> Pruty (faktor pro $GJ, EI_y, EI_z, EA, GA_y, GA_z$ ) <input checked="" type="checkbox"/> Analýza podle II. řádu (P-Delta)
KZ170	$ZS1 + ZS2 + 0.7 \cdot ZS5 + ZS7 + 0.6 \cdot ZS10$	<p>Způsob výpočtu</p> <p>Metoda pro řešení systému nelineárních algebraických rovnic</p> <p>Možnosti</p> <p>Aktivovat součinitele tuhosti:</p> <input checked="" type="checkbox"/> Picard <input checked="" type="checkbox"/> Zohlednit příznivé tahové účinky <input checked="" type="checkbox"/> Vztáhnout vnitřní síly na přetvořený systém pro: <input checked="" type="checkbox"/> Normálové síly $N$ <input checked="" type="checkbox"/> Smykové síly $V_y$ a $V_z$ <input checked="" type="checkbox"/> Momenty $M_y, M_z$ a $M_T$ <input checked="" type="checkbox"/> Materiály (dílčí souč. spolehlivosti $\gamma_M$ ) <input checked="" type="checkbox"/> Průřezy (součinitel pro $J, I_y, I_z, A, A_y, A_z$ ) <input checked="" type="checkbox"/> Pruty (faktor pro $GJ, EI_y, EI_z, EA, GA_y, GA_z$ ) <input checked="" type="checkbox"/> Analýza podle II. řádu (P-Delta)
KZ171	$ZS1 + ZS2 + 0.7 \cdot ZS5 + ZS8 + 0.6 \cdot ZS9$	<p>Způsob výpočtu</p> <p>Metoda pro řešení systému nelineárních algebraických rovnic</p> <p>Možnosti</p> <p>Aktivovat součinitele tuhosti:</p> <input checked="" type="checkbox"/> Picard <input checked="" type="checkbox"/> Zohlednit příznivé tahové účinky <input checked="" type="checkbox"/> Vztáhnout vnitřní síly na přetvořený systém pro: <input checked="" type="checkbox"/> Normálové síly $N$ <input checked="" type="checkbox"/> Smykové síly $V_y$ a $V_z$ <input checked="" type="checkbox"/> Momenty $M_y, M_z$ a $M_T$ <input checked="" type="checkbox"/> Materiály (dílčí souč. spolehlivosti $\gamma_M$ ) <input checked="" type="checkbox"/> Průřezy (součinitel pro $J, I_y, I_z, A, A_y, A_z$ ) <input checked="" type="checkbox"/> Pruty (faktor pro $GJ, EI_y, EI_z, EA, GA_y, GA_z$ ) <input checked="" type="checkbox"/> Analýza podle II. řádu (P-Delta)
KZ172	$ZS1 + ZS2 + 0.7 \cdot ZS5 + ZS8 + 0.6 \cdot ZS10$	<p>Způsob výpočtu</p> <p>Metoda pro řešení systému nelineárních algebraických rovnic</p> <p>Možnosti</p> <p>Aktivovat součinitele tuhosti:</p> <input checked="" type="checkbox"/> Picard <input checked="" type="checkbox"/> Zohlednit příznivé tahové účinky <input checked="" type="checkbox"/> Vztáhnout vnitřní síly na přetvořený systém pro: <input checked="" type="checkbox"/> Normálové síly $N$ <input checked="" type="checkbox"/> Smykové síly $V_y$ a $V_z$ <input checked="" type="checkbox"/> Momenty $M_y, M_z$ a $M_T$ <input checked="" type="checkbox"/> Materiály (dílčí souč. spolehlivosti $\gamma_M$ ) <input checked="" type="checkbox"/> Průřezy (součinitel pro $J, I_y, I_z, A, A_y, A_z$ ) <input checked="" type="checkbox"/> Pruty (faktor pro $GJ, EI_y, EI_z, EA, GA_y, GA_z$ ) <input checked="" type="checkbox"/> Analýza podle II. řádu (P-Delta)
KZ173	$ZS1 + ZS2 + ZS6 + 0.6 \cdot ZS9$	<p>Způsob výpočtu</p> <p>Metoda pro řešení systému nelineárních algebraických rovnic</p> <p>Možnosti</p> <p>Aktivovat součinitele tuhosti:</p> <input checked="" type="checkbox"/> Picard <input checked="" type="checkbox"/> Zohlednit příznivé tahové účinky <input checked="" type="checkbox"/> Vztáhnout vnitřní síly na přetvořený systém pro: <input checked="" type="checkbox"/> Normálové síly $N$ <input checked="" type="checkbox"/> Smykové síly $V_y$ a $V_z$ <input checked="" type="checkbox"/> Momenty $M_y, M_z$ a $M_T$ <input checked="" type="checkbox"/> Materiály (dílčí souč. spolehlivosti $\gamma_M$ ) <input checked="" type="checkbox"/> Průřezy (součinitel pro $J, I_y, I_z, A, A_y, A_z$ ) <input checked="" type="checkbox"/> Pruty (faktor pro $GJ, EI_y, EI_z, EA, GA_y, GA_z$ ) <input checked="" type="checkbox"/> Analýza podle II. řádu (P-Delta)
KZ174	$ZS1 + ZS2 + ZS6 + 0.6 \cdot ZS10$	<p>Způsob výpočtu</p> <p>Metoda pro řešení systému nelineárních algebraických rovnic</p> <p>Možnosti</p> <p>Aktivovat součinitele tuhosti:</p> <input checked="" type="checkbox"/> Picard <input checked="" type="checkbox"/> Zohlednit příznivé tahové účinky <input checked="" type="checkbox"/> Vztáhnout vnitřní síly na přetvořený systém pro: <input checked="" type="checkbox"/> Normálové síly $N$ <input checked="" type="checkbox"/> Smykové síly $V_y$ a $V_z$ <input checked="" type="checkbox"/> Momenty $M_y, M_z$ a $M_T$ <input checked="" type="checkbox"/> Materiály (dílčí souč. spolehlivosti $\gamma_M$ ) <input checked="" type="checkbox"/> Průřezy (součinitel pro $J, I_y, I_z, A, A_y, A_z$ ) <input checked="" type="checkbox"/> Pruty (faktor pro $GJ, EI_y, EI_z, EA, GA_y, GA_z$ ) <input checked="" type="checkbox"/> Analýza podle II. řádu (P-Delta)
KZ175	$ZS1 + ZS2 + ZS7 + 0.6 \cdot ZS9$	<p>Způsob výpočtu</p> <p>Metoda pro řešení systému nelineárních algebraických rovnic</p> <p>Možnosti</p> <p>Aktivovat součinitele tuhosti:</p> <input checked="" type="checkbox"/> Picard <input checked="" type="checkbox"/> Zohlednit příznivé tahové účinky <input checked="" type="checkbox"/> Vztáhnout vnitřní síly na přetvořený systém pro: <input checked="" type="checkbox"/> Normálové síly $N$ <input checked="" type="checkbox"/> Smykové síly $V_y$ a $V_z$ <input checked="" type="checkbox"/> Momenty $M_y, M_z$ a $M_T$ <input checked="" type="checkbox"/> Materiály (dílčí souč. spolehlivosti $\gamma_M$ ) <input checked="" type="checkbox"/> Průřezy (součinitel pro $J, I_y, I_z, A, A_y, A_z$ ) <input checked="" type="checkbox"/> Pruty (faktor pro $GJ, EI_y, EI_z, EA, GA_y, GA_z$ ) <input checked="" type="checkbox"/> Analýza podle II. řádu (P-Delta)
KZ176	$ZS1 + ZS2 + ZS7 + 0.6 \cdot ZS10$	<p>Způsob výpočtu</p> <p>Metoda pro řešení systému nelineárních algebraických rovnic</p> <p>Možnosti</p> <p>Aktivovat součinitele tuhosti:</p> <input checked="" type="checkbox"/> Picard <input checked="" type="checkbox"/> Zohlednit příznivé tahové účinky <input checked="" type="checkbox"/> Vztáhnout vnitřní síly na přetvořený systém pro: <input checked="" type="checkbox"/> Normálové síly $N$ <input checked="" type="checkbox"/> Smykové síly $V_y$ a $V_z$ <input checked="" type="checkbox"/> Momenty $M_y, M_z$ a $M_T$ <input checked="" type="checkbox"/> Materiály (dílčí souč. spolehlivosti $\gamma_M$ ) <input checked="" type="checkbox"/> Průřezy (součinitel pro $J, I_y, I_z, A, A_y, A_z$ ) <input checked="" type="checkbox"/> Pruty (faktor pro $GJ, EI_y, EI_z, EA, GA_y, GA_z$ ) <input checked="" type="checkbox"/> Analýza podle II. řádu (P-Delta)
KZ177	$ZS1 + ZS2 + ZS8 + 0.6 \cdot ZS9$	<p>Způsob výpočtu</p> <p>Metoda pro řešení systému n</p> <input checked="" type="checkbox"/> Picard <input checked="" type="checkbox"/> Zohlednit příznivé tahové účinky <input checked="" type="checkbox"/> Vztáhnout vnitřní síly na přetvořený systém pro: <input checked="" type="checkbox"/> Normálové síly $N$ <input checked="" type="checkbox"/> Smykové síly $V_y$ a $V_z$ <input checked="" type="checkbox"/> Momenty $M_y, M_z$ a $M_T$ <input checked="" type="checkbox"/> Materiály (dílčí souč. spolehlivosti $\gamma_M$ ) <input checked="" type="checkbox"/> Průřezy (součinitel pro $J, I_y, I_z, A, A_y, A_z$ ) <input checked="" type="checkbox"/> Pruty (faktor pro $GJ, EI_y, EI_z, EA, GA_y, GA_z$ ) <input checked="" type="checkbox"/> Analýza podle II. řádu (P-Delta)



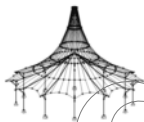
Projekt:

Model: Varianta B

Datum: 08.01.2019

## 2.5.2 KOMBINACE ZATÍŽENÍ - PARAMETRY VÝPOČTU

Kombin. zatížení	Označení	Parametry výpočtu
		nelineárních algebraických rovnic Možnosti : <input checked="" type="checkbox"/> Zohlednit příznivé tahové účinky : <input checked="" type="checkbox"/> Vztáhnout vnitřní síly na přetvořený systém pro: : <input checked="" type="checkbox"/> Normálové síly $N$ : <input checked="" type="checkbox"/> Smykové síly $V_y$ a $V_z$ : <input checked="" type="checkbox"/> Momenty $M_y$ , $M_z$ a $M_T$ Aktivovat součinitele tuhosti: : <input checked="" type="checkbox"/> Materiály (dílič souč. spolehlivosti $\gamma_M$ ) : <input checked="" type="checkbox"/> Průřezy (součinitel pro $J$ , $I_y$ , $I_z$ , $A$ , $A_y$ , $A_z$ ) : <input checked="" type="checkbox"/> Pruty (faktor pro $GJ$ , $EI_y$ , $EI_z$ , $EA$ , $GA_y$ , $GA_z$ )
KZ178	$ZS1 + ZS2 + ZS8 + 0.6 \cdot ZS10$	Způsob výpočtu : <input checked="" type="checkbox"/> Analýza podle II. řádu (P-Delta) Metoda pro řešení systému : <input checked="" type="checkbox"/> Picard nelineárních algebraických rovnic Možnosti : <input checked="" type="checkbox"/> Zohlednit příznivé tahové účinky : <input checked="" type="checkbox"/> Vztáhnout vnitřní síly na přetvořený systém pro: : <input checked="" type="checkbox"/> Normálové síly $N$ : <input checked="" type="checkbox"/> Smykové síly $V_y$ a $V_z$ : <input checked="" type="checkbox"/> Momenty $M_y$ , $M_z$ a $M_T$ Aktivovat součinitele tuhosti: : <input checked="" type="checkbox"/> Materiály (dílič souč. spolehlivosti $\gamma_M$ ) : <input checked="" type="checkbox"/> Průřezy (součinitel pro $J$ , $I_y$ , $I_z$ , $A$ , $A_y$ , $A_z$ ) : <input checked="" type="checkbox"/> Pruty (faktor pro $GJ$ , $EI_y$ , $EI_z$ , $EA$ , $GA_y$ , $GA_z$ )
KZ179	$ZS1 + ZS2 + ZS9$	Způsob výpočtu : <input checked="" type="checkbox"/> Analýza podle II. řádu (P-Delta) Metoda pro řešení systému : <input checked="" type="checkbox"/> Picard nelineárních algebraických rovnic Možnosti : <input checked="" type="checkbox"/> Zohlednit příznivé tahové účinky : <input checked="" type="checkbox"/> Vztáhnout vnitřní síly na přetvořený systém pro: : <input checked="" type="checkbox"/> Normálové síly $N$ : <input checked="" type="checkbox"/> Smykové síly $V_y$ a $V_z$ : <input checked="" type="checkbox"/> Momenty $M_y$ , $M_z$ a $M_T$ Aktivovat součinitele tuhosti: : <input checked="" type="checkbox"/> Materiály (dílič souč. spolehlivosti $\gamma_M$ ) : <input checked="" type="checkbox"/> Průřezy (součinitel pro $J$ , $I_y$ , $I_z$ , $A$ , $A_y$ , $A_z$ ) : <input checked="" type="checkbox"/> Pruty (faktor pro $GJ$ , $EI_y$ , $EI_z$ , $EA$ , $GA_y$ , $GA_z$ )
KZ180	$ZS1 + ZS2 + ZS10$	Způsob výpočtu : <input checked="" type="checkbox"/> Analýza podle II. řádu (P-Delta) Metoda pro řešení systému : <input checked="" type="checkbox"/> Picard nelineárních algebraických rovnic Možnosti : <input checked="" type="checkbox"/> Zohlednit příznivé tahové účinky : <input checked="" type="checkbox"/> Vztáhnout vnitřní síly na přetvořený systém pro: : <input checked="" type="checkbox"/> Normálové síly $N$ : <input checked="" type="checkbox"/> Smykové síly $V_y$ a $V_z$ : <input checked="" type="checkbox"/> Momenty $M_y$ , $M_z$ a $M_T$ Aktivovat součinitele tuhosti: : <input checked="" type="checkbox"/> Materiály (dílič souč. spolehlivosti $\gamma_M$ ) : <input checked="" type="checkbox"/> Průřezy (součinitel pro $J$ , $I_y$ , $I_z$ , $A$ , $A_y$ , $A_z$ ) : <input checked="" type="checkbox"/> Pruty (faktor pro $GJ$ , $EI_y$ , $EI_z$ , $EA$ , $GA_y$ , $GA_z$ )
KZ181	$ZS1 + ZS2 + 0.7 \cdot ZS3 + ZS9$	Způsob výpočtu : <input checked="" type="checkbox"/> Analýza podle II. řádu (P-Delta) Metoda pro řešení systému : <input checked="" type="checkbox"/> Picard nelineárních algebraických rovnic Možnosti : <input checked="" type="checkbox"/> Zohlednit příznivé tahové účinky : <input checked="" type="checkbox"/> Vztáhnout vnitřní síly na přetvořený systém pro: : <input checked="" type="checkbox"/> Normálové síly $N$ : <input checked="" type="checkbox"/> Smykové síly $V_y$ a $V_z$ : <input checked="" type="checkbox"/> Momenty $M_y$ , $M_z$ a $M_T$ Aktivovat součinitele tuhosti: : <input checked="" type="checkbox"/> Materiály (dílič souč. spolehlivosti $\gamma_M$ ) : <input checked="" type="checkbox"/> Průřezy (součinitel pro $J$ , $I_y$ , $I_z$ , $A$ , $A_y$ , $A_z$ ) : <input checked="" type="checkbox"/> Pruty (faktor pro $GJ$ , $EI_y$ , $EI_z$ , $EA$ , $GA_y$ , $GA_z$ )
KZ182	$ZS1 + ZS2 + 0.7 \cdot ZS3 + ZS10$	Způsob výpočtu : <input checked="" type="checkbox"/> Analýza podle II. řádu (P-Delta) Metoda pro řešení systému : <input checked="" type="checkbox"/> Picard nelineárních algebraických rovnic Možnosti : <input checked="" type="checkbox"/> Zohlednit příznivé tahové účinky : <input checked="" type="checkbox"/> Vztáhnout vnitřní síly na přetvořený systém pro: : <input checked="" type="checkbox"/> Normálové síly $N$ : <input checked="" type="checkbox"/> Smykové síly $V_y$ a $V_z$ : <input checked="" type="checkbox"/> Momenty $M_y$ , $M_z$ a $M_T$ Aktivovat součinitele tuhosti: : <input checked="" type="checkbox"/> Materiály (dílič souč. spolehlivosti $\gamma_M$ ) : <input checked="" type="checkbox"/> Průřezy (součinitel pro $J$ , $I_y$ , $I_z$ , $A$ , $A_y$ , $A_z$ ) : <input checked="" type="checkbox"/> Pruty (faktor pro $GJ$ , $EI_y$ , $EI_z$ , $EA$ , $GA_y$ , $GA_z$ )
KZ183	$ZS1 + ZS2 + 0.7 \cdot ZS4 + ZS9$	Způsob výpočtu : <input checked="" type="checkbox"/> Analýza podle II. řádu (P-Delta) Metoda pro řešení systému : <input checked="" type="checkbox"/> Picard nelineárních algebraických rovnic Možnosti : <input checked="" type="checkbox"/> Zohlednit příznivé tahové účinky : <input checked="" type="checkbox"/> Vztáhnout vnitřní síly na přetvořený systém pro: : <input checked="" type="checkbox"/> Normálové síly $N$ : <input checked="" type="checkbox"/> Smykové síly $V_y$ a $V_z$ : <input checked="" type="checkbox"/> Momenty $M_y$ , $M_z$ a $M_T$ Aktivovat součinitele tuhosti: : <input checked="" type="checkbox"/> Materiály (dílič souč. spolehlivosti $\gamma_M$ ) : <input checked="" type="checkbox"/> Průřezy (součinitel pro $J$ , $I_y$ , $I_z$ , $A$ , $A_y$ , $A_z$ ) : <input checked="" type="checkbox"/> Pruty (faktor pro $GJ$ , $EI_y$ , $EI_z$ , $EA$ , $GA_y$ , $GA_z$ )
KZ184	$ZS1 + ZS2 + 0.7 \cdot ZS4 + ZS10$	Způsob výpočtu : <input checked="" type="checkbox"/> Analýza podle II. řádu (P-Delta) Metoda pro řešení systému : <input checked="" type="checkbox"/> Picard nelineárních algebraických rovnic Možnosti : <input checked="" type="checkbox"/> Zohlednit příznivé tahové účinky : <input checked="" type="checkbox"/> Vztáhnout vnitřní síly na přetvořený systém pro: : <input checked="" type="checkbox"/> Normálové síly $N$ : <input checked="" type="checkbox"/> Smykové síly $V_y$ a $V_z$ : <input checked="" type="checkbox"/> Momenty $M_y$ , $M_z$ a $M_T$



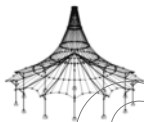
Projekt:

Model: Varianta B

Datum: 08.01.2019

## 2.5.2 KOMBINACE ZATÍŽENÍ - PARAMETRY VÝPOČTU

Kombin. zatížení	Označení	Parametry výpočtu	
KZ185	ZS1 + ZS2 + 0.7*ZS5 + ZS9	Aktivovat součinitele tuhosti:	<input checked="" type="checkbox"/> Materiály (dílčí souč. spolehlivosti $\gamma_M$ ) <input checked="" type="checkbox"/> Průřezy (součinitel pro $J, I_y, I_z, A, A_y, A_z$ ) <input checked="" type="checkbox"/> Pruty (faktor pro $GJ, EI_y, EI_z, EA, GA_y, GA_z$ )
		Způsob výpočtu Metoda pro řešení systému nelineárních algebraických rovnic Možnosti	<input checked="" type="checkbox"/> Analýza podle II. řádu (P-Delta) <input checked="" type="checkbox"/> Picard  <input checked="" type="checkbox"/> Zohlednit příznivé tahové účinky <input checked="" type="checkbox"/> Vztáhnout vnitřní síly na přetvořený systém pro: <input checked="" type="checkbox"/> Normálové síly $N$ <input checked="" type="checkbox"/> Smykové síly $V_y$ a $V_z$ <input checked="" type="checkbox"/> Momenty $M_y, M_z$ a $M_T$
KZ186	ZS1 + ZS2 + 0.7*ZS5 + ZS10	Aktivovat součinitele tuhosti:	<input checked="" type="checkbox"/> Materiály (dílčí souč. spolehlivosti $\gamma_M$ ) <input checked="" type="checkbox"/> Průřezy (součinitel pro $J, I_y, I_z, A, A_y, A_z$ ) <input checked="" type="checkbox"/> Pruty (faktor pro $GJ, EI_y, EI_z, EA, GA_y, GA_z$ )
		Způsob výpočtu Metoda pro řešení systému nelineárních algebraických rovnic Možnosti	<input checked="" type="checkbox"/> Analýza podle II. řádu (P-Delta) <input checked="" type="checkbox"/> Picard  <input checked="" type="checkbox"/> Zohlednit příznivé tahové účinky <input checked="" type="checkbox"/> Vztáhnout vnitřní síly na přetvořený systém pro: <input checked="" type="checkbox"/> Normálové síly $N$ <input checked="" type="checkbox"/> Smykové síly $V_y$ a $V_z$ <input checked="" type="checkbox"/> Momenty $M_y, M_z$ a $M_T$
KZ187	ZS1 + ZS2 + 0.7*ZS3 + 0.5*ZS6 + ZS9	Aktivovat součinitele tuhosti:	<input checked="" type="checkbox"/> Materiály (dílčí souč. spolehlivosti $\gamma_M$ ) <input checked="" type="checkbox"/> Průřezy (součinitel pro $J, I_y, I_z, A, A_y, A_z$ ) <input checked="" type="checkbox"/> Pruty (faktor pro $GJ, EI_y, EI_z, EA, GA_y, GA_z$ )
		Způsob výpočtu Metoda pro řešení systému nelineárních algebraických rovnic Možnosti	<input checked="" type="checkbox"/> Analýza podle II. řádu (P-Delta) <input checked="" type="checkbox"/> Picard  <input checked="" type="checkbox"/> Zohlednit příznivé tahové účinky <input checked="" type="checkbox"/> Vztáhnout vnitřní síly na přetvořený systém pro: <input checked="" type="checkbox"/> Normálové síly $N$ <input checked="" type="checkbox"/> Smykové síly $V_y$ a $V_z$ <input checked="" type="checkbox"/> Momenty $M_y, M_z$ a $M_T$
KZ188	ZS1 + ZS2 + 0.7*ZS3 + 0.5*ZS6 + ZS10	Aktivovat součinitele tuhosti:	<input checked="" type="checkbox"/> Materiály (dílčí souč. spolehlivosti $\gamma_M$ ) <input checked="" type="checkbox"/> Průřezy (součinitel pro $J, I_y, I_z, A, A_y, A_z$ ) <input checked="" type="checkbox"/> Pruty (faktor pro $GJ, EI_y, EI_z, EA, GA_y, GA_z$ )
		Způsob výpočtu Metoda pro řešení systému nelineárních algebraických rovnic Možnosti	<input checked="" type="checkbox"/> Analýza podle II. řádu (P-Delta) <input checked="" type="checkbox"/> Picard  <input checked="" type="checkbox"/> Zohlednit příznivé tahové účinky <input checked="" type="checkbox"/> Vztáhnout vnitřní síly na přetvořený systém pro: <input checked="" type="checkbox"/> Normálové síly $N$ <input checked="" type="checkbox"/> Smykové síly $V_y$ a $V_z$ <input checked="" type="checkbox"/> Momenty $M_y, M_z$ a $M_T$
KZ189	ZS1 + ZS2 + 0.7*ZS3 + 0.5*ZS7 + ZS9	Aktivovat součinitele tuhosti:	<input checked="" type="checkbox"/> Materiály (dílčí souč. spolehlivosti $\gamma_M$ ) <input checked="" type="checkbox"/> Průřezy (součinitel pro $J, I_y, I_z, A, A_y, A_z$ ) <input checked="" type="checkbox"/> Pruty (faktor pro $GJ, EI_y, EI_z, EA, GA_y, GA_z$ )
		Způsob výpočtu Metoda pro řešení systému nelineárních algebraických rovnic Možnosti	<input checked="" type="checkbox"/> Analýza podle II. řádu (P-Delta) <input checked="" type="checkbox"/> Picard  <input checked="" type="checkbox"/> Zohlednit příznivé tahové účinky <input checked="" type="checkbox"/> Vztáhnout vnitřní síly na přetvořený systém pro: <input checked="" type="checkbox"/> Normálové síly $N$ <input checked="" type="checkbox"/> Smykové síly $V_y$ a $V_z$ <input checked="" type="checkbox"/> Momenty $M_y, M_z$ a $M_T$
KZ190	ZS1 + ZS2 + 0.7*ZS3 + 0.5*ZS7 + ZS10	Aktivovat součinitele tuhosti:	<input checked="" type="checkbox"/> Materiály (dílčí souč. spolehlivosti $\gamma_M$ ) <input checked="" type="checkbox"/> Průřezy (součinitel pro $J, I_y, I_z, A, A_y, A_z$ ) <input checked="" type="checkbox"/> Pruty (faktor pro $GJ, EI_y, EI_z, EA, GA_y, GA_z$ )
		Způsob výpočtu Metoda pro řešení systému nelineárních algebraických rovnic Možnosti	<input checked="" type="checkbox"/> Analýza podle II. řádu (P-Delta) <input checked="" type="checkbox"/> Picard  <input checked="" type="checkbox"/> Zohlednit příznivé tahové účinky <input checked="" type="checkbox"/> Vztáhnout vnitřní síly na přetvořený systém pro: <input checked="" type="checkbox"/> Normálové síly $N$ <input checked="" type="checkbox"/> Smykové síly $V_y$ a $V_z$ <input checked="" type="checkbox"/> Momenty $M_y, M_z$ a $M_T$
KZ191	ZS1 + ZS2 + 0.7*ZS3 + 0.5*ZS8 + ZS9	Aktivovat součinitele tuhosti:	<input checked="" type="checkbox"/> Materiály (dílčí souč. spolehlivosti $\gamma_M$ ) <input checked="" type="checkbox"/> Průřezy (součinitel pro $J, I_y, I_z, A, A_y, A_z$ ) <input checked="" type="checkbox"/> Pruty (faktor pro $GJ, EI_y, EI_z, EA, GA_y, GA_z$ )
		Způsob výpočtu Metoda pro řešení systému nelineárních algebraických rovnic Možnosti	<input checked="" type="checkbox"/> Analýza podle II. řádu (P-Delta) <input checked="" type="checkbox"/> Picard  <input checked="" type="checkbox"/> Zohlednit příznivé tahové účinky <input checked="" type="checkbox"/> Vztáhnout vnitřní síly na přetvořený systém pro: <input checked="" type="checkbox"/> Normálové síly $N$ <input checked="" type="checkbox"/> Smykové síly $V_y$ a $V_z$ <input checked="" type="checkbox"/> Momenty $M_y, M_z$ a $M_T$



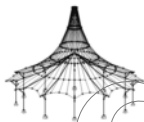
Projekt:

Model: Varianta B

Datum: 08.01.2019

## 2.5.2 KOMBINACE ZATÍŽENÍ - PARAMETRY VÝPOČTU

Kombin. zatížení	Označení	Parametry výpočtu
KZ192	ZS1 + ZS2 + 0.7*ZS3 + 0.5*ZS8 + ZS10	<input checked="" type="checkbox"/> Pruty (faktor pro GJ, EI <sub>y</sub> , EI <sub>z</sub> , EA, GA <sub>y</sub> , GA <sub>z</sub> )
		<input checked="" type="checkbox"/> Analýza podle II. řádu (P-Delta)
		<input checked="" type="checkbox"/> Picard
		<input checked="" type="checkbox"/> Zohlednit příznivé tahové účinky
KZ193	ZS1 + ZS2 + 0.7*ZS4 + 0.5*ZS6 + ZS9	<input checked="" type="checkbox"/> Vztáhnout vnitřní síly na přetvořený systém pro:
		<input checked="" type="checkbox"/> Normálové síly N
		<input checked="" type="checkbox"/> Smykové síly V <sub>y</sub> a V <sub>z</sub>
		<input checked="" type="checkbox"/> Momenty M <sub>y</sub> , M <sub>z</sub> a M <sub>T</sub>
KZ194	ZS1 + ZS2 + 0.7*ZS4 + 0.5*ZS6 + ZS10	<input checked="" type="checkbox"/> Aktivovat součinitele tuhosti:
		<input checked="" type="checkbox"/> Materiály (dílčí souč. spolehlivosti γ <sub>M</sub> )
		<input checked="" type="checkbox"/> Průřezy (součinitel pro J, I <sub>y</sub> , I <sub>z</sub> , A, A <sub>y</sub> , A <sub>z</sub> )
		<input checked="" type="checkbox"/> Pruty (faktor pro GJ, EI <sub>y</sub> , EI <sub>z</sub> , EA, GA <sub>y</sub> , GA <sub>z</sub> )
KZ195	ZS1 + ZS2 + 0.7*ZS4 + 0.5*ZS7 + ZS9	<input checked="" type="checkbox"/> Analýza podle II. řádu (P-Delta)
		<input checked="" type="checkbox"/> Picard
		<input checked="" type="checkbox"/> Zohlednit příznivé tahové účinky
		<input checked="" type="checkbox"/> Vztáhnout vnitřní síly na přetvořený systém pro:
KZ196	ZS1 + ZS2 + 0.7*ZS4 + 0.5*ZS7 + ZS10	<input checked="" type="checkbox"/> Normálové síly N
		<input checked="" type="checkbox"/> Smykové síly V <sub>y</sub> a V <sub>z</sub>
		<input checked="" type="checkbox"/> Momenty M <sub>y</sub> , M <sub>z</sub> a M <sub>T</sub>
		<input checked="" type="checkbox"/> Aktivovat součinitele tuhosti:
KZ197	ZS1 + ZS2 + 0.7*ZS4 + 0.5*ZS8 + ZS9	<input checked="" type="checkbox"/> Materiály (dílčí souč. spolehlivosti γ <sub>M</sub> )
		<input checked="" type="checkbox"/> Průřezy (součinitel pro J, I <sub>y</sub> , I <sub>z</sub> , A, A <sub>y</sub> , A <sub>z</sub> )
		<input checked="" type="checkbox"/> Pruty (faktor pro GJ, EI <sub>y</sub> , EI <sub>z</sub> , EA, GA <sub>y</sub> , GA <sub>z</sub> )
		<input checked="" type="checkbox"/> Analýza podle II. řádu (P-Delta)
KZ198	ZS1 + ZS2 + 0.7*ZS4 + 0.5*ZS8 + ZS10	<input checked="" type="checkbox"/> Picard
		<input checked="" type="checkbox"/> Zohlednit příznivé tahové účinky
		<input checked="" type="checkbox"/> Vztáhnout vnitřní síly na přetvořený systém pro:
		<input checked="" type="checkbox"/> Normálové síly N



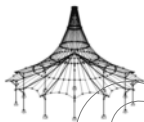
Projekt:

Model: Varianta B

Datum: 08.01.2019

## 2.5.2 KOMBINACE ZATÍŽENÍ - PARAMETRY VÝPOČTU

Kombin. zatížení	Označení	Parametry výpočtu
KZ199	ZS1 + ZS2 + 0.7*ZS5 + 0.5*ZS6 + ZS9	<input checked="" type="checkbox"/> Pruty (faktor pro GJ, EI <sub>y</sub> , EI <sub>z</sub> , EA, GA <sub>y</sub> , GA <sub>z</sub> )
		<input checked="" type="checkbox"/> Analýza podle II. řádu (P-Delta)
		<input checked="" type="checkbox"/> Picard
		<input checked="" type="checkbox"/> Zohlednit příznivé tahové účinky
KZ200	ZS1 + ZS2 + 0.7*ZS5 + 0.5*ZS6 + ZS10	<input checked="" type="checkbox"/> Vztáhnout vnitřní síly na přetvořený systém pro:
		<input checked="" type="checkbox"/> Normálové síly N
		<input checked="" type="checkbox"/> Smykové síly V <sub>y</sub> a V <sub>z</sub>
		<input checked="" type="checkbox"/> Momenty M <sub>y</sub> , M <sub>z</sub> a M <sub>T</sub>
KZ201	ZS1 + ZS2 + 0.7*ZS5 + 0.5*ZS7 + ZS9	<input checked="" type="checkbox"/> Aktivovat součinitele tuhosti:
		<input checked="" type="checkbox"/> Materiály (dílčí souč. spolehlivosti γ <sub>M</sub> )
		<input checked="" type="checkbox"/> Průřezy (součinitel pro J, I <sub>y</sub> , I <sub>z</sub> , A, A <sub>y</sub> , A <sub>z</sub> )
		<input checked="" type="checkbox"/> Pruty (faktor pro GJ, EI <sub>y</sub> , EI <sub>z</sub> , EA, GA <sub>y</sub> , GA <sub>z</sub> )
KZ202	ZS1 + ZS2 + 0.7*ZS5 + 0.5*ZS7 + ZS10	<input checked="" type="checkbox"/> Analýza podle II. řádu (P-Delta)
		<input checked="" type="checkbox"/> Picard
		<input checked="" type="checkbox"/> Zohlednit příznivé tahové účinky
		<input checked="" type="checkbox"/> Vztáhnout vnitřní síly na přetvořený systém pro:
KZ203	ZS1 + ZS2 + 0.7*ZS5 + 0.5*ZS8 + ZS9	<input checked="" type="checkbox"/> Normálové síly N
		<input checked="" type="checkbox"/> Smykové síly V <sub>y</sub> a V <sub>z</sub>
		<input checked="" type="checkbox"/> Momenty M <sub>y</sub> , M <sub>z</sub> a M <sub>T</sub>
		<input checked="" type="checkbox"/> Aktivovat součinitele tuhosti:
KZ204	ZS1 + ZS2 + 0.7*ZS5 + 0.5*ZS8 + ZS10	<input checked="" type="checkbox"/> Materiály (dílčí souč. spolehlivosti γ <sub>M</sub> )
		<input checked="" type="checkbox"/> Průřezy (součinitel pro J, I <sub>y</sub> , I <sub>z</sub> , A, A <sub>y</sub> , A <sub>z</sub> )
		<input checked="" type="checkbox"/> Pruty (faktor pro GJ, EI <sub>y</sub> , EI <sub>z</sub> , EA, GA <sub>y</sub> , GA <sub>z</sub> )
		<input checked="" type="checkbox"/> Analýza podle II. řádu (P-Delta)
KZ205	ZS1 + ZS2 + 0.5*ZS6 + ZS9	<input checked="" type="checkbox"/> Picard
		<input checked="" type="checkbox"/> Zohlednit příznivé tahové účinky
		<input checked="" type="checkbox"/> Vztáhnout vnitřní síly na přetvořený systém pro:
		<input checked="" type="checkbox"/> Normálové síly N



Projekt:

Model: Varianta B

Datum: 08.01.2019

## 2.5.2 KOMBINACE ZATÍŽENÍ - PARAMETRY VÝPOČTU

Kombin. zatížení	Označení	Parametry výpočtu
KZ206	ZS1 + ZS2 + 0.5*ZS6 + ZS10	<p>Způsob výpočtu : <input checked="" type="radio"/> Analýza podle II. řádu (P-Delta)</p> <p>Metoda pro řešení systému : <input checked="" type="radio"/> Picard</p> <p>nelineárních algebraických rovnic</p> <p>Možnosti : <input checked="" type="checkbox"/> Zohlednit příznivé tahové účinky</p> <p>: <input checked="" type="checkbox"/> Vztáhnout vnitřní síly na přetvořený systém pro:</p> <p><input checked="" type="checkbox"/> Normálové síly <math>N</math></p> <p><input checked="" type="checkbox"/> Smykové síly <math>V_y</math> a <math>V_z</math></p> <p><input checked="" type="checkbox"/> Momenty <math>M_y</math>, <math>M_z</math> a <math>M_T</math></p> <p>Aktivovat součinitele tuhosti: : <input checked="" type="checkbox"/> Materiály (dílčí souč. spolehlivosti <math>\gamma_M</math>)</p> <p>: <input checked="" type="checkbox"/> Průřezy (součinitel pro <math>J</math>, <math>I_y</math>, <math>I_z</math>, <math>A</math>, <math>A_y</math>, <math>A_z</math>)</p> <p>: <input checked="" type="checkbox"/> Pruty (faktor pro <math>GJ</math>, <math>EI_y</math>, <math>EI_z</math>, <math>EA</math>, <math>GA_y</math>, <math>GA_z</math>)</p>
KZ207	ZS1 + ZS2 + 0.5*ZS7 + ZS9	<p>Způsob výpočtu : <input checked="" type="radio"/> Analýza podle II. řádu (P-Delta)</p> <p>Metoda pro řešení systému : <input checked="" type="radio"/> Picard</p> <p>nelineárních algebraických rovnic</p> <p>Možnosti : <input checked="" type="checkbox"/> Zohlednit příznivé tahové účinky</p> <p>: <input checked="" type="checkbox"/> Vztáhnout vnitřní síly na přetvořený systém pro:</p> <p><input checked="" type="checkbox"/> Normálové síly <math>N</math></p> <p><input checked="" type="checkbox"/> Smykové síly <math>V_y</math> a <math>V_z</math></p> <p><input checked="" type="checkbox"/> Momenty <math>M_y</math>, <math>M_z</math> a <math>M_T</math></p> <p>Aktivovat součinitele tuhosti: : <input checked="" type="checkbox"/> Materiály (dílčí souč. spolehlivosti <math>\gamma_M</math>)</p> <p>: <input checked="" type="checkbox"/> Průřezy (součinitel pro <math>J</math>, <math>I_y</math>, <math>I_z</math>, <math>A</math>, <math>A_y</math>, <math>A_z</math>)</p> <p>: <input checked="" type="checkbox"/> Pruty (faktor pro <math>GJ</math>, <math>EI_y</math>, <math>EI_z</math>, <math>EA</math>, <math>GA_y</math>, <math>GA_z</math>)</p>
KZ208	ZS1 + ZS2 + 0.5*ZS7 + ZS10	<p>Způsob výpočtu : <input checked="" type="radio"/> Analýza podle II. řádu (P-Delta)</p> <p>Metoda pro řešení systému : <input checked="" type="radio"/> Picard</p> <p>nelineárních algebraických rovnic</p> <p>Možnosti : <input checked="" type="checkbox"/> Zohlednit příznivé tahové účinky</p> <p>: <input checked="" type="checkbox"/> Vztáhnout vnitřní síly na přetvořený systém pro:</p> <p><input checked="" type="checkbox"/> Normálové síly <math>N</math></p> <p><input checked="" type="checkbox"/> Smykové síly <math>V_y</math> a <math>V_z</math></p> <p><input checked="" type="checkbox"/> Momenty <math>M_y</math>, <math>M_z</math> a <math>M_T</math></p> <p>Aktivovat součinitele tuhosti: : <input checked="" type="checkbox"/> Materiály (dílčí souč. spolehlivosti <math>\gamma_M</math>)</p> <p>: <input checked="" type="checkbox"/> Průřezy (součinitel pro <math>J</math>, <math>I_y</math>, <math>I_z</math>, <math>A</math>, <math>A_y</math>, <math>A_z</math>)</p> <p>: <input checked="" type="checkbox"/> Pruty (faktor pro <math>GJ</math>, <math>EI_y</math>, <math>EI_z</math>, <math>EA</math>, <math>GA_y</math>, <math>GA_z</math>)</p>
KZ209	ZS1 + ZS2 + 0.5*ZS8 + ZS9	<p>Způsob výpočtu : <input checked="" type="radio"/> Analýza podle II. řádu (P-Delta)</p> <p>Metoda pro řešení systému : <input checked="" type="radio"/> Picard</p> <p>nelineárních algebraických rovnic</p> <p>Možnosti : <input checked="" type="checkbox"/> Zohlednit příznivé tahové účinky</p> <p>: <input checked="" type="checkbox"/> Vztáhnout vnitřní síly na přetvořený systém pro:</p> <p><input checked="" type="checkbox"/> Normálové síly <math>N</math></p> <p><input checked="" type="checkbox"/> Smykové síly <math>V_y</math> a <math>V_z</math></p> <p><input checked="" type="checkbox"/> Momenty <math>M_y</math>, <math>M_z</math> a <math>M_T</math></p> <p>Aktivovat součinitele tuhosti: : <input checked="" type="checkbox"/> Materiály (dílčí souč. spolehlivosti <math>\gamma_M</math>)</p> <p>: <input checked="" type="checkbox"/> Průřezy (součinitel pro <math>J</math>, <math>I_y</math>, <math>I_z</math>, <math>A</math>, <math>A_y</math>, <math>A_z</math>)</p> <p>: <input checked="" type="checkbox"/> Pruty (faktor pro <math>GJ</math>, <math>EI_y</math>, <math>EI_z</math>, <math>EA</math>, <math>GA_y</math>, <math>GA_z</math>)</p>
KZ210	ZS1 + ZS2 + 0.5*ZS8 + ZS10	<p>Způsob výpočtu : <input checked="" type="radio"/> Analýza podle II. řádu (P-Delta)</p> <p>Metoda pro řešení systému : <input checked="" type="radio"/> Picard</p> <p>nelineárních algebraických rovnic</p> <p>Možnosti : <input checked="" type="checkbox"/> Zohlednit příznivé tahové účinky</p> <p>: <input checked="" type="checkbox"/> Vztáhnout vnitřní síly na přetvořený systém pro:</p> <p><input checked="" type="checkbox"/> Normálové síly <math>N</math></p> <p><input checked="" type="checkbox"/> Smykové síly <math>V_y</math> a <math>V_z</math></p> <p><input checked="" type="checkbox"/> Momenty <math>M_y</math>, <math>M_z</math> a <math>M_T</math></p> <p>Aktivovat součinitele tuhosti: : <input checked="" type="checkbox"/> Materiály (dílčí souč. spolehlivosti <math>\gamma_M</math>)</p> <p>: <input checked="" type="checkbox"/> Průřezy (součinitel pro <math>J</math>, <math>I_y</math>, <math>I_z</math>, <math>A</math>, <math>A_y</math>, <math>A_z</math>)</p> <p>: <input checked="" type="checkbox"/> Pruty (faktor pro <math>GJ</math>, <math>EI_y</math>, <math>EI_z</math>, <math>EA</math>, <math>GA_y</math>, <math>GA_z</math>)</p>

Projekt:

Model: Varianta B

Datum: 08.01.2019

RF-STEEL EC3  
PŘ1  
Sloup

## 1.2 MATERIÁLY

Materiál - č.	Označení materiálu	Modul pruž. E [MPa]	Smykový modul G [MPa]	Poissonův součinitel $\nu$ [-]	Mez kluzu $f_y$ [MPa]	Max. tloušťka dílce t [mm]
1	Ocel S 355   DIN EN 1993-1-1:2010-12	210000.000	80769.200	0.300	355.000	40.0
	Baustahl S 235				335.000	80.0
					315.000	100.0
					295.000	150.0
					285.000	200.0
					275.000	250.0

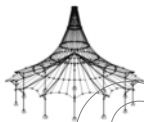
## 1.3 PRŮŘEZY

Průř. č.	Materiál - č.	Označení průřezu	Typ průřezu	Max. návrhové využití	Komentář
1	1	RO 219.1x8 (za studena)	Trubka	0.88	0

## 2.1 POSOUZENÍ PO ZATĚŽOVACÍCH STAVECH

ZS/KZ/KV	Označení ZS nebo KZ/KV	Prut č.	Místo x [m]	Návrh	Návrh č.	Označení
<b>Posouzení mezního stavu únosnosti</b>						
ZS1	Vlastní tíha	177	0.000	0.01	≤ 1	CS102) TD
ZS2	Ostatní stálé	192	0.000	0.00	≤ 1	CS100) TD
ZS3	Užitné plně	182	0.000	0.01	≤ 1	CS102) TD
ZS4	Užitné poloviční1	192	4.031	0.01	≤ 1	CS181) TD
ZS5	Užitné poloviční2	161	0.000	0.00	≤ 1	CS102) TD
ZS6	Sníh plný	176	0.000	0.00	≤ 1	CS100) TD
ZS7	Sníh poloviční 1	199	0.000	0.00	≤ 1	CS100) TD
ZS8	Sníh poloviční 2	183	0.000	0.00	≤ 1	CS100) TD
ZS9	Vítr ve směru X + tlak na přístřešek	194	0.000	0.46	≤ 1	ST364) TD
ZS10	Vítr ve směru X + sání na přístřešek	194	0.000	0.43	≤ 1	ST364) TD
KZ1	1.35*ZS1 + 1.35*ZS2	185	0.000	0.14	≤ 1	ST302) TD
KZ2	1.35*ZS1 + 1.35*ZS2 + 1.5*ZS3	185	0.000	0.22	≤ 1	ST302) TD
KZ3	1.35*ZS1 + 1.35*ZS2 + 1.5*ZS4	185	0.000	0.21	≤ 1	ST302) TD
KZ4	1.35*ZS1 + 1.35*ZS2 + 1.5*ZS5	163	0.000	0.17	≤ 1	ST302) TD
KZ5	1.35*ZS1 + 1.35*ZS2 + 1.5*ZS3 + 0.75*ZS6	185	0.000	0.23	≤ 1	ST302) TD
KZ6	1.35*ZS1 + 1.35*ZS2 + 1.5*ZS3 + 0.75*ZS7	185	0.000	0.22	≤ 1	ST302) TD
KZ7	1.35*ZS1 + 1.35*ZS2 + 1.5*ZS3 + 0.75*ZS8	185	0.000	0.23	≤ 1	ST302) TD
KZ8	1.35*ZS1 + 1.35*ZS2 + 1.5*ZS4 + 0.75*ZS6	185	0.000	0.22	≤ 1	ST302) TD
KZ9	1.35*ZS1 + 1.35*ZS2 + 1.5*ZS4 + 0.75*ZS7	185	0.000	0.22	≤ 1	ST302) TD
KZ10	1.35*ZS1 + 1.35*ZS2 + 1.5*ZS4 + 0.75*ZS8	185	0.000	0.22	≤ 1	ST302) TD
KZ11	1.35*ZS1 + 1.35*ZS2 + 1.5*ZS5 + 0.75*ZS6	163	0.000	0.17	≤ 1	ST302) TD
KZ12	1.35*ZS1 + 1.35*ZS2 + 1.5*ZS5 + 0.75*ZS7	163	0.000	0.17	≤ 1	ST302) TD
KZ13	1.35*ZS1 + 1.35*ZS2 + 1.5*ZS5 + 0.75*ZS8	163	0.000	0.17	≤ 1	ST302) TD
KZ14	1.35*ZS1 + 1.35*ZS2 + 1.5*ZS3 + 0.75*ZS6 + 0.9*ZS9	194	0.000	0.62	≤ 1	ST364) TD
KZ15	1.35*ZS1 + 1.35*ZS2 + 1.5*ZS3 + 0.75*ZS6 + 0.9*ZS10	194	0.000	0.59	≤ 1	ST364) TD
KZ16	1.35*ZS1 + 1.35*ZS2 + 1.5*ZS3 + 0.75*ZS7 + 0.9*ZS9	194	0.000	0.62	≤ 1	ST364) TD
KZ17	1.35*ZS1 + 1.35*ZS2 + 1.5*ZS3 + 0.75*ZS7 + 0.9*ZS10	194	0.000	0.59	≤ 1	ST364) TD
KZ18	1.35*ZS1 + 1.35*ZS2 + 1.5*ZS3 + 0.75*ZS8 + 0.9*ZS9	194	0.000	0.61	≤ 1	ST364) TD
KZ19	1.35*ZS1 + 1.35*ZS2 + 1.5*ZS3 + 0.75*ZS8 + 0.9*ZS10	194	0.000	0.58	≤ 1	ST364) TD
KZ20	1.35*ZS1 + 1.35*ZS2 + 1.5*ZS4 + 0.75*ZS6 + 0.9*ZS9	194	0.000	0.59	≤ 1	ST364) TD
KZ21	1.35*ZS1 + 1.35*ZS2 + 1.5*ZS4 + 0.75*ZS6 + 0.9*ZS10	194	0.000	0.56	≤ 1	ST364) TD
KZ22	1.35*ZS1 + 1.35*ZS2 + 1.5*ZS4 + 0.75*ZS7 + 0.9*ZS9	194	0.000	0.59	≤ 1	ST364) TD
KZ23	1.35*ZS1 + 1.35*ZS2 + 1.5*ZS4 + 0.75*ZS7 + 0.9*ZS10	194	0.000	0.56	≤ 1	ST364) TD
KZ24	1.35*ZS1 + 1.35*ZS2 + 1.5*ZS4 + 0.75*ZS8 + 0.9*ZS9	194	0.000	0.59	≤ 1	ST364) TD
KZ25	1.35*ZS1 + 1.35*ZS2 + 1.5*ZS4 + 0.75*ZS8 + 0.9*ZS10	194	0.000	0.56	≤ 1	ST364) TD
KZ26	1.35*ZS1 + 1.35*ZS2 + 1.5*ZS5 + 0.75*ZS6 + 0.9*ZS9	194	0.000	0.57	≤ 1	ST364) TD
KZ27	1.35*ZS1 + 1.35*ZS2 + 1.5*ZS5 + 0.75*ZS6 + 0.9*ZS10	194	0.000	0.54	≤ 1	ST364) TD
KZ28	1.35*ZS1 + 1.35*ZS2 + 1.5*ZS5 + 0.75*ZS7 + 0.9*ZS9	194	0.000	0.57	≤ 1	ST364) TD
KZ29	1.35*ZS1 + 1.35*ZS2 + 1.5*ZS5 + 0.75*ZS7 + 0.9*ZS10	194	0.000	0.54	≤ 1	ST364) TD
KZ30	1.35*ZS1 + 1.35*ZS2 + 1.5*ZS5 + 0.75*ZS8 + 0.9*ZS9	194	0.000	0.57	≤ 1	ST364) TD
KZ31	1.35*ZS1 + 1.35*ZS2 + 1.5*ZS5 + 0.75*ZS8 + 0.9*ZS10	194	0.000	0.54	≤ 1	ST364) TD
KZ32	1.35*ZS1 + 1.35*ZS2 + 1.5*ZS3 + 0.9*ZS9	194	0.000	0.61	≤ 1	ST364) TD
KZ33	1.35*ZS1 + 1.35*ZS2 + 1.5*ZS3 + 0.9*ZS10	194	0.000	0.58	≤ 1	ST364) TD
KZ34	1.35*ZS1 + 1.35*ZS2 + 1.5*ZS4 + 0.9*ZS9	194	0.000	0.58	≤ 1	ST364) TD
KZ35	1.35*ZS1 + 1.35*ZS2 + 1.5*ZS4 + 0.9*ZS10	194	0.000	0.56	≤ 1	ST364) TD
KZ36	1.35*ZS1 + 1.35*ZS2 + 1.5*ZS5 + 0.9*ZS9	194	0.000	0.57	≤ 1	ST364) TD
KZ37	1.35*ZS1 + 1.35*ZS2 + 1.5*ZS5 + 0.9*ZS10	194	0.000	0.54	≤ 1	ST364) TD
KZ38	1.35*ZS1 + 1.35*ZS2 + 1.5*ZS6	185	0.000	0.15	≤ 1	ST302) TD
KZ39	1.35*ZS1 + 1.35*ZS2 + 1.5*ZS7	185	0.000	0.15	≤ 1	ST302) TD
KZ40	1.35*ZS1 + 1.35*ZS2 + 1.5*ZS8	185	0.000	0.15	≤ 1	ST302) TD
KZ41	1.35*ZS1 + 1.35*ZS2 + 1.05*ZS3 + 1.5*ZS6	185	0.000	0.21	≤ 1	ST302) TD
KZ42	1.35*ZS1 + 1.35*ZS2 + 1.05*ZS3 + 1.5*ZS7	185	0.000	0.20	≤ 1	ST302) TD





Projekt:

Model: Varianta B

Datum: 08.01.2019

## 2.1 POSOUZENÍ PO ZATĚŽOVACÍCH STAVECH

ZS/KZ/ KV	Označení ZS nebo KZ/KV	Přut č.	Místo x [m]	Návrh		Návrh č.	Označení
KZ43	1.35*ZS1 + 1.35*ZS2 + 1.05*ZS3 + 1.5*ZS8	185	0.000	0.21	≤ 1	ST302)	TD
KZ44	1.35*ZS1 + 1.35*ZS2 + 1.05*ZS4 + 1.5*ZS6	185	0.000	0.21	≤ 1	ST302)	TD
KZ45	1.35*ZS1 + 1.35*ZS2 + 1.05*ZS4 + 1.5*ZS7	185	0.000	0.20	≤ 1	ST302)	TD
KZ46	1.35*ZS1 + 1.35*ZS2 + 1.05*ZS4 + 1.5*ZS8	185	0.000	0.20	≤ 1	ST302)	TD
KZ47	1.35*ZS1 + 1.35*ZS2 + 1.05*ZS5 + 1.5*ZS6	163	0.000	0.16	≤ 1	ST302)	TD
KZ48	1.35*ZS1 + 1.35*ZS2 + 1.05*ZS5 + 1.5*ZS7	163	0.000	0.16	≤ 1	ST302)	TD
KZ49	1.35*ZS1 + 1.35*ZS2 + 1.05*ZS5 + 1.5*ZS8	163	0.000	0.16	≤ 1	ST302)	TD
KZ50	1.35*ZS1 + 1.35*ZS2 + 1.05*ZS3 + 1.5*ZS6 + 0.9*ZS9	194	0.000	0.60	≤ 1	ST364)	TD
KZ51	1.35*ZS1 + 1.35*ZS2 + 1.05*ZS3 + 1.5*ZS6 + 0.9*ZS10	194	0.000	0.58	≤ 1	ST364)	TD
KZ52	1.35*ZS1 + 1.35*ZS2 + 1.05*ZS3 + 1.5*ZS7 + 0.9*ZS9	194	0.000	0.60	≤ 1	ST364)	TD
KZ53	1.35*ZS1 + 1.35*ZS2 + 1.05*ZS3 + 1.5*ZS7 + 0.9*ZS10	194	0.000	0.58	≤ 1	ST364)	TD
KZ54	1.35*ZS1 + 1.35*ZS2 + 1.05*ZS3 + 1.5*ZS8 + 0.9*ZS9	194	0.000	0.60	≤ 1	ST364)	TD
KZ55	1.35*ZS1 + 1.35*ZS2 + 1.05*ZS3 + 1.5*ZS8 + 0.9*ZS10	194	0.000	0.57	≤ 1	ST364)	TD
KZ56	1.35*ZS1 + 1.35*ZS2 + 1.05*ZS4 + 1.5*ZS6 + 0.9*ZS9	194	0.000	0.59	≤ 1	ST364)	TD
KZ57	1.35*ZS1 + 1.35*ZS2 + 1.05*ZS4 + 1.5*ZS6 + 0.9*ZS10	194	0.000	0.56	≤ 1	ST364)	TD
KZ58	1.35*ZS1 + 1.35*ZS2 + 1.05*ZS4 + 1.5*ZS7 + 0.9*ZS9	194	0.000	0.59	≤ 1	ST364)	TD
KZ59	1.35*ZS1 + 1.35*ZS2 + 1.05*ZS4 + 1.5*ZS7 + 0.9*ZS10	194	0.000	0.56	≤ 1	ST364)	TD
KZ60	1.35*ZS1 + 1.35*ZS2 + 1.05*ZS4 + 1.5*ZS8 + 0.9*ZS9	194	0.000	0.58	≤ 1	ST364)	TD
KZ61	1.35*ZS1 + 1.35*ZS2 + 1.05*ZS4 + 1.5*ZS8 + 0.9*ZS10	194	0.000	0.55	≤ 1	ST364)	TD
KZ62	1.35*ZS1 + 1.35*ZS2 + 1.05*ZS5 + 1.5*ZS6 + 0.9*ZS9	194	0.000	0.57	≤ 1	ST364)	TD
KZ63	1.35*ZS1 + 1.35*ZS2 + 1.05*ZS5 + 1.5*ZS6 + 0.9*ZS10	194	0.000	0.54	≤ 1	ST364)	TD
KZ64	1.35*ZS1 + 1.35*ZS2 + 1.05*ZS5 + 1.5*ZS7 + 0.9*ZS9	194	0.000	0.57	≤ 1	ST364)	TD
KZ65	1.35*ZS1 + 1.35*ZS2 + 1.05*ZS5 + 1.5*ZS7 + 0.9*ZS10	194	0.000	0.54	≤ 1	ST364)	TD
KZ66	1.35*ZS1 + 1.35*ZS2 + 1.05*ZS5 + 1.5*ZS8 + 0.9*ZS9	194	0.000	0.57	≤ 1	ST364)	TD
KZ67	1.35*ZS1 + 1.35*ZS2 + 1.05*ZS5 + 1.5*ZS8 + 0.9*ZS10	194	0.000	0.54	≤ 1	ST364)	TD
KZ68	1.35*ZS1 + 1.35*ZS2 + 1.5*ZS6 + 0.9*ZS9	194	0.000	0.55	≤ 1	ST364)	TD
KZ69	1.35*ZS1 + 1.35*ZS2 + 1.5*ZS6 + 0.9*ZS10	194	0.000	0.52	≤ 1	ST364)	TD
KZ70	1.35*ZS1 + 1.35*ZS2 + 1.5*ZS7 + 0.9*ZS9	194	0.000	0.55	≤ 1	ST364)	TD
KZ71	1.35*ZS1 + 1.35*ZS2 + 1.5*ZS7 + 0.9*ZS10	194	0.000	0.52	≤ 1	ST364)	TD
KZ72	1.35*ZS1 + 1.35*ZS2 + 1.5*ZS8 + 0.9*ZS9	194	0.000	0.55	≤ 1	ST364)	TD
KZ73	1.35*ZS1 + 1.35*ZS2 + 1.5*ZS8 + 0.9*ZS10	194	0.000	0.52	≤ 1	ST364)	TD
KZ74	1.35*ZS1 + 1.35*ZS2 + 1.5*ZS9	194	0.000	0.82	≤ 1	ST364)	TD
KZ75	1.35*ZS1 + 1.35*ZS2 + 1.5*ZS10	194	0.000	0.77	≤ 1	ST364)	TD
KZ76	1.35*ZS1 + 1.35*ZS2 + 1.05*ZS3 + 1.5*ZS9	194	0.000	0.87	≤ 1	ST364)	TD
KZ77	1.35*ZS1 + 1.35*ZS2 + 1.05*ZS3 + 1.5*ZS10	194	0.000	0.82	≤ 1	ST364)	TD
KZ78	1.35*ZS1 + 1.35*ZS2 + 1.05*ZS4 + 1.5*ZS9	194	0.000	0.85	≤ 1	ST364)	TD
KZ79	1.35*ZS1 + 1.35*ZS2 + 1.05*ZS4 + 1.5*ZS10	194	0.000	0.80	≤ 1	ST364)	TD
KZ80	1.35*ZS1 + 1.35*ZS2 + 1.05*ZS5 + 1.5*ZS9	194	0.000	0.84	≤ 1	ST364)	TD
KZ81	1.35*ZS1 + 1.35*ZS2 + 1.05*ZS5 + 1.5*ZS10	194	0.000	0.79	≤ 1	ST364)	TD
KZ82	1.35*ZS1 + 1.35*ZS2 + 1.05*ZS3 + 0.75*ZS6 + 1.5*ZS9	194	0.000	0.88	≤ 1	ST364)	TD
KZ83	1.35*ZS1 + 1.35*ZS2 + 1.05*ZS3 + 0.75*ZS6 + 1.5*ZS10	194	0.000	0.83	≤ 1	ST364)	TD
KZ84	1.35*ZS1 + 1.35*ZS2 + 1.05*ZS3 + 0.75*ZS7 + 1.5*ZS9	194	0.000	0.88	≤ 1	ST364)	TD
KZ85	1.35*ZS1 + 1.35*ZS2 + 1.05*ZS3 + 0.75*ZS7 + 1.5*ZS10	194	0.000	0.83	≤ 1	ST364)	TD
KZ86	1.35*ZS1 + 1.35*ZS2 + 1.05*ZS3 + 0.75*ZS8 + 1.5*ZS9	194	0.000	0.87	≤ 1	ST364)	TD
KZ87	1.35*ZS1 + 1.35*ZS2 + 1.05*ZS3 + 0.75*ZS8 + 1.5*ZS10	194	0.000	0.82	≤ 1	ST364)	TD
KZ88	1.35*ZS1 + 1.35*ZS2 + 1.05*ZS4 + 0.75*ZS6 + 1.5*ZS9	194	0.000	0.86	≤ 1	ST364)	TD
KZ89	1.35*ZS1 + 1.35*ZS2 + 1.05*ZS4 + 0.75*ZS6 + 1.5*ZS10	194	0.000	0.81	≤ 1	ST364)	TD
KZ90	1.35*ZS1 + 1.35*ZS2 + 1.05*ZS4 + 0.75*ZS7 + 1.5*ZS9	194	0.000	0.86	≤ 1	ST364)	TD
KZ91	1.35*ZS1 + 1.35*ZS2 + 1.05*ZS4 + 0.75*ZS7 + 1.5*ZS10	194	0.000	0.81	≤ 1	ST364)	TD
KZ92	1.35*ZS1 + 1.35*ZS2 + 1.05*ZS4 + 0.75*ZS8 + 1.5*ZS9	194	0.000	0.85	≤ 1	ST364)	TD
KZ93	1.35*ZS1 + 1.35*ZS2 + 1.05*ZS4 + 0.75*ZS8 + 1.5*ZS10	194	0.000	0.80	≤ 1	ST364)	TD
KZ94	1.35*ZS1 + 1.35*ZS2 + 1.05*ZS5 + 0.75*ZS6 + 1.5*ZS9	194	0.000	0.85	≤ 1	ST364)	TD
KZ95	1.35*ZS1 + 1.35*ZS2 + 1.05*ZS5 + 0.75*ZS6 + 1.5*ZS10	194	0.000	0.80	≤ 1	ST364)	TD
KZ96	1.35*ZS1 + 1.35*ZS2 + 1.05*ZS5 + 0.75*ZS7 + 1.5*ZS9	194	0.000	0.85	≤ 1	ST364)	TD
KZ97	1.35*ZS1 + 1.35*ZS2 + 1.05*ZS5 + 0.75*ZS7 + 1.5*ZS10	194	0.000	0.80	≤ 1	ST364)	TD
KZ98	1.35*ZS1 + 1.35*ZS2 + 1.05*ZS5 + 0.75*ZS8 + 1.5*ZS9	194	0.000	0.84	≤ 1	ST364)	TD
KZ99	1.35*ZS1 + 1.35*ZS2 + 1.05*ZS5 + 0.75*ZS8 + 1.5*ZS10	194	0.000	0.79	≤ 1	ST364)	TD
KZ100	1.35*ZS1 + 1.35*ZS2 + 0.75*ZS6 + 1.5*ZS9	194	0.000	0.82	≤ 1	ST364)	TD



Projekt:

Model: Varianta B

Datum:

08.01.2019

## 2.1 POSOUZENÍ PO ZATĚŽOVACÍCH STAVECH

ZS/KZ/ KV	Označení ZS nebo KZ/KV	Pрут č.	Místo x [m]	Návrh		Návrh č.	Označení
KZ101	1.35*ZS1 + 1.35*ZS2 + 0.75*ZS6 + 1.5*ZS10	194	0.000	0.77	≤ 1	ST364)	TD
KZ102	1.35*ZS1 + 1.35*ZS2 + 0.75*ZS7 + 1.5*ZS9	194	0.000	0.82	≤ 1	ST364)	TD
KZ103	1.35*ZS1 + 1.35*ZS2 + 0.75*ZS7 + 1.5*ZS10	194	0.000	0.77	≤ 1	ST364)	TD
KZ104	1.35*ZS1 + 1.35*ZS2 + 0.75*ZS8 + 1.5*ZS9	194	0.000	0.82	≤ 1	ST364)	TD
KZ105	1.35*ZS1 + 1.35*ZS2 + 0.75*ZS8 + 1.5*ZS10	194	0.000	0.77	≤ 1	ST364)	TD
KV1	MSU (STR/GEO) - stálá / přechodná - rovn. 6,10	194	0.000	0.88	≤ 1	ST364)	TD
Posouzení mezního stavu použitelnosti							
KZ106	ZS1 + ZS2	917	3.000	0.00	≤ 1	SE401)	PC
KZ107	ZS1 + ZS2 + ZS3	915	3.000	0.01	≤ 1	SE401)	PC
KZ108	ZS1 + ZS2 + ZS4	915	3.000	0.02	≤ 1	SE401)	PC
KZ109	ZS1 + ZS2 + ZS5	909	3.000	0.01	≤ 1	SE401)	PC
KZ110	ZS1 + ZS2 + ZS3 + 0.5*ZS6	915	3.000	0.01	≤ 1	SE401)	PC
KZ111	ZS1 + ZS2 + ZS3 + 0.5*ZS7	915	3.000	0.01	≤ 1	SE401)	PC
KZ112	ZS1 + ZS2 + ZS3 + 0.5*ZS8	915	3.000	0.01	≤ 1	SE401)	PC
KZ113	ZS1 + ZS2 + ZS4 + 0.5*ZS6	915	3.000	0.02	≤ 1	SE401)	PC
KZ114	ZS1 + ZS2 + ZS4 + 0.5*ZS7	915	3.000	0.02	≤ 1	SE401)	PC
KZ115	ZS1 + ZS2 + ZS4 + 0.5*ZS8	915	3.000	0.02	≤ 1	SE401)	PC
KZ116	ZS1 + ZS2 + ZS5 + 0.5*ZS6	909	3.000	0.01	≤ 1	SE401)	PC
KZ117	ZS1 + ZS2 + ZS5 + 0.5*ZS7	909	3.000	0.01	≤ 1	SE401)	PC
KZ118	ZS1 + ZS2 + ZS5 + 0.5*ZS8	909	3.000	0.01	≤ 1	SE401)	PC
KZ119	ZS1 + ZS2 + ZS3 + 0.5*ZS6 + 0.6*ZS9	915	3.000	0.11	≤ 1	SE406)	PC
KZ120	ZS1 + ZS2 + ZS3 + 0.5*ZS6 + 0.6*ZS10	915	3.000	0.11	≤ 1	SE406)	PC
KZ121	ZS1 + ZS2 + ZS3 + 0.5*ZS7 + 0.6*ZS9	915	3.000	0.11	≤ 1	SE406)	PC
KZ122	ZS1 + ZS2 + ZS3 + 0.5*ZS7 + 0.6*ZS10	915	3.000	0.11	≤ 1	SE406)	PC
KZ123	ZS1 + ZS2 + ZS3 + 0.5*ZS8 + 0.6*ZS9	915	3.000	0.11	≤ 1	SE406)	PC
KZ124	ZS1 + ZS2 + ZS3 + 0.5*ZS8 + 0.6*ZS10	915	3.000	0.11	≤ 1	SE406)	PC
KZ125	ZS1 + ZS2 + ZS4 + 0.5*ZS6 + 0.6*ZS9	915	3.000	0.11	≤ 1	SE406)	PC
KZ126	ZS1 + ZS2 + ZS4 + 0.5*ZS6 + 0.6*ZS10	915	3.000	0.10	≤ 1	SE406)	PC
KZ127	ZS1 + ZS2 + ZS4 + 0.5*ZS7 + 0.6*ZS9	915	3.000	0.11	≤ 1	SE406)	PC
KZ128	ZS1 + ZS2 + ZS4 + 0.5*ZS7 + 0.6*ZS10	915	3.000	0.10	≤ 1	SE406)	PC
KZ129	ZS1 + ZS2 + ZS4 + 0.5*ZS8 + 0.6*ZS9	915	3.000	0.10	≤ 1	SE406)	PC
KZ130	ZS1 + ZS2 + ZS4 + 0.5*ZS8 + 0.6*ZS10	915	3.000	0.10	≤ 1	SE406)	PC
KZ131	ZS1 + ZS2 + ZS5 + 0.5*ZS6 + 0.6*ZS9	915	3.000	0.11	≤ 1	SE406)	PC
KZ132	ZS1 + ZS2 + ZS5 + 0.5*ZS6 + 0.6*ZS10	915	3.000	0.11	≤ 1	SE406)	PC
KZ133	ZS1 + ZS2 + ZS5 + 0.5*ZS7 + 0.6*ZS9	915	3.000	0.11	≤ 1	SE406)	PC
KZ134	ZS1 + ZS2 + ZS5 + 0.5*ZS7 + 0.6*ZS10	915	3.000	0.11	≤ 1	SE406)	PC
KZ135	ZS1 + ZS2 + ZS5 + 0.5*ZS8 + 0.6*ZS9	915	3.000	0.11	≤ 1	SE406)	PC
KZ136	ZS1 + ZS2 + ZS5 + 0.5*ZS8 + 0.6*ZS10	915	3.000	0.11	≤ 1	SE406)	PC
KZ137	ZS1 + ZS2 + ZS3 + 0.6*ZS9	915	3.000	0.11	≤ 1	SE406)	PC
KZ138	ZS1 + ZS2 + ZS3 + 0.6*ZS10	915	3.000	0.11	≤ 1	SE406)	PC
KZ139	ZS1 + ZS2 + ZS4 + 0.6*ZS9	915	3.000	0.11	≤ 1	SE406)	PC
KZ140	ZS1 + ZS2 + ZS4 + 0.6*ZS10	915	3.000	0.10	≤ 1	SE406)	PC
KZ141	ZS1 + ZS2 + ZS5 + 0.6*ZS9	915	3.000	0.11	≤ 1	SE406)	PC
KZ142	ZS1 + ZS2 + ZS5 + 0.6*ZS10	915	3.000	0.11	≤ 1	SE406)	PC
KZ143	ZS1 + ZS2 + ZS6	917	3.000	0.00	≤ 1	SE401)	PC
KZ144	ZS1 + ZS2 + ZS7	917	3.000	0.00	≤ 1	SE401)	PC
KZ145	ZS1 + ZS2 + ZS8	913	3.000	0.00	≤ 1	SE401)	PC
KZ146	ZS1 + ZS2 + 0.7*ZS3 + ZS6	915	3.000	0.01	≤ 1	SE401)	PC
KZ147	ZS1 + ZS2 + 0.7*ZS3 + ZS7	915	3.000	0.01	≤ 1	SE401)	PC
KZ148	ZS1 + ZS2 + 0.7*ZS3 + ZS8	915	3.000	0.01	≤ 1	SE401)	PC
KZ149	ZS1 + ZS2 + 0.7*ZS4 + ZS6	915	3.000	0.01	≤ 1	SE401)	PC
KZ150	ZS1 + ZS2 + 0.7*ZS4 + ZS7	915	3.000	0.01	≤ 1	SE401)	PC
KZ151	ZS1 + ZS2 + 0.7*ZS4 + ZS8	915	3.000	0.01	≤ 1	SE401)	PC
KZ152	ZS1 + ZS2 + 0.7*ZS5 + ZS6	909	3.000	0.01	≤ 1	SE401)	PC
KZ153	ZS1 + ZS2 + 0.7*ZS5 + ZS7	909	3.000	0.01	≤ 1	SE401)	PC
KZ154	ZS1 + ZS2 + 0.7*ZS5 + ZS8	909	3.000	0.01	≤ 1	SE401)	PC
KZ155	ZS1 + ZS2 + 0.7*ZS3 + ZS6 + 0.6*ZS9	915	3.000	0.11	≤ 1	SE406)	PC
KZ156	ZS1 + ZS2 + 0.7*ZS3 + ZS6 + 0.6*ZS10	915	3.000	0.11	≤ 1	SE406)	PC
KZ157	ZS1 + ZS2 + 0.7*ZS3 + ZS7 + 0.6*ZS9	915	3.000	0.11	≤ 1	SE406)	PC
KZ158	ZS1 + ZS2 + 0.7*ZS3 + ZS7 + 0.6*ZS10	915	3.000	0.11	≤ 1	SE406)	PC
KZ159	ZS1 + ZS2 + 0.7*ZS3 + ZS8 + 0.6*ZS9	915	3.000	0.11	≤ 1	SE406)	PC
KZ160	ZS1 + ZS2 + 0.7*ZS3 + ZS8 + 0.6*ZS10	915	3.000	0.10	≤ 1	SE406)	PC
KZ161	ZS1 + ZS2 + 0.7*ZS4 + ZS6 + 0.6*ZS9	915	3.000	0.11	≤ 1	SE406)	PC
KZ162	ZS1 + ZS2 + 0.7*ZS4 + ZS6 + 0.6*ZS10	915	3.000	0.10	≤ 1	SE406)	PC
KZ163	ZS1 + ZS2 + 0.7*ZS4 + ZS7 + 0.6*ZS9	915	3.000	0.11	≤ 1	SE406)	PC
KZ164	ZS1 + ZS2 + 0.7*ZS4 + ZS7 + 0.6*ZS10	915	3.000	0.11	≤ 1	SE406)	PC
KZ165	ZS1 + ZS2 + 0.7*ZS4 + ZS8 + 0.6*ZS9	915	3.000	0.10	≤ 1	SE406)	PC
KZ166	ZS1 + ZS2 + 0.7*ZS4 + ZS8 + 0.6*ZS10	915	3.000	0.10	≤ 1	SE406)	PC
KZ167	ZS1 + ZS2 + 0.7*ZS5 + ZS6 + 0.6*ZS9	915	3.000	0.11	≤ 1	SE406)	PC
KZ168	ZS1 + ZS2 + 0.7*ZS5 + ZS6 + 0.6*ZS10	915	3.000	0.11	≤ 1	SE406)	PC
KZ169	ZS1 + ZS2 + 0.7*ZS5 + ZS7 + 0.6*ZS9	915	3.000	0.11	≤ 1	SE406)	PC
KZ170	ZS1 + ZS2 + 0.7*ZS5 + ZS7 + 0.6*ZS10	915	3.000	0.11	≤ 1	SE406)	PC
KZ171	ZS1 + ZS2 + 0.7*ZS5 + ZS8 + 0.6*ZS9	915	3.000	0.11	≤ 1	SE406)	PC
KZ172	ZS1 + ZS2 + 0.7*ZS5 + ZS8 + 0.6*ZS10	915	3.000	0.10	≤ 1	SE406)	PC
KZ173	ZS1 + ZS2 + ZS6 + 0.6*ZS9	915	3.000	0.11	≤ 1	SE406)	PC
KZ174	ZS1 + ZS2 + ZS6 + 0.6*ZS10	915	3.000	0.10	≤ 1	SE406)	PC
KZ175	ZS1 + ZS2 + ZS7 + 0.6*ZS9	915	3.000	0.11	≤ 1	SE406)	PC
KZ176	ZS1 + ZS2 + ZS7 + 0.6*ZS10	915	3.000	0.11	≤ 1	SE406)	PC
KZ177	ZS1 + ZS2 + ZS8 + 0.6*ZS9	915	3.000	0.10	≤ 1	SE406)	PC
KZ178	ZS1 + ZS2 + ZS8 + 0.6*ZS10	915	3.000	0.10	≤ 1	SE406)	PC
KZ179	ZS1 + ZS2 + ZS9	915	3.000	0.18	≤ 1	SE406)	PC
KZ180	ZS1 + ZS2 + ZS10	915	3.000	0.18	≤ 1	SE406)	PC
KZ181	ZS1 + ZS2 + 0.7*ZS3 + ZS9	915	3.000	0.18	≤ 1	SE406)	PC
KZ182	ZS1 + ZS2 + 0.7*ZS3 + ZS10	915	3.000	0.18	≤ 1	SE406)	PC
KZ183	ZS1 + ZS2 + 0.7*ZS4 + ZS9	915	3.000	0.18	≤ 1	SE406)	PC
KZ184	ZS1 + ZS2 + 0.7*ZS4 + ZS10	915	3.000	0.18	≤ 1	SE406)	PC
KZ185	ZS1 + ZS2 + 0.7*ZS5 + ZS9	915	3.000	0.18	≤ 1	SE406)	PC
KZ186	ZS1 + ZS2 + 0.7*ZS5 + ZS10	915	3.000	0.18	≤ 1	SE406)	PC
KZ187	ZS1 + ZS2 + 0.7*ZS3 + 0.5*ZS6 + ZS9	915	3.000	0.18	≤ 1	SE406)	PC
KZ188	ZS1 + ZS2 + 0.7*ZS3 + 0.5*ZS6 + ZS10	915	3.000	0.18	≤ 1	SE406)	PC
KZ189	ZS1 + ZS2 + 0.7*ZS3 + 0.5*ZS7 + ZS9	915	3.000	0.18	≤ 1	SE406)	PC
KZ190	ZS1 + ZS2 + 0.7*ZS3 + 0.5*ZS7 + ZS10	915	3.000	0.18	≤ 1	SE406)	PC

Projekt:

Model: Varianta B

Datum: 08.01.2019

## 2.1 POSOUZENÍ PO ZATĚŽOVACÍCH STAVECH

ZS/KZ/ KV	Označení ZS nebo KZ/KV	Prut č.	Místo x [m]	Návrh		Návrh č.	Označení
KZ191	ZS1 + ZS2 + 0.7*ZS3 + 0.5*ZS8 + ZS9	915	3.000	0.18	≤ 1	SE406)	PC
KZ192	ZS1 + ZS2 + 0.7*ZS3 + 0.5*ZS8 + ZS10	915	3.000	0.18	≤ 1	SE406)	PC
KZ193	ZS1 + ZS2 + 0.7*ZS4 + 0.5*ZS6 + ZS9	915	3.000	0.18	≤ 1	SE406)	PC
KZ194	ZS1 + ZS2 + 0.7*ZS4 + 0.5*ZS6 + ZS10	915	3.000	0.18	≤ 1	SE406)	PC
KZ195	ZS1 + ZS2 + 0.7*ZS4 + 0.5*ZS7 + ZS9	915	3.000	0.18	≤ 1	SE406)	PC
KZ196	ZS1 + ZS2 + 0.7*ZS4 + 0.5*ZS7 + ZS10	915	3.000	0.18	≤ 1	SE406)	PC
KZ197	ZS1 + ZS2 + 0.7*ZS4 + 0.5*ZS8 + ZS9	915	3.000	0.18	≤ 1	SE406)	PC
KZ198	ZS1 + ZS2 + 0.7*ZS4 + 0.5*ZS8 + ZS10	915	3.000	0.17	≤ 1	SE406)	PC
KZ199	ZS1 + ZS2 + 0.7*ZS5 + 0.5*ZS6 + ZS9	915	3.000	0.18	≤ 1	SE406)	PC
KZ200	ZS1 + ZS2 + 0.7*ZS5 + 0.5*ZS6 + ZS10	915	3.000	0.18	≤ 1	SE406)	PC
KZ201	ZS1 + ZS2 + 0.7*ZS5 + 0.5*ZS7 + ZS9	915	3.000	0.18	≤ 1	SE406)	PC
KZ202	ZS1 + ZS2 + 0.7*ZS5 + 0.5*ZS7 + ZS10	915	3.000	0.18	≤ 1	SE406)	PC
KZ203	ZS1 + ZS2 + 0.7*ZS5 + 0.5*ZS8 + ZS9	915	3.000	0.18	≤ 1	SE406)	PC
KZ204	ZS1 + ZS2 + 0.7*ZS5 + 0.5*ZS8 + ZS10	915	3.000	0.18	≤ 1	SE406)	PC
KZ205	ZS1 + ZS2 + 0.5*ZS6 + ZS9	915	3.000	0.18	≤ 1	SE406)	PC
KZ206	ZS1 + ZS2 + 0.5*ZS6 + ZS10	915	3.000	0.18	≤ 1	SE406)	PC
KZ207	ZS1 + ZS2 + 0.5*ZS7 + ZS9	915	3.000	0.18	≤ 1	SE406)	PC
KZ208	ZS1 + ZS2 + 0.5*ZS7 + ZS10	915	3.000	0.18	≤ 1	SE406)	PC
KZ209	ZS1 + ZS2 + 0.5*ZS8 + ZS9	915	3.000	0.18	≤ 1	SE406)	PC
KZ210	ZS1 + ZS2 + 0.5*ZS8 + ZS10	915	3.000	0.17	≤ 1	SE406)	PC

## 2.2 POSOUZENÍ PO PRŮŘEZECH

Průř. č.	Prut č.	Místo x [m]	ZS/KZ/ KV	Návrh		Návrh č.	Označení
1	RO 219.1x8 (za studena) - 0						
	911	2.400	KZ22	0.00	≤ 1	CS100)	Zanedbatelné vnitřní síly
	177	4.031	KZ75	0.06	≤ 1	CS101)	Posouzení průřezu - tah podle 6.2.3
	193	0.000	KZ82	0.10	≤ 1	CS102)	Posouzení průřezu - tlak podle 6.2.4
	907	1.800	KZ95	0.02	≤ 1	CS111)	Posouzení průřezu - ohyb okolo y podle 6.2.5 - třída 1 nebo 2
	180	0.000	KZ54	0.01	≤ 1	CS116)	Posouzení průřezu - ohyb okolo z podle 6.2.5 - třída 1 nebo 2
	907	0.000	KZ90	0.00	≤ 1	CS121)	Posouzení průřezu - smyk ve směru z podle 6.2.6
	168	4.031	KZ90	0.00	≤ 1	CS123)	Posouzení průřezu - smyk ve směru y podle 6.2.6
	907	1.800	KZ95	0.02	≤ 1	CS141)	Posouzení průřezu - ohyb a smyk podle 6.2.5 a 6.2.8
	180	0.000	KZ54	0.01	≤ 1	CS151)	Posouzení průřezu - ohyb okolo z a smyk podle 6.2.5 a 6.2.8
	907	0.000	KZ91	0.00	≤ 1	CS161)	Posouzení průřezu - dvouosý ohyb a smyk podle 6.2.6, 6.2.7 a 6.2.9
	193	4.031	KZ100	0.04	≤ 1	CS181)	Posouzení průřezu - ohyb, smyk a osová síla podle 6.2.9.1
	153	4.031	KZ94	0.03	≤ 1	CS201)	Posouzení průřezu - ohyb okolo z, smyk a osová síla podle 6.2.9.1
	907	0.000	KZ90	0.00	≤ 1	CS221)	Posouzení průřezu - dvouosý ohyb, smyk a osová síla podle 6.2.10 a 6.2.9
	1021	2.687	KZ83	0.11	≤ 1	ST301)	Posouzení stability - vzpěr okolo y podle 6.3.1.1 a 6.3.1.2(4)
	195	0.000	KZ84	0.78	≤ 1	ST302)	Posouzení stability - vzpěr okolo y podle 6.3.1.1 a 6.3.1.2
	1021	1.344	KZ87	0.11	≤ 1	ST311)	Posouzení stability - vzpěr okolo z podle 6.3.1.1 a 6.3.1.2(4)
	153	0.000	KZ94	0.14	≤ 1	ST312)	Posouzení stability - vzpěr okolo z podle 6.3.1.1 a 6.3.1.2
	194	0.000	KZ82	0.88	≤ 1	ST364)	Posouzení stability - ohyb a tlak podle 6.3.3, metoda 2
	153	0.000	KZ106	0.00	≤ 1	SE400)	Použitelnost - malé, resp. velmi malé deformace
	917	3.000	KZ195	0.15	≤ 1	SE401)	Použitelnost - kombinace zatížení 'charakteristická' - směr z
	915	3.000	KZ201	0.18	≤ 1	SE406)	Použitelnost - kombinace zatížení 'charakteristická' - směr y

## 1.2 MATERIÁLY

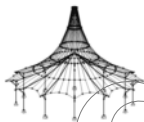
Materiál - č.	Označení materiálu	Modul pruž. E [MPa]	Smykový modul G [MPa]	Poissonův součinitel ν [-]	Mez kluzu f <sub>yk</sub> [MPa]	Max. tloušťka dílce t [mm]
1	Ocel S 355   DIN EN 1993-1-1:2010-12	210000.000	80769.200	0.300	355.000	40.0
	Baustahl S 235				335.000	80.0
					315.000	100.0
					295.000	150.0
					285.000	200.0
					275.000	250.0

## 1.3 PRŮŘEZY

Průř. č.	Materiál - č.	Označení průřezu	Typ průřezu	Max. návrhové využití	Komentář
4	1	IPE 100   Feronia - DIN 1025-5:1994	I-profil válcov.	0.41	

RF-STEEL EC3  
PR2  
Nosník střešního pláště





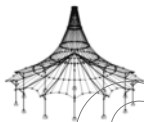
Projekt:

Model: Varianta B

Datum: 08.01.2019

## 2.1 POSOUZENÍ PO ZATĚŽOVACÍCH STAVECH

ZS/KZ/ KV	Označení ZS nebo KZ/KV	Přut č.	Místo x [m]	Návrh	Návrh č.	Označení
Posouzení mezního stavu únosnosti						
ZS1	Vlastní tíha	1024	0.569	0.01	≤ 1	CS181)
ZS2	Ostatní stálé	1028	0.569	0.04	≤ 1	ST331)
ZS3	Užitné plné	1029	1.137	0.03	≤ 1	ST301)
ZS4	Užitné poloviční1	1029	1.137	0.02	≤ 1	ST301)
ZS5	Užitné poloviční2	1027	1.137	0.02	≤ 1	ST301)
ZS6	Sníh plný	1025	0.569	0.08	≤ 1	ST361)
ZS7	Sníh poloviční 1	1029	1.137	0.12	≤ 1	ST331)
ZS8	Sníh poloviční 2	1025	1.137	0.12	≤ 1	ST331)
ZS9	Vítr ve směru X + tlak na přístřešek	1027	0.569	0.13	≤ 1	ST361)
ZS10	Vítr ve směru X + sání na přístřešek	1027	2.844	0.22	≤ 1	ST361)
KZ1	1.35*ZS1 + 1.35*ZS2	1029	0.569	0.09	≤ 1	ST361)
KZ2	1.35*ZS1 + 1.35*ZS2 + 1.5*ZS3	1029	0.569	0.16	≤ 1	ST361)
KZ3	1.35*ZS1 + 1.35*ZS2 + 1.5*ZS4	1029	0.569	0.14	≤ 1	ST361)
KZ4	1.35*ZS1 + 1.35*ZS2 + 1.5*ZS5	1024	0.569	0.14	≤ 1	ST361)
KZ5	1.35*ZS1 + 1.35*ZS2 + 1.5*ZS3 + 0.75*ZS6	1029	0.569	0.22	≤ 1	ST361)
KZ6	1.35*ZS1 + 1.35*ZS2 + 1.5*ZS3 + 0.75*ZS7	1029	0.569	0.25	≤ 1	ST361)
KZ7	1.35*ZS1 + 1.35*ZS2 + 1.5*ZS3 + 0.75*ZS8	1025	0.569	0.25	≤ 1	ST361)
KZ8	1.35*ZS1 + 1.35*ZS2 + 1.5*ZS4 + 0.75*ZS6	1029	0.569	0.20	≤ 1	ST361)
KZ9	1.35*ZS1 + 1.35*ZS2 + 1.5*ZS4 + 0.75*ZS7	1029	0.569	0.23	≤ 1	ST361)
KZ10	1.35*ZS1 + 1.35*ZS2 + 1.5*ZS4 + 0.75*ZS8	1025	0.569	0.23	≤ 1	ST361)
KZ11	1.35*ZS1 + 1.35*ZS2 + 1.5*ZS5 + 0.75*ZS6	1024	0.569	0.20	≤ 1	ST361)
KZ12	1.35*ZS1 + 1.35*ZS2 + 1.5*ZS5 + 0.75*ZS7	1028	0.569	0.23	≤ 1	ST361)
KZ13	1.35*ZS1 + 1.35*ZS2 + 1.5*ZS5 + 0.75*ZS8	1025	0.569	0.23	≤ 1	ST361)
KZ14	1.35*ZS1 + 1.35*ZS2 + 1.5*ZS3 + 0.75*ZS6 + 0.9*ZS9	1027	0.569	0.34	≤ 1	ST361)
KZ15	1.35*ZS1 + 1.35*ZS2 + 1.5*ZS3 + 0.75*ZS6 + 0.9*ZS10	1026	0.569	0.13	≤ 1	ST361)
KZ16	1.35*ZS1 + 1.35*ZS2 + 1.5*ZS3 + 0.75*ZS7 + 0.9*ZS9	1027	0.569	0.32	≤ 1	ST361)
KZ17	1.35*ZS1 + 1.35*ZS2 + 1.5*ZS3 + 0.75*ZS7 + 0.9*ZS10	1029	0.569	0.16	≤ 1	ST361)
KZ18	1.35*ZS1 + 1.35*ZS2 + 1.5*ZS3 + 0.75*ZS8 + 0.9*ZS9	1026	0.569	0.33	≤ 1	ST361)
KZ19	1.35*ZS1 + 1.35*ZS2 + 1.5*ZS3 + 0.75*ZS8 + 0.9*ZS10	1026	0.569	0.17	≤ 1	ST361)
KZ20	1.35*ZS1 + 1.35*ZS2 + 1.5*ZS4 + 0.75*ZS6 + 0.9*ZS9	1027	0.000	0.32	≤ 1	ST361)
KZ21	1.35*ZS1 + 1.35*ZS2 + 1.5*ZS4 + 0.75*ZS6 + 0.9*ZS10	1026	0.569	0.11	≤ 1	ST361)
KZ22	1.35*ZS1 + 1.35*ZS2 + 1.5*ZS4 + 0.75*ZS7 + 0.9*ZS9	1027	0.000	0.30	≤ 1	ST361)
KZ23	1.35*ZS1 + 1.35*ZS2 + 1.5*ZS4 + 0.75*ZS7 + 0.9*ZS10	1029	0.569	0.14	≤ 1	ST361)
KZ24	1.35*ZS1 + 1.35*ZS2 + 1.5*ZS4 + 0.75*ZS8 + 0.9*ZS9	1026	0.000	0.31	≤ 1	ST361)
KZ25	1.35*ZS1 + 1.35*ZS2 + 1.5*ZS4 + 0.75*ZS8 + 0.9*ZS10	1026	0.569	0.15	≤ 1	ST361)
KZ26	1.35*ZS1 + 1.35*ZS2 + 1.5*ZS5 + 0.75*ZS6 + 0.9*ZS9	1027	0.000	0.32	≤ 1	ST361)
KZ27	1.35*ZS1 + 1.35*ZS2 + 1.5*ZS5 + 0.75*ZS6 + 0.9*ZS10	1026	0.569	0.12	≤ 1	ST361)
KZ28	1.35*ZS1 + 1.35*ZS2 + 1.5*ZS5 + 0.75*ZS7 + 0.9*ZS9	1027	0.000	0.31	≤ 1	ST361)
KZ29	1.35*ZS1 + 1.35*ZS2 + 1.5*ZS5 + 0.75*ZS7 + 0.9*ZS10	1029	0.569	0.14	≤ 1	ST361)
KZ30	1.35*ZS1 + 1.35*ZS2 + 1.5*ZS5 + 0.75*ZS8 + 0.9*ZS9	1026	0.000	0.31	≤ 1	ST361)
KZ31	1.35*ZS1 + 1.35*ZS2 + 1.5*ZS5 + 0.75*ZS8 + 0.9*ZS10	1026	0.569	0.15	≤ 1	ST361)
KZ32	1.35*ZS1 + 1.35*ZS2 + 1.5*ZS3 + 0.9*ZS9	1027	0.569	0.27	≤ 1	ST361)
KZ33	1.35*ZS1 + 1.35*ZS2 + 1.5*ZS3 + 0.9*ZS10	1027	2.844	0.11	≤ 1	ST361)
KZ34	1.35*ZS1 + 1.35*ZS2 + 1.5*ZS4 + 0.9*ZS9	1027	0.569	0.25	≤ 1	ST361)
KZ35	1.35*ZS1 + 1.35*ZS2 + 1.5*ZS4 + 0.9*ZS10	1027	2.844	0.10	≤ 1	ST361)
KZ36	1.35*ZS1 + 1.35*ZS2 + 1.5*ZS5 + 0.9*ZS9	1027	0.569	0.26	≤ 1	ST361)
KZ37	1.35*ZS1 + 1.35*ZS2 + 1.5*ZS5 + 0.9*ZS10	1027	2.844	0.11	≤ 1	ST361)
KZ38	1.35*ZS1 + 1.35*ZS2 + 1.5*ZS6	1029	0.569	0.22	≤ 1	ST361)
KZ39	1.35*ZS1 + 1.35*ZS2 + 1.5*ZS7	1029	0.569	0.28	≤ 1	ST361)
KZ40	1.35*ZS1 + 1.35*ZS2 + 1.5*ZS8	1025	0.569	0.28	≤ 1	ST361)
KZ41	1.35*ZS1 + 1.35*ZS2 + 1.05*ZS3 + 1.5*ZS6	1029	0.569	0.26	≤ 1	ST361)
KZ42	1.35*ZS1 + 1.35*ZS2 + 1.05*ZS3 + 1.5*ZS7	1029	0.569	0.32	≤ 1	ST361)
KZ43	1.35*ZS1 + 1.35*ZS2 + 1.05*ZS3 + 1.5*ZS8	1025	0.569	0.32	≤ 1	ST361)
KZ44	1.35*ZS1 + 1.35*ZS2 + 1.05*ZS4 + 1.5*ZS6	1029	0.569	0.25	≤ 1	ST361)
KZ45	1.35*ZS1 + 1.35*ZS2 + 1.05*ZS4 + 1.5*ZS7	1029	0.569	0.31	≤ 1	ST361)
KZ46	1.35*ZS1 + 1.35*ZS2 + 1.05*ZS4 + 1.5*ZS8	1025	0.569	0.31	≤ 1	ST361)
KZ47	1.35*ZS1 + 1.35*ZS2 + 1.05*ZS5 + 1.5*ZS6	1024	0.569	0.25	≤ 1	ST361)
KZ48	1.35*ZS1 + 1.35*ZS2 + 1.05*ZS5 + 1.5*ZS7	1029	0.569	0.31	≤ 1	ST361)
KZ49	1.35*ZS1 + 1.35*ZS2 + 1.05*ZS5 + 1.5*ZS8	1025	0.569	0.31	≤ 1	ST361)
KZ50	1.35*ZS1 + 1.35*ZS2 + 1.05*ZS3 + 1.5*ZS6 + 0.9*ZS9	1027	0.000	0.39	≤ 1	ST361)
KZ51	1.35*ZS1 + 1.35*ZS2 + 1.05*ZS3 + 1.5*ZS6 + 0.9*ZS10	1026	0.569	0.18	≤ 1	ST361)
KZ52	1.35*ZS1 + 1.35*ZS2 + 1.05*ZS3 + 1.5*ZS7 + 0.9*ZS9	1029	0.000	0.38	≤ 1	ST361)
KZ53	1.35*ZS1 + 1.35*ZS2 + 1.05*ZS3 + 1.5*ZS7 + 0.9*ZS10	1029	0.569	0.24	≤ 1	ST361)
KZ54	1.35*ZS1 + 1.35*ZS2 + 1.05*ZS3 + 1.5*ZS8 + 0.9*ZS9	1026	0.000	0.41	≤ 1	ST361)
KZ55	1.35*ZS1 + 1.35*ZS2 + 1.05*ZS3 + 1.5*ZS8 + 0.9*ZS10	1026	0.569	0.24	≤ 1	ST361)
KZ56	1.35*ZS1 + 1.35*ZS2 + 1.05*ZS4 + 1.5*ZS6 + 0.9*ZS9	1027	0.000	0.37	≤ 1	ST361)
KZ57	1.35*ZS1 + 1.35*ZS2 + 1.05*ZS4 + 1.5*ZS6 + 0.9*ZS10	1026	0.569	0.16	≤ 1	ST361)
KZ58	1.35*ZS1 + 1.35*ZS2 + 1.05*ZS4 + 1.5*ZS7 + + 0.9*ZS9	1029	0.000	0.37	≤ 1	ST361)



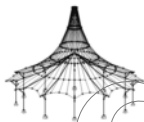
Projekt:

Model: Varianta B

Datum: 08.01.2019

## 2.1 POSOUZENÍ PO ZATĚŽOVACÍCH STAVECH

ZS/KZ/ KV	Označení ZS nebo KZ/KV	Přut č.	Místo x [m]	Návrh		Návrh č.	Označení
KZ59	+ 0.9*ZS9 1.35*ZS1 + 1.35*ZS2 + 1.05*ZS4 + 1.5*ZS7 + 0.9*ZS10	1029	0.569	0.22	≤ 1	ST361)	TD
KZ60	1.35*ZS1 + 1.35*ZS2 + 1.05*ZS4 + 1.5*ZS8 + 0.9*ZS9	1026	0.000	0.40	≤ 1	ST361)	TD
KZ61	1.35*ZS1 + 1.35*ZS2 + 1.05*ZS4 + 1.5*ZS8 + 0.9*ZS10	1026	0.569	0.23	≤ 1	ST361)	TD
KZ62	1.35*ZS1 + 1.35*ZS2 + 1.05*ZS5 + 1.5*ZS6 + 0.9*ZS9	1027	0.000	0.38	≤ 1	ST361)	TD
KZ63	1.35*ZS1 + 1.35*ZS2 + 1.05*ZS5 + 1.5*ZS6 + 0.9*ZS10	1026	0.569	0.16	≤ 1	ST361)	TD
KZ64	1.35*ZS1 + 1.35*ZS2 + 1.05*ZS5 + 1.5*ZS7 + 0.9*ZS9	1029	0.000	0.37	≤ 1	ST361)	TD
KZ65	1.35*ZS1 + 1.35*ZS2 + 1.05*ZS5 + 1.5*ZS7 + 0.9*ZS10	1029	0.569	0.22	≤ 1	ST361)	TD
KZ66	1.35*ZS1 + 1.35*ZS2 + 1.05*ZS5 + 1.5*ZS8 + 0.9*ZS9	1026	0.000	0.40	≤ 1	ST361)	TD
KZ67	1.35*ZS1 + 1.35*ZS2 + 1.05*ZS5 + 1.5*ZS8 + 0.9*ZS10	1026	0.569	0.23	≤ 1	ST361)	TD
KZ68	1.35*ZS1 + 1.35*ZS2 + 1.5*ZS6 + 0.9*ZS9	1027	0.000	0.35	≤ 1	ST361)	TD
KZ69	1.35*ZS1 + 1.35*ZS2 + 1.5*ZS6 + 0.9*ZS10	1026	0.569	0.13	≤ 1	ST361)	TD
KZ70	1.35*ZS1 + 1.35*ZS2 + 1.5*ZS7 + 0.9*ZS9	1029	0.000	0.34	≤ 1	ST361)	TD
KZ71	1.35*ZS1 + 1.35*ZS2 + 1.5*ZS7 + 0.9*ZS10	1029	0.000	0.19	≤ 1	ST361)	TD
KZ72	1.35*ZS1 + 1.35*ZS2 + 1.5*ZS8 + 0.9*ZS9	1026	0.000	0.37	≤ 1	ST361)	TD
KZ73	1.35*ZS1 + 1.35*ZS2 + 1.5*ZS8 + 0.9*ZS10	1026	1.137	0.20	≤ 1	ST331)	TD
KZ74	1.35*ZS1 + 1.35*ZS2 + 1.5*ZS9	1027	0.000	0.30	≤ 1	ST361)	TD
KZ75	1.35*ZS1 + 1.35*ZS2 + 1.5*ZS10	1027	2.844	0.23	≤ 1	ST361)	TD
KZ76	1.35*ZS1 + 1.35*ZS2 + 1.05*ZS3 + 1.5*ZS9	1027	0.000	0.34	≤ 1	ST361)	TD
KZ77	1.35*ZS1 + 1.35*ZS2 + 1.05*ZS3 + 1.5*ZS10	1027	2.844	0.23	≤ 1	ST361)	TD
KZ78	1.35*ZS1 + 1.35*ZS2 + 1.05*ZS4 + 1.5*ZS9	1027	0.000	0.32	≤ 1	ST361)	TD
KZ79	1.35*ZS1 + 1.35*ZS2 + 1.05*ZS4 + 1.5*ZS10	1027	2.844	0.23	≤ 1	ST361)	TD
KZ80	1.35*ZS1 + 1.35*ZS2 + 1.05*ZS5 + 1.5*ZS9	1027	0.000	0.33	≤ 1	ST361)	TD
KZ81	1.35*ZS1 + 1.35*ZS2 + 1.05*ZS5 + 1.5*ZS10	1027	2.844	0.23	≤ 1	ST361)	TD
KZ82	1.35*ZS1 + 1.35*ZS2 + 1.05*ZS3 + 0.75*ZS6 + 1.5*ZS9	1027	0.000	0.40	≤ 1	ST361)	TD
KZ83	1.35*ZS1 + 1.35*ZS2 + 1.05*ZS3 + 0.75*ZS6 + 1.5*ZS10	1027	2.844	0.14	≤ 1	ST361)	TD
KZ84	1.35*ZS1 + 1.35*ZS2 + 1.05*ZS3 + 0.75*ZS7 + 1.5*ZS9	1027	0.000	0.39	≤ 1	ST361)	TD
KZ85	1.35*ZS1 + 1.35*ZS2 + 1.05*ZS3 + 0.75*ZS7 + 1.5*ZS10	1027	2.844	0.17	≤ 1	ST361)	TD
KZ86	1.35*ZS1 + 1.35*ZS2 + 1.05*ZS3 + 0.75*ZS8 + 1.5*ZS9	1027	0.000	0.39	≤ 1	ST361)	TD
KZ87	1.35*ZS1 + 1.35*ZS2 + 1.05*ZS3 + 0.75*ZS8 + 1.5*ZS10	1027	2.844	0.17	≤ 1	ST361)	TD
KZ88	1.35*ZS1 + 1.35*ZS2 + 1.05*ZS4 + 0.75*ZS6 + 1.5*ZS9	1027	0.000	0.39	≤ 1	ST361)	TD
KZ89	1.35*ZS1 + 1.35*ZS2 + 1.05*ZS4 + 0.75*ZS6 + 1.5*ZS10	1027	2.844	0.14	≤ 1	ST361)	TD
KZ90	1.35*ZS1 + 1.35*ZS2 + 1.05*ZS4 + 0.75*ZS7 + 1.5*ZS9	1027	0.000	0.37	≤ 1	ST361)	TD
KZ91	1.35*ZS1 + 1.35*ZS2 + 1.05*ZS4 + 0.75*ZS7 + 1.5*ZS10	1027	2.844	0.16	≤ 1	ST361)	TD
KZ92	1.35*ZS1 + 1.35*ZS2 + 1.05*ZS4 + 0.75*ZS8 + 1.5*ZS9	1027	0.000	0.37	≤ 1	ST361)	TD
KZ93	1.35*ZS1 + 1.35*ZS2 + 1.05*ZS4 + 0.75*ZS8 + 1.5*ZS10	1027	2.844	0.16	≤ 1	ST361)	TD
KZ94	1.35*ZS1 + 1.35*ZS2 + 1.05*ZS5 + 0.75*ZS6 + 1.5*ZS9	1027	0.000	0.40	≤ 1	ST361)	TD
KZ95	1.35*ZS1 + 1.35*ZS2 + 1.05*ZS5 + 0.75*ZS6 + 1.5*ZS10	1027	2.844	0.14	≤ 1	ST361)	TD
KZ96	1.35*ZS1 + 1.35*ZS2 + 1.05*ZS5 + 0.75*ZS7 + 1.5*ZS9	1027	0.000	0.38	≤ 1	ST361)	TD
KZ97	1.35*ZS1 + 1.35*ZS2 + 1.05*ZS5 + 0.75*ZS7 + 1.5*ZS10	1027	2.844	0.16	≤ 1	ST361)	TD
KZ98	1.35*ZS1 + 1.35*ZS2 + 1.05*ZS5 + 0.75*ZS8 + 1.5*ZS9	1027	0.000	0.38	≤ 1	ST361)	TD
KZ99	1.35*ZS1 + 1.35*ZS2 + 1.05*ZS5 + 0.75*ZS8 + 1.5*ZS10	1027	2.844	0.16	≤ 1	ST361)	TD
KZ100	1.35*ZS1 + 1.35*ZS2 + 0.75*ZS6 + 1.5*ZS9	1027	0.000	0.36	≤ 1	ST361)	TD
KZ101	1.35*ZS1 + 1.35*ZS2 + 0.75*ZS6 + 1.5*ZS10	1027	2.844	0.13	≤ 1	ST361)	TD
KZ102	1.35*ZS1 + 1.35*ZS2 + 0.75*ZS7 + 1.5*ZS9	1027	0.000	0.35	≤ 1	ST361)	TD
KZ103	1.35*ZS1 + 1.35*ZS2 + 0.75*ZS7 + 1.5*ZS10	1027	2.844	0.16	≤ 1	ST361)	TD
KZ104	1.35*ZS1 + 1.35*ZS2 + 0.75*ZS8 + 1.5*ZS9	1027	0.000	0.35	≤ 1	ST361)	TD
KZ105	1.35*ZS1 + 1.35*ZS2 + 0.75*ZS8 + 1.5*ZS10	1027	2.844	0.16	≤ 1	ST361)	TD
Posouzení mezního stavu použitelnosti							
KZ106	ZS1 + ZS2	1029	1.137	0.06	≤ 1	SE401)	PC
KZ107	ZS1 + ZS2 + ZS3	1029	1.137	0.09	≤ 1	SE401)	PC
KZ108	ZS1 + ZS2 + ZS4	1029	1.137	0.08	≤ 1	SE401)	PC
KZ109	ZS1 + ZS2 + ZS5	1025	1.137	0.08	≤ 1	SE401)	PC
KZ110	ZS1 + ZS2 + ZS3 + 0.5*ZS6	1029	1.137	0.13	≤ 1	SE401)	PC
KZ111	ZS1 + ZS2 + ZS3 + 0.5*ZS7	1029	1.137	0.17	≤ 1	SE401)	PC
KZ112	ZS1 + ZS2 + ZS3 + 0.5*ZS8	1025	1.137	0.17	≤ 1	SE401)	PC
KZ113	ZS1 + ZS2 + ZS4 + 0.5*ZS6	1029	1.137	0.12	≤ 1	SE401)	PC
KZ114	ZS1 + ZS2 + ZS4 + 0.5*ZS7	1029	1.137	0.17	≤ 1	SE401)	PC
KZ115	ZS1 + ZS2 + ZS4 + 0.5*ZS8	1025	1.137	0.17	≤ 1	SE401)	PC
KZ116	ZS1 + ZS2 + ZS5 + 0.5*ZS6	1025	1.137	0.12	≤ 1	SE401)	PC
KZ117	ZS1 + ZS2 + ZS5 + 0.5*ZS7	1028	1.137	0.17	≤ 1	SE401)	PC
KZ118	ZS1 + ZS2 + ZS5 + 0.5*ZS8	1025	1.137	0.17	≤ 1	SE401)	PC
KZ119	ZS1 + ZS2 + ZS3 + 0.5*ZS6 + 0.6*ZS9	1027	1.137	0.23	≤ 1	SE401)	PC
KZ120	ZS1 + ZS2 + ZS3 + 0.5*ZS6 + 0.6*ZS10	1025	1.137	0.08	≤ 1	SE401)	PC
KZ121	ZS1 + ZS2 + ZS3 + 0.5*ZS7 + 0.6*ZS9	1027	1.137	0.21	≤ 1	SE401)	PC
KZ122	ZS1 + ZS2 + ZS3 + 0.5*ZS7 + 0.6*ZS10	1029	1.706	0.12	≤ 1	SE401)	PC



Projekt:

Model: Varianta B

Datum: 08.01.2019

## 2.1 POSOUZENÍ PO ZATĚŽOVACÍCH STAVECH

ZS/KZ/ KV	Označení ZS nebo KZ/KV	Prut č.	Místo x [m]	Návrh		Návrh č.	Označení
KZ123	ZS1 + ZS2 + ZS3 + 0.5*ZS8 + 0.6*ZS9	1025	1.137	0.23	≤ 1	SE401)	PC
KZ124	ZS1 + ZS2 + ZS3 + 0.5*ZS8 + 0.6*ZS10	1025	1.706	0.13	≤ 1	SE401)	PC
KZ125	ZS1 + ZS2 + ZS4 + 0.5*ZS6 + 0.6*ZS9	1027	1.137	0.22	≤ 1	SE401)	PC
KZ126	ZS1 + ZS2 + ZS4 + 0.5*ZS6 + 0.6*ZS10	1026	1.137	0.07	≤ 1	SE401)	PC
KZ127	ZS1 + ZS2 + ZS4 + 0.5*ZS7 + 0.6*ZS9	1027	1.137	0.21	≤ 1	SE401)	PC
KZ128	ZS1 + ZS2 + ZS4 + 0.5*ZS7 + 0.6*ZS10	1029	1.706	0.11	≤ 1	SE401)	PC
KZ129	ZS1 + ZS2 + ZS4 + 0.5*ZS8 + 0.6*ZS9	1026	1.137	0.22	≤ 1	SE401)	PC
KZ130	ZS1 + ZS2 + ZS4 + 0.5*ZS8 + 0.6*ZS10	1026	1.706	0.13	≤ 1	SE401)	PC
KZ131	ZS1 + ZS2 + ZS5 + 0.5*ZS6 + 0.6*ZS9	1027	1.137	0.22	≤ 1	SE401)	PC
KZ132	ZS1 + ZS2 + ZS5 + 0.5*ZS6 + 0.6*ZS10	1025	1.137	0.08	≤ 1	SE401)	PC
KZ133	ZS1 + ZS2 + ZS5 + 0.5*ZS7 + 0.6*ZS9	1027	1.137	0.21	≤ 1	SE401)	PC
KZ134	ZS1 + ZS2 + ZS5 + 0.5*ZS7 + 0.6*ZS10	1029	1.706	0.11	≤ 1	SE401)	PC
KZ135	ZS1 + ZS2 + ZS5 + 0.5*ZS8 + 0.6*ZS9	1025	1.137	0.23	≤ 1	SE401)	PC
KZ136	ZS1 + ZS2 + ZS5 + 0.5*ZS8 + 0.6*ZS10	1026	1.706	0.13	≤ 1	SE401)	PC
KZ137	ZS1 + ZS2 + ZS3 + 0.6*ZS9	1027	1.137	0.18	≤ 1	SE401)	PC
KZ138	ZS1 + ZS2 + ZS3 + 0.6*ZS10	1025	1.706	0.04	≤ 1	SE401)	PC
KZ139	ZS1 + ZS2 + ZS4 + 0.6*ZS9	1027	1.137	0.18	≤ 1	SE401)	PC
KZ140	ZS1 + ZS2 + ZS4 + 0.6*ZS10	1027	1.706	0.04	≤ 1	SE401)	PC
KZ141	ZS1 + ZS2 + ZS5 + 0.6*ZS9	1027	1.137	0.18	≤ 1	SE401)	PC
KZ142	ZS1 + ZS2 + ZS5 + 0.6*ZS10	1027	1.706	0.04	≤ 1	SE401)	PC
KZ143	ZS1 + ZS2 + ZS6	1029	1.137	0.15	≤ 1	SE401)	PC
KZ144	ZS1 + ZS2 + ZS7	1029	1.706	0.24	≤ 1	SE401)	PC
KZ145	ZS1 + ZS2 + ZS8	1025	1.706	0.24	≤ 1	SE401)	PC
KZ146	ZS1 + ZS2 + 0.7*ZS3 + ZS6	1029	1.137	0.16	≤ 1	SE401)	PC
KZ147	ZS1 + ZS2 + 0.7*ZS3 + ZS7	1029	1.706	0.26	≤ 1	SE401)	PC
KZ148	ZS1 + ZS2 + 0.7*ZS3 + ZS8	1025	1.706	0.26	≤ 1	SE401)	PC
KZ149	ZS1 + ZS2 + 0.7*ZS4 + ZS6	1029	1.137	0.16	≤ 1	SE401)	PC
KZ150	ZS1 + ZS2 + 0.7*ZS4 + ZS7	1029	1.706	0.25	≤ 1	SE401)	PC
KZ151	ZS1 + ZS2 + 0.7*ZS4 + ZS8	1025	1.706	0.25	≤ 1	SE401)	PC
KZ152	ZS1 + ZS2 + 0.7*ZS5 + ZS6	1025	1.137	0.16	≤ 1	SE401)	PC
KZ153	ZS1 + ZS2 + 0.7*ZS5 + ZS7	1028	1.706	0.25	≤ 1	SE401)	PC
KZ154	ZS1 + ZS2 + 0.7*ZS5 + ZS8	1025	1.706	0.25	≤ 1	SE401)	PC
KZ155	ZS1 + ZS2 + 0.7*ZS3 + ZS6 + 0.6*ZS9	1027	1.137	0.26	≤ 1	SE401)	PC
KZ156	ZS1 + ZS2 + 0.7*ZS3 + ZS6 + 0.6*ZS10	1025	1.137	0.12	≤ 1	SE401)	PC
KZ157	ZS1 + ZS2 + 0.7*ZS3 + ZS7 + 0.6*ZS9	1029	1.137	0.27	≤ 1	SE401)	PC
KZ158	ZS1 + ZS2 + 0.7*ZS3 + ZS7 + 0.6*ZS10	1029	1.706	0.20	≤ 1	SE401)	PC
KZ159	ZS1 + ZS2 + 0.7*ZS3 + ZS8 + 0.6*ZS9	1026	1.137	0.31	≤ 1	SE401)	PC
KZ160	ZS1 + ZS2 + 0.7*ZS3 + ZS8 + 0.6*ZS10	1026	1.706	0.22	≤ 1	SE401)	PC
KZ161	ZS1 + ZS2 + 0.7*ZS4 + ZS6 + 0.6*ZS9	1027	1.137	0.26	≤ 1	SE401)	PC
KZ162	ZS1 + ZS2 + 0.7*ZS4 + ZS6 + 0.6*ZS10	1026	1.137	0.11	≤ 1	SE401)	PC
KZ163	ZS1 + ZS2 + 0.7*ZS4 + ZS7 + 0.6*ZS9	1029	1.137	0.27	≤ 1	SE401)	PC
KZ164	ZS1 + ZS2 + 0.7*ZS4 + ZS7 + 0.6*ZS10	1029	1.706	0.20	≤ 1	SE401)	PC
KZ165	ZS1 + ZS2 + 0.7*ZS4 + ZS8 + 0.6*ZS9	1026	1.137	0.31	≤ 1	SE401)	PC
KZ166	ZS1 + ZS2 + 0.7*ZS4 + ZS8 + 0.6*ZS10	1026	1.706	0.21	≤ 1	SE401)	PC
KZ167	ZS1 + ZS2 + 0.7*ZS5 + ZS6 + 0.6*ZS9	1027	1.137	0.26	≤ 1	SE401)	PC
KZ168	ZS1 + ZS2 + 0.7*ZS5 + ZS6 + 0.6*ZS10	1025	1.137	0.11	≤ 1	SE401)	PC
KZ169	ZS1 + ZS2 + 0.7*ZS5 + ZS7 + 0.6*ZS9	1029	1.137	0.27	≤ 1	SE401)	PC
KZ170	ZS1 + ZS2 + 0.7*ZS5 + ZS7 + 0.6*ZS10	1029	1.706	0.20	≤ 1	SE401)	PC
KZ171	ZS1 + ZS2 + 0.7*ZS5 + ZS8 + 0.6*ZS9	1025	1.137	0.31	≤ 1	SE401)	PC
KZ172	ZS1 + ZS2 + 0.7*ZS5 + ZS8 + 0.6*ZS10	1025	1.706	0.21	≤ 1	SE401)	PC
KZ173	ZS1 + ZS2 + ZS6 + 0.6*ZS9	1027	1.137	0.24	≤ 1	SE401)	PC
KZ174	ZS1 + ZS2 + ZS6 + 0.6*ZS10	1026	1.137	0.10	≤ 1	SE401)	PC
KZ175	ZS1 + ZS2 + ZS7 + 0.6*ZS9	1029	1.137	0.25	≤ 1	SE401)	PC
KZ176	ZS1 + ZS2 + ZS7 + 0.6*ZS10	1029	1.706	0.18	≤ 1	SE401)	PC
KZ177	ZS1 + ZS2 + ZS8 + 0.6*ZS9	1026	1.137	0.29	≤ 1	SE401)	PC
KZ178	ZS1 + ZS2 + ZS8 + 0.6*ZS10	1026	1.706	0.20	≤ 1	SE401)	PC
KZ179	ZS1 + ZS2 + ZS9	1027	1.137	0.22	≤ 1	SE401)	PC
KZ180	ZS1 + ZS2 + ZS10	1027	1.706	0.13	≤ 1	SE401)	PC
KZ181	ZS1 + ZS2 + 0.7*ZS3 + ZS9	1027	1.137	0.24	≤ 1	SE401)	PC
KZ182	ZS1 + ZS2 + 0.7*ZS3 + ZS10	1027	1.706	0.12	≤ 1	SE401)	PC
KZ183	ZS1 + ZS2 + 0.7*ZS4 + ZS9	1027	1.137	0.24	≤ 1	SE401)	PC
KZ184	ZS1 + ZS2 + 0.7*ZS4 + ZS10	1027	1.706	0.12	≤ 1	SE401)	PC
KZ185	ZS1 + ZS2 + 0.7*ZS5 + ZS9	1027	1.137	0.24	≤ 1	SE401)	PC
KZ186	ZS1 + ZS2 + 0.7*ZS5 + ZS10	1027	1.706	0.12	≤ 1	SE401)	PC
KZ187	ZS1 + ZS2 + 0.7*ZS3 + 0.5*ZS6 + ZS9	1027	1.137	0.28	≤ 1	SE401)	PC
KZ188	ZS1 + ZS2 + 0.7*ZS3 + 0.5*ZS6 + ZS10	1027	1.706	0.08	≤ 1	SE401)	PC
KZ189	ZS1 + ZS2 + 0.7*ZS3 + 0.5*ZS7 + ZS9	1027	1.137	0.27	≤ 1	SE401)	PC
KZ190	ZS1 + ZS2 + 0.7*ZS3 + 0.5*ZS7 + ZS10	1027	1.706	0.09	≤ 1	SE401)	PC
KZ191	ZS1 + ZS2 + 0.7*ZS3 + 0.5*ZS8 + ZS9	1027	1.137	0.27	≤ 1	SE401)	PC
KZ192	ZS1 + ZS2 + 0.7*ZS3 + 0.5*ZS8 + ZS10	1025	1.706	0.10	≤ 1	SE401)	PC
KZ193	ZS1 + ZS2 + 0.7*ZS4 + 0.5*ZS6 + ZS9	1027	1.137	0.28	≤ 1	SE401)	PC
KZ194	ZS1 + ZS2 + 0.7*ZS4 + 0.5*ZS6 + ZS10	1027	1.706	0.08	≤ 1	SE401)	PC
KZ195	ZS1 + ZS2 + 0.7*ZS4 + 0.5*ZS7 + ZS9	1027	1.137	0.27	≤ 1	SE401)	PC
KZ196	ZS1 + ZS2 + 0.7*ZS4 + 0.5*ZS7 + ZS10	1027	1.706	0.09	≤ 1	SE401)	PC
KZ197	ZS1 + ZS2 + 0.7*ZS4 + 0.5*ZS8 + ZS9	1027	1.137	0.27	≤ 1	SE401)	PC
KZ198	ZS1 + ZS2 + 0.7*ZS4 + 0.5*ZS8 + ZS10	1025	1.706	0.09	≤ 1	SE401)	PC
KZ199	ZS1 + ZS2 + 0.7*ZS5 + 0.5*ZS6 + ZS9	1027	1.137	0.28	≤ 1	SE401)	PC
KZ200	ZS1 + ZS2 + 0.7*ZS5 + 0.5*ZS6 + ZS10	1027	1.706	0.08	≤ 1	SE401)	PC
KZ201	ZS1 + ZS2 + 0.7*ZS5 + 0.5*ZS7 + ZS9	1027	1.137	0.27	≤ 1	SE401)	PC
KZ202	ZS1 + ZS2 + 0.7*ZS5 + 0.5*ZS7 + ZS10	1027	1.706	0.09	≤ 1	SE401)	PC
KZ203	ZS1 + ZS2 + 0.7*ZS5 + 0.5*ZS8 + ZS9	1027	1.137	0.27	≤ 1	SE401)	PC
KZ204	ZS1 + ZS2 + 0.7*ZS5 + 0.5*ZS8 + ZS10	1026	1.706	0.09	≤ 1	SE401)	PC
KZ205	ZS1 + ZS2 + 0.5*ZS6 + ZS9	1027	1.137	0.27	≤ 1	SE401)	PC
KZ206	ZS1 + ZS2 + 0.5*ZS6 + ZS10	1027	1.706	0.09	≤ 1	SE401)	PC
KZ207	ZS1 + ZS2 + 0.5*ZS7 + ZS9	1027	1.137	0.26	≤ 1	SE401)	PC
KZ208	ZS1 + ZS2 + 0.5*ZS7 + ZS10	1027	1.706	0.10	≤ 1	SE401)	PC
KZ209	ZS1 + ZS2 + 0.5*ZS8 + ZS9	1027	1.137	0.26	≤ 1	SE401)	PC
KZ210	ZS1 + ZS2 + 0.5*ZS8 + ZS10	1027	1.706	0.10	≤ 1	SE401)	PC

Projekt:

Model: Varianta B

Datum: 08.01.2019

## 2.2 POSOUZENÍ PO PRŮŘEZÍCH

Průř. č.	Prut č.	Místo x [m]	ZS/KZ/KV	Návrh	Návrh č.	Označení
4	IPE 100   Ferona - DIN 1025-5:1994					
	1025	2.844	KZ4	0.00	≤ 1	CS100) Zanedbatelné vnitřní síly
	1024	3.412	KZ100	0.12	≤ 1	CS101) Posouzení průřezu - tah podle 6.2.3
	1029	2.844	KZ77	0.07	≤ 1	CS102) Posouzení průřezu - tlak podle 6.2.4
	1024	1.137	KZ94	0.14	≤ 1	CS111) Posouzení průřezu - ohyb okolo y podle 6.2.5 - třída 1 nebo 2
	1026	0.000	KZ54	0.04	≤ 1	CS121) Posouzení průřezu - smyk ve směru z podle 6.2.6
	1024	0.000	ZS1	0.00	≤ 1	CS126) Posouzení průřezu - smykové boulení podle 6.2.6(6)
	1024	1.137	KZ94	0.14	≤ 1	CS141) Posouzení průřezu - ohyb a smyk podle 6.2.5 a 6.2.8
	1027	1.137	KZ92	0.02	≤ 1	CS161) Posouzení průřezu - dvousý ohyb a smyk podle 6.2.6, 6.2.7 a 6.2.9
	1026	0.569	KZ54	0.16	≤ 1	CS181) Posouzení průřezu - ohyb, smyk a osová síla podle 6.2.9.1
	1024	1.706	KZ55	0.00	≤ 1	CS201) Posouzení průřezu - ohyb okolo z, smyk a osová síla podle 6.2.9.1
	1024	0.569	KZ88	0.02	≤ 1	CS221) Posouzení průřezu - dvousý ohyb, smyk a osová síla podle 6.2.10 a 6.2.9
	1026	3.412	KZ35	0.06	≤ 1	ST301) Posouzení stability - vzpěr okolo y podle 6.3.1.1 a 6.3.1.2(4)
	1029	3.412	KZ77	0.12	≤ 1	ST302) Posouzení stability - vzpěr okolo y podle 6.3.1.1 a 6.3.1.2
	1028	3.412	KZ77	0.08	≤ 1	ST321) Posouzení stability - vzpěr zkroucením podle 6.3.1.4 a 6.3.1.2(4)
	1029	3.412	KZ77	0.10	≤ 1	ST322) Posouzení stability - vzpěr zkroucením podle 6.3.1.4 a 6.3.1.2
	1025	1.137	KZ54	0.35	≤ 1	ST331) Posouzení stability - klopení podle 6.3.2.1 a 6.3.2.3 - I průřez
	1026	0.000	KZ54	0.41	≤ 1	ST361) Posouzení stability - ohyb okolo y a tlak podle 6.3.3, metoda 2
	1025	0.000	KZ73	0.18	≤ 1	ST364) Posouzení stability - ohyb a tlak podle 6.3.3, metoda 2
	1024	0.000	KZ106	0.00	≤ 1	SE400) Použitelnost - malé, resp. velmi malé deformace
	1026	1.137	KZ159	0.31	≤ 1	SE401) Použitelnost - kombinace zatížení 'charakteristická' - směr z
	1027	1.706	KZ159	0.03	≤ 1	SE406) Použitelnost - kombinace zatížení 'charakteristická' - směr y

## 1.2 MATERIÁLY

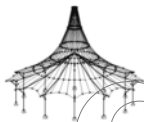
Materiál - č.	Označení materiálu	Modul pruž. E [MPa]	Smykový modul G [MPa]	Poissonův součinitel ν [-]	Mez kluzu f <sub>yk</sub> [MPa]	Max. tloušťka dílce t [mm]
1	Ocel S 355   DIN EN 1993-1-1:2010-12	210000.000	80769.200	0.300	355.000	40.0
	Baustahl S 235				335.000	80.0
					315.000	100.0
					295.000	150.0
					285.000	200.0
					275.000	250.0

## 1.3 PRŮŘEZY

Průř. č.	Materiál - č.	Označení průřezu	Typ průřezu	Max. návrhové využití	Komentář
7	1	IPE 80	I-profil válcov.	0.70	

## 2.1 POSOUZENÍ PO ZATĚŽOVACÍCH STAVECH

ZS/KZ/KV	Označení ZS nebo KZ/KV	Prut č.	Místo x [m]	Návrh	Návrh č.	Označení
	<b>Posouzení mezního stavu únosnosti</b>					
ZS1	Vlastní tíha	1575	1.349	0.01	≤ 1	CS181) TD
ZS2	Ostatní stálé	1576	1.124	0.05	≤ 1	ST331) TD
ZS3	Užitné plné	1587	0.000	0.01	≤ 1	CS101) TD
ZS4	Užitné poloviční1	1587	0.000	0.01	≤ 1	CS101) TD
ZS5	Užitné poloviční2	1599	0.000	0.01	≤ 1	CS101) TD
ZS6	Sníh plný	1601	0.000	0.18	≤ 1	ST364) TD
ZS7	Sníh poloviční 1	1589	0.562	0.15	≤ 1	ST364) TD
ZS8	Sníh poloviční 2	1607	0.562	0.15	≤ 1	ST364) TD
ZS9	Vítr ve směru X + tlak na přístřešek	1577	2.248	0.25	≤ 1	ST364) TD
ZS10	Vítr ve směru X + sání na přístřešek	1599	0.674	0.67	≤ 1	ST364) TD
KZ1	1.35*ZS1 + 1.35*ZS2	1595	1.124	0.15	≤ 1	ST364) TD
KZ2	1.35*ZS1 + 1.35*ZS2 + 1.5*ZS3	1578	1.124	0.11	≤ 1	ST364) TD
KZ3	1.35*ZS1 + 1.35*ZS2 + 1.5*ZS4	1595	1.124	0.14	≤ 1	ST364) TD
KZ4	1.35*ZS1 + 1.35*ZS2 + 1.5*ZS5	1601	1.124	0.14	≤ 1	ST364) TD
KZ5	1.35*ZS1 + 1.35*ZS2 + 1.5*ZS3 + 0.75*ZS6	1595	1.124	0.27	≤ 1	ST364) TD
KZ6	1.35*ZS1 + 1.35*ZS2 + 1.5*ZS3 + 0.75*ZS7	1589	1.124	0.25	≤ 1	ST364) TD
KZ7	1.35*ZS1 + 1.35*ZS2 + 1.5*ZS3 + 0.75*ZS8	1607	1.124	0.25	≤ 1	ST364) TD
KZ8	1.35*ZS1 + 1.35*ZS2 + 1.5*ZS4 + 0.75*ZS6	1595	1.124	0.28	≤ 1	ST364) TD
KZ9	1.35*ZS1 + 1.35*ZS2 + 1.5*ZS4 + 0.75*ZS7	1589	1.124	0.25	≤ 1	ST364) TD
KZ10	1.35*ZS1 + 1.35*ZS2 + 1.5*ZS4 + 0.75*ZS8	1607	1.124	0.25	≤ 1	ST364) TD
KZ11	1.35*ZS1 + 1.35*ZS2 + 1.5*ZS5 + 0.75*ZS6	1601	1.124	0.27	≤ 1	ST364) TD
KZ12	1.35*ZS1 + 1.35*ZS2 + 1.5*ZS5 + 0.75*ZS7	1589	1.124	0.25	≤ 1	ST364) TD
KZ13	1.35*ZS1 + 1.35*ZS2 + 1.5*ZS5 + 0.75*ZS8	1607	1.124	0.25	≤ 1	ST364) TD
KZ14	1.35*ZS1 + 1.35*ZS2 + 1.5*ZS3 + 0.75*ZS6 + 0.9*ZS9	1577	1.124	0.51	≤ 1	ST364) TD
KZ15	1.35*ZS1 + 1.35*ZS2 + 1.5*ZS3 + 0.75*ZS6 + 0.9*ZS10	1582	0.562	0.07	≤ 1	ST363) TD
KZ16	1.35*ZS1 + 1.35*ZS2 + 1.5*ZS3 + 0.75*ZS7 +	1595	1.124	0.47	≤ 1	ST364) TD



Projekt:

Model: Varianta B

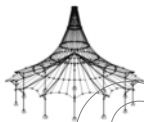
Datum:

08.01.2019

## 2.1 POSOUZENÍ PO ZATĚŽOVACÍCH STAVECH

ZS/KZ/ KV	Označení ZS nebo KZ/KV	Přut č.	Místo x [m]	Návrh		Návrh č.	Označení
KZ17	+ 0.9*ZS9 1.35*ZS1 + 1.35*ZS2 + 1.5*ZS3 + 0.75*ZS7 + 0.9*ZS10	1582	0.562	0.07	≤ 1	ST363)	TD
KZ18	1.35*ZS1 + 1.35*ZS2 + 1.5*ZS3 + 0.75*ZS8 + 0.9*ZS9	1577	1.124	0.48	≤ 1	ST364)	TD
KZ19	1.35*ZS1 + 1.35*ZS2 + 1.5*ZS3 + 0.75*ZS8 + 0.9*ZS10	1606	0.562	0.07	≤ 1	ST363)	TD
KZ20	1.35*ZS1 + 1.35*ZS2 + 1.5*ZS4 + 0.75*ZS6 + 0.9*ZS9	1601	1.124	0.51	≤ 1	ST364)	TD
KZ21	1.35*ZS1 + 1.35*ZS2 + 1.5*ZS4 + 0.75*ZS6 + 0.9*ZS10	1582	0.562	0.07	≤ 1	ST363)	TD
KZ22	1.35*ZS1 + 1.35*ZS2 + 1.5*ZS4 + 0.75*ZS7 + 0.9*ZS9	1595	1.124	0.48	≤ 1	ST364)	TD
KZ23	1.35*ZS1 + 1.35*ZS2 + 1.5*ZS4 + 0.75*ZS7 + 0.9*ZS10	1582	0.562	0.07	≤ 1	ST363)	TD
KZ24	1.35*ZS1 + 1.35*ZS2 + 1.5*ZS4 + 0.75*ZS8 + 0.9*ZS9	1601	1.124	0.49	≤ 1	ST364)	TD
KZ25	1.35*ZS1 + 1.35*ZS2 + 1.5*ZS4 + 0.75*ZS8 + 0.9*ZS10	1606	0.562	0.07	≤ 1	ST363)	TD
KZ26	1.35*ZS1 + 1.35*ZS2 + 1.5*ZS5 + 0.75*ZS6 + 0.9*ZS9	1577	1.124	0.51	≤ 1	ST364)	TD
KZ27	1.35*ZS1 + 1.35*ZS2 + 1.5*ZS5 + 0.75*ZS6 + 0.9*ZS10	1582	0.562	0.07	≤ 1	ST363)	TD
KZ28	1.35*ZS1 + 1.35*ZS2 + 1.5*ZS5 + 0.75*ZS7 + 0.9*ZS9	1595	1.124	0.48	≤ 1	ST364)	TD
KZ29	1.35*ZS1 + 1.35*ZS2 + 1.5*ZS5 + 0.75*ZS7 + 0.9*ZS10	1582	0.562	0.07	≤ 1	ST363)	TD
KZ30	1.35*ZS1 + 1.35*ZS2 + 1.5*ZS5 + 0.75*ZS8 + 0.9*ZS9	1577	1.124	0.49	≤ 1	ST364)	TD
KZ31	1.35*ZS1 + 1.35*ZS2 + 1.5*ZS5 + 0.75*ZS8 + 0.9*ZS10	1606	0.562	0.07	≤ 1	ST363)	TD
KZ32	1.35*ZS1 + 1.35*ZS2 + 1.5*ZS3 + 0.9*ZS9	1601	1.124	0.36	≤ 1	ST364)	TD
KZ33	1.35*ZS1 + 1.35*ZS2 + 1.5*ZS3 + 0.9*ZS10	1588	0.562	0.09	≤ 1	ST363)	TD
KZ34	1.35*ZS1 + 1.35*ZS2 + 1.5*ZS4 + 0.9*ZS9	1601	1.124	0.37	≤ 1	ST364)	TD
KZ35	1.35*ZS1 + 1.35*ZS2 + 1.5*ZS4 + 0.9*ZS10	1588	0.562	0.09	≤ 1	ST363)	TD
KZ36	1.35*ZS1 + 1.35*ZS2 + 1.5*ZS5 + 0.9*ZS9	1577	1.124	0.37	≤ 1	ST364)	TD
KZ37	1.35*ZS1 + 1.35*ZS2 + 1.5*ZS5 + 0.9*ZS10	1588	0.562	0.09	≤ 1	ST363)	TD
KZ38	1.35*ZS1 + 1.35*ZS2 + 1.5*ZS6	1595	1.124	0.43	≤ 1	ST364)	TD
KZ39	1.35*ZS1 + 1.35*ZS2 + 1.5*ZS7	1589	1.124	0.38	≤ 1	ST364)	TD
KZ40	1.35*ZS1 + 1.35*ZS2 + 1.5*ZS8	1607	1.124	0.38	≤ 1	ST364)	TD
KZ41	1.35*ZS1 + 1.35*ZS2 + 1.05*ZS3 + 1.5*ZS6	1595	1.124	0.41	≤ 1	ST364)	TD
KZ42	1.35*ZS1 + 1.35*ZS2 + 1.05*ZS3 + 1.5*ZS7	1589	1.124	0.37	≤ 1	ST364)	TD
KZ43	1.35*ZS1 + 1.35*ZS2 + 1.05*ZS3 + 1.5*ZS8	1607	1.124	0.37	≤ 1	ST364)	TD
KZ44	1.35*ZS1 + 1.35*ZS2 + 1.05*ZS4 + 1.5*ZS6	1595	1.124	0.42	≤ 1	ST364)	TD
KZ45	1.35*ZS1 + 1.35*ZS2 + 1.05*ZS4 + 1.5*ZS7	1589	1.124	0.37	≤ 1	ST364)	TD
KZ46	1.35*ZS1 + 1.35*ZS2 + 1.05*ZS4 + 1.5*ZS8	1607	1.124	0.37	≤ 1	ST364)	TD
KZ47	1.35*ZS1 + 1.35*ZS2 + 1.05*ZS5 + 1.5*ZS6	1601	1.124	0.42	≤ 1	ST364)	TD
KZ48	1.35*ZS1 + 1.35*ZS2 + 1.05*ZS5 + 1.5*ZS7	1589	1.124	0.37	≤ 1	ST364)	TD
KZ49	1.35*ZS1 + 1.35*ZS2 + 1.05*ZS5 + 1.5*ZS8	1607	1.124	0.37	≤ 1	ST364)	TD
KZ50	1.35*ZS1 + 1.35*ZS2 + 1.05*ZS3 + 1.5*ZS6 + 0.9*ZS9	1577	1.124	0.66	≤ 1	ST364)	TD
KZ51	1.35*ZS1 + 1.35*ZS2 + 1.05*ZS3 + 1.5*ZS6 + 0.9*ZS10	1607	1.124	0.23	≤ 1	ST364)	TD
KZ52	1.35*ZS1 + 1.35*ZS2 + 1.05*ZS3 + 1.5*ZS7 + 0.9*ZS9	1595	1.124	0.60	≤ 1	ST364)	TD
KZ53	1.35*ZS1 + 1.35*ZS2 + 1.05*ZS3 + 1.5*ZS7 + 0.9*ZS10	1582	0.562	0.15	≤ 1	ST363)	TD
KZ54	1.35*ZS1 + 1.35*ZS2 + 1.05*ZS3 + 1.5*ZS8 + 0.9*ZS9	1577	1.124	0.61	≤ 1	ST364)	TD
KZ55	1.35*ZS1 + 1.35*ZS2 + 1.05*ZS3 + 1.5*ZS8 + 0.9*ZS10	1606	0.562	0.15	≤ 1	ST363)	TD
KZ56	1.35*ZS1 + 1.35*ZS2 + 1.05*ZS4 + 1.5*ZS6 + 0.9*ZS9	1577	1.124	0.67	≤ 1	ST364)	TD
KZ57	1.35*ZS1 + 1.35*ZS2 + 1.05*ZS4 + 1.5*ZS6 + 0.9*ZS10	1607	1.124	0.23	≤ 1	ST364)	TD
KZ58	1.35*ZS1 + 1.35*ZS2 + 1.05*ZS4 + 1.5*ZS7 + 0.9*ZS9	1595	1.124	0.60	≤ 1	ST364)	TD
KZ59	1.35*ZS1 + 1.35*ZS2 + 1.05*ZS4 + 1.5*ZS7 + 0.9*ZS10	1582	0.562	0.15	≤ 1	ST363)	TD
KZ60	1.35*ZS1 + 1.35*ZS2 + 1.05*ZS4 + 1.5*ZS8 + 0.9*ZS9	1577	1.124	0.61	≤ 1	ST364)	TD
KZ61	1.35*ZS1 + 1.35*ZS2 + 1.05*ZS4 + 1.5*ZS8 + 0.9*ZS10	1606	0.562	0.15	≤ 1	ST363)	TD
KZ62	1.35*ZS1 + 1.35*ZS2 + 1.05*ZS5 + 1.5*ZS6 + 0.9*ZS9	1577	1.124	0.66	≤ 1	ST364)	TD
KZ63	1.35*ZS1 + 1.35*ZS2 + 1.05*ZS5 + 1.5*ZS6 + 0.9*ZS10	1607	1.124	0.23	≤ 1	ST364)	TD
KZ64	1.35*ZS1 + 1.35*ZS2 + 1.05*ZS5 + 1.5*ZS7 + 0.9*ZS9	1595	1.124	0.60	≤ 1	ST364)	TD
KZ65	1.35*ZS1 + 1.35*ZS2 + 1.05*ZS5 + 1.5*ZS7 + 0.9*ZS10	1582	0.562	0.15	≤ 1	ST363)	TD
KZ66	1.35*ZS1 + 1.35*ZS2 + 1.05*ZS5 + 1.5*ZS8 + 0.9*ZS9	1577	1.124	0.61	≤ 1	ST364)	TD
KZ67	1.35*ZS1 + 1.35*ZS2 + 1.05*ZS5 + 1.5*ZS8 + 0.9*ZS10	1606	0.562	0.15	≤ 1	ST363)	TD
KZ68	1.35*ZS1 + 1.35*ZS2 + 1.5*ZS6 + 0.9*ZS9	1577	1.124	0.68	≤ 1	ST364)	TD
KZ69	1.35*ZS1 + 1.35*ZS2 + 1.5*ZS6 + 0.9*ZS10	1607	1.124	0.24	≤ 1	ST364)	TD
KZ70	1.35*ZS1 + 1.35*ZS2 + 1.5*ZS7 + 0.9*ZS9	1595	1.124	0.61	≤ 1	ST364)	TD
KZ71	1.35*ZS1 + 1.35*ZS2 + 1.5*ZS7 + 0.9*ZS10	1582	2.810	0.16	≤ 1	ST363)	TD
KZ72	1.35*ZS1 + 1.35*ZS2 + 1.5*ZS8 + 0.9*ZS9	1577	1.124	0.62	≤ 1	ST364)	TD
KZ73	1.35*ZS1 + 1.35*ZS2 + 1.5*ZS8 + 0.9*ZS10	1606	0.000	0.15	≤ 1	ST363)	TD
KZ74	1.35*ZS1 + 1.35*ZS2 + 1.5*ZS9	1577	1.124	0.55	≤ 1	ST364)	TD
KZ75	1.35*ZS1 + 1.35*ZS2 + 1.5*ZS10	1599	1.349	0.58	≤ 1	ST364)	TD
KZ76	1.35*ZS1 + 1.35*ZS2 + 1.05*ZS3 + 1.5*ZS9	1577	1.124	0.53	≤ 1	ST364)	TD





Projekt:

Model: Varianta B

Datum:

08.01.2019

## 2.1 POSOUZENÍ PO ZATĚŽOVACÍCH STAVECH

ZS/KZ/ KV	Označení ZS nebo KZ/KV	Pрут č.	Místo x [m]	Návrh		Návrh č.	Označení
KZ77	1.35*ZS1 + 1.35*ZS2 + 1.05*ZS3 + 1.5*ZS10	1599	1.349	0.22	≤ 1	ST363	TD
KZ78	1.35*ZS1 + 1.35*ZS2 + 1.05*ZS4 + 1.5*ZS9	1577	1.124	0.54	≤ 1	ST364	TD
KZ79	1.35*ZS1 + 1.35*ZS2 + 1.05*ZS4 + 1.5*ZS10	1599	1.349	0.23	≤ 1	ST363	TD
KZ80	1.35*ZS1 + 1.35*ZS2 + 1.05*ZS5 + 1.5*ZS9	1577	1.124	0.54	≤ 1	ST364	TD
KZ81	1.35*ZS1 + 1.35*ZS2 + 1.05*ZS5 + 1.5*ZS10	1599	1.349	0.23	≤ 1	ST363	TD
KZ82	1.35*ZS1 + 1.35*ZS2 + 1.05*ZS3 + 0.75*ZS6 + 1.5*ZS9	1577	1.124	0.69	≤ 1	ST364	TD
KZ83	1.35*ZS1 + 1.35*ZS2 + 1.05*ZS3 + 0.75*ZS6 + 1.5*ZS10	1599	0.674	0.14	≤ 1	ST363	TD
KZ84	1.35*ZS1 + 1.35*ZS2 + 1.05*ZS3 + 0.75*ZS7 + 1.5*ZS9	1595	1.405	0.64	≤ 1	ST364	TD
KZ85	1.35*ZS1 + 1.35*ZS2 + 1.05*ZS3 + 0.75*ZS7 + 1.5*ZS10	1599	0.674	0.18	≤ 1	ST363	TD
KZ86	1.35*ZS1 + 1.35*ZS2 + 1.05*ZS3 + 0.75*ZS8 + 1.5*ZS9	1577	1.124	0.66	≤ 1	ST364	TD
KZ87	1.35*ZS1 + 1.35*ZS2 + 1.05*ZS3 + 0.75*ZS8 + 1.5*ZS10	1588	0.562	0.17	≤ 1	ST363	TD
KZ88	1.35*ZS1 + 1.35*ZS2 + 1.05*ZS4 + 0.75*ZS6 + 1.5*ZS9	1577	1.124	0.69	≤ 1	ST364	TD
KZ89	1.35*ZS1 + 1.35*ZS2 + 1.05*ZS4 + 0.75*ZS6 + 1.5*ZS10	1599	0.674	0.15	≤ 1	ST363	TD
KZ90	1.35*ZS1 + 1.35*ZS2 + 1.05*ZS4 + 0.75*ZS7 + 1.5*ZS9	1595	1.405	0.65	≤ 1	ST364	TD
KZ91	1.35*ZS1 + 1.35*ZS2 + 1.05*ZS4 + 0.75*ZS7 + 1.5*ZS10	1599	0.674	0.18	≤ 1	ST363	TD
KZ92	1.35*ZS1 + 1.35*ZS2 + 1.05*ZS4 + 0.75*ZS8 + 1.5*ZS9	1577	1.124	0.66	≤ 1	ST364	TD
KZ93	1.35*ZS1 + 1.35*ZS2 + 1.05*ZS4 + 0.75*ZS8 + 1.5*ZS10	1587	0.674	0.18	≤ 1	ST363	TD
KZ94	1.35*ZS1 + 1.35*ZS2 + 1.05*ZS5 + 0.75*ZS6 + 1.5*ZS9	1577	1.124	0.69	≤ 1	ST364	TD
KZ95	1.35*ZS1 + 1.35*ZS2 + 1.05*ZS5 + 0.75*ZS6 + 1.5*ZS10	1599	0.674	0.15	≤ 1	ST363	TD
KZ96	1.35*ZS1 + 1.35*ZS2 + 1.05*ZS5 + 0.75*ZS7 + 1.5*ZS9	1595	1.405	0.65	≤ 1	ST364	TD
KZ97	1.35*ZS1 + 1.35*ZS2 + 1.05*ZS5 + 0.75*ZS7 + 1.5*ZS10	1599	0.674	0.18	≤ 1	ST363	TD
KZ98	1.35*ZS1 + 1.35*ZS2 + 1.05*ZS5 + 0.75*ZS8 + 1.5*ZS9	1577	1.124	0.66	≤ 1	ST364	TD
KZ99	1.35*ZS1 + 1.35*ZS2 + 1.05*ZS5 + 0.75*ZS8 + 1.5*ZS10	1587	0.674	0.18	≤ 1	ST363	TD
KZ100	1.35*ZS1 + 1.35*ZS2 + 0.75*ZS6 + 1.5*ZS9	1577	1.124	0.70	≤ 1	ST364	TD
KZ101	1.35*ZS1 + 1.35*ZS2 + 0.75*ZS6 + 1.5*ZS10	1599	1.349	0.17	≤ 1	ST363	TD
KZ102	1.35*ZS1 + 1.35*ZS2 + 0.75*ZS7 + 1.5*ZS9	1595	1.405	0.66	≤ 1	ST364	TD
KZ103	1.35*ZS1 + 1.35*ZS2 + 0.75*ZS7 + 1.5*ZS10	1599	1.349	0.21	≤ 1	ST363	TD
KZ104	1.35*ZS1 + 1.35*ZS2 + 0.75*ZS8 + 1.5*ZS9	1577	1.124	0.67	≤ 1	ST364	TD
KZ105	1.35*ZS1 + 1.35*ZS2 + 0.75*ZS8 + 1.5*ZS10	1587	1.349	0.20	≤ 1	ST363	TD
KV1	MSÚ (STR/GEO) - stálá / přechodná - rovn. 6.10	1577	1.124	0.70	≤ 1	ST364	TD
Posouzení mezního stavu použitelnosti							
KZ106	ZS1 + ZS2	1575	2.023	0.12	≤ 1	SE401	PC
KZ107	ZS1 + ZS2 + ZS3	1575	2.023	0.11	≤ 1	SE401	PC
KZ108	ZS1 + ZS2 + ZS4	1575	1.349	0.11	≤ 1	SE401	PC
KZ109	ZS1 + ZS2 + ZS5	1575	2.023	0.11	≤ 1	SE401	PC
KZ110	ZS1 + ZS2 + ZS3 + 0.5*ZS6	1576	1.686	0.21	≤ 1	SE401	PC
KZ111	ZS1 + ZS2 + ZS3 + 0.5*ZS7	1582	1.686	0.21	≤ 1	SE401	PC
KZ112	ZS1 + ZS2 + ZS3 + 0.5*ZS8	1576	1.686	0.21	≤ 1	SE401	PC
KZ113	ZS1 + ZS2 + ZS4 + 0.5*ZS6	1576	1.124	0.21	≤ 1	SE401	PC
KZ114	ZS1 + ZS2 + ZS4 + 0.5*ZS7	1582	1.124	0.21	≤ 1	SE401	PC
KZ115	ZS1 + ZS2 + ZS4 + 0.5*ZS8	1576	1.124	0.21	≤ 1	SE401	PC
KZ116	ZS1 + ZS2 + ZS5 + 0.5*ZS6	1576	1.686	0.21	≤ 1	SE401	PC
KZ117	ZS1 + ZS2 + ZS5 + 0.5*ZS7	1588	1.686	0.21	≤ 1	SE401	PC
KZ118	ZS1 + ZS2 + ZS5 + 0.5*ZS8	1606	1.686	0.21	≤ 1	SE401	PC
KZ119	ZS1 + ZS2 + ZS3 + 0.5*ZS6 + 0.6*ZS9	1576	1.686	0.39	≤ 1	SE401	PC
KZ120	ZS1 + ZS2 + ZS3 + 0.5*ZS6 + 0.6*ZS10	1588	1.686	0.27	≤ 1	SE406	PC
KZ121	ZS1 + ZS2 + ZS3 + 0.5*ZS7 + 0.6*ZS9	1582	1.686	0.36	≤ 1	SE401	PC
KZ122	ZS1 + ZS2 + ZS3 + 0.5*ZS7 + 0.6*ZS10	1588	1.124	0.27	≤ 1	SE406	PC
KZ123	ZS1 + ZS2 + ZS3 + 0.5*ZS8 + 0.6*ZS9	1576	1.686	0.39	≤ 1	SE401	PC
KZ124	ZS1 + ZS2 + ZS3 + 0.5*ZS8 + 0.6*ZS10	1588	1.686	0.27	≤ 1	SE406	PC
KZ125	ZS1 + ZS2 + ZS4 + 0.5*ZS6 + 0.6*ZS9	1576	1.124	0.39	≤ 1	SE401	PC
KZ126	ZS1 + ZS2 + ZS4 + 0.5*ZS6 + 0.6*ZS10	1588	1.124	0.27	≤ 1	SE406	PC
KZ127	ZS1 + ZS2 + ZS4 + 0.5*ZS7 + 0.6*ZS9	1582	1.124	0.36	≤ 1	SE401	PC
KZ128	ZS1 + ZS2 + ZS4 + 0.5*ZS7 + 0.6*ZS10	1588	1.124	0.27	≤ 1	SE406	PC
KZ129	ZS1 + ZS2 + ZS4 + 0.5*ZS8 + 0.6*ZS9	1576	1.124	0.39	≤ 1	SE401	PC
KZ130	ZS1 + ZS2 + ZS4 + 0.5*ZS8 + 0.6*ZS10	1588	1.124	0.27	≤ 1	SE406	PC
KZ131	ZS1 + ZS2 + ZS5 + 0.5*ZS6 + 0.6*ZS9	1600	1.686	0.39	≤ 1	SE401	PC
KZ132	ZS1 + ZS2 + ZS5 + 0.5*ZS6 + 0.6*ZS10	1588	1.686	0.27	≤ 1	SE406	PC
KZ133	ZS1 + ZS2 + ZS5 + 0.5*ZS7 + 0.6*ZS9	1582	1.686	0.36	≤ 1	SE401	PC
KZ134	ZS1 + ZS2 + ZS5 + 0.5*ZS7 + 0.6*ZS10	1588	1.124	0.27	≤ 1	SE406	PC
KZ135	ZS1 + ZS2 + ZS5 + 0.5*ZS8 + 0.6*ZS9	1600	1.686	0.39	≤ 1	SE401	PC
KZ136	ZS1 + ZS2 + ZS5 + 0.5*ZS8 + 0.6*ZS10	1588	1.686	0.27	≤ 1	SE406	PC
KZ137	ZS1 + ZS2 + ZS3 + 0.6*ZS9	1599	1.349	0.31	≤ 1	SE401	PC
KZ138	ZS1 + ZS2 + ZS3 + 0.6*ZS10	1588	1.686	0.26	≤ 1	SE406	PC
KZ139	ZS1 + ZS2 + ZS4 + 0.6*ZS9	1599	1.349	0.32	≤ 1	SE401	PC
KZ140	ZS1 + ZS2 + ZS4 + 0.6*ZS10	1588	1.124	0.27	≤ 1	SE406	PC
KZ141	ZS1 + ZS2 + ZS5 + 0.6*ZS9	1599	1.349	0.32	≤ 1	SE401	PC
KZ142	ZS1 + ZS2 + ZS5 + 0.6*ZS10	1588	1.124	0.27	≤ 1	SE406	PC
KZ143	ZS1 + ZS2 + ZS6	1576	1.124	0.31	≤ 1	SE401	PC
KZ144	ZS1 + ZS2 + ZS7	1588	1.124	0.31	≤ 1	SE401	PC
KZ145	ZS1 + ZS2 + ZS8	1606	1.124	0.31	≤ 1	SE401	PC
KZ146	ZS1 + ZS2 + 0.7*ZS3 + ZS6	1576	1.686	0.31	≤ 1	SE401	PC
KZ147	ZS1 + ZS2 + 0.7*ZS3 + ZS7	1588	1.124	0.31	≤ 1	SE401	PC
KZ148	ZS1 + ZS2 + 0.7*ZS3 + ZS8	1606	1.686	0.31	≤ 1	SE401	PC

Projekt:

Model: Varianta B

Datum: 08.01.2019

## 2.1 POSOUZENÍ PO ZATĚŽOVACÍCH STAVECH

ZS/KZ/ KV	Označení ZS nebo KZ/KV	Přut č.	Místo x [m]	Návrh		Návrh č.	Označení
KZ149	ZS1 + ZS2 + 0.7*ZS4 + ZS6	1576	1.124	0.31	≤ 1	SE401)	PC
KZ150	ZS1 + ZS2 + 0.7*ZS4 + ZS7	1588	1.686	0.31	≤ 1	SE401)	PC
KZ151	ZS1 + ZS2 + 0.7*ZS4 + ZS8	1606	1.124	0.31	≤ 1	SE401)	PC
KZ152	ZS1 + ZS2 + 0.7*ZS5 + ZS6	1582	1.686	0.31	≤ 1	SE401)	PC
KZ153	ZS1 + ZS2 + 0.7*ZS5 + ZS7	1588	1.124	0.31	≤ 1	SE401)	PC
KZ154	ZS1 + ZS2 + 0.7*ZS5 + ZS8	1606	1.686	0.31	≤ 1	SE401)	PC
KZ155	ZS1 + ZS2 + 0.7*ZS3 + ZS6 + 0.6*ZS9	1576	1.686	0.49	≤ 1	SE401)	PC
KZ156	ZS1 + ZS2 + 0.7*ZS3 + ZS6 + 0.6*ZS10	1588	1.686	0.28	≤ 1	SE406)	PC
KZ157	ZS1 + ZS2 + 0.7*ZS3 + ZS7 + 0.6*ZS9	1582	1.124	0.45	≤ 1	SE401)	PC
KZ158	ZS1 + ZS2 + 0.7*ZS3 + ZS7 + 0.6*ZS10	1588	1.686	0.27	≤ 1	SE406)	PC
KZ159	ZS1 + ZS2 + 0.7*ZS3 + ZS8 + 0.6*ZS9	1576	1.686	0.49	≤ 1	SE401)	PC
KZ160	ZS1 + ZS2 + 0.7*ZS3 + ZS8 + 0.6*ZS10	1588	1.686	0.27	≤ 1	SE406)	PC
KZ161	ZS1 + ZS2 + 0.7*ZS4 + ZS6 + 0.6*ZS9	1576	1.124	0.49	≤ 1	SE401)	PC
KZ162	ZS1 + ZS2 + 0.7*ZS4 + ZS6 + 0.6*ZS10	1588	1.124	0.28	≤ 1	SE406)	PC
KZ163	ZS1 + ZS2 + 0.7*ZS4 + ZS7 + 0.6*ZS9	1582	1.124	0.46	≤ 1	SE401)	PC
KZ164	ZS1 + ZS2 + 0.7*ZS4 + ZS7 + 0.6*ZS10	1588	1.124	0.28	≤ 1	SE406)	PC
KZ165	ZS1 + ZS2 + 0.7*ZS4 + ZS8 + 0.6*ZS9	1576	1.124	0.49	≤ 1	SE401)	PC
KZ166	ZS1 + ZS2 + 0.7*ZS4 + ZS8 + 0.6*ZS10	1588	1.124	0.28	≤ 1	SE406)	PC
KZ167	ZS1 + ZS2 + 0.7*ZS5 + ZS6 + 0.6*ZS9	1600	1.124	0.49	≤ 1	SE401)	PC
KZ168	ZS1 + ZS2 + 0.7*ZS5 + ZS6 + 0.6*ZS10	1588	1.686	0.28	≤ 1	SE406)	PC
KZ169	ZS1 + ZS2 + 0.7*ZS5 + ZS7 + 0.6*ZS9	1582	1.686	0.46	≤ 1	SE401)	PC
KZ170	ZS1 + ZS2 + 0.7*ZS5 + ZS7 + 0.6*ZS10	1588	1.124	0.28	≤ 1	SE406)	PC
KZ171	ZS1 + ZS2 + 0.7*ZS5 + ZS8 + 0.6*ZS9	1600	1.686	0.49	≤ 1	SE401)	PC
KZ172	ZS1 + ZS2 + 0.7*ZS5 + ZS8 + 0.6*ZS10	1588	1.686	0.28	≤ 1	SE406)	PC
KZ173	ZS1 + ZS2 + ZS6 + 0.6*ZS9	1600	1.124	0.49	≤ 1	SE401)	PC
KZ174	ZS1 + ZS2 + ZS6 + 0.6*ZS10	1588	1.124	0.29	≤ 1	SE406)	PC
KZ175	ZS1 + ZS2 + ZS7 + 0.6*ZS9	1582	1.124	0.46	≤ 1	SE401)	PC
KZ176	ZS1 + ZS2 + ZS7 + 0.6*ZS10	1588	1.124	0.29	≤ 1	SE406)	PC
KZ177	ZS1 + ZS2 + ZS8 + 0.6*ZS9	1600	1.686	0.49	≤ 1	SE401)	PC
KZ178	ZS1 + ZS2 + ZS8 + 0.6*ZS10	1588	1.124	0.29	≤ 1	SE406)	PC
KZ179	ZS1 + ZS2 + ZS9	1600	1.124	0.55	≤ 1	SE406)	PC
KZ180	ZS1 + ZS2 + ZS10	1599	1.349	0.60	≤ 1	SE406)	PC
KZ181	ZS1 + ZS2 + 0.7*ZS3 + ZS9	1600	1.124	0.52	≤ 1	SE406)	PC
KZ182	ZS1 + ZS2 + 0.7*ZS3 + ZS10	1599	2.023	0.51	≤ 1	SE406)	PC
KZ183	ZS1 + ZS2 + 0.7*ZS4 + ZS9	1576	1.686	0.53	≤ 1	SE406)	PC
KZ184	ZS1 + ZS2 + 0.7*ZS4 + ZS10	1599	1.349	0.54	≤ 1	SE406)	PC
KZ185	ZS1 + ZS2 + 0.7*ZS5 + ZS9	1600	1.124	0.53	≤ 1	SE406)	PC
KZ186	ZS1 + ZS2 + 0.7*ZS5 + ZS10	1599	1.349	0.53	≤ 1	SE406)	PC
KZ187	ZS1 + ZS2 + 0.7*ZS3 + 0.5*ZS6 + ZS9	1576	1.686	0.53	≤ 1	SE406)	PC
KZ188	ZS1 + ZS2 + 0.7*ZS3 + 0.5*ZS6 + ZS10	1599	2.023	0.45	≤ 1	SE406)	PC
KZ189	ZS1 + ZS2 + 0.7*ZS3 + 0.5*ZS7 + ZS9	1576	1.686	0.53	≤ 1	SE406)	PC
KZ190	ZS1 + ZS2 + 0.7*ZS3 + 0.5*ZS7 + ZS10	1599	1.349	0.47	≤ 1	SE406)	PC
KZ191	ZS1 + ZS2 + 0.7*ZS3 + 0.5*ZS8 + ZS9	1600	1.686	0.53	≤ 1	SE406)	PC
KZ192	ZS1 + ZS2 + 0.7*ZS3 + 0.5*ZS8 + ZS10	1599	1.349	0.46	≤ 1	SE406)	PC
KZ193	ZS1 + ZS2 + 0.7*ZS4 + 0.5*ZS6 + ZS9	1576	1.124	0.54	≤ 1	SE406)	PC
KZ194	ZS1 + ZS2 + 0.7*ZS4 + 0.5*ZS6 + ZS10	1599	2.023	0.47	≤ 1	SE406)	PC
KZ195	ZS1 + ZS2 + 0.7*ZS4 + 0.5*ZS7 + ZS9	1576	1.686	0.54	≤ 1	SE406)	PC
KZ196	ZS1 + ZS2 + 0.7*ZS4 + 0.5*ZS7 + ZS10	1599	1.349	0.49	≤ 1	SE406)	PC
KZ197	ZS1 + ZS2 + 0.7*ZS4 + 0.5*ZS8 + ZS9	1576	1.124	0.54	≤ 1	SE406)	PC
KZ198	ZS1 + ZS2 + 0.7*ZS4 + 0.5*ZS8 + ZS10	1599	2.023	0.49	≤ 1	SE406)	PC
KZ199	ZS1 + ZS2 + 0.7*ZS5 + 0.5*ZS6 + ZS9	1600	1.686	0.54	≤ 1	SE406)	PC
KZ200	ZS1 + ZS2 + 0.7*ZS5 + 0.5*ZS6 + ZS10	1599	1.349	0.47	≤ 1	SE406)	PC
KZ201	ZS1 + ZS2 + 0.7*ZS5 + 0.5*ZS7 + ZS9	1600	1.124	0.54	≤ 1	SE406)	PC
KZ202	ZS1 + ZS2 + 0.7*ZS5 + 0.5*ZS7 + ZS10	1599	1.349	0.48	≤ 1	SE406)	PC
KZ203	ZS1 + ZS2 + 0.7*ZS5 + 0.5*ZS8 + ZS9	1600	1.686	0.54	≤ 1	SE406)	PC
KZ204	ZS1 + ZS2 + 0.7*ZS5 + 0.5*ZS8 + ZS10	1599	1.349	0.48	≤ 1	SE406)	PC
KZ205	ZS1 + ZS2 + 0.5*ZS6 + ZS9	1600	1.686	0.56	≤ 1	SE406)	PC
KZ206	ZS1 + ZS2 + 0.5*ZS6 + ZS10	1599	1.349	0.53	≤ 1	SE406)	PC
KZ207	ZS1 + ZS2 + 0.5*ZS7 + ZS9	1600	1.124	0.56	≤ 1	SE406)	PC
KZ208	ZS1 + ZS2 + 0.5*ZS7 + ZS10	1599	1.349	0.55	≤ 1	SE406)	PC
KZ209	ZS1 + ZS2 + 0.5*ZS8 + ZS9	1600	1.686	0.56	≤ 1	SE406)	PC
KZ210	ZS1 + ZS2 + 0.5*ZS8 + ZS10	1599	1.349	0.54	≤ 1	SE406)	PC

## 2.2 POSOUZENÍ PO PRŮŘEZECH

Průř. č.	Přut č.	Místo x [m]	ZS/KZ/ KV	Návrh		Návrh č.	Označení
7	IPE 80						
1604		0.000	KZ29	0.00	≤ 1	CS100)	Zanedbatelné vnitřní síly
1587		3.372	KZ50	0.07	≤ 1	CS101)	Posouzení průřezu - tah podle 6.2.3
1608		1.124	KZ50	0.06	≤ 1	CS102)	Posouzení průřezu - tlak podle 6.2.4
1576		1.124	KZ44	0.10	≤ 1	CS111)	Posouzení průřezu - ohyb okolo y podle 6.2.5 - třída 1 nebo 2
1595		1.124	KZ25	0.02	≤ 1	CS116)	Posouzení průřezu - ohyb okolo z podle 6.2.5 - třída 1 nebo 2
1576		0.000	KZ100	0.03	≤ 1	CS121)	Posouzení průřezu - smyk ve směru z podle 6.2.6
1600		0.000	KZ100	0.00	≤ 1	CS123)	Posouzení průřezu - smyk ve směru y podle 6.2.6
1575		0.000	ZS6	0.00	≤ 1	CS126)	Posouzení průřezu - smykové boulení podle 6.2.6(6)
1576		1.124	KZ44	0.10	≤ 1	CS141)	Posouzení průřezu - ohyb a smyk podle 6.2.5 a 6.2.8
1595		1.124	KZ25	0.02	≤ 1	CS151)	Posouzení průřezu - ohyb okolo z a smyk podle 6.2.5 a 6.2.8
1600		1.686	KZ76	0.10	≤ 1	CS161)	Posouzení průřezu - dvoosý ohyb a smyk podle 6.2.6, 6.2.7 a 6.2.9
1576		1.124	KZ38	0.10	≤ 1	CS181)	Posouzení průřezu - ohyb, smyk a osová síla podle 6.2.9.1
1582		1.124	KZ25	0.03	≤ 1	CS201)	Posouzení průřezu - ohyb okolo z, smyk a osová síla podle 6.2.9.1
1600		1.686	KZ100	0.12	≤ 1	CS221)	Posouzení průřezu - dvoosý ohyb, smyk a osová síla podle 6.2.10 a 6.2.9
1608		1.686	KZ50	0.07	≤ 1	ST301)	Posouzení stability - vzpěr okolo y podle 6.3.1.1 a 6.3.1.2(4)
1589		0.000	KZ100	0.07	≤ 1	ST302)	Posouzení stability - vzpěr okolo y podle 6.3.1.1 a 6.3.1.2(4)

Projekt:

Model: Varianta B

Datum: 08.01.2019

## 2.2 POSOUZENÍ PO PRŮŘEZECH

Průř. č.	Prut č.	Místo x [m]	ZS/KZ/KV	Návrh	Návrh č.	Označení
	1591	0.000	ZS9	0.05	≤ 1	ST311)
	1599	0.000	ZS10	0.45	≤ 1	ST312)
	1608	1.686	KZ50	0.08	≤ 1	ST321)
	1587	2.023	KZ52	0.26	≤ 1	ST331)
	1600	1.686	KZ104	0.52	≤ 1	ST363)
	1577	1.124	KZ100	0.70	≤ 1	ST364)
	1575	0.000	KZ106	0.00	≤ 1	SE400)
	1599	1.349	KZ209	0.53	≤ 1	SE401)
	1599	1.349	KZ180	0.60	≤ 1	SE406)

6.3.1.2  
Posouzení stability - vzpěr okolo z podle 6.3.1.1 a 6.3.1.2(4)  
Posouzení stability - vzpěr okolo z podle 6.3.1.1 a 6.3.1.2  
Posouzení stability - vzpěr zkroucením podle 6.3.1.4 a 6.3.1.2(4)  
Posouzení stability - klopení podle 6.3.2.1 a 6.3.2.3 - I průřez  
Posouzení stability - dvoosý ohyb podle 6.3.3, metoda 2  
Posouzení stability - ohyb a tlak podle 6.3.3, metoda 2  
Použitelnost - malé, resp. velmi malé deformace  
Použitelnost - kombinace zatížení 'charakteristická' - směr z  
Použitelnost - kombinace zatížení 'charakteristická' - směr y

## 1.2 MATERIÁLY

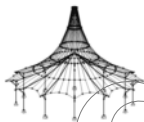
Materiál - č.	Označení materiálu	Modul pruž. E [MPa]	Smykový modul G [MPa]	Poissonův součinitel ν [-]	Mez kluzu $f_{yk}$ [MPa]	Max. tloušťka dílce t [mm]
1	Ocel S 355   DIN EN 1993-1-1:2010-12	210000.000	80769.200	0.300	355.000	40.0
	Baustahl S 235				335.000 315.000 295.000 285.000 275.000	80.0 100.0 150.0 200.0 250.0

## 1.3 PRŮŘEZY

Průř. č.	Materiál - č.	Označení průřezu	Typ průřezu	Max. návrhové využití	Komentář
2	1	IPE 140   Feronia - DIN 1025-5:1994	I-profil válcov.	0.69	

## 2.1 POSOUZENÍ PO ZATĚŽOVACÍCH STAVECH

ZS/KZ/KV	Označení ZS nebo KZ/KV	Prut č.	Místo x [m]	Návrh	Návrh č.	Označení
<b>Posouzení mezního stavu únosnosti</b>						
ZS1	Vlastní tíha	1499	1.677	0.01	≤ 1	CS111)
ZS2	Ostatní stálé	1498	1.800	0.02	≤ 1	CS111)
ZS3	Užitné plné	1498	2.550	0.14	≤ 1	CS111)
ZS4	Užitné poloviční1	1498	2.400	0.09	≤ 1	CS111)
ZS5	Užitné poloviční2	1499	1.677	0.13	≤ 1	CS181)
ZS6	Sníh plný	1496	2.850	0.00	≤ 1	CS100)
ZS7	Sníh poloviční 1	1497	2.850	0.00	≤ 1	CS100)
ZS8	Sníh poloviční 2	1499	2.850	0.00	≤ 1	CS100)
ZS9	Vítr ve směru X + tlak na přístřešek	1499	1.800	0.03	≤ 1	CS116)
ZS10	Vítr ve směru X + sání na přístřešek	1499	1.800	0.03	≤ 1	CS201)
KZ1	1.35*ZS1 + 1.35*ZS2	1499	1.677	0.04	≤ 1	CS111)
KZ2	1.35*ZS1 + 1.35*ZS2 + 1.5*ZS3	1499	1.800	0.27	≤ 1	CS181)
KZ3	1.35*ZS1 + 1.35*ZS2 + 1.5*ZS4	1498	2.550	0.13	≤ 1	CS111)
KZ4	1.35*ZS1 + 1.35*ZS2 + 1.5*ZS5	1499	2.400	0.18	≤ 1	CS181)
KZ5	1.35*ZS1 + 1.35*ZS2 + 1.5*ZS3 + 0.75*ZS6	1499	1.800	0.27	≤ 1	CS181)
KZ6	1.35*ZS1 + 1.35*ZS2 + 1.5*ZS3 + 0.75*ZS7	1499	1.800	0.27	≤ 1	CS181)
KZ7	1.35*ZS1 + 1.35*ZS2 + 1.5*ZS3 + 0.75*ZS8	1499	1.800	0.27	≤ 1	CS181)
KZ8	1.35*ZS1 + 1.35*ZS2 + 1.5*ZS4 + 0.75*ZS6	1498	2.550	0.13	≤ 1	CS111)
KZ9	1.35*ZS1 + 1.35*ZS2 + 1.5*ZS4 + 0.75*ZS7	1498	2.550	0.13	≤ 1	CS111)
KZ10	1.35*ZS1 + 1.35*ZS2 + 1.5*ZS4 + 0.75*ZS8	1498	2.550	0.13	≤ 1	CS111)
KZ11	1.35*ZS1 + 1.35*ZS2 + 1.5*ZS5 + 0.75*ZS6	1499	2.400	0.18	≤ 1	CS181)
KZ12	1.35*ZS1 + 1.35*ZS2 + 1.5*ZS5 + 0.75*ZS7	1499	2.400	0.18	≤ 1	CS181)
KZ13	1.35*ZS1 + 1.35*ZS2 + 1.5*ZS5 + 0.75*ZS8	1499	2.400	0.18	≤ 1	CS181)
KZ14	1.35*ZS1 + 1.35*ZS2 + 1.5*ZS3 + 0.75*ZS6 + 0.9*ZS9	1497	1.800	0.18	≤ 1	CS221)
KZ15	1.35*ZS1 + 1.35*ZS2 + 1.5*ZS3 + 0.75*ZS6 + 0.9*ZS10	1497	1.800	0.18	≤ 1	CS221)
KZ16	1.35*ZS1 + 1.35*ZS2 + 1.5*ZS3 + 0.75*ZS7 + 0.9*ZS9	1497	1.800	0.18	≤ 1	CS221)
KZ17	1.35*ZS1 + 1.35*ZS2 + 1.5*ZS3 + 0.75*ZS7 + 0.9*ZS10	1497	1.800	0.18	≤ 1	CS221)
KZ18	1.35*ZS1 + 1.35*ZS2 + 1.5*ZS3 + 0.75*ZS8 + 0.9*ZS9	1497	1.800	0.18	≤ 1	CS221)
KZ19	1.35*ZS1 + 1.35*ZS2 + 1.5*ZS3 + 0.75*ZS8 + 0.9*ZS10	1497	1.800	0.18	≤ 1	CS221)
KZ20	1.35*ZS1 + 1.35*ZS2 + 1.5*ZS4 + 0.75*ZS6 + 0.9*ZS9	1497	3.000	0.08	≤ 1	CS121)
KZ21	1.35*ZS1 + 1.35*ZS2 + 1.5*ZS4 + 0.75*ZS6 + 0.9*ZS10	1497	3.000	0.08	≤ 1	CS121)
KZ22	1.35*ZS1 + 1.35*ZS2 + 1.5*ZS4 + 0.75*ZS7 + 0.9*ZS9	1497	3.000	0.08	≤ 1	CS121)
KZ23	1.35*ZS1 + 1.35*ZS2 + 1.5*ZS4 + 0.75*ZS7 + 0.9*ZS10	1497	3.000	0.08	≤ 1	CS121)
KZ24	1.35*ZS1 + 1.35*ZS2 + 1.5*ZS4 + 0.75*ZS8 + 0.9*ZS9	1497	3.000	0.08	≤ 1	CS121)



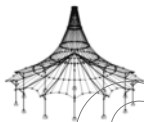
Projekt:

Model: Varianta B

Datum: 08.01.2019

## 2.1 POSOUZENÍ PO ZATĚŽOVACÍCH STAVECH

ZS/KZ/ KV	Označení ZS nebo KZ/KV	Pрут č.	Místo x [m]	Návrh		Návrh č.	Označení
KZ25	1.35*ZS1 + 1.35*ZS2 + 1.5*ZS4 + 0.75*ZS8 + 0.9*ZS10	1497	3.000	0.08	≤ 1	CS121)	TD
KZ26	1.35*ZS1 + 1.35*ZS2 + 1.5*ZS5 + 0.75*ZS6 + 0.9*ZS9	1499	1.800	0.10	≤ 1	CS221)	TD
KZ27	1.35*ZS1 + 1.35*ZS2 + 1.5*ZS5 + 0.75*ZS6 + 0.9*ZS10	1499	1.800	0.10	≤ 1	CS221)	TD
KZ28	1.35*ZS1 + 1.35*ZS2 + 1.5*ZS5 + 0.75*ZS7 + 0.9*ZS9	1499	1.800	0.10	≤ 1	CS221)	TD
KZ29	1.35*ZS1 + 1.35*ZS2 + 1.5*ZS5 + 0.75*ZS7 + 0.9*ZS10	1499	1.800	0.10	≤ 1	CS221)	TD
KZ30	1.35*ZS1 + 1.35*ZS2 + 1.5*ZS5 + 0.75*ZS8 + 0.9*ZS9	1499	1.800	0.10	≤ 1	CS221)	TD
KZ31	1.35*ZS1 + 1.35*ZS2 + 1.5*ZS5 + 0.75*ZS8 + 0.9*ZS10	1499	1.800	0.10	≤ 1	CS221)	TD
KZ32	1.35*ZS1 + 1.35*ZS2 + 1.5*ZS3 + 0.9*ZS9	1497	1.800	0.18	≤ 1	CS221)	TD
KZ33	1.35*ZS1 + 1.35*ZS2 + 1.5*ZS3 + 0.9*ZS10	1497	1.800	0.18	≤ 1	CS221)	TD
KZ34	1.35*ZS1 + 1.35*ZS2 + 1.5*ZS4 + 0.9*ZS9	1497	3.000	0.08	≤ 1	CS121)	TD
KZ35	1.35*ZS1 + 1.35*ZS2 + 1.5*ZS4 + 0.9*ZS10	1497	3.000	0.08	≤ 1	CS121)	TD
KZ36	1.35*ZS1 + 1.35*ZS2 + 1.5*ZS5 + 0.9*ZS9	1499	1.800	0.10	≤ 1	CS221)	TD
KZ37	1.35*ZS1 + 1.35*ZS2 + 1.5*ZS5 + 0.9*ZS10	1499	1.800	0.10	≤ 1	CS221)	TD
KZ38	1.35*ZS1 + 1.35*ZS2 + 1.5*ZS6	1499	1.677	0.04	≤ 1	CS111)	TD
KZ39	1.35*ZS1 + 1.35*ZS2 + 1.5*ZS7	1499	1.677	0.04	≤ 1	CS111)	TD
KZ40	1.35*ZS1 + 1.35*ZS2 + 1.5*ZS8	1499	1.677	0.04	≤ 1	CS111)	TD
KZ41	1.35*ZS1 + 1.35*ZS2 + 1.05*ZS3 + 1.5*ZS6	1499	1.518	0.17	≤ 1	CS181)	TD
KZ42	1.35*ZS1 + 1.35*ZS2 + 1.05*ZS3 + 1.5*ZS7	1499	1.518	0.17	≤ 1	CS181)	TD
KZ43	1.35*ZS1 + 1.35*ZS2 + 1.05*ZS3 + 1.5*ZS8	1498	2.550	0.17	≤ 1	CS181)	TD
KZ44	1.35*ZS1 + 1.35*ZS2 + 1.05*ZS4 + 1.5*ZS6	1498	2.550	0.10	≤ 1	CS111)	TD
KZ45	1.35*ZS1 + 1.35*ZS2 + 1.05*ZS4 + 1.5*ZS7	1497	2.550	0.10	≤ 1	CS181)	TD
KZ46	1.35*ZS1 + 1.35*ZS2 + 1.05*ZS4 + 1.5*ZS8	1498	2.550	0.10	≤ 1	CS111)	TD
KZ47	1.35*ZS1 + 1.35*ZS2 + 1.05*ZS5 + 1.5*ZS6	1499	1.677	0.20	≤ 1	CS181)	TD
KZ48	1.35*ZS1 + 1.35*ZS2 + 1.05*ZS5 + 1.5*ZS7	1499	1.677	0.20	≤ 1	CS181)	TD
KZ49	1.35*ZS1 + 1.35*ZS2 + 1.05*ZS5 + 1.5*ZS8	1499	1.677	0.20	≤ 1	CS181)	TD
KZ50	1.35*ZS1 + 1.35*ZS2 + 1.05*ZS3 + 1.5*ZS6 + 0.9*ZS9	1497	1.800	0.10	≤ 1	CS221)	TD
KZ51	1.35*ZS1 + 1.35*ZS2 + 1.05*ZS3 + 1.5*ZS6 + 0.9*ZS10	1497	1.800	0.10	≤ 1	CS221)	TD
KZ52	1.35*ZS1 + 1.35*ZS2 + 1.05*ZS3 + 1.5*ZS7 + 0.9*ZS9	1497	1.800	0.10	≤ 1	CS221)	TD
KZ53	1.35*ZS1 + 1.35*ZS2 + 1.05*ZS3 + 1.5*ZS7 + 0.9*ZS10	1497	1.800	0.10	≤ 1	CS221)	TD
KZ54	1.35*ZS1 + 1.35*ZS2 + 1.05*ZS3 + 1.5*ZS8 + 0.9*ZS9	1497	1.800	0.10	≤ 1	CS221)	TD
KZ55	1.35*ZS1 + 1.35*ZS2 + 1.05*ZS3 + 1.5*ZS8 + 0.9*ZS10	1497	1.800	0.10	≤ 1	CS221)	TD
KZ56	1.35*ZS1 + 1.35*ZS2 + 1.05*ZS4 + 1.5*ZS6 + 0.9*ZS9	1497	3.000	0.06	≤ 1	CS121)	TD
KZ57	1.35*ZS1 + 1.35*ZS2 + 1.05*ZS4 + 1.5*ZS6 + 0.9*ZS10	1497	3.000	0.06	≤ 1	CS121)	TD
KZ58	1.35*ZS1 + 1.35*ZS2 + 1.05*ZS4 + 1.5*ZS7 + 0.9*ZS9	1497	3.000	0.06	≤ 1	CS121)	TD
KZ59	1.35*ZS1 + 1.35*ZS2 + 1.05*ZS4 + 1.5*ZS7 + 0.9*ZS10	1497	3.000	0.06	≤ 1	CS121)	TD
KZ60	1.35*ZS1 + 1.35*ZS2 + 1.05*ZS4 + 1.5*ZS8 + 0.9*ZS9	1497	3.000	0.06	≤ 1	CS121)	TD
KZ61	1.35*ZS1 + 1.35*ZS2 + 1.05*ZS4 + 1.5*ZS8 + 0.9*ZS10	1497	3.000	0.06	≤ 1	CS121)	TD
KZ62	1.35*ZS1 + 1.35*ZS2 + 1.05*ZS5 + 1.5*ZS6 + 0.9*ZS9	1499	2.700	0.07	≤ 1	CS181)	TD
KZ63	1.35*ZS1 + 1.35*ZS2 + 1.05*ZS5 + 1.5*ZS6 + 0.9*ZS10	1499	2.700	0.07	≤ 1	CS181)	TD
KZ64	1.35*ZS1 + 1.35*ZS2 + 1.05*ZS5 + 1.5*ZS7 + 0.9*ZS9	1499	2.700	0.07	≤ 1	CS181)	TD
KZ65	1.35*ZS1 + 1.35*ZS2 + 1.05*ZS5 + 1.5*ZS7 + 0.9*ZS10	1499	2.700	0.07	≤ 1	CS181)	TD
KZ66	1.35*ZS1 + 1.35*ZS2 + 1.05*ZS5 + 1.5*ZS8 + 0.9*ZS9	1499	2.700	0.07	≤ 1	CS181)	TD
KZ67	1.35*ZS1 + 1.35*ZS2 + 1.05*ZS5 + 1.5*ZS8 + 0.9*ZS10	1499	2.700	0.07	≤ 1	CS181)	TD
KZ68	1.35*ZS1 + 1.35*ZS2 + 1.5*ZS6 + 0.9*ZS9	1499	1.800	0.03	≤ 1	CS161)	TD
KZ69	1.35*ZS1 + 1.35*ZS2 + 1.5*ZS6 + 0.9*ZS10	1499	1.800	0.03	≤ 1	CS161)	TD
KZ70	1.35*ZS1 + 1.35*ZS2 + 1.5*ZS7 + 0.9*ZS9	1499	1.800	0.03	≤ 1	CS161)	TD
KZ71	1.35*ZS1 + 1.35*ZS2 + 1.5*ZS7 + 0.9*ZS10	1499	1.800	0.03	≤ 1	CS161)	TD
KZ72	1.35*ZS1 + 1.35*ZS2 + 1.5*ZS8 + 0.9*ZS9	1499	1.800	0.03	≤ 1	CS161)	TD
KZ73	1.35*ZS1 + 1.35*ZS2 + 1.5*ZS8 + 0.9*ZS10	1499	1.800	0.03	≤ 1	CS161)	TD
KZ74	1.35*ZS1 + 1.35*ZS2 + 1.5*ZS9	1499	1.800	0.05	≤ 1	CS221)	TD
KZ75	1.35*ZS1 + 1.35*ZS2 + 1.5*ZS10	1499	1.800	0.05	≤ 1	CS221)	TD
KZ76	1.35*ZS1 + 1.35*ZS2 + 1.05*ZS3 + 1.5*ZS9	1497	1.800	0.12	≤ 1	CS221)	TD
KZ77	1.35*ZS1 + 1.35*ZS2 + 1.05*ZS3 + 1.5*ZS10	1497	1.800	0.12	≤ 1	CS221)	TD
KZ78	1.35*ZS1 + 1.35*ZS2 + 1.05*ZS4 + 1.5*ZS9	1497	1.650	0.06	≤ 1	CS161)	TD
KZ79	1.35*ZS1 + 1.35*ZS2 + 1.05*ZS4 + 1.5*ZS10	1497	1.650	0.06	≤ 1	CS161)	TD
KZ80	1.35*ZS1 + 1.35*ZS2 + 1.05*ZS5 + 1.5*ZS9	1499	1.800	0.09	≤ 1	CS221)	TD
KZ81	1.35*ZS1 + 1.35*ZS2 + 1.05*ZS5 + 1.5*ZS10	1499	1.800	0.09	≤ 1	CS221)	TD
KZ82	1.35*ZS1 + 1.35*ZS2 + 1.05*ZS3 + 0.75*ZS6 + 1.5*ZS9	1497	1.800	0.12	≤ 1	CS221)	TD
KZ83	1.35*ZS1 + 1.35*ZS2 + 1.05*ZS3 + 0.75*ZS6 + 1.5*ZS10	1497	1.800	0.12	≤ 1	CS221)	TD
KZ84	1.35*ZS1 + 1.35*ZS2 + 1.05*ZS3 + 0.75*ZS7 + 1.5*ZS9	1497	1.800	0.12	≤ 1	CS221)	TD
KZ85	1.35*ZS1 + 1.35*ZS2 + 1.05*ZS3 + 0.75*ZS7 + 1.5*ZS10	1497	1.800	0.12	≤ 1	CS221)	TD
KZ86	1.35*ZS1 + 1.35*ZS2 + 1.05*ZS3 + 0.75*ZS8 + 1.5*ZS9	1497	1.800	0.12	≤ 1	CS221)	TD
KZ87	1.35*ZS1 + 1.35*ZS2 + 1.05*ZS3 + 0.75*ZS8 + 1.5*ZS10	1497	1.800	0.12	≤ 1	CS221)	TD



Projekt:

Model: Varianta B

Datum: 08.01.2019

## 2.1 POSOUZENÍ PO ZATĚŽOVACÍCH STAVECH

ZS/KZ/ KV	Označení ZS nebo KZ/KV	Pрут č.	Místo x [m]	Návrh		Návrh č.	Označení
KZ88	1.35*ZS1 + 1.35*ZS2 + 1.05*ZS4 + 0.75*ZS6 + 1.5*ZS9	1497	1.650	0.06	≤ 1	CS161)	TD
KZ89	1.35*ZS1 + 1.35*ZS2 + 1.05*ZS4 + 0.75*ZS6 + 1.5*ZS10	1497	1.650	0.06	≤ 1	CS161)	TD
KZ90	1.35*ZS1 + 1.35*ZS2 + 1.05*ZS4 + 0.75*ZS7 + 1.5*ZS9	1497	1.650	0.06	≤ 1	CS161)	TD
KZ91	1.35*ZS1 + 1.35*ZS2 + 1.05*ZS4 + 0.75*ZS7 + 1.5*ZS10	1497	1.650	0.06	≤ 1	CS161)	TD
KZ92	1.35*ZS1 + 1.35*ZS2 + 1.05*ZS4 + 0.75*ZS8 + 1.5*ZS9	1497	1.650	0.06	≤ 1	CS161)	TD
KZ93	1.35*ZS1 + 1.35*ZS2 + 1.05*ZS4 + 0.75*ZS8 + 1.5*ZS10	1497	1.650	0.06	≤ 1	CS161)	TD
KZ94	1.35*ZS1 + 1.35*ZS2 + 1.05*ZS5 + 0.75*ZS6 + 1.5*ZS9	1499	1.800	0.09	≤ 1	CS221)	TD
KZ95	1.35*ZS1 + 1.35*ZS2 + 1.05*ZS5 + 0.75*ZS6 + 1.5*ZS10	1499	1.800	0.09	≤ 1	CS221)	TD
KZ96	1.35*ZS1 + 1.35*ZS2 + 1.05*ZS5 + 0.75*ZS7 + 1.5*ZS9	1499	1.800	0.09	≤ 1	CS221)	TD
KZ97	1.35*ZS1 + 1.35*ZS2 + 1.05*ZS5 + 0.75*ZS7 + 1.5*ZS10	1499	1.800	0.09	≤ 1	CS221)	TD
KZ98	1.35*ZS1 + 1.35*ZS2 + 1.05*ZS5 + 0.75*ZS8 + 1.5*ZS9	1499	1.800	0.09	≤ 1	CS221)	TD
KZ99	1.35*ZS1 + 1.35*ZS2 + 1.05*ZS5 + 0.75*ZS8 + 1.5*ZS10	1499	1.800	0.09	≤ 1	CS221)	TD
KZ100	1.35*ZS1 + 1.35*ZS2 + 0.75*ZS6 + 1.5*ZS9	1499	1.800	0.05	≤ 1	CS221)	TD
KZ101	1.35*ZS1 + 1.35*ZS2 + 0.75*ZS6 + 1.5*ZS10	1499	1.800	0.05	≤ 1	CS221)	TD
KZ102	1.35*ZS1 + 1.35*ZS2 + 0.75*ZS7 + 1.5*ZS9	1499	1.800	0.05	≤ 1	CS221)	TD
KZ103	1.35*ZS1 + 1.35*ZS2 + 0.75*ZS7 + 1.5*ZS10	1499	1.800	0.05	≤ 1	CS221)	TD
KZ104	1.35*ZS1 + 1.35*ZS2 + 0.75*ZS8 + 1.5*ZS9	1499	1.800	0.05	≤ 1	CS221)	TD
KZ105	1.35*ZS1 + 1.35*ZS2 + 0.75*ZS8 + 1.5*ZS10	1499	1.800	0.05	≤ 1	CS221)	TD
Posouzení mezního stavu použitelnosti							
KZ106	ZS1 + ZS2	1497	1.500	0.08	≤ 1	SE401)	PC
KZ107	ZS1 + ZS2 + ZS3	1497	1.500	0.69	≤ 1	SE401)	PC
KZ108	ZS1 + ZS2 + ZS4	1497	1.500	0.39	≤ 1	SE401)	PC
KZ109	ZS1 + ZS2 + ZS5	1499	1.518	0.42	≤ 1	SE401)	PC
KZ110	ZS1 + ZS2 + ZS3 + 0.5*ZS6	1497	1.500	0.69	≤ 1	SE401)	PC
KZ111	ZS1 + ZS2 + ZS3 + 0.5*ZS7	1497	1.500	0.69	≤ 1	SE401)	PC
KZ112	ZS1 + ZS2 + ZS3 + 0.5*ZS8	1497	1.500	0.69	≤ 1	SE401)	PC
KZ113	ZS1 + ZS2 + ZS4 + 0.5*ZS6	1497	1.500	0.39	≤ 1	SE401)	PC
KZ114	ZS1 + ZS2 + ZS4 + 0.5*ZS7	1497	1.500	0.39	≤ 1	SE401)	PC
KZ115	ZS1 + ZS2 + ZS4 + 0.5*ZS8	1497	1.500	0.39	≤ 1	SE401)	PC
KZ116	ZS1 + ZS2 + ZS5 + 0.5*ZS6	1499	1.518	0.42	≤ 1	SE401)	PC
KZ117	ZS1 + ZS2 + ZS5 + 0.5*ZS7	1499	1.518	0.42	≤ 1	SE401)	PC
KZ118	ZS1 + ZS2 + ZS5 + 0.5*ZS8	1499	1.518	0.42	≤ 1	SE401)	PC
KZ119	ZS1 + ZS2 + ZS3 + 0.5*ZS6 + 0.6*ZS9	1497	1.500	0.69	≤ 1	SE401)	PC
KZ120	ZS1 + ZS2 + ZS3 + 0.5*ZS6 + 0.6*ZS10	1497	1.500	0.69	≤ 1	SE401)	PC
KZ121	ZS1 + ZS2 + ZS3 + 0.5*ZS7 + 0.6*ZS9	1497	1.500	0.69	≤ 1	SE401)	PC
KZ122	ZS1 + ZS2 + ZS3 + 0.5*ZS7 + 0.6*ZS10	1497	1.500	0.69	≤ 1	SE401)	PC
KZ123	ZS1 + ZS2 + ZS3 + 0.5*ZS8 + 0.6*ZS9	1497	1.500	0.69	≤ 1	SE401)	PC
KZ124	ZS1 + ZS2 + ZS3 + 0.5*ZS8 + 0.6*ZS10	1497	1.500	0.69	≤ 1	SE401)	PC
KZ125	ZS1 + ZS2 + ZS4 + 0.5*ZS6 + 0.6*ZS9	1497	1.500	0.39	≤ 1	SE401)	PC
KZ126	ZS1 + ZS2 + ZS4 + 0.5*ZS6 + 0.6*ZS10	1497	1.500	0.39	≤ 1	SE401)	PC
KZ127	ZS1 + ZS2 + ZS4 + 0.5*ZS7 + 0.6*ZS9	1497	1.500	0.39	≤ 1	SE401)	PC
KZ128	ZS1 + ZS2 + ZS4 + 0.5*ZS7 + 0.6*ZS10	1497	1.500	0.39	≤ 1	SE401)	PC
KZ129	ZS1 + ZS2 + ZS4 + 0.5*ZS8 + 0.6*ZS9	1497	1.500	0.39	≤ 1	SE401)	PC
KZ130	ZS1 + ZS2 + ZS4 + 0.5*ZS8 + 0.6*ZS10	1497	1.500	0.39	≤ 1	SE401)	PC
KZ131	ZS1 + ZS2 + ZS5 + 0.5*ZS6 + 0.6*ZS9	1499	1.518	0.42	≤ 1	SE401)	PC
KZ132	ZS1 + ZS2 + ZS5 + 0.5*ZS6 + 0.6*ZS10	1499	1.518	0.42	≤ 1	SE401)	PC
KZ133	ZS1 + ZS2 + ZS5 + 0.5*ZS7 + 0.6*ZS9	1499	1.518	0.42	≤ 1	SE401)	PC
KZ134	ZS1 + ZS2 + ZS5 + 0.5*ZS7 + 0.6*ZS10	1499	1.518	0.42	≤ 1	SE401)	PC
KZ135	ZS1 + ZS2 + ZS5 + 0.5*ZS8 + 0.6*ZS9	1499	1.518	0.42	≤ 1	SE401)	PC
KZ136	ZS1 + ZS2 + ZS5 + 0.5*ZS8 + 0.6*ZS10	1499	1.518	0.42	≤ 1	SE401)	PC
KZ137	ZS1 + ZS2 + ZS3 + 0.6*ZS9	1497	1.500	0.69	≤ 1	SE401)	PC
KZ138	ZS1 + ZS2 + ZS3 + 0.6*ZS10	1497	1.500	0.69	≤ 1	SE401)	PC
KZ139	ZS1 + ZS2 + ZS4 + 0.6*ZS9	1497	1.500	0.39	≤ 1	SE401)	PC
KZ140	ZS1 + ZS2 + ZS4 + 0.6*ZS10	1497	1.500	0.39	≤ 1	SE401)	PC
KZ141	ZS1 + ZS2 + ZS5 + 0.6*ZS9	1499	1.518	0.42	≤ 1	SE401)	PC
KZ142	ZS1 + ZS2 + ZS5 + 0.6*ZS10	1499	1.518	0.42	≤ 1	SE401)	PC
KZ143	ZS1 + ZS2 + ZS6	1497	1.500	0.08	≤ 1	SE401)	PC
KZ144	ZS1 + ZS2 + ZS7	1497	1.500	0.08	≤ 1	SE401)	PC
KZ145	ZS1 + ZS2 + ZS8	1498	1.500	0.08	≤ 1	SE401)	PC
KZ146	ZS1 + ZS2 + 0.7*ZS3 + ZS6	1497	1.500	0.51	≤ 1	SE401)	PC
KZ147	ZS1 + ZS2 + 0.7*ZS3 + ZS7	1497	1.500	0.51	≤ 1	SE401)	PC
KZ148	ZS1 + ZS2 + 0.7*ZS3 + ZS8	1497	1.500	0.51	≤ 1	SE401)	PC
KZ149	ZS1 + ZS2 + 0.7*ZS4 + ZS6	1497	1.500	0.29	≤ 1	SE401)	PC
KZ150	ZS1 + ZS2 + 0.7*ZS4 + ZS7	1497	1.500	0.29	≤ 1	SE401)	PC
KZ151	ZS1 + ZS2 + 0.7*ZS4 + ZS8	1497	1.500	0.29	≤ 1	SE401)	PC
KZ152	ZS1 + ZS2 + 0.7*ZS5 + ZS6	1499	1.518	0.31	≤ 1	SE401)	PC
KZ153	ZS1 + ZS2 + 0.7*ZS5 + ZS7	1499	1.518	0.31	≤ 1	SE401)	PC
KZ154	ZS1 + ZS2 + 0.7*ZS5 + ZS8	1499	1.518	0.31	≤ 1	SE401)	PC
KZ155	ZS1 + ZS2 + 0.7*ZS3 + ZS6 + 0.6*ZS9	1497	1.500	0.51	≤ 1	SE401)	PC
KZ156	ZS1 + ZS2 + 0.7*ZS3 + ZS6 + 0.6*ZS10	1497	1.500	0.51	≤ 1	SE401)	PC
KZ157	ZS1 + ZS2 + 0.7*ZS3 + ZS7 + 0.6*ZS9	1497	1.500	0.51	≤ 1	SE401)	PC
KZ158	ZS1 + ZS2 + 0.7*ZS3 + ZS7 + 0.6*ZS10	1497	1.500	0.51	≤ 1	SE401)	PC
KZ159	ZS1 + ZS2 + 0.7*ZS3 + ZS8 + 0.6*ZS9	1497	1.500	0.51	≤ 1	SE401)	PC
KZ160	ZS1 + ZS2 + 0.7*ZS3 + ZS8 + 0.6*ZS10	1497	1.500	0.51	≤ 1	SE401)	PC
KZ161	ZS1 + ZS2 + 0.7*ZS4 + ZS6 + 0.6*ZS9	1497	1.500	0.29	≤ 1	SE401)	PC
KZ162	ZS1 + ZS2 + 0.7*ZS4 + ZS6 + 0.6*ZS10	1497	1.500	0.29	≤ 1	SE401)	PC
KZ163	ZS1 + ZS2 + 0.7*ZS4 + ZS7 + 0.6*ZS9	1497	1.500	0.29	≤ 1	SE401)	PC
KZ164	ZS1 + ZS2 + 0.7*ZS4 + ZS7 + 0.6*ZS10	1497	1.500	0.29	≤ 1	SE401)	PC
KZ165	ZS1 + ZS2 + 0.7*ZS4 + ZS8 + 0.6*ZS9	1497	1.500	0.29	≤ 1	SE401)	PC
KZ166	ZS1 + ZS2 + 0.7*ZS4 + ZS8 + 0.6*ZS10	1497	1.500	0.29	≤ 1	SE401)	PC
KZ167	ZS1 + ZS2 + 0.7*ZS5 + ZS6 + 0.6*ZS9	1499	1.518	0.32	≤ 1	SE401)	PC

Projekt:

Model: Varianta B

Datum: 08.01.2019

## 2.1 POSOUZENÍ PO ZATĚŽOVACÍCH STAVECH

ZS/KZ/ KV	Označení ZS nebo KZ/KV	Prut č.	Místo x [m]	Návrh č.	Návrh č.	Označení
KZ168	ZS1 + ZS2 + 0.7*ZS5 + ZS6 + 0.6*ZS10	1499	1.518	0.32	≤ 1	SE401) PC
KZ169	ZS1 + ZS2 + 0.7*ZS5 + ZS7 + 0.6*ZS9	1499	1.518	0.32	≤ 1	SE401) PC
KZ170	ZS1 + ZS2 + 0.7*ZS5 + ZS7 + 0.6*ZS10	1499	1.518	0.32	≤ 1	SE401) PC
KZ171	ZS1 + ZS2 + 0.7*ZS5 + ZS8 + 0.6*ZS9	1499	1.518	0.32	≤ 1	SE401) PC
KZ172	ZS1 + ZS2 + 0.7*ZS5 + ZS8 + 0.6*ZS10	1499	1.518	0.32	≤ 1	SE401) PC
KZ173	ZS1 + ZS2 + ZS6 + 0.6*ZS9	1497	1.500	0.08	≤ 1	SE401) PC
KZ174	ZS1 + ZS2 + ZS6 + 0.6*ZS10	1497	1.500	0.08	≤ 1	SE401) PC
KZ175	ZS1 + ZS2 + ZS7 + 0.6*ZS9	1497	1.500	0.08	≤ 1	SE401) PC
KZ176	ZS1 + ZS2 + ZS7 + 0.6*ZS10	1497	1.500	0.08	≤ 1	SE401) PC
KZ177	ZS1 + ZS2 + ZS8 + 0.6*ZS9	1497	1.500	0.08	≤ 1	SE401) PC
KZ178	ZS1 + ZS2 + ZS8 + 0.6*ZS10	1497	1.500	0.08	≤ 1	SE401) PC
KZ179	ZS1 + ZS2 + ZS9	1497	1.500	0.08	≤ 1	SE401) PC
KZ180	ZS1 + ZS2 + ZS10	1497	1.500	0.08	≤ 1	SE401) PC
KZ181	ZS1 + ZS2 + 0.7*ZS3 + ZS9	1497	1.500	0.51	≤ 1	SE401) PC
KZ182	ZS1 + ZS2 + 0.7*ZS3 + ZS10	1497	1.500	0.51	≤ 1	SE401) PC
KZ183	ZS1 + ZS2 + 0.7*ZS4 + ZS9	1497	1.500	0.29	≤ 1	SE401) PC
KZ184	ZS1 + ZS2 + 0.7*ZS4 + ZS10	1497	1.500	0.29	≤ 1	SE401) PC
KZ185	ZS1 + ZS2 + 0.7*ZS5 + ZS9	1499	1.518	0.32	≤ 1	SE401) PC
KZ186	ZS1 + ZS2 + 0.7*ZS5 + ZS10	1499	1.518	0.32	≤ 1	SE401) PC
KZ187	ZS1 + ZS2 + 0.7*ZS3 + 0.5*ZS6 + ZS9	1497	1.500	0.51	≤ 1	SE401) PC
KZ188	ZS1 + ZS2 + 0.7*ZS3 + 0.5*ZS6 + ZS10	1497	1.500	0.51	≤ 1	SE401) PC
KZ189	ZS1 + ZS2 + 0.7*ZS3 + 0.5*ZS7 + ZS9	1497	1.500	0.51	≤ 1	SE401) PC
KZ190	ZS1 + ZS2 + 0.7*ZS3 + 0.5*ZS7 + ZS10	1497	1.500	0.51	≤ 1	SE401) PC
KZ191	ZS1 + ZS2 + 0.7*ZS3 + 0.5*ZS8 + ZS9	1497	1.500	0.51	≤ 1	SE401) PC
KZ192	ZS1 + ZS2 + 0.7*ZS3 + 0.5*ZS8 + ZS10	1497	1.500	0.51	≤ 1	SE401) PC
KZ193	ZS1 + ZS2 + 0.7*ZS4 + 0.5*ZS6 + ZS9	1497	1.500	0.29	≤ 1	SE401) PC
KZ194	ZS1 + ZS2 + 0.7*ZS4 + 0.5*ZS6 + ZS10	1497	1.500	0.29	≤ 1	SE401) PC
KZ195	ZS1 + ZS2 + 0.7*ZS4 + 0.5*ZS7 + ZS9	1497	1.500	0.29	≤ 1	SE401) PC
KZ196	ZS1 + ZS2 + 0.7*ZS4 + 0.5*ZS7 + ZS10	1497	1.500	0.29	≤ 1	SE401) PC
KZ197	ZS1 + ZS2 + 0.7*ZS4 + 0.5*ZS8 + ZS9	1497	1.500	0.29	≤ 1	SE401) PC
KZ198	ZS1 + ZS2 + 0.7*ZS4 + 0.5*ZS8 + ZS10	1497	1.500	0.29	≤ 1	SE401) PC
KZ199	ZS1 + ZS2 + 0.7*ZS5 + 0.5*ZS6 + ZS9	1499	1.518	0.32	≤ 1	SE401) PC
KZ200	ZS1 + ZS2 + 0.7*ZS5 + 0.5*ZS6 + ZS10	1499	1.518	0.32	≤ 1	SE401) PC
KZ201	ZS1 + ZS2 + 0.7*ZS5 + 0.5*ZS7 + ZS9	1499	1.518	0.32	≤ 1	SE401) PC
KZ202	ZS1 + ZS2 + 0.7*ZS5 + 0.5*ZS7 + ZS10	1499	1.518	0.32	≤ 1	SE401) PC
KZ203	ZS1 + ZS2 + 0.7*ZS5 + 0.5*ZS8 + ZS9	1499	1.518	0.32	≤ 1	SE401) PC
KZ204	ZS1 + ZS2 + 0.7*ZS5 + 0.5*ZS8 + ZS10	1499	1.518	0.32	≤ 1	SE401) PC
KZ205	ZS1 + ZS2 + 0.5*ZS6 + ZS9	1497	1.500	0.08	≤ 1	SE401) PC
KZ206	ZS1 + ZS2 + 0.5*ZS6 + ZS10	1497	1.500	0.08	≤ 1	SE401) PC
KZ207	ZS1 + ZS2 + 0.5*ZS7 + ZS9	1497	1.500	0.08	≤ 1	SE401) PC
KZ208	ZS1 + ZS2 + 0.5*ZS7 + ZS10	1497	1.500	0.08	≤ 1	SE401) PC
KZ209	ZS1 + ZS2 + 0.5*ZS8 + ZS9	1497	1.500	0.08	≤ 1	SE401) PC
KZ210	ZS1 + ZS2 + 0.5*ZS8 + ZS10	1497	1.500	0.08	≤ 1	SE401) PC

## 2.2 POSOUZENÍ PO PRŮŘEZECH

Průř. č.	Prut č.	Místo x [m]	ZS/KZ/ KV	Návrh č.	Návrh č.	Označení
2	IPE 140   Feron - DIN 1025-5:1994					
1496	2.850	ZS1	0.00	≤ 1	CS100)	Zanedbatelné vnitřní síly
1498	2.850	KZ97	0.01	≤ 1	CS101)	Posouzení průřezu - tah podle 6.2.3
1496	3.000	KZ91	0.01	≤ 1	CS102)	Posouzení průřezu - tlak podle 6.2.4
1499	1.359	KZ43	0.17	≤ 1	CS111)	Posouzení průřezu - ohyb okolo y podle 6.2.5 - třída 1 nebo 2
1499	1.800	ZS10	0.03	≤ 1	CS116)	Posouzení průřezu - ohyb okolo z podle 6.2.5 - třída 1 nebo 2
1497	3.000	KZ2	0.14	≤ 1	CS121)	Posouzení průřezu - smyk ve směru z podle 6.2.6
1496	3.000	KZ97	0.01	≤ 1	CS123)	Posouzení průřezu - smyk ve směru y podle 6.2.6
1496	0.000	ZS3	0.00	≤ 1	CS126)	Posouzení průřezu - smykové boulení podle 6.2.6(6)
1499	1.359	KZ43	0.17	≤ 1	CS141)	Posouzení průřezu - ohyb a smyk podle 6.2.5 a 6.2.8
1499	1.800	ZS10	0.03	≤ 1	CS151)	Posouzení průřezu - ohyb okolo z a smyk podle 6.2.5 a 6.2.8
1497	1.800	KZ16	0.18	≤ 1	CS161)	Posouzení průřezu - dvousý ohyb a smyk podle 6.2.6, 6.2.7 a 6.2.9
1499	1.800	KZ7	0.27	≤ 1	CS181)	Posouzení průřezu - ohyb, smyk a osová síla podle 6.2.9.1
1499	1.800	ZS10	0.03	≤ 1	CS201)	Posouzení průřezu - ohyb okolo z, smyk a osová síla podle 6.2.9.1
1497	1.800	KZ16	0.18	≤ 1	CS221)	Posouzení průřezu - dvousý ohyb, smyk a osová síla podle 6.2.10 a 6.2.9
1496	0.000	KZ106	0.00	≤ 1	SE400)	Použitelnost - malé, resp. velmi malé deformace
1497	1.500	KZ112	0.69	≤ 1	SE401)	Použitelnost - kombinace zatížení 'charakteristická' - směr z

## 1.2 MATERIÁLY

Materiál - č.	Označení materiálu	Modul pruž. E [MPa]	Smykový modul G [MPa]	Poissonův součinitel ν [-]	Mez kluzu f <sub>yk</sub> [MPa]	Max. tloušťka dílce t [mm]
1	Ocel S 355   DIN EN 1993-1-1:2010-12	210000.000	80769.200	0.300	355.000	40.0
					335.000	80.0
					315.000	100.0
					295.000	150.0
					285.000	200.0
					275.000	250.0
	Baustahl S 235					

RF-STEEL EC3

PŘ5

Rošt vyhlídkové plošiny

Projekt:

Model: Varianta B

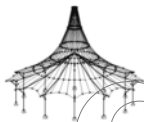
Datum: 08.01.2019

### 1.3 PRŮŘEZY

Průř. č.	Materiál - č.	Označení průřezu	Typ průřezu	Max. návrhové využití	Komentář
12	1	IPE 80   Feron - DIN 1025-5:1994	I-profil válcov.	0.83	

### 2.1 POSOUZENÍ PO ZATĚŽOVACÍCH STAVECH

ZS/KZ/ KV	Označení ZS nebo KZ/KV	Prut č.	Místo x [m]	Návrh	Návrh č.	Označení
<b>Posouzení mezního stavu únosnosti</b>						
ZS1	Vlastní tíha	1615	1.140	0.01	≤ 1	CS(111) TD
ZS2	Ostatní stálé	1615	1.140	0.04	≤ 1	ST(331) TD
ZS3	Užitné plně	1615	1.140	0.46	≤ 1	ST(331) TD
ZS4	Užitné poloviční1	1620	1.140	0.46	≤ 1	ST(331) TD
ZS5	Užitné poloviční2	1625	1.140	0.46	≤ 1	ST(331) TD
ZS6	Sníh plný	1620	0.000	0.00	≤ 1	CS(100) TD
ZS7	Sníh poloviční 1	1621	0.000	0.00	≤ 1	CS(100) TD
ZS8	Sníh poloviční 2	1616	0.000	0.00	≤ 1	CS(100) TD
ZS9	Vítr ve směru X + tlak na přístřešek	1615	1.140	0.07	≤ 1	CS(201) TD
ZS10	Vítr ve směru X + sání na přístřešek	1615	1.140	0.07	≤ 1	CS(201) TD
KZ1	1.35*ZS1 + 1.35*ZS2	1615	1.140	0.08	≤ 1	ST(331) TD
KZ2	1.35*ZS1 + 1.35*ZS2 + 1.5*ZS3	1615	1.140	0.76	≤ 1	ST(331) TD
KZ3	1.35*ZS1 + 1.35*ZS2 + 1.5*ZS4	1620	1.140	0.76	≤ 1	ST(331) TD
KZ4	1.35*ZS1 + 1.35*ZS2 + 1.5*ZS5	1625	1.140	0.76	≤ 1	ST(331) TD
KZ5	1.35*ZS1 + 1.35*ZS2 + 1.5*ZS3 + 0.75*ZS6	1615	1.140	0.76	≤ 1	ST(331) TD
KZ6	1.35*ZS1 + 1.35*ZS2 + 1.5*ZS3 + 0.75*ZS7	1615	1.140	0.76	≤ 1	ST(331) TD
KZ7	1.35*ZS1 + 1.35*ZS2 + 1.5*ZS3 + 0.75*ZS8	1615	1.140	0.76	≤ 1	ST(331) TD
KZ8	1.35*ZS1 + 1.35*ZS2 + 1.5*ZS4 + 0.75*ZS6	1620	1.140	0.76	≤ 1	ST(331) TD
KZ9	1.35*ZS1 + 1.35*ZS2 + 1.5*ZS4 + 0.75*ZS7	1620	1.140	0.76	≤ 1	ST(331) TD
KZ10	1.35*ZS1 + 1.35*ZS2 + 1.5*ZS4 + 0.75*ZS8	1620	1.140	0.76	≤ 1	ST(331) TD
KZ11	1.35*ZS1 + 1.35*ZS2 + 1.5*ZS5 + 0.75*ZS6	1625	1.140	0.76	≤ 1	ST(331) TD
KZ12	1.35*ZS1 + 1.35*ZS2 + 1.5*ZS5 + 0.75*ZS7	1625	1.140	0.76	≤ 1	ST(331) TD
KZ13	1.35*ZS1 + 1.35*ZS2 + 1.5*ZS5 + 0.75*ZS8	1625	1.140	0.76	≤ 1	ST(331) TD
KZ14	1.35*ZS1 + 1.35*ZS2 + 1.5*ZS3 + 0.75*ZS6 + 0.9*ZS9	1615	0.000	0.83	≤ 1	ST(363) TD
KZ15	1.35*ZS1 + 1.35*ZS2 + 1.5*ZS3 + 0.75*ZS6 + 0.9*ZS10	1615	0.000	0.83	≤ 1	ST(363) TD
KZ16	1.35*ZS1 + 1.35*ZS2 + 1.5*ZS3 + 0.75*ZS7 + 0.9*ZS9	1615	0.000	0.83	≤ 1	ST(363) TD
KZ17	1.35*ZS1 + 1.35*ZS2 + 1.5*ZS3 + 0.75*ZS7 + 0.9*ZS10	1615	0.000	0.83	≤ 1	ST(363) TD
KZ18	1.35*ZS1 + 1.35*ZS2 + 1.5*ZS3 + 0.75*ZS8 + 0.9*ZS9	1615	0.000	0.83	≤ 1	ST(363) TD
KZ19	1.35*ZS1 + 1.35*ZS2 + 1.5*ZS3 + 0.75*ZS8 + 0.9*ZS10	1615	0.000	0.83	≤ 1	ST(363) TD
KZ20	1.35*ZS1 + 1.35*ZS2 + 1.5*ZS4 + 0.75*ZS6 + 0.9*ZS9	1620	0.570	0.79	≤ 1	ST(363) TD
KZ21	1.35*ZS1 + 1.35*ZS2 + 1.5*ZS4 + 0.75*ZS6 + 0.9*ZS10	1620	0.000	0.79	≤ 1	ST(363) TD
KZ22	1.35*ZS1 + 1.35*ZS2 + 1.5*ZS4 + 0.75*ZS7 + 0.9*ZS9	1620	0.000	0.79	≤ 1	ST(363) TD
KZ23	1.35*ZS1 + 1.35*ZS2 + 1.5*ZS4 + 0.75*ZS7 + 0.9*ZS10	1620	0.000	0.79	≤ 1	ST(363) TD
KZ24	1.35*ZS1 + 1.35*ZS2 + 1.5*ZS4 + 0.75*ZS8 + 0.9*ZS9	1620	0.570	0.79	≤ 1	ST(363) TD
KZ25	1.35*ZS1 + 1.35*ZS2 + 1.5*ZS4 + 0.75*ZS8 + 0.9*ZS10	1620	0.570	0.79	≤ 1	ST(363) TD
KZ26	1.35*ZS1 + 1.35*ZS2 + 1.5*ZS5 + 0.75*ZS6 + 0.9*ZS9	1625	0.000	0.79	≤ 1	ST(363) TD
KZ27	1.35*ZS1 + 1.35*ZS2 + 1.5*ZS5 + 0.75*ZS6 + 0.9*ZS10	1625	0.000	0.79	≤ 1	ST(363) TD
KZ28	1.35*ZS1 + 1.35*ZS2 + 1.5*ZS5 + 0.75*ZS7 + 0.9*ZS9	1625	0.000	0.79	≤ 1	ST(363) TD
KZ29	1.35*ZS1 + 1.35*ZS2 + 1.5*ZS5 + 0.75*ZS7 + 0.9*ZS10	1625	0.000	0.79	≤ 1	ST(363) TD
KZ30	1.35*ZS1 + 1.35*ZS2 + 1.5*ZS5 + 0.75*ZS8 + 0.9*ZS9	1625	0.000	0.79	≤ 1	ST(363) TD
KZ31	1.35*ZS1 + 1.35*ZS2 + 1.5*ZS5 + 0.75*ZS8 + 0.9*ZS10	1625	0.000	0.79	≤ 1	ST(363) TD
KZ32	1.35*ZS1 + 1.35*ZS2 + 1.5*ZS3 + 0.9*ZS9	1615	0.000	0.83	≤ 1	ST(363) TD
KZ33	1.35*ZS1 + 1.35*ZS2 + 1.5*ZS3 + 0.9*ZS10	1615	0.000	0.83	≤ 1	ST(363) TD
KZ34	1.35*ZS1 + 1.35*ZS2 + 1.5*ZS4 + 0.9*ZS9	1620	0.570	0.79	≤ 1	ST(363) TD
KZ35	1.35*ZS1 + 1.35*ZS2 + 1.5*ZS4 + 0.9*ZS10	1620	0.000	0.79	≤ 1	ST(363) TD
KZ36	1.35*ZS1 + 1.35*ZS2 + 1.5*ZS5 + 0.9*ZS9	1625	0.000	0.79	≤ 1	ST(363) TD
KZ37	1.35*ZS1 + 1.35*ZS2 + 1.5*ZS5 + 0.9*ZS10	1625	0.000	0.79	≤ 1	ST(363) TD
KZ38	1.35*ZS1 + 1.35*ZS2 + 1.5*ZS6	1615	1.140	0.08	≤ 1	ST(331) TD
KZ39	1.35*ZS1 + 1.35*ZS2 + 1.5*ZS7	1615	1.140	0.08	≤ 1	ST(331) TD
KZ40	1.35*ZS1 + 1.35*ZS2 + 1.5*ZS8	1615	1.140	0.08	≤ 1	ST(331) TD
KZ41	1.35*ZS1 + 1.35*ZS2 + 1.05*ZS3 + 1.5*ZS6	1615	1.140	0.55	≤ 1	ST(331) TD
KZ42	1.35*ZS1 + 1.35*ZS2 + 1.05*ZS3 + 1.5*ZS7	1615	1.140	0.55	≤ 1	ST(331) TD
KZ43	1.35*ZS1 + 1.35*ZS2 + 1.05*ZS3 + 1.5*ZS8	1615	1.140	0.55	≤ 1	ST(331) TD
KZ44	1.35*ZS1 + 1.35*ZS2 + 1.05*ZS4 + 1.5*ZS6	1620	1.140	0.55	≤ 1	ST(331) TD
KZ45	1.35*ZS1 + 1.35*ZS2 + 1.05*ZS4 + 1.5*ZS7	1620	1.140	0.55	≤ 1	ST(331) TD
KZ46	1.35*ZS1 + 1.35*ZS2 + 1.05*ZS4 + 1.5*ZS8	1620	1.140	0.55	≤ 1	ST(331) TD
KZ47	1.35*ZS1 + 1.35*ZS2 + 1.05*ZS5 + 1.5*ZS6	1625	1.140	0.55	≤ 1	ST(331) TD
KZ48	1.35*ZS1 + 1.35*ZS2 + 1.05*ZS5 + 1.5*ZS7	1625	1.140	0.55	≤ 1	ST(331) TD
KZ49	1.35*ZS1 + 1.35*ZS2 + 1.05*ZS5 + 1.5*ZS8	1625	1.140	0.55	≤ 1	ST(331) TD
KZ50	1.35*ZS1 + 1.35*ZS2 + 1.05*ZS3 + 1.5*ZS6 + 0.9*ZS9	1615	1.710	0.62	≤ 1	ST(363) TD
KZ51	1.35*ZS1 + 1.35*ZS2 + 1.05*ZS3 + 1.5*ZS6 + 0.9*ZS10	1615	1.710	0.62	≤ 1	ST(363) TD
KZ52	1.35*ZS1 + 1.35*ZS2 + 1.05*ZS3 + 1.5*ZS7 + 0.9*ZS9	1615	1.710	0.62	≤ 1	ST(363) TD
KZ53	1.35*ZS1 + 1.35*ZS2 + 1.05*ZS3 + 1.5*ZS7 + 0.9*ZS10	1615	1.710	0.62	≤ 1	ST(363) TD



Projekt:

Model: Varianta B

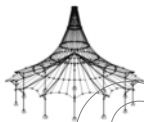
Datum:

08.01.2019

## 2.1 POSOUZENÍ PO ZATĚŽOVACÍCH STAVECH

ZS/KZ/ KV	Označení ZS nebo KZ/KV	Přut č.	Místo x [m]	Návrh		Návrh č.	Označení
KZ54	1.35*ZS1 + 1.35*ZS2 + 1.05*ZS3 + 1.5*ZS8 + 0.9*ZS9	1615	1.710	0.62	≤ 1	ST363)	TD
KZ55	1.35*ZS1 + 1.35*ZS2 + 1.05*ZS3 + 1.5*ZS8 + 0.9*ZS10	1615	1.710	0.62	≤ 1	ST363)	TD
KZ56	1.35*ZS1 + 1.35*ZS2 + 1.05*ZS4 + 1.5*ZS6 + 0.9*ZS9	1620	0.000	0.59	≤ 1	ST363)	TD
KZ57	1.35*ZS1 + 1.35*ZS2 + 1.05*ZS4 + 1.5*ZS6 + 0.9*ZS10	1620	0.000	0.59	≤ 1	ST363)	TD
KZ58	1.35*ZS1 + 1.35*ZS2 + 1.05*ZS4 + 1.5*ZS7 + 0.9*ZS9	1620	0.000	0.59	≤ 1	ST363)	TD
KZ59	1.35*ZS1 + 1.35*ZS2 + 1.05*ZS4 + 1.5*ZS7 + 0.9*ZS10	1620	0.000	0.59	≤ 1	ST363)	TD
KZ60	1.35*ZS1 + 1.35*ZS2 + 1.05*ZS4 + 1.5*ZS8 + 0.9*ZS9	1620	0.000	0.59	≤ 1	ST363)	TD
KZ61	1.35*ZS1 + 1.35*ZS2 + 1.05*ZS4 + 1.5*ZS8 + 0.9*ZS10	1620	0.000	0.59	≤ 1	ST363)	TD
KZ62	1.35*ZS1 + 1.35*ZS2 + 1.05*ZS5 + 1.5*ZS6 + 0.9*ZS9	1625	0.000	0.59	≤ 1	ST363)	TD
KZ63	1.35*ZS1 + 1.35*ZS2 + 1.05*ZS5 + 1.5*ZS6 + 0.9*ZS10	1625	0.000	0.59	≤ 1	ST363)	TD
KZ64	1.35*ZS1 + 1.35*ZS2 + 1.05*ZS5 + 1.5*ZS7 + 0.9*ZS9	1625	0.000	0.59	≤ 1	ST363)	TD
KZ65	1.35*ZS1 + 1.35*ZS2 + 1.05*ZS5 + 1.5*ZS7 + 0.9*ZS10	1625	0.000	0.59	≤ 1	ST363)	TD
KZ66	1.35*ZS1 + 1.35*ZS2 + 1.05*ZS5 + 1.5*ZS8 + 0.9*ZS9	1625	0.000	0.59	≤ 1	ST363)	TD
KZ67	1.35*ZS1 + 1.35*ZS2 + 1.05*ZS5 + 1.5*ZS8 + 0.9*ZS10	1625	0.000	0.59	≤ 1	ST363)	TD
KZ68	1.35*ZS1 + 1.35*ZS2 + 1.5*ZS6 + 0.9*ZS9	1615	1.710	0.14	≤ 1	ST363)	TD
KZ69	1.35*ZS1 + 1.35*ZS2 + 1.5*ZS6 + 0.9*ZS10	1615	1.710	0.14	≤ 1	ST363)	TD
KZ70	1.35*ZS1 + 1.35*ZS2 + 1.5*ZS7 + 0.9*ZS9	1615	1.710	0.14	≤ 1	ST363)	TD
KZ71	1.35*ZS1 + 1.35*ZS2 + 1.5*ZS7 + 0.9*ZS10	1615	1.710	0.14	≤ 1	ST363)	TD
KZ72	1.35*ZS1 + 1.35*ZS2 + 1.5*ZS8 + 0.9*ZS9	1615	1.710	0.14	≤ 1	ST363)	TD
KZ73	1.35*ZS1 + 1.35*ZS2 + 1.5*ZS8 + 0.9*ZS10	1615	1.710	0.14	≤ 1	ST363)	TD
KZ74	1.35*ZS1 + 1.35*ZS2 + 1.5*ZS9	1615	1.710	0.19	≤ 1	ST363)	TD
KZ75	1.35*ZS1 + 1.35*ZS2 + 1.5*ZS10	1615	1.710	0.19	≤ 1	ST363)	TD
KZ76	1.35*ZS1 + 1.35*ZS2 + 1.05*ZS3 + 1.5*ZS9	1615	1.710	0.67	≤ 1	ST363)	TD
KZ77	1.35*ZS1 + 1.35*ZS2 + 1.05*ZS3 + 1.5*ZS10	1615	1.710	0.67	≤ 1	ST363)	TD
KZ78	1.35*ZS1 + 1.35*ZS2 + 1.05*ZS4 + 1.5*ZS9	1620	0.000	0.61	≤ 1	ST363)	TD
KZ79	1.35*ZS1 + 1.35*ZS2 + 1.05*ZS4 + 1.5*ZS10	1620	0.000	0.61	≤ 1	ST363)	TD
KZ80	1.35*ZS1 + 1.35*ZS2 + 1.05*ZS5 + 1.5*ZS9	1625	0.000	0.61	≤ 1	ST363)	TD
KZ81	1.35*ZS1 + 1.35*ZS2 + 1.05*ZS5 + 1.5*ZS10	1625	0.000	0.61	≤ 1	ST363)	TD
KZ82	1.35*ZS1 + 1.35*ZS2 + 1.05*ZS3 + 0.75*ZS6 + 1.5*ZS9	1615	1.710	0.67	≤ 1	ST363)	TD
KZ83	1.35*ZS1 + 1.35*ZS2 + 1.05*ZS3 + 0.75*ZS6 + 1.5*ZS10	1615	1.710	0.67	≤ 1	ST363)	TD
KZ84	1.35*ZS1 + 1.35*ZS2 + 1.05*ZS3 + 0.75*ZS7 + 1.5*ZS9	1615	1.710	0.67	≤ 1	ST363)	TD
KZ85	1.35*ZS1 + 1.35*ZS2 + 1.05*ZS3 + 0.75*ZS7 + 1.5*ZS10	1615	1.710	0.67	≤ 1	ST363)	TD
KZ86	1.35*ZS1 + 1.35*ZS2 + 1.05*ZS3 + 0.75*ZS8 + 1.5*ZS9	1615	1.710	0.67	≤ 1	ST363)	TD
KZ87	1.35*ZS1 + 1.35*ZS2 + 1.05*ZS3 + 0.75*ZS8 + 1.5*ZS10	1615	1.710	0.67	≤ 1	ST363)	TD
KZ88	1.35*ZS1 + 1.35*ZS2 + 1.05*ZS4 + 0.75*ZS6 + 1.5*ZS9	1620	0.000	0.61	≤ 1	ST363)	TD
KZ89	1.35*ZS1 + 1.35*ZS2 + 1.05*ZS4 + 0.75*ZS6 + 1.5*ZS10	1620	0.000	0.61	≤ 1	ST363)	TD
KZ90	1.35*ZS1 + 1.35*ZS2 + 1.05*ZS4 + 0.75*ZS7 + 1.5*ZS9	1620	0.000	0.61	≤ 1	ST363)	TD
KZ91	1.35*ZS1 + 1.35*ZS2 + 1.05*ZS4 + 0.75*ZS7 + 1.5*ZS10	1620	0.000	0.61	≤ 1	ST363)	TD
KZ92	1.35*ZS1 + 1.35*ZS2 + 1.05*ZS4 + 0.75*ZS8 + 1.5*ZS9	1620	0.000	0.61	≤ 1	ST363)	TD
KZ93	1.35*ZS1 + 1.35*ZS2 + 1.05*ZS4 + 0.75*ZS8 + 1.5*ZS10	1620	0.000	0.61	≤ 1	ST363)	TD
KZ94	1.35*ZS1 + 1.35*ZS2 + 1.05*ZS5 + 0.75*ZS6 + 1.5*ZS9	1625	0.000	0.61	≤ 1	ST363)	TD
KZ95	1.35*ZS1 + 1.35*ZS2 + 1.05*ZS5 + 0.75*ZS6 + 1.5*ZS10	1625	0.000	0.61	≤ 1	ST363)	TD
KZ96	1.35*ZS1 + 1.35*ZS2 + 1.05*ZS5 + 0.75*ZS7 + 1.5*ZS9	1625	0.000	0.61	≤ 1	ST363)	TD
KZ97	1.35*ZS1 + 1.35*ZS2 + 1.05*ZS5 + 0.75*ZS7 + 1.5*ZS10	1625	0.000	0.61	≤ 1	ST363)	TD
KZ98	1.35*ZS1 + 1.35*ZS2 + 1.05*ZS5 + 0.75*ZS8 + 1.5*ZS9	1625	0.000	0.61	≤ 1	ST363)	TD
KZ99	1.35*ZS1 + 1.35*ZS2 + 1.05*ZS5 + 0.75*ZS8 + 1.5*ZS10	1625	0.000	0.61	≤ 1	ST363)	TD
KZ100	1.35*ZS1 + 1.35*ZS2 + 0.75*ZS6 + 1.5*ZS9	1615	1.710	0.19	≤ 1	ST363)	TD
KZ101	1.35*ZS1 + 1.35*ZS2 + 0.75*ZS6 + 1.5*ZS10	1615	1.710	0.19	≤ 1	ST363)	TD
KZ102	1.35*ZS1 + 1.35*ZS2 + 0.75*ZS7 + 1.5*ZS9	1615	1.710	0.19	≤ 1	ST363)	TD
KZ103	1.35*ZS1 + 1.35*ZS2 + 0.75*ZS7 + 1.5*ZS10	1615	1.710	0.19	≤ 1	ST363)	TD
KZ104	1.35*ZS1 + 1.35*ZS2 + 0.75*ZS8 + 1.5*ZS9	1615	1.710	0.19	≤ 1	ST363)	TD
KZ105	1.35*ZS1 + 1.35*ZS2 + 0.75*ZS8 + 1.5*ZS10	1615	1.710	0.19	≤ 1	ST363)	TD
KV1	MSÚ (STR/GEO) - slálá / přechodná - rovn. 6.10	1615	0.000	0.83	≤ 1	ST363)	TD
Posouzení mezního stavu použitelnosti							
KZ106	ZS1 + ZS2	1611	0.000	0.00	≤ 1	SE400)	PC
KZ107	ZS1 + ZS2 + ZS3	1611	0.000	0.00	≤ 1	SE400)	PC
KZ108	ZS1 + ZS2 + ZS4	1611	0.000	0.00	≤ 1	SE400)	PC
KZ109	ZS1 + ZS2 + ZS5	1611	0.000	0.00	≤ 1	SE400)	PC
KZ110	ZS1 + ZS2 + ZS3 + 0.5*ZS6	1611	0.000	0.00	≤ 1	SE400)	PC
KZ111	ZS1 + ZS2 + ZS3 + 0.5*ZS7	1611	0.000	0.00	≤ 1	SE400)	PC





Projekt:

Model: Varianta B

Datum: 08.01.2019

## 2.1 POSOUZENÍ PO ZATĚŽOVACÍCH STAVECH

ZS/KZ/ KV	Označení ZS nebo KZ/KV	Pрут č.	Místo x [m]	Návrh	Návrh č.	Označení
KZ112	ZS1 + ZS2 + ZS3 + 0.5*ZS8	1611	0.000	0.00	≤ 1	SE400) PC
KZ113	ZS1 + ZS2 + ZS4 + 0.5*ZS6	1611	0.000	0.00	≤ 1	SE400) PC
KZ114	ZS1 + ZS2 + ZS4 + 0.5*ZS7	1611	0.000	0.00	≤ 1	SE400) PC
KZ115	ZS1 + ZS2 + ZS4 + 0.5*ZS8	1611	0.000	0.00	≤ 1	SE400) PC
KZ116	ZS1 + ZS2 + ZS5 + 0.5*ZS6	1611	0.000	0.00	≤ 1	SE400) PC
KZ117	ZS1 + ZS2 + ZS5 + 0.5*ZS7	1611	0.000	0.00	≤ 1	SE400) PC
KZ118	ZS1 + ZS2 + ZS5 + 0.5*ZS8	1611	0.000	0.00	≤ 1	SE400) PC
KZ119	ZS1 + ZS2 + ZS3 + 0.5*ZS6 + 0.6*ZS9	1615	1.710	0.46	≤ 1	SE406) PC
KZ120	ZS1 + ZS2 + ZS3 + 0.5*ZS6 + 0.6*ZS10	1615	1.710	0.46	≤ 1	SE406) PC
KZ121	ZS1 + ZS2 + ZS3 + 0.5*ZS7 + 0.6*ZS9	1615	1.710	0.46	≤ 1	SE406) PC
KZ122	ZS1 + ZS2 + ZS3 + 0.5*ZS7 + 0.6*ZS10	1615	1.710	0.46	≤ 1	SE406) PC
KZ123	ZS1 + ZS2 + ZS3 + 0.5*ZS8 + 0.6*ZS9	1615	1.710	0.45	≤ 1	SE406) PC
KZ124	ZS1 + ZS2 + ZS3 + 0.5*ZS8 + 0.6*ZS10	1615	1.710	0.46	≤ 1	SE406) PC
KZ125	ZS1 + ZS2 + ZS4 + 0.5*ZS6 + 0.6*ZS9	1615	1.140	0.45	≤ 1	SE406) PC
KZ126	ZS1 + ZS2 + ZS4 + 0.5*ZS6 + 0.6*ZS10	1615	1.140	0.45	≤ 1	SE406) PC
KZ127	ZS1 + ZS2 + ZS4 + 0.5*ZS7 + 0.6*ZS9	1615	1.140	0.45	≤ 1	SE406) PC
KZ128	ZS1 + ZS2 + ZS4 + 0.5*ZS7 + 0.6*ZS10	1615	1.710	0.45	≤ 1	SE406) PC
KZ129	ZS1 + ZS2 + ZS4 + 0.5*ZS8 + 0.6*ZS9	1615	1.710	0.45	≤ 1	SE406) PC
KZ130	ZS1 + ZS2 + ZS4 + 0.5*ZS8 + 0.6*ZS10	1615	1.710	0.45	≤ 1	SE406) PC
KZ131	ZS1 + ZS2 + ZS5 + 0.5*ZS6 + 0.6*ZS9	1615	1.710	0.46	≤ 1	SE406) PC
KZ132	ZS1 + ZS2 + ZS5 + 0.5*ZS6 + 0.6*ZS10	1615	1.710	0.46	≤ 1	SE406) PC
KZ133	ZS1 + ZS2 + ZS5 + 0.5*ZS7 + 0.6*ZS9	1615	1.710	0.46	≤ 1	SE406) PC
KZ134	ZS1 + ZS2 + ZS5 + 0.5*ZS7 + 0.6*ZS10	1615	1.710	0.46	≤ 1	SE406) PC
KZ135	ZS1 + ZS2 + ZS5 + 0.5*ZS8 + 0.6*ZS9	1615	1.710	0.46	≤ 1	SE406) PC
KZ136	ZS1 + ZS2 + ZS5 + 0.5*ZS8 + 0.6*ZS10	1615	1.710	0.46	≤ 1	SE406) PC
KZ137	ZS1 + ZS2 + ZS3 + 0.6*ZS9	1615	1.710	0.46	≤ 1	SE406) PC
KZ138	ZS1 + ZS2 + ZS3 + 0.6*ZS10	1615	1.710	0.46	≤ 1	SE406) PC
KZ139	ZS1 + ZS2 + ZS4 + 0.6*ZS9	1615	1.140	0.45	≤ 1	SE406) PC
KZ140	ZS1 + ZS2 + ZS4 + 0.6*ZS10	1615	1.710	0.45	≤ 1	SE406) PC
KZ141	ZS1 + ZS2 + ZS5 + 0.6*ZS9	1615	1.710	0.46	≤ 1	SE406) PC
KZ142	ZS1 + ZS2 + ZS5 + 0.6*ZS10	1615	1.710	0.46	≤ 1	SE406) PC
KZ143	ZS1 + ZS2 + ZS6	1611	0.000	0.00	≤ 1	SE400) PC
KZ144	ZS1 + ZS2 + ZS7	1611	0.000	0.00	≤ 1	SE400) PC
KZ145	ZS1 + ZS2 + ZS8	1611	0.000	0.00	≤ 1	SE400) PC
KZ146	ZS1 + ZS2 + 0.7*ZS3 + ZS6	1611	0.000	0.00	≤ 1	SE400) PC
KZ147	ZS1 + ZS2 + 0.7*ZS3 + ZS7	1611	0.000	0.00	≤ 1	SE400) PC
KZ148	ZS1 + ZS2 + 0.7*ZS3 + ZS8	1611	0.000	0.00	≤ 1	SE400) PC
KZ149	ZS1 + ZS2 + 0.7*ZS4 + ZS6	1611	0.000	0.00	≤ 1	SE400) PC
KZ150	ZS1 + ZS2 + 0.7*ZS4 + ZS7	1611	0.000	0.00	≤ 1	SE400) PC
KZ151	ZS1 + ZS2 + 0.7*ZS4 + ZS8	1611	0.000	0.00	≤ 1	SE400) PC
KZ152	ZS1 + ZS2 + 0.7*ZS5 + ZS6	1611	0.000	0.00	≤ 1	SE400) PC
KZ153	ZS1 + ZS2 + 0.7*ZS5 + ZS7	1611	0.000	0.00	≤ 1	SE400) PC
KZ154	ZS1 + ZS2 + 0.7*ZS5 + ZS8	1611	0.000	0.00	≤ 1	SE400) PC
KZ155	ZS1 + ZS2 + 0.7*ZS3 + ZS6 + 0.6*ZS9	1615	1.710	0.46	≤ 1	SE406) PC
KZ156	ZS1 + ZS2 + 0.7*ZS3 + ZS6 + 0.6*ZS10	1615	1.710	0.46	≤ 1	SE406) PC
KZ157	ZS1 + ZS2 + 0.7*ZS3 + ZS7 + 0.6*ZS9	1615	1.710	0.46	≤ 1	SE406) PC
KZ158	ZS1 + ZS2 + 0.7*ZS3 + ZS7 + 0.6*ZS10	1615	1.710	0.46	≤ 1	SE406) PC
KZ159	ZS1 + ZS2 + 0.7*ZS3 + ZS8 + 0.6*ZS9	1615	1.710	0.46	≤ 1	SE406) PC
KZ160	ZS1 + ZS2 + 0.7*ZS3 + ZS8 + 0.6*ZS10	1615	1.710	0.46	≤ 1	SE406) PC
KZ161	ZS1 + ZS2 + 0.7*ZS4 + ZS6 + 0.6*ZS9	1615	1.710	0.45	≤ 1	SE406) PC
KZ162	ZS1 + ZS2 + 0.7*ZS4 + ZS6 + 0.6*ZS10	1615	1.710	0.45	≤ 1	SE406) PC
KZ163	ZS1 + ZS2 + 0.7*ZS4 + ZS7 + 0.6*ZS9	1615	1.710	0.45	≤ 1	SE406) PC
KZ164	ZS1 + ZS2 + 0.7*ZS4 + ZS7 + 0.6*ZS10	1615	1.710	0.45	≤ 1	SE406) PC
KZ165	ZS1 + ZS2 + 0.7*ZS4 + ZS8 + 0.6*ZS9	1615	1.140	0.45	≤ 1	SE406) PC
KZ166	ZS1 + ZS2 + 0.7*ZS4 + ZS8 + 0.6*ZS10	1615	1.140	0.45	≤ 1	SE406) PC
KZ167	ZS1 + ZS2 + 0.7*ZS5 + ZS6 + 0.6*ZS9	1615	1.710	0.46	≤ 1	SE406) PC
KZ168	ZS1 + ZS2 + 0.7*ZS5 + ZS6 + 0.6*ZS10	1615	1.710	0.46	≤ 1	SE406) PC
KZ169	ZS1 + ZS2 + 0.7*ZS5 + ZS7 + 0.6*ZS9	1615	1.710	0.46	≤ 1	SE406) PC
KZ170	ZS1 + ZS2 + 0.7*ZS5 + ZS7 + 0.6*ZS10	1615	1.710	0.46	≤ 1	SE406) PC
KZ171	ZS1 + ZS2 + 0.7*ZS5 + ZS8 + 0.6*ZS9	1615	1.710	0.46	≤ 1	SE406) PC
KZ172	ZS1 + ZS2 + 0.7*ZS5 + ZS8 + 0.6*ZS10	1615	1.710	0.46	≤ 1	SE406) PC
KZ173	ZS1 + ZS2 + ZS6 + 0.6*ZS9	1615	1.140	0.46	≤ 1	SE406) PC
KZ174	ZS1 + ZS2 + ZS6 + 0.6*ZS10	1615	1.710	0.46	≤ 1	SE406) PC
KZ175	ZS1 + ZS2 + ZS7 + 0.6*ZS9	1615	1.140	0.46	≤ 1	SE406) PC
KZ176	ZS1 + ZS2 + ZS7 + 0.6*ZS10	1615	1.140	0.46	≤ 1	SE406) PC
KZ177	ZS1 + ZS2 + ZS8 + 0.6*ZS9	1615	1.710	0.46	≤ 1	SE406) PC
KZ178	ZS1 + ZS2 + ZS8 + 0.6*ZS10	1615	1.710	0.46	≤ 1	SE406) PC
KZ179	ZS1 + ZS2 + ZS9	1615	1.140	0.77	≤ 1	SE406) PC
KZ180	ZS1 + ZS2 + ZS10	1615	1.710	0.77	≤ 1	SE406) PC
KZ181	ZS1 + ZS2 + 0.7*ZS3 + ZS9	1615	1.710	0.77	≤ 1	SE406) PC
KZ182	ZS1 + ZS2 + 0.7*ZS3 + ZS10	1615	1.710	0.77	≤ 1	SE406) PC
KZ183	ZS1 + ZS2 + 0.7*ZS4 + ZS9	1615	1.710	0.77	≤ 1	SE406) PC
KZ184	ZS1 + ZS2 + 0.7*ZS4 + ZS10	1615	1.140	0.77	≤ 1	SE406) PC
KZ185	ZS1 + ZS2 + 0.7*ZS5 + ZS9	1615	1.710	0.78	≤ 1	SE406) PC
KZ186	ZS1 + ZS2 + 0.7*ZS5 + ZS10	1615	1.710	0.78	≤ 1	SE406) PC
KZ187	ZS1 + ZS2 + 0.7*ZS3 + 0.5*ZS6 + ZS9	1615	1.710	0.77	≤ 1	SE406) PC
KZ188	ZS1 + ZS2 + 0.7*ZS3 + 0.5*ZS6 + ZS10	1615	1.710	0.77	≤ 1	SE406) PC
KZ189	ZS1 + ZS2 + 0.7*ZS3 + 0.5*ZS7 + ZS9	1615	1.710	0.77	≤ 1	SE406) PC
KZ190	ZS1 + ZS2 + 0.7*ZS3 + 0.5*ZS7 + ZS10	1615	1.710	0.77	≤ 1	SE406) PC
KZ191	ZS1 + ZS2 + 0.7*ZS3 + 0.5*ZS8 + ZS9	1615	1.710	0.77	≤ 1	SE406) PC
KZ192	ZS1 + ZS2 + 0.7*ZS3 + 0.5*ZS8 + ZS10	1615	1.710	0.77	≤ 1	SE406) PC
KZ193	ZS1 + ZS2 + 0.7*ZS4 + 0.5*ZS6 + ZS9	1615	1.140	0.77	≤ 1	SE406) PC
KZ194	ZS1 + ZS2 + 0.7*ZS4 + 0.5*ZS6 + ZS10	1615	1.710	0.77	≤ 1	SE406) PC
KZ195	ZS1 + ZS2 + 0.7*ZS4 + 0.5*ZS7 + ZS9	1615	1.140	0.77	≤ 1	SE406) PC
KZ196	ZS1 + ZS2 + 0.7*ZS4 + 0.5*ZS7 + ZS10	1615	1.710	0.77	≤ 1	SE406) PC
KZ197	ZS1 + ZS2 + 0.7*ZS4 + 0.5*ZS8 + ZS9	1615	1.710	0.77	≤ 1	SE406) PC
KZ198	ZS1 + ZS2 + 0.7*ZS4 + 0.5*ZS8 + ZS10	1615	1.140	0.77	≤ 1	SE406) PC
KZ199	ZS1 + ZS2 + 0.7*ZS5 + 0.5*ZS6 + ZS9	1615	1.710	0.78	≤ 1	SE406) PC
KZ200	ZS1 + ZS2 + 0.7*ZS5 + 0.5*ZS6 + ZS10	1615	1.710	0.78	≤ 1	SE406) PC
KZ201	ZS1 + ZS2 + 0.7*ZS5 + 0.5*ZS7 + ZS9	1615	1.710	0.78	≤ 1	SE406) PC
KZ202	ZS1 + ZS2 + 0.7*ZS5 + 0.5*ZS7 + ZS10	1615	1.710	0.78	≤ 1	SE406) PC
KZ203	ZS1 + ZS2 + 0.7*ZS5 + 0.5*ZS8 + ZS9	1615	1.710	0.78	≤ 1	SE406) PC
KZ204	ZS1 + ZS2 + 0.7*ZS5 + 0.5*ZS8 + ZS10	1615	1.710	0.78	≤ 1	SE406) PC
KZ205	ZS1 + ZS2 + 0.5*ZS6 + ZS9	1615	1.710	0.77	≤ 1	SE406) PC

Projekt:

Model: Varianta B

Datum: 08.01.2019

## 2.1 POSOUZENÍ PO ZATĚŽOVACÍCH STAVECH

ZS/KZ/ KV	Označení ZS nebo KZ/KV	Prut č.	Místo x [m]	Návrh	Návrh č.	Označení
KZ206	ZS1 + ZS2 + 0.5*ZS6 + ZS10	1615	1.710	0.77	≤ 1	SE406) PC
KZ207	ZS1 + ZS2 + 0.5*ZS7 + ZS9	1615	1.140	0.77	≤ 1	SE406) PC
KZ208	ZS1 + ZS2 + 0.5*ZS7 + ZS10	1615	1.140	0.77	≤ 1	SE406) PC
KZ209	ZS1 + ZS2 + 0.5*ZS8 + ZS9	1615	1.140	0.77	≤ 1	SE406) PC
KZ210	ZS1 + ZS2 + 0.5*ZS8 + ZS10	1615	1.140	0.77	≤ 1	SE406) PC

## 2.2 POSOUZENÍ PO PRŮŘEZECH

Průř. č.	Prut č.	Místo x [m]	ZS/KZ/ KV	Návrh	Návrh č.	Označení
12	IPE 80   Feron - DIN 1025-5:1994					
	1615	0.000	ZS4	0.00	≤ 1	CS100) Zanedbatelné vnitřní síly
	1613	0.000	KZ86	0.01	≤ 1	CS101) Posouzení průřezu - tah podle 6.2.3
	1620	2.850	KZ97	0.01	≤ 1	CS102) Posouzení průřezu - tlak podle 6.2.4
	1619	1.200	KZ10	0.32	≤ 1	CS111) Posouzení průřezu - ohyb okolo y podle 6.2.5 - třída 1 nebo 2
	1624	1.200	ZS9	0.03	≤ 1	CS116) Posouzení průřezu - ohyb okolo z podle 6.2.5 - třída 1 nebo 2
	1624	2.400	KZ18	0.06	≤ 1	CS121) Posouzení průřezu - smyk ve směru z podle 6.2.6
	1615	2.850	KZ85	0.00	≤ 1	CS123) Posouzení průřezu - smyk ve směru y podle 6.2.6
	1611	0.000	ZS3	0.00	≤ 1	CS126) Posouzení průřezu - smykové boulení podle 6.2.6(6)
	1619	1.200	KZ10	0.32	≤ 1	CS141) Posouzení průřezu - ohyb a smyk podle 6.2.5 a 6.2.8
	1624	1.200	ZS9	0.03	≤ 1	CS151) Posouzení průřezu - ohyb okolo z a smyk podle 6.2.5 a 6.2.8
	1615	1.710	KZ17	0.17	≤ 1	CS161) Posouzení průřezu - dvouosý ohyb a smyk podle 6.2.6, 6.2.7 a 6.2.9
	1620	1.140	KZ9	0.31	≤ 1	CS181) Posouzení průřezu - ohyb, smyk a osová síla podle 6.2.9.1
	1615	1.140	ZS10	0.07	≤ 1	CS201) Posouzení průřezu - ohyb okolo z, smyk a osová síla podle 6.2.9.1
	1615	1.710	KZ85	0.17	≤ 1	CS221) Posouzení průřezu - dvouosý ohyb, smyk a osová síla podle 6.2.10 a 6.2.9
	1625	1.140	KZ4	0.76	≤ 1	ST331) Posouzení stability - klopení podle 6.3.2.1 a 6.3.2.3 - I průřez
	1615	0.000	KZ17	0.83	≤ 1	ST363) Posouzení stability - dvouosý ohyb podle 6.3.3, metoda 2
	1625	2.850	KZ11	0.76	≤ 1	ST364) Posouzení stability - ohyb a tlak podle 6.3.3, metoda 2
	1611	0.000	KZ106	0.00	≤ 1	SE400) Použitelnost - malé, resp. velmi malé deformace
	1615	1.710	KZ202	0.78	≤ 1	SE406) Použitelnost - kombinace zatížení 'charakteristická' - směr y

## 1.2 MATERIÁLY

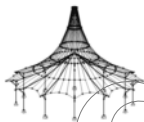
Materiál - č.	Označení materiálu	Modul pruž. E [MPa]	Smykový modul G [MPa]	Poissonův součinitel ν [-]	Mez kluzu f <sub>yk</sub> [MPa]	Max. tloušťka dílce t [mm]
1	Ocel S 355   DIN EN 1993-1-1:2010-12	210000.000	80769.200	0.300	355.000	40.0
	Baustahl S 235				335.000	80.0
					315.000	100.0
					295.000	150.0
					285.000	200.0
					275.000	250.0

## 1.3 PRŮŘEZY

Průř. č.	Materiál - č.	Označení průřezu	Typ průřezu	Max. návrhové využití	Komentář
11	1	RO 60.3x5 (za studena)	Trubka	0.74	

## 2.1 POSOUZENÍ PO ZATĚŽOVACÍCH STAVECH

ZS/KZ/ KV	Označení ZS nebo KZ/KV	Prut č.	Místo x [m]	Návrh	Návrh č.	Označení
	Posouzení mezního stavu únosnosti					
ZS1	Vlastní tíha	3	1.834	0.03	≤ 1	CS181) TD
ZS2	Ostatní stálé	34	0.000	0.00	≤ 1	CS100) TD
ZS3	Užitné plné	34	0.000	0.01	≤ 1	CS102) TD
ZS4	Užitné poloviční1	42	0.000	0.01	≤ 1	CS102) TD
ZS5	Užitné poloviční2	33	0.000	0.01	≤ 1	CS102) TD
ZS6	Sníh plný	34	0.000	0.00	≤ 1	CS100) TD
ZS7	Sníh poloviční 1	36	0.000	0.00	≤ 1	CS100) TD
ZS8	Sníh poloviční 2	33	0.000	0.00	≤ 1	CS100) TD
ZS9	Vítr ve směru X + tlak na přístřešek	2	0.000	0.38	≤ 1	ST302) TD
ZS10	Vítr ve směru X + sání na přístřešek	2	0.000	0.38	≤ 1	ST302) TD
KZ1	1.35*ZS1 + 1.35*ZS2	3	1.834	0.04	≤ 1	CS181) TD
KZ2	1.35*ZS1 + 1.35*ZS2 + 1.5*ZS3	34	1.321	0.04	≤ 1	ST301) TD
KZ3	1.35*ZS1 + 1.35*ZS2 + 1.5*ZS4	2	1.834	0.04	≤ 1	CS181) TD
KZ4	1.35*ZS1 + 1.35*ZS2 + 1.5*ZS5	3	1.834	0.04	≤ 1	CS181) TD
KZ5	1.35*ZS1 + 1.35*ZS2 + 1.5*ZS3 + 0.75*ZS6	34	1.321	0.05	≤ 1	ST301) TD
KZ6	1.35*ZS1 + 1.35*ZS2 + 1.5*ZS3 + 0.75*ZS7	34	1.321	0.05	≤ 1	ST301) TD
KZ7	1.35*ZS1 + 1.35*ZS2 + 1.5*ZS3 + 0.75*ZS8	34	1.321	0.05	≤ 1	ST301) TD
KZ8	1.35*ZS1 + 1.35*ZS2 + 1.5*ZS4 + 0.75*ZS6	2	1.834	0.04	≤ 1	CS181) TD
KZ9	1.35*ZS1 + 1.35*ZS2 + 1.5*ZS4 + 0.75*ZS7	2	1.834	0.04	≤ 1	CS181) TD
KZ10	1.35*ZS1 + 1.35*ZS2 + 1.5*ZS4 + 0.75*ZS8	2	1.834	0.04	≤ 1	CS181) TD
KZ11	1.35*ZS1 + 1.35*ZS2 + 1.5*ZS5 + 0.75*ZS6	3	1.834	0.04	≤ 1	CS181) TD



Projekt:

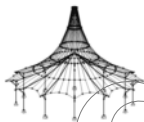
Model: Varianta B

Datum:

08.01.2019

## 2.1 POSOUZENÍ PO ZATĚŽOVACÍCH STAVECH

ZS/KZ/ KV	Označení ZS nebo KZ/KV	Prut č.	Místo x [m]	Návrh		Návrh č.	Označení
KZ12	1.35*ZS1 + 1.35*ZS2 + 1.5*ZS5 + 0.75*ZS7	3	1.834	0.04	≤ 1	CS181)	TD
KZ13	1.35*ZS1 + 1.35*ZS2 + 1.5*ZS5 + 0.75*ZS8	3	1.834	0.04	≤ 1	CS181)	TD
KZ14	1.35*ZS1 + 1.35*ZS2 + 1.5*ZS3 + 0.75*ZS6 + 0.9*ZS9	2	0.000	0.47	≤ 1	ST364)	TD
KZ15	1.35*ZS1 + 1.35*ZS2 + 1.5*ZS3 + 0.75*ZS6 + 0.9*ZS10	2	0.000	0.47	≤ 1	ST364)	TD
KZ16	1.35*ZS1 + 1.35*ZS2 + 1.5*ZS3 + 0.75*ZS7 + 0.9*ZS9	2	0.000	0.47	≤ 1	ST364)	TD
KZ17	1.35*ZS1 + 1.35*ZS2 + 1.5*ZS3 + 0.75*ZS7 + 0.9*ZS10	2	0.000	0.47	≤ 1	ST364)	TD
KZ18	1.35*ZS1 + 1.35*ZS2 + 1.5*ZS3 + 0.75*ZS8 + 0.9*ZS9	2	0.000	0.47	≤ 1	ST364)	TD
KZ19	1.35*ZS1 + 1.35*ZS2 + 1.5*ZS3 + 0.75*ZS8 + 0.9*ZS10	2	0.000	0.47	≤ 1	ST364)	TD
KZ20	1.35*ZS1 + 1.35*ZS2 + 1.5*ZS4 + 0.75*ZS6 + 0.9*ZS9	2	0.000	0.45	≤ 1	ST364)	TD
KZ21	1.35*ZS1 + 1.35*ZS2 + 1.5*ZS4 + 0.75*ZS6 + 0.9*ZS10	2	0.000	0.45	≤ 1	ST364)	TD
KZ22	1.35*ZS1 + 1.35*ZS2 + 1.5*ZS4 + 0.75*ZS7 + 0.9*ZS9	2	0.000	0.45	≤ 1	ST364)	TD
KZ23	1.35*ZS1 + 1.35*ZS2 + 1.5*ZS4 + 0.75*ZS7 + 0.9*ZS10	2	0.000	0.45	≤ 1	ST364)	TD
KZ24	1.35*ZS1 + 1.35*ZS2 + 1.5*ZS4 + 0.75*ZS8 + 0.9*ZS9	2	0.000	0.45	≤ 1	ST364)	TD
KZ25	1.35*ZS1 + 1.35*ZS2 + 1.5*ZS4 + 0.75*ZS8 + 0.9*ZS10	2	0.000	0.45	≤ 1	ST364)	TD
KZ26	1.35*ZS1 + 1.35*ZS2 + 1.5*ZS5 + 0.75*ZS6 + 0.9*ZS9	2	0.611	0.45	≤ 1	ST364)	TD
KZ27	1.35*ZS1 + 1.35*ZS2 + 1.5*ZS5 + 0.75*ZS6 + 0.9*ZS10	2	0.611	0.45	≤ 1	ST364)	TD
KZ28	1.35*ZS1 + 1.35*ZS2 + 1.5*ZS5 + 0.75*ZS7 + 0.9*ZS9	2	0.611	0.45	≤ 1	ST364)	TD
KZ29	1.35*ZS1 + 1.35*ZS2 + 1.5*ZS5 + 0.75*ZS7 + 0.9*ZS10	2	0.000	0.45	≤ 1	ST364)	TD
KZ30	1.35*ZS1 + 1.35*ZS2 + 1.5*ZS5 + 0.75*ZS8 + 0.9*ZS9	2	0.611	0.45	≤ 1	ST364)	TD
KZ31	1.35*ZS1 + 1.35*ZS2 + 1.5*ZS5 + 0.75*ZS8 + 0.9*ZS10	2	0.611	0.45	≤ 1	ST364)	TD
KZ32	1.35*ZS1 + 1.35*ZS2 + 1.5*ZS3 + 0.9*ZS9	2	0.000	0.47	≤ 1	ST364)	TD
KZ33	1.35*ZS1 + 1.35*ZS2 + 1.5*ZS3 + 0.9*ZS10	2	0.000	0.47	≤ 1	ST364)	TD
KZ34	1.35*ZS1 + 1.35*ZS2 + 1.5*ZS4 + 0.9*ZS9	2	0.000	0.45	≤ 1	ST364)	TD
KZ35	1.35*ZS1 + 1.35*ZS2 + 1.5*ZS4 + 0.9*ZS10	2	0.000	0.45	≤ 1	ST364)	TD
KZ36	1.35*ZS1 + 1.35*ZS2 + 1.5*ZS5 + 0.9*ZS9	2	0.611	0.45	≤ 1	ST364)	TD
KZ37	1.35*ZS1 + 1.35*ZS2 + 1.5*ZS5 + 0.9*ZS10	2	0.611	0.45	≤ 1	ST364)	TD
KZ38	1.35*ZS1 + 1.35*ZS2 + 1.5*ZS6	3	1.834	0.04	≤ 1	CS181)	TD
KZ39	1.35*ZS1 + 1.35*ZS2 + 1.5*ZS7	3	1.834	0.04	≤ 1	CS181)	TD
KZ40	1.35*ZS1 + 1.35*ZS2 + 1.5*ZS8	2	1.834	0.04	≤ 1	CS181)	TD
KZ41	1.35*ZS1 + 1.35*ZS2 + 1.05*ZS3 + 1.5*ZS6	2	1.834	0.04	≤ 1	CS181)	TD
KZ42	1.35*ZS1 + 1.35*ZS2 + 1.05*ZS3 + 1.5*ZS7	2	1.834	0.04	≤ 1	CS181)	TD
KZ43	1.35*ZS1 + 1.35*ZS2 + 1.05*ZS3 + 1.5*ZS8	2	1.834	0.04	≤ 1	CS181)	TD
KZ44	1.35*ZS1 + 1.35*ZS2 + 1.05*ZS4 + 1.5*ZS6	2	1.834	0.04	≤ 1	CS181)	TD
KZ45	1.35*ZS1 + 1.35*ZS2 + 1.05*ZS4 + 1.5*ZS7	2	1.834	0.04	≤ 1	CS181)	TD
KZ46	1.35*ZS1 + 1.35*ZS2 + 1.05*ZS4 + 1.5*ZS8	2	1.834	0.04	≤ 1	CS181)	TD
KZ47	1.35*ZS1 + 1.35*ZS2 + 1.05*ZS5 + 1.5*ZS6	3	1.834	0.04	≤ 1	CS181)	TD
KZ48	1.35*ZS1 + 1.35*ZS2 + 1.05*ZS5 + 1.5*ZS7	3	1.834	0.04	≤ 1	CS181)	TD
KZ49	1.35*ZS1 + 1.35*ZS2 + 1.05*ZS5 + 1.5*ZS8	2	1.834	0.04	≤ 1	CS181)	TD
KZ50	1.35*ZS1 + 1.35*ZS2 + 1.05*ZS3 + 1.5*ZS6 + 0.9*ZS9	2	0.000	0.46	≤ 1	ST364)	TD
KZ51	1.35*ZS1 + 1.35*ZS2 + 1.05*ZS3 + 1.5*ZS6 + 0.9*ZS10	2	0.000	0.46	≤ 1	ST364)	TD
KZ52	1.35*ZS1 + 1.35*ZS2 + 1.05*ZS3 + 1.5*ZS7 + 0.9*ZS9	2	0.000	0.46	≤ 1	ST364)	TD
KZ53	1.35*ZS1 + 1.35*ZS2 + 1.05*ZS3 + 1.5*ZS7 + 0.9*ZS10	2	0.000	0.46	≤ 1	ST364)	TD
KZ54	1.35*ZS1 + 1.35*ZS2 + 1.05*ZS3 + 1.5*ZS8 + 0.9*ZS9	2	0.000	0.46	≤ 1	ST364)	TD
KZ55	1.35*ZS1 + 1.35*ZS2 + 1.05*ZS3 + 1.5*ZS8 + 0.9*ZS10	2	0.000	0.46	≤ 1	ST364)	TD
KZ56	1.35*ZS1 + 1.35*ZS2 + 1.05*ZS4 + 1.5*ZS6 + 0.9*ZS9	2	0.000	0.45	≤ 1	ST364)	TD
KZ57	1.35*ZS1 + 1.35*ZS2 + 1.05*ZS4 + 1.5*ZS6 + 0.9*ZS10	2	0.000	0.45	≤ 1	ST364)	TD
KZ58	1.35*ZS1 + 1.35*ZS2 + 1.05*ZS4 + 1.5*ZS7 + 0.9*ZS9	2	0.000	0.44	≤ 1	ST364)	TD
KZ59	1.35*ZS1 + 1.35*ZS2 + 1.05*ZS4 + 1.5*ZS7 + 0.9*ZS10	2	0.000	0.44	≤ 1	ST364)	TD
KZ60	1.35*ZS1 + 1.35*ZS2 + 1.05*ZS4 + 1.5*ZS8 + 0.9*ZS9	2	0.000	0.45	≤ 1	ST364)	TD
KZ61	1.35*ZS1 + 1.35*ZS2 + 1.05*ZS4 + 1.5*ZS8 + 0.9*ZS10	2	0.000	0.45	≤ 1	ST364)	TD
KZ62	1.35*ZS1 + 1.35*ZS2 + 1.05*ZS5 + 1.5*ZS6 + 0.9*ZS9	2	0.000	0.44	≤ 1	ST364)	TD
KZ63	1.35*ZS1 + 1.35*ZS2 + 1.05*ZS5 + 1.5*ZS6 + 0.9*ZS10	2	0.000	0.44	≤ 1	ST364)	TD
KZ64	1.35*ZS1 + 1.35*ZS2 + 1.05*ZS5 + 1.5*ZS7 + 0.9*ZS9	2	0.000	0.44	≤ 1	ST364)	TD
KZ65	1.35*ZS1 + 1.35*ZS2 + 1.05*ZS5 + 1.5*ZS7 + 0.9*ZS10	2	0.000	0.44	≤ 1	ST364)	TD
KZ66	1.35*ZS1 + 1.35*ZS2 + 1.05*ZS5 + 1.5*ZS8 + 0.9*ZS9	2	0.000	0.45	≤ 1	ST364)	TD
KZ67	1.35*ZS1 + 1.35*ZS2 + 1.05*ZS5 + 1.5*ZS8 + 0.9*ZS10	2	0.000	0.45	≤ 1	ST364)	TD
KZ68	1.35*ZS1 + 1.35*ZS2 + 1.5*ZS6 + 0.9*ZS9	2	0.611	0.43	≤ 1	ST364)	TD
KZ69	1.35*ZS1 + 1.35*ZS2 + 1.5*ZS6 + 0.9*ZS10	2	0.000	0.43	≤ 1	ST364)	TD



Projekt:

Model: Varianta B

Datum:

08.01.2019

## 2.1 POSOUZENÍ PO ZATĚŽOVACÍCH STAVECH

ZS/KZ/ KV	Označení ZS nebo KZ/KV	Přut č.	Místo x [m]	Návrh		Návrh č.	Označení
KZ70	1.35*ZS1 + 1.35*ZS2 + 1.5*ZS7 + 0.9*ZS9	2	0.611	0.43	≤ 1	ST364)	TD
KZ71	1.35*ZS1 + 1.35*ZS2 + 1.5*ZS7 + 0.9*ZS10	2	0.000	0.43	≤ 1	ST364)	TD
KZ72	1.35*ZS1 + 1.35*ZS2 + 1.5*ZS8 + 0.9*ZS9	2	0.611	0.44	≤ 1	ST364)	TD
KZ73	1.35*ZS1 + 1.35*ZS2 + 1.5*ZS8 + 0.9*ZS10	2	0.000	0.44	≤ 1	ST364)	TD
KZ74	1.35*ZS1 + 1.35*ZS2 + 1.5*ZS9	2	0.000	0.70	≤ 1	ST364)	TD
KZ75	1.35*ZS1 + 1.35*ZS2 + 1.5*ZS10	2	0.000	0.70	≤ 1	ST364)	TD
KZ76	1.35*ZS1 + 1.35*ZS2 + 1.05*ZS3 + 1.5*ZS9	2	0.000	0.73	≤ 1	ST364)	TD
KZ77	1.35*ZS1 + 1.35*ZS2 + 1.05*ZS3 + 1.5*ZS10	2	0.000	0.73	≤ 1	ST364)	TD
KZ78	1.35*ZS1 + 1.35*ZS2 + 1.05*ZS4 + 1.5*ZS9	2	0.000	0.72	≤ 1	ST364)	TD
KZ79	1.35*ZS1 + 1.35*ZS2 + 1.05*ZS4 + 1.5*ZS10	2	0.000	0.72	≤ 1	ST364)	TD
KZ80	1.35*ZS1 + 1.35*ZS2 + 1.05*ZS5 + 1.5*ZS9	2	0.000	0.72	≤ 1	ST364)	TD
KZ81	1.35*ZS1 + 1.35*ZS2 + 1.05*ZS5 + 1.5*ZS10	2	0.000	0.72	≤ 1	ST364)	TD
KZ82	1.35*ZS1 + 1.35*ZS2 + 1.05*ZS3 + 0.75*ZS6 + 1.5*ZS9	2	0.000	0.73	≤ 1	ST364)	TD
KZ83	1.35*ZS1 + 1.35*ZS2 + 1.05*ZS3 + 0.75*ZS6 + 1.5*ZS10	2	0.000	0.73	≤ 1	ST364)	TD
KZ84	1.35*ZS1 + 1.35*ZS2 + 1.05*ZS3 + 0.75*ZS7 + 1.5*ZS9	2	0.000	0.73	≤ 1	ST364)	TD
KZ85	1.35*ZS1 + 1.35*ZS2 + 1.05*ZS3 + 0.75*ZS7 + 1.5*ZS10	2	0.000	0.73	≤ 1	ST364)	TD
KZ86	1.35*ZS1 + 1.35*ZS2 + 1.05*ZS3 + 0.75*ZS8 + 1.5*ZS9	2	0.000	0.73	≤ 1	ST364)	TD
KZ87	1.35*ZS1 + 1.35*ZS2 + 1.05*ZS3 + 0.75*ZS8 + 1.5*ZS10	2	0.000	0.74	≤ 1	ST364)	TD
KZ88	1.35*ZS1 + 1.35*ZS2 + 1.05*ZS4 + 0.75*ZS6 + 1.5*ZS9	2	0.000	0.72	≤ 1	ST364)	TD
KZ89	1.35*ZS1 + 1.35*ZS2 + 1.05*ZS4 + 0.75*ZS6 + 1.5*ZS10	2	0.000	0.72	≤ 1	ST364)	TD
KZ90	1.35*ZS1 + 1.35*ZS2 + 1.05*ZS4 + 0.75*ZS7 + 1.5*ZS9	2	0.000	0.72	≤ 1	ST364)	TD
KZ91	1.35*ZS1 + 1.35*ZS2 + 1.05*ZS4 + 0.75*ZS7 + 1.5*ZS10	2	0.000	0.72	≤ 1	ST364)	TD
KZ92	1.35*ZS1 + 1.35*ZS2 + 1.05*ZS4 + 0.75*ZS8 + 1.5*ZS9	2	0.000	0.72	≤ 1	ST364)	TD
KZ93	1.35*ZS1 + 1.35*ZS2 + 1.05*ZS4 + 0.75*ZS8 + 1.5*ZS10	2	0.000	0.72	≤ 1	ST364)	TD
KZ94	1.35*ZS1 + 1.35*ZS2 + 1.05*ZS5 + 0.75*ZS6 + 1.5*ZS9	2	0.000	0.72	≤ 1	ST364)	TD
KZ95	1.35*ZS1 + 1.35*ZS2 + 1.05*ZS5 + 0.75*ZS6 + 1.5*ZS10	2	0.000	0.72	≤ 1	ST364)	TD
KZ96	1.35*ZS1 + 1.35*ZS2 + 1.05*ZS5 + 0.75*ZS7 + 1.5*ZS9	2	0.000	0.71	≤ 1	ST364)	TD
KZ97	1.35*ZS1 + 1.35*ZS2 + 1.05*ZS5 + 0.75*ZS7 + 1.5*ZS10	2	0.000	0.71	≤ 1	ST364)	TD
KZ98	1.35*ZS1 + 1.35*ZS2 + 1.05*ZS5 + 0.75*ZS8 + 1.5*ZS9	2	0.000	0.72	≤ 1	ST364)	TD
KZ99	1.35*ZS1 + 1.35*ZS2 + 1.05*ZS5 + 0.75*ZS8 + 1.5*ZS10	2	0.000	0.72	≤ 1	ST364)	TD
KZ100	1.35*ZS1 + 1.35*ZS2 + 0.75*ZS6 + 1.5*ZS9	2	0.000	0.70	≤ 1	ST364)	TD
KZ101	1.35*ZS1 + 1.35*ZS2 + 0.75*ZS6 + 1.5*ZS10	2	0.000	0.70	≤ 1	ST364)	TD
KZ102	1.35*ZS1 + 1.35*ZS2 + 0.75*ZS7 + 1.5*ZS9	2	0.000	0.70	≤ 1	ST364)	TD
KZ103	1.35*ZS1 + 1.35*ZS2 + 0.75*ZS7 + 1.5*ZS10	2	0.000	0.70	≤ 1	ST364)	TD
KZ104	1.35*ZS1 + 1.35*ZS2 + 0.75*ZS8 + 1.5*ZS9	2	0.000	0.71	≤ 1	ST364)	TD
KZ105	1.35*ZS1 + 1.35*ZS2 + 0.75*ZS8 + 1.5*ZS10	2	0.000	0.71	≤ 1	ST364)	TD
KV1	MSÚ (STR/GEO) - stálá / přechodná - rovn. 6.10	2	0.000	0.74	≤ 1	ST364)	TD
Posouzení mezního stavu použitelnosti							
KZ106	ZS1 + ZS2	3	2.446	0.30	≤ 1	SE401)	PC
KZ107	ZS1 + ZS2 + ZS3	2	1.834	0.30	≤ 1	SE401)	PC
KZ108	ZS1 + ZS2 + ZS4	2	2.446	0.30	≤ 1	SE401)	PC
KZ109	ZS1 + ZS2 + ZS5	3	1.834	0.30	≤ 1	SE401)	PC
KZ110	ZS1 + ZS2 + ZS3 + 0.5*ZS6	2	1.834	0.30	≤ 1	SE401)	PC
KZ111	ZS1 + ZS2 + ZS3 + 0.5*ZS7	2	1.834	0.30	≤ 1	SE401)	PC
KZ112	ZS1 + ZS2 + ZS3 + 0.5*ZS8	2	2.446	0.30	≤ 1	SE401)	PC
KZ113	ZS1 + ZS2 + ZS4 + 0.5*ZS6	2	2.446	0.30	≤ 1	SE401)	PC
KZ114	ZS1 + ZS2 + ZS4 + 0.5*ZS7	2	2.446	0.30	≤ 1	SE401)	PC
KZ115	ZS1 + ZS2 + ZS4 + 0.5*ZS8	2	2.446	0.30	≤ 1	SE401)	PC
KZ116	ZS1 + ZS2 + ZS5 + 0.5*ZS6	3	1.834	0.30	≤ 1	SE401)	PC
KZ117	ZS1 + ZS2 + ZS5 + 0.5*ZS7	3	1.834	0.30	≤ 1	SE401)	PC
KZ118	ZS1 + ZS2 + ZS5 + 0.5*ZS8	3	1.834	0.30	≤ 1	SE401)	PC
KZ119	ZS1 + ZS2 + ZS3 + 0.5*ZS6 + 0.6*ZS9	2	1.834	0.37	≤ 1	SE401)	PC
KZ120	ZS1 + ZS2 + ZS3 + 0.5*ZS6 + 0.6*ZS10	2	1.834	0.37	≤ 1	SE401)	PC
KZ121	ZS1 + ZS2 + ZS3 + 0.5*ZS7 + 0.6*ZS9	2	1.834	0.37	≤ 1	SE401)	PC
KZ122	ZS1 + ZS2 + ZS3 + 0.5*ZS7 + 0.6*ZS10	2	1.834	0.37	≤ 1	SE401)	PC
KZ123	ZS1 + ZS2 + ZS3 + 0.5*ZS8 + 0.6*ZS9	2	1.834	0.37	≤ 1	SE401)	PC
KZ124	ZS1 + ZS2 + ZS3 + 0.5*ZS8 + 0.6*ZS10	2	1.834	0.37	≤ 1	SE401)	PC
KZ125	ZS1 + ZS2 + ZS4 + 0.5*ZS6 + 0.6*ZS9	2	1.834	0.37	≤ 1	SE401)	PC
KZ126	ZS1 + ZS2 + ZS4 + 0.5*ZS6 + 0.6*ZS10	2	1.834	0.37	≤ 1	SE401)	PC
KZ127	ZS1 + ZS2 + ZS4 + 0.5*ZS7 + 0.6*ZS9	2	1.834	0.37	≤ 1	SE401)	PC
KZ128	ZS1 + ZS2 + ZS4 + 0.5*ZS7 + 0.6*ZS10	2	1.834	0.37	≤ 1	SE401)	PC
KZ129	ZS1 + ZS2 + ZS4 + 0.5*ZS8 + 0.6*ZS9	2	1.834	0.37	≤ 1	SE401)	PC
KZ130	ZS1 + ZS2 + ZS4 + 0.5*ZS8 + 0.6*ZS10	2	1.834	0.37	≤ 1	SE401)	PC
KZ131	ZS1 + ZS2 + ZS5 + 0.5*ZS6 + 0.6*ZS9	2	1.834	0.37	≤ 1	SE401)	PC
KZ132	ZS1 + ZS2 + ZS5 + 0.5*ZS6 + 0.6*ZS10	2	1.834	0.37	≤ 1	SE401)	PC
KZ133	ZS1 + ZS2 + ZS5 + 0.5*ZS7 + 0.6*ZS9	2	1.834	0.37	≤ 1	SE401)	PC
KZ134	ZS1 + ZS2 + ZS5 + 0.5*ZS7 + 0.6*ZS10	2	1.834	0.37	≤ 1	SE401)	PC
KZ135	ZS1 + ZS2 + ZS5 + 0.5*ZS8 + 0.6*ZS9	2	1.834	0.37	≤ 1	SE401)	PC
KZ136	ZS1 + ZS2 + ZS5 + 0.5*ZS8 + 0.6*ZS10	2	1.834	0.37	≤ 1	SE401)	PC
KZ137	ZS1 + ZS2 + ZS3 + 0.6*ZS9	2	1.834	0.37	≤ 1	SE401)	PC
KZ138	ZS1 + ZS2 + ZS3 + 0.6*ZS10	2	1.834	0.37	≤ 1	SE401)	PC
KZ139	ZS1 + ZS2 + ZS4 + 0.6*ZS9	2	1.834	0.37	≤ 1	SE401)	PC
KZ140	ZS1 + ZS2 + ZS4 + 0.6*ZS10	2	1.834	0.37	≤ 1	SE401)	PC
KZ141	ZS1 + ZS2 + ZS5 + 0.6*ZS9	2	1.834	0.37	≤ 1	SE401)	PC

Projekt:

Model: Varianta B

Datum: 08.01.2019

## 2.1 POSOUZENÍ PO ZATĚŽOVACÍCH STAVECH

ZS/KZ/ KV	Označení ZS nebo KZ/KV	Prut č.	Místo x [m]	Návrh		Návrh č.	Označení
KZ142	ZS1 + ZS2 + ZS5 + 0.6*ZS10	2	1.834	0.37	≤ 1	SE401)	PC
KZ143	ZS1 + ZS2 + ZS6	3	2.446	0.30	≤ 1	SE401)	PC
KZ144	ZS1 + ZS2 + ZS7	3	1.834	0.30	≤ 1	SE401)	PC
KZ145	ZS1 + ZS2 + ZS8	2	1.834	0.30	≤ 1	SE401)	PC
KZ146	ZS1 + ZS2 + 0.7*ZS3 + ZS6	2	1.834	0.30	≤ 1	SE401)	PC
KZ147	ZS1 + ZS2 + 0.7*ZS3 + ZS7	2	1.834	0.30	≤ 1	SE401)	PC
KZ148	ZS1 + ZS2 + 0.7*ZS3 + ZS8	2	1.834	0.30	≤ 1	SE401)	PC
KZ149	ZS1 + ZS2 + 0.7*ZS4 + ZS6	2	1.834	0.30	≤ 1	SE401)	PC
KZ150	ZS1 + ZS2 + 0.7*ZS4 + ZS7	2	1.834	0.30	≤ 1	SE401)	PC
KZ151	ZS1 + ZS2 + 0.7*ZS4 + ZS8	2	1.834	0.30	≤ 1	SE401)	PC
KZ152	ZS1 + ZS2 + 0.7*ZS5 + ZS6	3	2.446	0.30	≤ 1	SE401)	PC
KZ153	ZS1 + ZS2 + 0.7*ZS5 + ZS7	3	1.834	0.30	≤ 1	SE401)	PC
KZ154	ZS1 + ZS2 + 0.7*ZS5 + ZS8	2	2.446	0.30	≤ 1	SE401)	PC
KZ155	ZS1 + ZS2 + 0.7*ZS3 + ZS6 + 0.6*ZS9	2	1.834	0.37	≤ 1	SE401)	PC
KZ156	ZS1 + ZS2 + 0.7*ZS3 + ZS6 + 0.6*ZS10	2	1.834	0.37	≤ 1	SE401)	PC
KZ157	ZS1 + ZS2 + 0.7*ZS3 + ZS7 + 0.6*ZS9	2	1.834	0.37	≤ 1	SE401)	PC
KZ158	ZS1 + ZS2 + 0.7*ZS3 + ZS7 + 0.6*ZS10	2	1.834	0.37	≤ 1	SE401)	PC
KZ159	ZS1 + ZS2 + 0.7*ZS3 + ZS8 + 0.6*ZS9	2	1.834	0.37	≤ 1	SE401)	PC
KZ160	ZS1 + ZS2 + 0.7*ZS3 + ZS8 + 0.6*ZS10	2	1.834	0.37	≤ 1	SE401)	PC
KZ161	ZS1 + ZS2 + 0.7*ZS4 + ZS6 + 0.6*ZS9	2	1.834	0.37	≤ 1	SE401)	PC
KZ162	ZS1 + ZS2 + 0.7*ZS4 + ZS6 + 0.6*ZS10	2	1.834	0.37	≤ 1	SE401)	PC
KZ163	ZS1 + ZS2 + 0.7*ZS4 + ZS7 + 0.6*ZS9	2	1.834	0.37	≤ 1	SE401)	PC
KZ164	ZS1 + ZS2 + 0.7*ZS4 + ZS7 + 0.6*ZS10	2	1.834	0.37	≤ 1	SE401)	PC
KZ165	ZS1 + ZS2 + 0.7*ZS4 + ZS8 + 0.6*ZS9	2	1.834	0.37	≤ 1	SE401)	PC
KZ166	ZS1 + ZS2 + 0.7*ZS4 + ZS8 + 0.6*ZS10	2	1.834	0.37	≤ 1	SE401)	PC
KZ167	ZS1 + ZS2 + 0.7*ZS5 + ZS6 + 0.6*ZS9	2	1.834	0.37	≤ 1	SE401)	PC
KZ168	ZS1 + ZS2 + 0.7*ZS5 + ZS6 + 0.6*ZS10	2	1.834	0.37	≤ 1	SE401)	PC
KZ169	ZS1 + ZS2 + 0.7*ZS5 + ZS7 + 0.6*ZS9	2	1.834	0.37	≤ 1	SE401)	PC
KZ170	ZS1 + ZS2 + 0.7*ZS5 + ZS7 + 0.6*ZS10	2	1.834	0.37	≤ 1	SE401)	PC
KZ171	ZS1 + ZS2 + 0.7*ZS5 + ZS8 + 0.6*ZS9	2	1.834	0.37	≤ 1	SE401)	PC
KZ172	ZS1 + ZS2 + 0.7*ZS5 + ZS8 + 0.6*ZS10	2	1.834	0.37	≤ 1	SE401)	PC
KZ173	ZS1 + ZS2 + ZS6 + 0.6*ZS9	2	1.834	0.36	≤ 1	SE401)	PC
KZ174	ZS1 + ZS2 + ZS6 + 0.6*ZS10	2	1.834	0.36	≤ 1	SE401)	PC
KZ175	ZS1 + ZS2 + ZS7 + 0.6*ZS9	2	1.834	0.36	≤ 1	SE401)	PC
KZ176	ZS1 + ZS2 + ZS7 + 0.6*ZS10	2	1.834	0.36	≤ 1	SE401)	PC
KZ177	ZS1 + ZS2 + ZS8 + 0.6*ZS9	2	1.834	0.36	≤ 1	SE401)	PC
KZ178	ZS1 + ZS2 + ZS8 + 0.6*ZS10	2	1.834	0.36	≤ 1	SE401)	PC
KZ179	ZS1 + ZS2 + ZS9	2	1.834	0.43	≤ 1	SE401)	PC
KZ180	ZS1 + ZS2 + ZS10	2	1.834	0.43	≤ 1	SE401)	PC
KZ181	ZS1 + ZS2 + 0.7*ZS3 + ZS9	2	1.834	0.44	≤ 1	SE401)	PC
KZ182	ZS1 + ZS2 + 0.7*ZS3 + ZS10	2	1.834	0.44	≤ 1	SE401)	PC
KZ183	ZS1 + ZS2 + 0.7*ZS4 + ZS9	2	1.834	0.43	≤ 1	SE401)	PC
KZ184	ZS1 + ZS2 + 0.7*ZS4 + ZS10	2	1.834	0.43	≤ 1	SE401)	PC
KZ185	ZS1 + ZS2 + 0.7*ZS5 + ZS9	2	1.834	0.43	≤ 1	SE401)	PC
KZ186	ZS1 + ZS2 + 0.7*ZS5 + ZS10	2	1.834	0.43	≤ 1	SE401)	PC
KZ187	ZS1 + ZS2 + 0.7*ZS3 + 0.5*ZS6 + ZS9	2	1.834	0.44	≤ 1	SE401)	PC
KZ188	ZS1 + ZS2 + 0.7*ZS3 + 0.5*ZS6 + ZS10	2	1.834	0.44	≤ 1	SE401)	PC
KZ189	ZS1 + ZS2 + 0.7*ZS3 + 0.5*ZS7 + ZS9	2	1.834	0.44	≤ 1	SE401)	PC
KZ190	ZS1 + ZS2 + 0.7*ZS3 + 0.5*ZS7 + ZS10	2	1.834	0.44	≤ 1	SE401)	PC
KZ191	ZS1 + ZS2 + 0.7*ZS3 + 0.5*ZS8 + ZS9	2	1.834	0.44	≤ 1	SE401)	PC
KZ192	ZS1 + ZS2 + 0.7*ZS3 + 0.5*ZS8 + ZS10	2	1.834	0.44	≤ 1	SE401)	PC
KZ193	ZS1 + ZS2 + 0.7*ZS4 + 0.5*ZS6 + ZS9	2	1.834	0.43	≤ 1	SE401)	PC
KZ194	ZS1 + ZS2 + 0.7*ZS4 + 0.5*ZS6 + ZS10	2	1.834	0.43	≤ 1	SE401)	PC
KZ195	ZS1 + ZS2 + 0.7*ZS4 + 0.5*ZS7 + ZS9	2	1.834	0.43	≤ 1	SE401)	PC
KZ196	ZS1 + ZS2 + 0.7*ZS4 + 0.5*ZS7 + ZS10	2	1.834	0.43	≤ 1	SE401)	PC
KZ197	ZS1 + ZS2 + 0.7*ZS4 + 0.5*ZS8 + ZS9	2	1.834	0.43	≤ 1	SE401)	PC
KZ198	ZS1 + ZS2 + 0.7*ZS4 + 0.5*ZS8 + ZS10	2	1.834	0.43	≤ 1	SE401)	PC
KZ199	ZS1 + ZS2 + 0.7*ZS5 + 0.5*ZS6 + ZS9	2	1.834	0.43	≤ 1	SE401)	PC
KZ200	ZS1 + ZS2 + 0.7*ZS5 + 0.5*ZS6 + ZS10	2	1.834	0.43	≤ 1	SE401)	PC
KZ201	ZS1 + ZS2 + 0.7*ZS5 + 0.5*ZS7 + ZS9	2	1.834	0.43	≤ 1	SE401)	PC
KZ202	ZS1 + ZS2 + 0.7*ZS5 + 0.5*ZS7 + ZS10	2	1.834	0.43	≤ 1	SE401)	PC
KZ203	ZS1 + ZS2 + 0.7*ZS5 + 0.5*ZS8 + ZS9	2	1.834	0.43	≤ 1	SE401)	PC
KZ204	ZS1 + ZS2 + 0.7*ZS5 + 0.5*ZS8 + ZS10	2	1.834	0.43	≤ 1	SE401)	PC
KZ205	ZS1 + ZS2 + 0.5*ZS6 + ZS9	2	1.834	0.43	≤ 1	SE401)	PC
KZ206	ZS1 + ZS2 + 0.5*ZS6 + ZS10	2	1.834	0.43	≤ 1	SE401)	PC
KZ207	ZS1 + ZS2 + 0.5*ZS7 + ZS9	2	1.834	0.43	≤ 1	SE401)	PC
KZ208	ZS1 + ZS2 + 0.5*ZS7 + ZS10	2	1.834	0.43	≤ 1	SE401)	PC
KZ209	ZS1 + ZS2 + 0.5*ZS8 + ZS9	2	1.834	0.43	≤ 1	SE401)	PC
KZ210	ZS1 + ZS2 + 0.5*ZS8 + ZS10	2	1.834	0.43	≤ 1	SE401)	PC

## 2.2 POSOUZENÍ PO PRŮŘEZECH

Průř. č.	Prut č.	Místo x [m]	ZS/KZ/ KV	Návrh		Návrh č.	Označení
11	RO 60.3x5 (za studena)						
	6	0.000	KZ39	0.00	≤ 1	CS100)	Zanedbatelné vnitřní síly
	30	2.281	KZ79	0.02	≤ 1	CS101)	Posouzení průřezu - tah podle 6.2.3
	14	3.280	KZ86	0.07	≤ 1	CS102)	Posouzení průřezu - tlak podle 6.2.4
	5	1.834	KZ3	0.04	≤ 1	CS111)	Posouzení průřezu - ohyb okolo y podle 6.2.5 - třída 1 nebo 2
	16	1.312	ZS10	0.00	≤ 1	CS116)	Posouzení průřezu - ohyb okolo z podle 6.2.5 - třída 1 nebo 2
	2	0.000	KZ87	0.00	≤ 1	CS121)	Posouzení průřezu - smyk ve směru z podle 6.2.6
	5	1.834	KZ3	0.04	≤ 1	CS141)	Posouzení průřezu - ohyb a smyk podle 6.2.5 a 6.2.8
	16	1.312	ZS10	0.00	≤ 1	CS151)	Posouzení průřezu - ohyb okolo z a smyk podle 6.2.5 a 6.2.8
	9	1.890	KZ37	0.00	≤ 1	CS161)	Posouzení průřezu - dvouosý ohyb a smyk podle 6.2.6, 6.2.7 a 6.2.9
	4	3.057	KZ22	0.05	≤ 1	CS181)	Posouzení průřezu - ohyb, smyk a osová síla podle 6.2.9.1
	7	1.890	ZS10	0.01	≤ 1	CS201)	Posouzení průřezu - ohyb okolo z, smyk a osová síla podle 6.2.9.1

Projekt:

Model: Varianta B

Datum: 08.01.2019

## 2.2 POSOUZENÍ PO PRŮŘEZECH

Průř. č.	Prut č.	Místo x [m]	ZS/KZ/ KV	Návrh	Návrh č.	Označení
	2	1.834	KZ87	0.01	≤ 1	CS221)
	39	2.281	KZ69	0.06	≤ 1	ST301)
	2	0.000	ZS10	0.38	≤ 1	ST302)
	39	2.281	KZ69	0.06	≤ 1	ST311)
	2	0.000	ZS10	0.38	≤ 1	ST312)
	2	0.000	KZ87	0.74	≤ 1	ST364)
	1	0.000	KZ106	0.00	≤ 1	SE400)
	2	1.834	KZ192	0.44	≤ 1	SE401)
	3	1.834	KZ180	0.05	≤ 1	SE406)

Posouzení průřezu - dvouosý ohyb, smyk a osová síla podle 6.2.10 a 6.2.9  
Posouzení stability - vzpěr okolo y podle 6.3.1.1 a 6.3.1.2(4)  
Posouzení stability - vzpěr okolo z podle 6.3.1.1 a 6.3.1.2(4)  
Posouzení stability - vzpěr okolo z podle 6.3.1.1 a 6.3.1.2  
Posouzení stability - ohyb a tlak podle 6.3.3, metoda 2  
Použitelnost - malé, resp. velmi malé deformace  
Použitelnost - kombinace zatížení 'charakteristická' - směr z  
Použitelnost - kombinace zatížení 'charakteristická' - směr y

## 1.2 MATERIÁLY

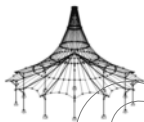
Materiál - č.	Označení materiálu	Modul pruž. E [MPa]	Smykový modul G [MPa]	Poissonův součinitel ν [-]	Mez kluzu f <sub>yk</sub> [MPa]	Max. tloušťka dílce t [mm]
1	Ocel S 355   DIN EN 1993-1-1:2010-12	210000.000	80769.200	0.300	355.000	40.0
	Baustahl S 235				335.000	80.0
					315.000	100.0
					295.000	150.0
					285.000	200.0
					275.000	250.0

## 1.3 PRŮŘEZY

Průř. č.	Materiál - č.	Označení průřezu	Typ průřezu	Max. návrhové využití	Komentář
5	1	TO 180/60/5/5/5/5	Dutý profil svařov.	0.15	

## 2.1 POSOUZENÍ PO ZATĚŽOVACÍCH STAVECH

ZS/KZ/ KV	Označení ZS nebo KZ/KV	Prut č.	Místo x [m]	Návrh	Návrh č.	Označení
<b>Posouzení mezního stavu únosnosti</b>						
ZS1	Vlastní tíha	105	0.000	0.01	≤ 1	CS162) TD
ZS2	Ostatní stálé	109	0.000	0.01	≤ 1	CS162) TD
ZS3	Užitné plné	105	0.000	0.06	≤ 1	CS162) TD
ZS4	Užitné poloviční1	104	0.000	0.05	≤ 1	CS162) TD
ZS5	Užitné poloviční2	334	0.000	0.05	≤ 1	CS162) TD
ZS6	Sníh plný	1313	0.000	0.00	≤ 1	CS100) TD
ZS7	Sníh poloviční 1	1310	0.000	0.00	≤ 1	CS100) TD
ZS8	Sníh poloviční 2	1313	0.000	0.00	≤ 1	CS100) TD
ZS9	Vítr ve směru X + tlak na přístřešek	768	0.447	0.07	≤ 1	CS162) TD
ZS10	Vítr ve směru X + sání na přístřešek	768	0.447	0.07	≤ 1	CS162) TD
KZ1	1.35*ZS1 + 1.35*ZS2	109	0.000	0.03	≤ 1	CS162) TD
KZ2	1.35*ZS1 + 1.35*ZS2 + 1.5*ZS3	105	0.000	0.11	≤ 1	CS162) TD
KZ3	1.35*ZS1 + 1.35*ZS2 + 1.5*ZS4	104	0.000	0.10	≤ 1	CS162) TD
KZ4	1.35*ZS1 + 1.35*ZS2 + 1.5*ZS5	335	0.000	0.09	≤ 1	CS162) TD
KZ5	1.35*ZS1 + 1.35*ZS2 + 1.5*ZS3 + 0.75*ZS6	105	0.000	0.11	≤ 1	CS162) TD
KZ6	1.35*ZS1 + 1.35*ZS2 + 1.5*ZS3 + 0.75*ZS7	105	0.000	0.11	≤ 1	CS162) TD
KZ7	1.35*ZS1 + 1.35*ZS2 + 1.5*ZS3 + 0.75*ZS8	105	0.000	0.11	≤ 1	CS162) TD
KZ8	1.35*ZS1 + 1.35*ZS2 + 1.5*ZS4 + 0.75*ZS6	104	0.000	0.10	≤ 1	CS162) TD
KZ9	1.35*ZS1 + 1.35*ZS2 + 1.5*ZS4 + 0.75*ZS7	104	0.000	0.10	≤ 1	CS162) TD
KZ10	1.35*ZS1 + 1.35*ZS2 + 1.5*ZS4 + 0.75*ZS8	104	0.000	0.10	≤ 1	CS162) TD
KZ11	1.35*ZS1 + 1.35*ZS2 + 1.5*ZS5 + 0.75*ZS6	335	0.000	0.09	≤ 1	CS162) TD
KZ12	1.35*ZS1 + 1.35*ZS2 + 1.5*ZS5 + 0.75*ZS7	335	0.000	0.09	≤ 1	CS162) TD
KZ13	1.35*ZS1 + 1.35*ZS2 + 1.5*ZS5 + 0.75*ZS8	335	0.000	0.09	≤ 1	CS162) TD
KZ14	1.35*ZS1 + 1.35*ZS2 + 1.5*ZS3 + 0.75*ZS6 + 0.9*ZS9	719	0.888	0.14	≤ 1	CS162) TD
KZ15	1.35*ZS1 + 1.35*ZS2 + 1.5*ZS3 + 0.75*ZS6 + 0.9*ZS10	719	0.888	0.14	≤ 1	CS162) TD
KZ16	1.35*ZS1 + 1.35*ZS2 + 1.5*ZS3 + 0.75*ZS7 + 0.9*ZS9	719	0.888	0.14	≤ 1	CS162) TD
KZ17	1.35*ZS1 + 1.35*ZS2 + 1.5*ZS3 + 0.75*ZS7 + 0.9*ZS10	719	0.888	0.14	≤ 1	CS162) TD
KZ18	1.35*ZS1 + 1.35*ZS2 + 1.5*ZS3 + 0.75*ZS8 + 0.9*ZS9	719	0.888	0.14	≤ 1	CS162) TD
KZ19	1.35*ZS1 + 1.35*ZS2 + 1.5*ZS3 + 0.75*ZS8 + 0.9*ZS10	719	0.888	0.14	≤ 1	CS162) TD
KZ20	1.35*ZS1 + 1.35*ZS2 + 1.5*ZS4 + 0.75*ZS6 + 0.9*ZS9	563	0.888	0.13	≤ 1	CS162) TD
KZ21	1.35*ZS1 + 1.35*ZS2 + 1.5*ZS4 + 0.75*ZS6 + 0.9*ZS10	563	0.888	0.13	≤ 1	CS162) TD
KZ22	1.35*ZS1 + 1.35*ZS2 + 1.5*ZS4 + 0.75*ZS7 + 0.9*ZS9	563	0.888	0.13	≤ 1	CS162) TD
KZ23	1.35*ZS1 + 1.35*ZS2 + 1.5*ZS4 + 0.75*ZS7 + 0.9*ZS10	563	0.888	0.13	≤ 1	CS162) TD
KZ24	1.35*ZS1 + 1.35*ZS2 + 1.5*ZS4 + 0.75*ZS8 + 0.9*ZS9	563	0.888	0.13	≤ 1	CS162) TD
KZ25	1.35*ZS1 + 1.35*ZS2 + 1.5*ZS4 + 0.75*ZS8 + 0.9*ZS10	563	0.888	0.13	≤ 1	CS162) TD



Projekt:

Model: Varianta B

Datum:

08.01.2019

## 2.1 POSOUZENÍ PO ZATĚŽOVACÍCH STAVECH

ZS/KZ/ KV	Označení ZS nebo KZ/KV	Přut č.	Místo x [m]	Návrh		Návrh č.	Označení
KZ26	1.35*ZS1 + 1.35*ZS2 + 1.5*ZS5 + 0.75*ZS6 + 0.9*ZS9	646	0.000	0.12	≤ 1	CS162)	TD
KZ27	1.35*ZS1 + 1.35*ZS2 + 1.5*ZS5 + 0.75*ZS6 + 0.9*ZS10	646	0.000	0.12	≤ 1	CS162)	TD
KZ28	1.35*ZS1 + 1.35*ZS2 + 1.5*ZS5 + 0.75*ZS7 + 0.9*ZS9	646	0.000	0.12	≤ 1	CS162)	TD
KZ29	1.35*ZS1 + 1.35*ZS2 + 1.5*ZS5 + 0.75*ZS7 + 0.9*ZS10	646	0.000	0.12	≤ 1	CS162)	TD
KZ30	1.35*ZS1 + 1.35*ZS2 + 1.5*ZS5 + 0.75*ZS8 + 0.9*ZS9	646	0.000	0.12	≤ 1	CS162)	TD
KZ31	1.35*ZS1 + 1.35*ZS2 + 1.5*ZS5 + 0.75*ZS8 + 0.9*ZS10	646	0.000	0.12	≤ 1	CS162)	TD
KZ32	1.35*ZS1 + 1.35*ZS2 + 1.5*ZS3 + 0.9*ZS9	719	0.888	0.14	≤ 1	CS162)	TD
KZ33	1.35*ZS1 + 1.35*ZS2 + 1.5*ZS3 + 0.9*ZS10	719	0.888	0.14	≤ 1	CS162)	TD
KZ34	1.35*ZS1 + 1.35*ZS2 + 1.5*ZS4 + 0.9*ZS9	563	0.888	0.13	≤ 1	CS162)	TD
KZ35	1.35*ZS1 + 1.35*ZS2 + 1.5*ZS4 + 0.9*ZS10	563	0.888	0.13	≤ 1	CS162)	TD
KZ36	1.35*ZS1 + 1.35*ZS2 + 1.5*ZS5 + 0.9*ZS9	646	0.000	0.12	≤ 1	CS162)	TD
KZ37	1.35*ZS1 + 1.35*ZS2 + 1.5*ZS5 + 0.9*ZS10	646	0.000	0.12	≤ 1	CS162)	TD
KZ38	1.35*ZS1 + 1.35*ZS2 + 1.5*ZS6	109	0.000	0.03	≤ 1	CS162)	TD
KZ39	1.35*ZS1 + 1.35*ZS2 + 1.5*ZS7	109	0.000	0.03	≤ 1	CS162)	TD
KZ40	1.35*ZS1 + 1.35*ZS2 + 1.5*ZS8	109	0.000	0.03	≤ 1	CS162)	TD
KZ41	1.35*ZS1 + 1.35*ZS2 + 1.05*ZS3 + 1.5*ZS6	105	0.000	0.08	≤ 1	CS162)	TD
KZ42	1.35*ZS1 + 1.35*ZS2 + 1.05*ZS3 + 1.5*ZS7	105	0.000	0.08	≤ 1	CS162)	TD
KZ43	1.35*ZS1 + 1.35*ZS2 + 1.05*ZS3 + 1.5*ZS8	105	0.000	0.08	≤ 1	CS162)	TD
KZ44	1.35*ZS1 + 1.35*ZS2 + 1.05*ZS4 + 1.5*ZS6	104	0.000	0.08	≤ 1	CS162)	TD
KZ45	1.35*ZS1 + 1.35*ZS2 + 1.05*ZS4 + 1.5*ZS7	104	0.000	0.08	≤ 1	CS162)	TD
KZ46	1.35*ZS1 + 1.35*ZS2 + 1.05*ZS4 + 1.5*ZS8	104	0.000	0.08	≤ 1	CS162)	TD
KZ47	1.35*ZS1 + 1.35*ZS2 + 1.05*ZS5 + 1.5*ZS6	335	0.000	0.06	≤ 1	CS162)	TD
KZ48	1.35*ZS1 + 1.35*ZS2 + 1.05*ZS5 + 1.5*ZS7	335	0.000	0.06	≤ 1	CS162)	TD
KZ49	1.35*ZS1 + 1.35*ZS2 + 1.05*ZS5 + 1.5*ZS8	335	0.000	0.06	≤ 1	CS162)	TD
KZ50	1.35*ZS1 + 1.35*ZS2 + 1.05*ZS3 + 1.5*ZS6 + 0.9*ZS9	719	0.888	0.12	≤ 1	CS162)	TD
KZ51	1.35*ZS1 + 1.35*ZS2 + 1.05*ZS3 + 1.5*ZS6 + 0.9*ZS10	719	0.888	0.12	≤ 1	CS162)	TD
KZ52	1.35*ZS1 + 1.35*ZS2 + 1.05*ZS3 + 1.5*ZS7 + 0.9*ZS9	719	0.888	0.12	≤ 1	CS162)	TD
KZ53	1.35*ZS1 + 1.35*ZS2 + 1.05*ZS3 + 1.5*ZS7 + 0.9*ZS10	719	0.888	0.12	≤ 1	CS162)	TD
KZ54	1.35*ZS1 + 1.35*ZS2 + 1.05*ZS3 + 1.5*ZS8 + 0.9*ZS9	719	0.888	0.12	≤ 1	CS162)	TD
KZ55	1.35*ZS1 + 1.35*ZS2 + 1.05*ZS3 + 1.5*ZS8 + 0.9*ZS10	719	0.888	0.12	≤ 1	CS162)	TD
KZ56	1.35*ZS1 + 1.35*ZS2 + 1.05*ZS4 + 1.5*ZS6 + 0.9*ZS9	563	0.888	0.12	≤ 1	CS162)	TD
KZ57	1.35*ZS1 + 1.35*ZS2 + 1.05*ZS4 + 1.5*ZS6 + 0.9*ZS10	563	0.888	0.12	≤ 1	CS162)	TD
KZ58	1.35*ZS1 + 1.35*ZS2 + 1.05*ZS4 + 1.5*ZS7 + 0.9*ZS9	563	0.888	0.12	≤ 1	CS162)	TD
KZ59	1.35*ZS1 + 1.35*ZS2 + 1.05*ZS4 + 1.5*ZS7 + 0.9*ZS10	563	0.888	0.12	≤ 1	CS162)	TD
KZ60	1.35*ZS1 + 1.35*ZS2 + 1.05*ZS4 + 1.5*ZS8 + 0.9*ZS9	563	0.888	0.12	≤ 1	CS162)	TD
KZ61	1.35*ZS1 + 1.35*ZS2 + 1.05*ZS4 + 1.5*ZS8 + 0.9*ZS10	563	0.888	0.12	≤ 1	CS162)	TD
KZ62	1.35*ZS1 + 1.35*ZS2 + 1.05*ZS5 + 1.5*ZS6 + 0.9*ZS9	646	0.000	0.10	≤ 1	CS162)	TD
KZ63	1.35*ZS1 + 1.35*ZS2 + 1.05*ZS5 + 1.5*ZS6 + 0.9*ZS10	646	0.000	0.10	≤ 1	CS162)	TD
KZ64	1.35*ZS1 + 1.35*ZS2 + 1.05*ZS5 + 1.5*ZS7 + 0.9*ZS9	646	0.000	0.10	≤ 1	CS162)	TD
KZ65	1.35*ZS1 + 1.35*ZS2 + 1.05*ZS5 + 1.5*ZS7 + 0.9*ZS10	646	0.000	0.10	≤ 1	CS162)	TD
KZ66	1.35*ZS1 + 1.35*ZS2 + 1.05*ZS5 + 1.5*ZS8 + 0.9*ZS9	646	0.000	0.10	≤ 1	CS162)	TD
KZ67	1.35*ZS1 + 1.35*ZS2 + 1.05*ZS5 + 1.5*ZS8 + 0.9*ZS10	646	0.000	0.10	≤ 1	CS162)	TD
KZ68	1.35*ZS1 + 1.35*ZS2 + 1.5*ZS6 + 0.9*ZS9	761	0.447	0.08	≤ 1	CS162)	TD
KZ69	1.35*ZS1 + 1.35*ZS2 + 1.5*ZS6 + 0.9*ZS10	761	0.447	0.08	≤ 1	CS162)	TD
KZ70	1.35*ZS1 + 1.35*ZS2 + 1.5*ZS7 + 0.9*ZS9	761	0.447	0.08	≤ 1	CS162)	TD
KZ71	1.35*ZS1 + 1.35*ZS2 + 1.5*ZS7 + 0.9*ZS10	761	0.447	0.08	≤ 1	CS162)	TD
KZ72	1.35*ZS1 + 1.35*ZS2 + 1.5*ZS8 + 0.9*ZS9	761	0.447	0.08	≤ 1	CS162)	TD
KZ73	1.35*ZS1 + 1.35*ZS2 + 1.5*ZS8 + 0.9*ZS10	761	0.447	0.08	≤ 1	CS162)	TD
KZ74	1.35*ZS1 + 1.35*ZS2 + 1.5*ZS9	761	0.447	0.12	≤ 1	CS162)	TD
KZ75	1.35*ZS1 + 1.35*ZS2 + 1.5*ZS10	761	0.447	0.12	≤ 1	CS162)	TD
KZ76	1.35*ZS1 + 1.35*ZS2 + 1.05*ZS3 + 1.5*ZS9	719	0.888	0.15	≤ 1	CS162)	TD
KZ77	1.35*ZS1 + 1.35*ZS2 + 1.05*ZS3 + 1.5*ZS10	719	0.888	0.15	≤ 1	CS162)	TD
KZ78	1.35*ZS1 + 1.35*ZS2 + 1.05*ZS4 + 1.5*ZS9	563	0.888	0.15	≤ 1	CS162)	TD
KZ79	1.35*ZS1 + 1.35*ZS2 + 1.05*ZS4 + 1.5*ZS10	563	0.888	0.15	≤ 1	CS162)	TD
KZ80	1.35*ZS1 + 1.35*ZS2 + 1.05*ZS5 + 1.5*ZS9	761	0.447	0.13	≤ 1	CS162)	TD
KZ81	1.35*ZS1 + 1.35*ZS2 + 1.05*ZS5 + 1.5*ZS10	761	0.447	0.13	≤ 1	CS162)	TD
KZ82	1.35*ZS1 + 1.35*ZS2 + 1.05*ZS3 + 0.75*ZS6 + 1.5*ZS9	719	0.888	0.15	≤ 1	CS162)	TD
KZ83	1.35*ZS1 + 1.35*ZS2 + 1.05*ZS3 + 0.75*ZS6 + 1.5*ZS10	719	0.888	0.15	≤ 1	CS162)	TD
KZ84	1.35*ZS1 + 1.35*ZS2 + 1.05*ZS3 + 0.75*ZS7 + 1.5*ZS9	719	0.888	0.15	≤ 1	CS162)	TD
KZ85	1.35*ZS1 + 1.35*ZS2 + 1.05*ZS3 + 0.75*ZS7 + 1.5*ZS10	719	0.888	0.15	≤ 1	CS162)	TD
KZ86	1.35*ZS1 + 1.35*ZS2 + 1.05*ZS3 + 0.75*ZS8 + 1.5*ZS9	719	0.888	0.15	≤ 1	CS162)	TD
KZ87	1.35*ZS1 + 1.35*ZS2 + 1.05*ZS3 + 0.75*ZS8 + 1.5*ZS10	719	0.888	0.15	≤ 1	CS162)	TD
KZ88	1.35*ZS1 + 1.35*ZS2 + 1.05*ZS4 + 0.75*ZS6 + 1.5*ZS9	563	0.888	0.15	≤ 1	CS162)	TD

Projekt:

Model: Varianta B

Datum: 08.01.2019

## 2.1 POSOUZENÍ PO ZATĚŽOVACÍCH STAVECH

ZS/KZ/ KV	Označení ZS nebo KZ/KV	Prut č.	Místo x [m]	Návrh	Návrh č.	Označení
KZ89	1.35*ZS1 + 1.35*ZS2 + 1.05*ZS4 + 0.75*ZS6 + 1.5*ZS10	563	0.888	0.15 ≤ 1	CS162)	TD
KZ90	1.35*ZS1 + 1.35*ZS2 + 1.05*ZS4 + 0.75*ZS7 + 1.5*ZS9	563	0.888	0.15 ≤ 1	CS162)	TD
KZ91	1.35*ZS1 + 1.35*ZS2 + 1.05*ZS4 + 0.75*ZS7 + 1.5*ZS10	563	0.888	0.15 ≤ 1	CS162)	TD
KZ92	1.35*ZS1 + 1.35*ZS2 + 1.05*ZS4 + 0.75*ZS8 + 1.5*ZS9	563	0.888	0.15 ≤ 1	CS162)	TD
KZ93	1.35*ZS1 + 1.35*ZS2 + 1.05*ZS4 + 0.75*ZS8 + 1.5*ZS10	563	0.888	0.15 ≤ 1	CS162)	TD
KZ94	1.35*ZS1 + 1.35*ZS2 + 1.05*ZS5 + 0.75*ZS6 + 1.5*ZS9	761	0.447	0.13 ≤ 1	CS162)	TD
KZ95	1.35*ZS1 + 1.35*ZS2 + 1.05*ZS5 + 0.75*ZS6 + 1.5*ZS10	761	0.447	0.13 ≤ 1	CS162)	TD
KZ96	1.35*ZS1 + 1.35*ZS2 + 1.05*ZS5 + 0.75*ZS7 + 1.5*ZS9	761	0.447	0.13 ≤ 1	CS162)	TD
KZ97	1.35*ZS1 + 1.35*ZS2 + 1.05*ZS5 + 0.75*ZS7 + 1.5*ZS10	761	0.447	0.13 ≤ 1	CS162)	TD
KZ98	1.35*ZS1 + 1.35*ZS2 + 1.05*ZS5 + 0.75*ZS8 + 1.5*ZS9	761	0.447	0.13 ≤ 1	CS162)	TD
KZ99	1.35*ZS1 + 1.35*ZS2 + 1.05*ZS5 + 0.75*ZS8 + 1.5*ZS10	761	0.447	0.13 ≤ 1	CS162)	TD
KZ100	1.35*ZS1 + 1.35*ZS2 + 0.75*ZS6 + 1.5*ZS9	761	0.447	0.12 ≤ 1	CS162)	TD
KZ101	1.35*ZS1 + 1.35*ZS2 + 0.75*ZS6 + 1.5*ZS10	761	0.447	0.12 ≤ 1	CS162)	TD
KZ102	1.35*ZS1 + 1.35*ZS2 + 0.75*ZS7 + 1.5*ZS9	761	0.447	0.12 ≤ 1	CS162)	TD
KZ103	1.35*ZS1 + 1.35*ZS2 + 0.75*ZS7 + 1.5*ZS10	761	0.447	0.12 ≤ 1	CS162)	TD
KZ104	1.35*ZS1 + 1.35*ZS2 + 0.75*ZS8 + 1.5*ZS9	761	0.447	0.12 ≤ 1	CS162)	TD
KZ105	1.35*ZS1 + 1.35*ZS2 + 0.75*ZS8 + 1.5*ZS10	761	0.447	0.12 ≤ 1	CS162)	TD
KV1	MSU (STR/GEO) - stálá / přechodná - rovn. 6.10	563	0.888	0.15 ≤ 1	CS162)	TD

## 2.2 POSOUZENÍ PO PRŮŘEZECH

Průř. č.	Prut č.	Místo x [m]	ZS/KZ/ KV	Návrh	Návrh č.	Označení
5	TO 180/60/5/5/5/5					
418	0.447	ZS2	0.00	≤ 1	CS100)	Zanedbatelné vnitřní síly
1312	0.447	KZ86	0.00	≤ 1	CS101)	Posouzení průřezu - tah podle 6.2.3
691	0.000	KZ96	0.00	≤ 1	CS102)	Posouzení průřezu - tlak podle 6.2.4
707	0.829	KZ9	0.06	≤ 1	CS111)	Posouzení průřezu - ohyb okolo y podle 6.2.5 - třída 1 nebo 2
570	0.447	KZ102	0.01	≤ 1	CS112)	Posouzení průřezu - ohyb okolo y podle 6.2.5 - třída 3
1020	0.740	KZ76	0.00	≤ 1	CS116)	Posouzení průřezu - ohyb okolo z podle 6.2.5 - třída 1 nebo 2
768	0.447	KZ104	0.09	≤ 1	CS117)	Posouzení průřezu - ohyb okolo z podle 6.2.5 - třída 3
493	0.447	KZ35	0.01	≤ 1	CS121)	Posouzení průřezu - smyk ve směru z podle 6.2.6
1018	0.000	KZ16	0.01	≤ 1	CS122)	Posouzení průřezu - smyk ve směru z podle 6.2.6(4) - třída 3 nebo 4
760	0.447	KZ97	0.02	≤ 1	CS123)	Posouzení průřezu - smyk ve směru y podle 6.2.6
1020	0.000	KZ86	0.03	≤ 1	CS124)	Posouzení průřezu - posouvající síla ve směru y podle 6.2.6(4) - třída 3 nebo 4
85	0.000	ZS5	0.00	≤ 1	CS126)	Posouzení průřezu - smykové boulení podle 6.2.6(6)
107	0.000	KZ9	0.06	≤ 1	CS131)	Posouzení průřezu - kroucení podle 6.2.7
1313	0.237	KZ30	0.01	≤ 1	CS132)	Posouzení průřezu - kroucení a smyk podle 6.2.7(9)
108	0.447	KZ9	0.07	≤ 1	CS133)	Posouzení průřezu - kroucení a smyk podle 6.2.7(5)
107	0.447	KZ16	0.01	≤ 1	CS137)	Posouzení průřezu - kroucení a smyk podle 6.2.7(9)
107	0.447	KZ22	0.07	≤ 1	CS138)	Posouzení průřezu - kroucení a smyk podle 6.2.7(5)
707	0.829	KZ9	0.06	≤ 1	CS141)	Posouzení průřezu - ohyb a smyk podle 6.2.5 a 6.2.8
570	0.447	KZ102	0.01	≤ 1	CS142)	Posouzení průřezu - ohyb a smyk podle 6.2.9.2 a 6.2.10 - třída 3
107	0.447	KZ14	0.01	≤ 1	CS146)	Posouzení průřezu - ohyb, smyk a kroucení podle 6.2.5 až 6.2.8
1020	0.740	KZ76	0.00	≤ 1	CS151)	Posouzení průřezu - ohyb okolo z a smyk podle 6.2.5 a 6.2.8
768	0.447	KZ104	0.09	≤ 1	CS152)	Posouzení průřezu - ohyb okolo z a smyk podle 6.2.9.2 a 6.2.10 - třída 3
107	0.223	KZ2	0.03	≤ 1	CS157)	Posouzení průřezu - ohyb okolo z, smyk a kroucení podle 6.2.9.2 a 6.2.10 - třída 3
690	0.000	KZ26	0.01	≤ 1	CS161)	Posouzení průřezu - dvoosý ohyb a smyk podle 6.2.6, 6.2.7 a 6.2.9
563	0.888	KZ90	0.15	≤ 1	CS162)	Posouzení průřezu - dvoosý ohyb a smyk podle 6.2.9.2 a 6.2.10 - třída 3
107	0.223	KZ3	0.00	≤ 1	CS166)	Posouzení průřezu - dvoosý ohyb, smyk a kroucení podle 6.2.5 až 6.2.8
109	0.000	KZ22	0.11	≤ 1	CS167)	Posouzení průřezu - dvoosý ohyb, smyk a kroucení podle 6.2.9.2 a 6.2.10 - třída 3
534	0.000	KZ20	0.06	≤ 1	CS181)	Posouzení průřezu - ohyb, smyk a osová síla podle 6.2.9.1
770	0.000	KZ96	0.08	≤ 1	CS202)	Posouzení průřezu - ohyb okolo z, smyk a osová síla podle 6.2.9.2 - třída 3
493	0.447	KZ19	0.01	≤ 1	CS221)	Posouzení průřezu - dvoosý ohyb, smyk a osová síla podle 6.2.10 a 6.2.9
605	0.447	KZ87	0.13	≤ 1	CS222)	Posouzení průřezu - dvoosý ohyb, smyk a osová síla podle 6.2.10 a 6.2.9 - třída 3
109	0.000	KZ22	0.13	≤ 1	CS271)	Posouzení průřezu - normálové napětí a kroucení - elastické posouzení



Projekt:

Model: Varianta B

Datum: 08.01.2019

RF-STEEL EC3  
PR8  
Nosník schodnice

## 1.2 MATERIÁLY

Materiál - č.	Označení materiálu	Modul pruž. E [MPa]	Smykový modul G [MPa]	Poissonův součinitel $\nu$ [-]	Mez kluzu $f_{yk}$ [MPa]	Max. tloušťka dílce t [mm]
1	Ocel S 355   DIN EN 1993-1-1:2010-12	210000.000	80769.200	0.300	355.000	40.0
	Baustahl S 235				335.000	80.0
					315.000	100.0
					295.000	150.0
					285.000	200.0
					275.000	250.0

## 1.3 PRŮŘEZY

Průř. č.	Materiál - č.	Označení průřezu	Typ průřezu	Max. návrhové využití	Komentář
8	1	RO 101.6x5 (za studena)	Trubka	0.73	

## 2.1 POSOUZENÍ PO ZATĚŽOVACÍCH STAVECH

ZS/KZ/ KV	Označení ZS nebo KZ/KV	Prut č.	Místo x [m]	Návrh	Návrh č.	Označení
<b>Posouzení mezního stavu únosnosti</b>						
ZS1	Vlastní tíha	1420	0.000	0.04	≤ 1	CS111) TD
ZS2	Ostatní stálé	1390	0.672	0.06	≤ 1	CS181) TD
ZS3	Užitné plné	1390	0.672	0.39	≤ 1	CS181) TD
ZS4	Užitné poloviční1	1390	0.672	0.39	≤ 1	CS181) TD
ZS5	Užitné poloviční2	1388	0.672	0.40	≤ 1	CS181) TD
ZS6	Sníh plný	1405	0.672	0.00	≤ 1	CS100) TD
ZS7	Sníh poloviční 1	862	0.672	0.00	≤ 1	CS100) TD
ZS8	Sníh poloviční 2	1405	0.672	0.00	≤ 1	CS100) TD
ZS9	Vítr ve směru X + tlak na přístřešek	1429	0.000	0.03	≤ 1	CS111) TD
ZS10	Vítr ve směru X + sání na přístřešek	1429	0.000	0.03	≤ 1	CS111) TD
KZ1	1.35*ZS1 + 1.35*ZS2	1390	0.672	0.12	≤ 1	CS181) TD
KZ2	1.35*ZS1 + 1.35*ZS2 + 1.5*ZS3	1390	0.672	0.71	≤ 1	CS181) TD
KZ3	1.35*ZS1 + 1.35*ZS2 + 1.5*ZS4	1390	0.672	0.72	≤ 1	CS181) TD
KZ4	1.35*ZS1 + 1.35*ZS2 + 1.5*ZS5	1388	0.672	0.73	≤ 1	CS181) TD
KZ5	1.35*ZS1 + 1.35*ZS2 + 1.5*ZS3 + 0.75*ZS6	1390	0.672	0.71	≤ 1	CS181) TD
KZ6	1.35*ZS1 + 1.35*ZS2 + 1.5*ZS3 + 0.75*ZS7	1390	0.672	0.71	≤ 1	CS181) TD
KZ7	1.35*ZS1 + 1.35*ZS2 + 1.5*ZS3 + 0.75*ZS8	1390	0.672	0.71	≤ 1	CS181) TD
KZ8	1.35*ZS1 + 1.35*ZS2 + 1.5*ZS4 + 0.75*ZS6	1390	0.672	0.72	≤ 1	CS181) TD
KZ9	1.35*ZS1 + 1.35*ZS2 + 1.5*ZS4 + 0.75*ZS7	1390	0.672	0.72	≤ 1	CS181) TD
KZ10	1.35*ZS1 + 1.35*ZS2 + 1.5*ZS4 + 0.75*ZS8	1390	0.672	0.72	≤ 1	CS181) TD
KZ11	1.35*ZS1 + 1.35*ZS2 + 1.5*ZS5 + 0.75*ZS6	1388	0.672	0.73	≤ 1	CS181) TD
KZ12	1.35*ZS1 + 1.35*ZS2 + 1.5*ZS5 + 0.75*ZS7	1388	0.672	0.73	≤ 1	CS181) TD
KZ13	1.35*ZS1 + 1.35*ZS2 + 1.5*ZS5 + 0.75*ZS8	1388	0.672	0.73	≤ 1	CS181) TD
KZ14	1.35*ZS1 + 1.35*ZS2 + 1.5*ZS3 + 0.75*ZS6 + 0.9*ZS9	1418	0.000	0.73	≤ 1	CS181) TD
KZ15	1.35*ZS1 + 1.35*ZS2 + 1.5*ZS3 + 0.75*ZS6 + 0.9*ZS10	1418	0.000	0.73	≤ 1	CS181) TD
KZ16	1.35*ZS1 + 1.35*ZS2 + 1.5*ZS3 + 0.75*ZS7 + 0.9*ZS9	1418	0.000	0.73	≤ 1	CS181) TD
KZ17	1.35*ZS1 + 1.35*ZS2 + 1.5*ZS3 + 0.75*ZS7 + 0.9*ZS10	1418	0.000	0.73	≤ 1	CS181) TD
KZ18	1.35*ZS1 + 1.35*ZS2 + 1.5*ZS3 + 0.75*ZS8 + 0.9*ZS9	1418	0.000	0.73	≤ 1	CS181) TD
KZ19	1.35*ZS1 + 1.35*ZS2 + 1.5*ZS3 + 0.75*ZS8 + 0.9*ZS10	1418	0.000	0.73	≤ 1	CS181) TD
KZ20	1.35*ZS1 + 1.35*ZS2 + 1.5*ZS4 + 0.75*ZS6 + 0.9*ZS9	1431	0.000	0.73	≤ 1	CS111) TD
KZ21	1.35*ZS1 + 1.35*ZS2 + 1.5*ZS4 + 0.75*ZS6 + 0.9*ZS10	1431	0.000	0.73	≤ 1	CS111) TD
KZ22	1.35*ZS1 + 1.35*ZS2 + 1.5*ZS4 + 0.75*ZS7 + 0.9*ZS9	1431	0.000	0.73	≤ 1	CS111) TD
KZ23	1.35*ZS1 + 1.35*ZS2 + 1.5*ZS4 + 0.75*ZS7 + 0.9*ZS10	1431	0.000	0.73	≤ 1	CS111) TD
KZ24	1.35*ZS1 + 1.35*ZS2 + 1.5*ZS4 + 0.75*ZS8 + 0.9*ZS9	1431	0.000	0.73	≤ 1	CS111) TD
KZ25	1.35*ZS1 + 1.35*ZS2 + 1.5*ZS4 + 0.75*ZS8 + 0.9*ZS10	1431	0.000	0.73	≤ 1	CS111) TD
KZ26	1.35*ZS1 + 1.35*ZS2 + 1.5*ZS5 + 0.75*ZS6 + 0.9*ZS9	1429	0.000	0.70	≤ 1	CS111) TD
KZ27	1.35*ZS1 + 1.35*ZS2 + 1.5*ZS5 + 0.75*ZS6 + 0.9*ZS10	1429	0.000	0.70	≤ 1	CS111) TD
KZ28	1.35*ZS1 + 1.35*ZS2 + 1.5*ZS5 + 0.75*ZS7 + 0.9*ZS9	1429	0.000	0.70	≤ 1	CS111) TD
KZ29	1.35*ZS1 + 1.35*ZS2 + 1.5*ZS5 + 0.75*ZS7 + 0.9*ZS10	1429	0.000	0.70	≤ 1	CS111) TD
KZ30	1.35*ZS1 + 1.35*ZS2 + 1.5*ZS5 + 0.75*ZS8 + 0.9*ZS9	1429	0.000	0.70	≤ 1	CS111) TD
KZ31	1.35*ZS1 + 1.35*ZS2 + 1.5*ZS5 + 0.75*ZS8 + 0.9*ZS10	1429	0.000	0.70	≤ 1	CS111) TD
KZ32	1.35*ZS1 + 1.35*ZS2 + 1.5*ZS3 + 0.9*ZS9	1418	0.000	0.73	≤ 1	CS181) TD
KZ33	1.35*ZS1 + 1.35*ZS2 + 1.5*ZS3 + 0.9*ZS10	1418	0.000	0.73	≤ 1	CS181) TD
KZ34	1.35*ZS1 + 1.35*ZS2 + 1.5*ZS4 + 0.9*ZS9	1431	0.000	0.73	≤ 1	CS111) TD
KZ35	1.35*ZS1 + 1.35*ZS2 + 1.5*ZS4 + 0.9*ZS10	1431	0.000	0.73	≤ 1	CS111) TD
KZ36	1.35*ZS1 + 1.35*ZS2 + 1.5*ZS5 + 0.9*ZS9	1429	0.000	0.70	≤ 1	CS111) TD
KZ37	1.35*ZS1 + 1.35*ZS2 + 1.5*ZS5 + 0.9*ZS10	1429	0.000	0.70	≤ 1	CS111) TD
KZ38	1.35*ZS1 + 1.35*ZS2 + 1.5*ZS6	1390	0.672	0.12	≤ 1	CS181) TD
KZ39	1.35*ZS1 + 1.35*ZS2 + 1.5*ZS7	1390	0.672	0.12	≤ 1	CS181) TD
KZ40	1.35*ZS1 + 1.35*ZS2 + 1.5*ZS8	1390	0.672	0.12	≤ 1	CS181) TD
KZ41	1.35*ZS1 + 1.35*ZS2 + 1.05*ZS3 + 1.5*ZS6	1390	0.672	0.53	≤ 1	CS181) TD
KZ42	1.35*ZS1 + 1.35*ZS2 + 1.05*ZS3 + 1.5*ZS7	1390	0.672	0.53	≤ 1	CS181) TD



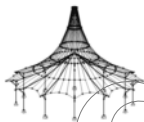
Projekt:

Model: Varianta B

Datum: 08.01.2019

## 2.1 POSOUZENÍ PO ZATĚŽOVACÍCH STAVECH

ZS/KZ/ KV	Označení ZS nebo KZ/KV	Přut č.	Místo x [m]	Návrh		Návrh č.	Označení
KZ43	1.35*ZS1 + 1.35*ZS2 + 1.05*ZS3 + 1.5*ZS8	1390	0.672	0.53	≤ 1	CS181)	TD
KZ44	1.35*ZS1 + 1.35*ZS2 + 1.05*ZS4 + 1.5*ZS6	1390	0.672	0.54	≤ 1	CS181)	TD
KZ45	1.35*ZS1 + 1.35*ZS2 + 1.05*ZS4 + 1.5*ZS7	1390	0.672	0.54	≤ 1	CS181)	TD
KZ46	1.35*ZS1 + 1.35*ZS2 + 1.05*ZS4 + 1.5*ZS8	1390	0.672	0.54	≤ 1	CS181)	TD
KZ47	1.35*ZS1 + 1.35*ZS2 + 1.05*ZS5 + 1.5*ZS6	1388	0.672	0.55	≤ 1	CS181)	TD
KZ48	1.35*ZS1 + 1.35*ZS2 + 1.05*ZS5 + 1.5*ZS7	1388	0.672	0.55	≤ 1	CS181)	TD
KZ49	1.35*ZS1 + 1.35*ZS2 + 1.05*ZS5 + 1.5*ZS8	1388	0.672	0.55	≤ 1	CS181)	TD
KZ50	1.35*ZS1 + 1.35*ZS2 + 1.05*ZS3 + 1.5*ZS6 + 0.9*ZS9	1418	0.000	0.55	≤ 1	CS181)	TD
KZ51	1.35*ZS1 + 1.35*ZS2 + 1.05*ZS3 + 1.5*ZS6 + 0.9*ZS10	1418	0.000	0.55	≤ 1	CS181)	TD
KZ52	1.35*ZS1 + 1.35*ZS2 + 1.05*ZS3 + 1.5*ZS7 + 0.9*ZS9	1418	0.000	0.55	≤ 1	CS181)	TD
KZ53	1.35*ZS1 + 1.35*ZS2 + 1.05*ZS3 + 1.5*ZS7 + 0.9*ZS10	1418	0.000	0.55	≤ 1	CS181)	TD
KZ54	1.35*ZS1 + 1.35*ZS2 + 1.05*ZS3 + 1.5*ZS8 + 0.9*ZS9	1418	0.000	0.55	≤ 1	CS181)	TD
KZ55	1.35*ZS1 + 1.35*ZS2 + 1.05*ZS3 + 1.5*ZS8 + 0.9*ZS10	1418	0.000	0.55	≤ 1	CS181)	TD
KZ56	1.35*ZS1 + 1.35*ZS2 + 1.05*ZS4 + 1.5*ZS6 + 0.9*ZS9	1431	0.000	0.56	≤ 1	CS111)	TD
KZ57	1.35*ZS1 + 1.35*ZS2 + 1.05*ZS4 + 1.5*ZS6 + 0.9*ZS10	1431	0.000	0.56	≤ 1	CS111)	TD
KZ58	1.35*ZS1 + 1.35*ZS2 + 1.05*ZS4 + 1.5*ZS7 + 0.9*ZS9	1431	0.000	0.56	≤ 1	CS111)	TD
KZ59	1.35*ZS1 + 1.35*ZS2 + 1.05*ZS4 + 1.5*ZS7 + 0.9*ZS10	1431	0.000	0.56	≤ 1	CS111)	TD
KZ60	1.35*ZS1 + 1.35*ZS2 + 1.05*ZS4 + 1.5*ZS8 + 0.9*ZS9	1431	0.000	0.56	≤ 1	CS111)	TD
KZ61	1.35*ZS1 + 1.35*ZS2 + 1.05*ZS4 + 1.5*ZS8 + 0.9*ZS10	1431	0.000	0.56	≤ 1	CS111)	TD
KZ62	1.35*ZS1 + 1.35*ZS2 + 1.05*ZS5 + 1.5*ZS6 + 0.9*ZS9	1429	0.000	0.52	≤ 1	CS111)	TD
KZ63	1.35*ZS1 + 1.35*ZS2 + 1.05*ZS5 + 1.5*ZS6 + 0.9*ZS10	1429	0.000	0.52	≤ 1	CS111)	TD
KZ64	1.35*ZS1 + 1.35*ZS2 + 1.05*ZS5 + 1.5*ZS7 + 0.9*ZS9	1429	0.000	0.52	≤ 1	CS111)	TD
KZ65	1.35*ZS1 + 1.35*ZS2 + 1.05*ZS5 + 1.5*ZS7 + 0.9*ZS10	1429	0.000	0.52	≤ 1	CS111)	TD
KZ66	1.35*ZS1 + 1.35*ZS2 + 1.05*ZS5 + 1.5*ZS8 + 0.9*ZS9	1429	0.000	0.52	≤ 1	CS111)	TD
KZ67	1.35*ZS1 + 1.35*ZS2 + 1.05*ZS5 + 1.5*ZS8 + 0.9*ZS10	1429	0.000	0.52	≤ 1	CS111)	TD
KZ68	1.35*ZS1 + 1.35*ZS2 + 1.5*ZS6 + 0.9*ZS9	1418	0.000	0.15	≤ 1	CS181)	TD
KZ69	1.35*ZS1 + 1.35*ZS2 + 1.5*ZS6 + 0.9*ZS10	1418	0.000	0.15	≤ 1	CS181)	TD
KZ70	1.35*ZS1 + 1.35*ZS2 + 1.5*ZS7 + 0.9*ZS9	1418	0.000	0.15	≤ 1	CS181)	TD
KZ71	1.35*ZS1 + 1.35*ZS2 + 1.5*ZS7 + 0.9*ZS10	1418	0.000	0.15	≤ 1	CS181)	TD
KZ72	1.35*ZS1 + 1.35*ZS2 + 1.5*ZS8 + 0.9*ZS9	1418	0.000	0.15	≤ 1	CS181)	TD
KZ73	1.35*ZS1 + 1.35*ZS2 + 1.5*ZS8 + 0.9*ZS10	1418	0.000	0.15	≤ 1	CS181)	TD
KZ74	1.35*ZS1 + 1.35*ZS2 + 1.5*ZS9	1418	0.000	0.17	≤ 1	CS181)	TD
KZ75	1.35*ZS1 + 1.35*ZS2 + 1.5*ZS10	1418	0.000	0.17	≤ 1	CS181)	TD
KZ76	1.35*ZS1 + 1.35*ZS2 + 1.05*ZS3 + 1.5*ZS9	1418	0.000	0.58	≤ 1	CS181)	TD
KZ77	1.35*ZS1 + 1.35*ZS2 + 1.05*ZS3 + 1.5*ZS10	1418	0.000	0.58	≤ 1	CS181)	TD
KZ78	1.35*ZS1 + 1.35*ZS2 + 1.05*ZS4 + 1.5*ZS9	1431	0.000	0.57	≤ 1	CS111)	TD
KZ79	1.35*ZS1 + 1.35*ZS2 + 1.05*ZS4 + 1.5*ZS10	1431	0.000	0.57	≤ 1	CS111)	TD
KZ80	1.35*ZS1 + 1.35*ZS2 + 1.05*ZS5 + 1.5*ZS9	1376	0.672	0.43	≤ 1	CS181)	TD
KZ81	1.35*ZS1 + 1.35*ZS2 + 1.05*ZS5 + 1.5*ZS10	1376	0.672	0.43	≤ 1	CS181)	TD
KZ82	1.35*ZS1 + 1.35*ZS2 + 1.05*ZS3 + 0.75*ZS6 + 1.5*ZS9	1418	0.000	0.58	≤ 1	CS181)	TD
KZ83	1.35*ZS1 + 1.35*ZS2 + 1.05*ZS3 + 0.75*ZS6 + 1.5*ZS10	1418	0.000	0.58	≤ 1	CS181)	TD
KZ84	1.35*ZS1 + 1.35*ZS2 + 1.05*ZS3 + 0.75*ZS7 + 1.5*ZS9	1418	0.000	0.58	≤ 1	CS181)	TD
KZ85	1.35*ZS1 + 1.35*ZS2 + 1.05*ZS3 + 0.75*ZS7 + 1.5*ZS10	1418	0.000	0.58	≤ 1	CS181)	TD
KZ86	1.35*ZS1 + 1.35*ZS2 + 1.05*ZS3 + 0.75*ZS8 + 1.5*ZS9	1418	0.000	0.58	≤ 1	CS181)	TD
KZ87	1.35*ZS1 + 1.35*ZS2 + 1.05*ZS3 + 0.75*ZS8 + 1.5*ZS10	1418	0.000	0.58	≤ 1	CS181)	TD
KZ88	1.35*ZS1 + 1.35*ZS2 + 1.05*ZS4 + 0.75*ZS6 + 1.5*ZS9	1431	0.000	0.57	≤ 1	CS111)	TD
KZ89	1.35*ZS1 + 1.35*ZS2 + 1.05*ZS4 + 0.75*ZS6 + 1.5*ZS10	1431	0.000	0.57	≤ 1	CS111)	TD
KZ90	1.35*ZS1 + 1.35*ZS2 + 1.05*ZS4 + 0.75*ZS7 + 1.5*ZS9	1431	0.000	0.57	≤ 1	CS111)	TD
KZ91	1.35*ZS1 + 1.35*ZS2 + 1.05*ZS4 + 0.75*ZS7 + 1.5*ZS10	1431	0.000	0.57	≤ 1	CS111)	TD
KZ92	1.35*ZS1 + 1.35*ZS2 + 1.05*ZS4 + 0.75*ZS8 + 1.5*ZS9	1431	0.000	0.57	≤ 1	CS111)	TD
KZ93	1.35*ZS1 + 1.35*ZS2 + 1.05*ZS4 + 0.75*ZS8 + 1.5*ZS10	1431	0.000	0.57	≤ 1	CS111)	TD
KZ94	1.35*ZS1 + 1.35*ZS2 + 1.05*ZS5 + 0.75*ZS6 + 1.5*ZS9	1376	0.672	0.43	≤ 1	CS181)	TD
KZ95	1.35*ZS1 + 1.35*ZS2 + 1.05*ZS5 + 0.75*ZS6 + 1.5*ZS10	1376	0.672	0.43	≤ 1	CS181)	TD
KZ96	1.35*ZS1 + 1.35*ZS2 + 1.05*ZS5 + 0.75*ZS7 + 1.5*ZS9	1376	0.672	0.43	≤ 1	CS181)	TD
KZ97	1.35*ZS1 + 1.35*ZS2 + 1.05*ZS5 + 0.75*ZS7 + 1.5*ZS10	1376	0.672	0.43	≤ 1	CS181)	TD
KZ98	1.35*ZS1 + 1.35*ZS2 + 1.05*ZS5 + 0.75*ZS8 + 1.5*ZS9	1376	0.672	0.43	≤ 1	CS181)	TD
KZ99	1.35*ZS1 + 1.35*ZS2 + 1.05*ZS5 + 0.75*ZS8 + 1.5*ZS10	1376	0.672	0.43	≤ 1	CS181)	TD
KZ100	1.35*ZS1 + 1.35*ZS2 + 0.75*ZS6 + 1.5*ZS9	1418	0.000	0.17	≤ 1	CS181)	TD



Projekt:

Model: Varianta B

Datum:

08.01.2019

## 2.1 POSOUZENÍ PO ZATĚŽOVACÍCH STAVECH

ZS/KZ/ KV	Označení ZS nebo KZ/KV	Přut č.	Místo x [m]	Návrh			Návrh č.	Označení
KZ101	1.35*ZS1 + 1.35*ZS2 + 0.75*ZS6 + 1.5*ZS10	1418	0.000	0.17	≤ 1		CS181)	TD
KZ102	1.35*ZS1 + 1.35*ZS2 + 0.75*ZS7 + 1.5*ZS9	1418	0.000	0.17	≤ 1		CS181)	TD
KZ103	1.35*ZS1 + 1.35*ZS2 + 0.75*ZS7 + 1.5*ZS10	1418	0.000	0.17	≤ 1		CS181)	TD
KZ104	1.35*ZS1 + 1.35*ZS2 + 0.75*ZS8 + 1.5*ZS9	1418	0.000	0.17	≤ 1		CS181)	TD
KZ105	1.35*ZS1 + 1.35*ZS2 + 0.75*ZS8 + 1.5*ZS10	1418	0.000	0.17	≤ 1		CS181)	TD
KV1	MSÚ (STR/GEO) - stálá / přechodná - rovn. 6,10	1431	0.000	0.73	≤ 1		CS111)	TD
Posouzení mezního stavu použitelnosti								
KZ106	ZS1 + ZS2	50	0.000	0.00	≤ 1		SE400)	PC
KZ107	ZS1 + ZS2 + ZS3	50	0.000	0.00	≤ 1		SE400)	PC
KZ108	ZS1 + ZS2 + ZS4	50	0.000	0.00	≤ 1		SE400)	PC
KZ109	ZS1 + ZS2 + ZS5	50	0.000	0.00	≤ 1		SE400)	PC
KZ110	ZS1 + ZS2 + ZS3 + 0.5*ZS6	50	0.000	0.00	≤ 1		SE400)	PC
KZ111	ZS1 + ZS2 + ZS3 + 0.5*ZS7	50	0.000	0.00	≤ 1		SE400)	PC
KZ112	ZS1 + ZS2 + ZS3 + 0.5*ZS8	50	0.000	0.00	≤ 1		SE400)	PC
KZ113	ZS1 + ZS2 + ZS4 + 0.5*ZS6	50	0.000	0.00	≤ 1		SE400)	PC
KZ114	ZS1 + ZS2 + ZS4 + 0.5*ZS7	50	0.000	0.00	≤ 1		SE400)	PC
KZ115	ZS1 + ZS2 + ZS4 + 0.5*ZS8	50	0.000	0.00	≤ 1		SE400)	PC
KZ116	ZS1 + ZS2 + ZS5 + 0.5*ZS6	50	0.000	0.00	≤ 1		SE400)	PC
KZ117	ZS1 + ZS2 + ZS5 + 0.5*ZS7	50	0.000	0.00	≤ 1		SE400)	PC
KZ118	ZS1 + ZS2 + ZS5 + 0.5*ZS8	50	0.000	0.00	≤ 1		SE400)	PC
KZ119	ZS1 + ZS2 + ZS3 + 0.5*ZS6 + 0.6*ZS9	50	0.000	0.00	≤ 1		SE400)	PC
KZ120	ZS1 + ZS2 + ZS3 + 0.5*ZS6 + 0.6*ZS10	50	0.000	0.00	≤ 1		SE400)	PC
KZ121	ZS1 + ZS2 + ZS3 + 0.5*ZS7 + 0.6*ZS9	50	0.000	0.00	≤ 1		SE400)	PC
KZ122	ZS1 + ZS2 + ZS3 + 0.5*ZS7 + 0.6*ZS10	50	0.000	0.00	≤ 1		SE400)	PC
KZ123	ZS1 + ZS2 + ZS3 + 0.5*ZS8 + 0.6*ZS9	50	0.000	0.00	≤ 1		SE400)	PC
KZ124	ZS1 + ZS2 + ZS3 + 0.5*ZS8 + 0.6*ZS10	50	0.000	0.00	≤ 1		SE400)	PC
KZ125	ZS1 + ZS2 + ZS4 + 0.5*ZS6 + 0.6*ZS9	50	0.000	0.00	≤ 1		SE400)	PC
KZ126	ZS1 + ZS2 + ZS4 + 0.5*ZS6 + 0.6*ZS10	50	0.000	0.00	≤ 1		SE400)	PC
KZ127	ZS1 + ZS2 + ZS4 + 0.5*ZS7 + 0.6*ZS9	50	0.000	0.00	≤ 1		SE400)	PC
KZ128	ZS1 + ZS2 + ZS4 + 0.5*ZS7 + 0.6*ZS10	50	0.000	0.00	≤ 1		SE400)	PC
KZ129	ZS1 + ZS2 + ZS4 + 0.5*ZS8 + 0.6*ZS9	50	0.000	0.00	≤ 1		SE400)	PC
KZ130	ZS1 + ZS2 + ZS4 + 0.5*ZS8 + 0.6*ZS10	50	0.000	0.00	≤ 1		SE400)	PC
KZ131	ZS1 + ZS2 + ZS5 + 0.5*ZS6 + 0.6*ZS9	50	0.000	0.00	≤ 1		SE400)	PC
KZ132	ZS1 + ZS2 + ZS5 + 0.5*ZS6 + 0.6*ZS10	50	0.000	0.00	≤ 1		SE400)	PC
KZ133	ZS1 + ZS2 + ZS5 + 0.5*ZS7 + 0.6*ZS9	50	0.000	0.00	≤ 1		SE400)	PC
KZ134	ZS1 + ZS2 + ZS5 + 0.5*ZS7 + 0.6*ZS10	50	0.000	0.00	≤ 1		SE400)	PC
KZ135	ZS1 + ZS2 + ZS5 + 0.5*ZS8 + 0.6*ZS9	50	0.000	0.00	≤ 1		SE400)	PC
KZ136	ZS1 + ZS2 + ZS5 + 0.5*ZS8 + 0.6*ZS10	50	0.000	0.00	≤ 1		SE400)	PC
KZ137	ZS1 + ZS2 + ZS3 + 0.6*ZS9	50	0.000	0.00	≤ 1		SE400)	PC
KZ138	ZS1 + ZS2 + ZS3 + 0.6*ZS10	50	0.000	0.00	≤ 1		SE400)	PC
KZ139	ZS1 + ZS2 + ZS4 + 0.6*ZS9	50	0.000	0.00	≤ 1		SE400)	PC
KZ140	ZS1 + ZS2 + ZS4 + 0.6*ZS10	50	0.000	0.00	≤ 1		SE400)	PC
KZ141	ZS1 + ZS2 + ZS5 + 0.6*ZS9	50	0.000	0.00	≤ 1		SE400)	PC
KZ142	ZS1 + ZS2 + ZS5 + 0.6*ZS10	50	0.000	0.00	≤ 1		SE400)	PC
KZ143	ZS1 + ZS2 + ZS6	50	0.000	0.00	≤ 1		SE400)	PC
KZ144	ZS1 + ZS2 + ZS7	50	0.000	0.00	≤ 1		SE400)	PC
KZ145	ZS1 + ZS2 + ZS8	50	0.000	0.00	≤ 1		SE400)	PC
KZ146	ZS1 + ZS2 + 0.7*ZS3 + ZS6	50	0.000	0.00	≤ 1		SE400)	PC
KZ147	ZS1 + ZS2 + 0.7*ZS3 + ZS7	50	0.000	0.00	≤ 1		SE400)	PC
KZ148	ZS1 + ZS2 + 0.7*ZS3 + ZS8	50	0.000	0.00	≤ 1		SE400)	PC
KZ149	ZS1 + ZS2 + 0.7*ZS4 + ZS6	50	0.000	0.00	≤ 1		SE400)	PC
KZ150	ZS1 + ZS2 + 0.7*ZS4 + ZS7	50	0.000	0.00	≤ 1		SE400)	PC
KZ151	ZS1 + ZS2 + 0.7*ZS4 + ZS8	50	0.000	0.00	≤ 1		SE400)	PC
KZ152	ZS1 + ZS2 + 0.7*ZS5 + ZS6	50	0.000	0.00	≤ 1		SE400)	PC
KZ153	ZS1 + ZS2 + 0.7*ZS5 + ZS7	50	0.000	0.00	≤ 1		SE400)	PC
KZ154	ZS1 + ZS2 + 0.7*ZS5 + ZS8	50	0.000	0.00	≤ 1		SE400)	PC
KZ155	ZS1 + ZS2 + 0.7*ZS3 + ZS6 + 0.6*ZS9	50	0.000	0.00	≤ 1		SE400)	PC
KZ156	ZS1 + ZS2 + 0.7*ZS3 + ZS6 + 0.6*ZS10	50	0.000	0.00	≤ 1		SE400)	PC
KZ157	ZS1 + ZS2 + 0.7*ZS3 + ZS7 + 0.6*ZS9	50	0.000	0.00	≤ 1		SE400)	PC
KZ158	ZS1 + ZS2 + 0.7*ZS3 + ZS7 + 0.6*ZS10	50	0.000	0.00	≤ 1		SE400)	PC
KZ159	ZS1 + ZS2 + 0.7*ZS3 + ZS8 + 0.6*ZS9	50	0.000	0.00	≤ 1		SE400)	PC
KZ160	ZS1 + ZS2 + 0.7*ZS3 + ZS8 + 0.6*ZS10	50	0.000	0.00	≤ 1		SE400)	PC
KZ161	ZS1 + ZS2 + 0.7*ZS4 + ZS6 + 0.6*ZS9	50	0.000	0.00	≤ 1		SE400)	PC
KZ162	ZS1 + ZS2 + 0.7*ZS4 + ZS6 + 0.6*ZS10	50	0.000	0.00	≤ 1		SE400)	PC
KZ163	ZS1 + ZS2 + 0.7*ZS4 + ZS7 + 0.6*ZS9	50	0.000	0.00	≤ 1		SE400)	PC
KZ164	ZS1 + ZS2 + 0.7*ZS4 + ZS7 + 0.6*ZS10	50	0.000	0.00	≤ 1		SE400)	PC
KZ165	ZS1 + ZS2 + 0.7*ZS4 + ZS8 + 0.6*ZS9	50	0.000	0.00	≤ 1		SE400)	PC
KZ166	ZS1 + ZS2 + 0.7*ZS4 + ZS8 + 0.6*ZS10	50	0.000	0.00	≤ 1		SE400)	PC
KZ167	ZS1 + ZS2 + 0.7*ZS5 + ZS6 + 0.6*ZS9	50	0.000	0.00	≤ 1		SE400)	PC
KZ168	ZS1 + ZS2 + 0.7*ZS5 + ZS6 + 0.6*ZS10	50	0.000	0.00	≤ 1		SE400)	PC
KZ169	ZS1 + ZS2 + 0.7*ZS5 + ZS7 + 0.6*ZS9	50	0.000	0.00	≤ 1		SE400)	PC
KZ170	ZS1 + ZS2 + 0.7*ZS5 + ZS7 + 0.6*ZS10	50	0.000	0.00	≤ 1		SE400)	PC
KZ171	ZS1 + ZS2 + 0.7*ZS5 + ZS8 + 0.6*ZS9	50	0.000	0.00	≤ 1		SE400)	PC
KZ172	ZS1 + ZS2 + 0.7*ZS5 + ZS8 + 0.6*ZS10	50	0.000	0.00	≤ 1		SE400)	PC
KZ173	ZS1 + ZS2 + ZS6 + 0.6*ZS9	50	0.000	0.00	≤ 1		SE400)	PC
KZ174	ZS1 + ZS2 + ZS6 + 0.6*ZS10	50	0.000	0.00	≤ 1		SE400)	PC
KZ175	ZS1 + ZS2 + ZS7 + 0.6*ZS9	50	0.000	0.00	≤ 1		SE400)	PC
KZ176	ZS1 + ZS2 + ZS7 + 0.6*ZS10	50	0.000	0.00	≤ 1		SE400)	PC
KZ177	ZS1 + ZS2 + ZS8 + 0.6*ZS9	50	0.000	0.00	≤ 1		SE400)	PC
KZ178	ZS1 + ZS2 + ZS8 + 0.6*ZS10	50	0.000	0.00	≤ 1		SE400)	PC
KZ179	ZS1 + ZS2 + ZS9	50	0.000	0.00	≤ 1		SE400)	PC
KZ180	ZS1 + ZS2 + ZS10	50	0.000	0.00	≤ 1		SE400)	PC
KZ181	ZS1 + ZS2 + 0.7*ZS3 + ZS9	50	0.000	0.00	≤ 1		SE400)	PC
KZ182	ZS1 + ZS2 + 0.7*ZS3 + ZS10	50	0.000	0.00	≤ 1		SE400)	PC
KZ183	ZS1 + ZS2 + 0.7*ZS4 + ZS9	50	0.000	0.00	≤ 1		SE400)	PC
KZ184	ZS1 + ZS2 + 0.7*ZS4 + ZS10	50	0.000	0.00	≤ 1		SE400)	PC
KZ185	ZS1 + ZS2 + 0.7*ZS5 + ZS9	50	0.000	0.00	≤ 1		SE400)	PC
KZ186	ZS1 + ZS2 + 0.7*ZS5 + ZS10	50	0.000	0.00	≤ 1		SE400)	PC
KZ187	ZS1 + ZS2 + 0.7*ZS3 + 0.5*ZS6 + ZS9	50	0.000	0.00	≤ 1		SE400)	PC
KZ188	ZS1 + ZS2 + 0.7*ZS3 + 0.5*ZS6 + ZS10	50	0.000	0.00	≤ 1		SE400)	PC
KZ189	ZS1 + ZS2 + 0.7*ZS3 + 0.5*ZS7 + ZS9	50	0.000	0.00	≤ 1		SE400)	PC
KZ190	ZS1 + ZS2 + 0.7*ZS3 + 0.5*ZS7 + ZS10	50	0.000	0.00	≤ 1		SE400)	PC

Projekt:

Model: Varianta B

Datum: 08.01.2019

## 2.1 POSOUZENÍ PO ZATĚŽOVACÍCH STAVECH

ZS/KZ/ KV	Označení ZS nebo KZ/KV	Prut č.	Místo x [m]	Návrh	Návrh č.	Označení
KZ191	ZS1 + ZS2 + 0.7*ZS3 + 0.5*ZS8 + ZS9	50	0.000	0.00	≤ 1	SE400) PC
KZ192	ZS1 + ZS2 + 0.7*ZS3 + 0.5*ZS8 + ZS10	50	0.000	0.00	≤ 1	SE400) PC
KZ193	ZS1 + ZS2 + 0.7*ZS4 + 0.5*ZS6 + ZS9	50	0.000	0.00	≤ 1	SE400) PC
KZ194	ZS1 + ZS2 + 0.7*ZS4 + 0.5*ZS6 + ZS10	50	0.000	0.00	≤ 1	SE400) PC
KZ195	ZS1 + ZS2 + 0.7*ZS4 + 0.5*ZS7 + ZS9	50	0.000	0.00	≤ 1	SE400) PC
KZ196	ZS1 + ZS2 + 0.7*ZS4 + 0.5*ZS7 + ZS10	50	0.000	0.00	≤ 1	SE400) PC
KZ197	ZS1 + ZS2 + 0.7*ZS4 + 0.5*ZS8 + ZS9	50	0.000	0.00	≤ 1	SE400) PC
KZ198	ZS1 + ZS2 + 0.7*ZS4 + 0.5*ZS8 + ZS10	50	0.000	0.00	≤ 1	SE400) PC
KZ199	ZS1 + ZS2 + 0.7*ZS5 + 0.5*ZS6 + ZS9	50	0.000	0.00	≤ 1	SE400) PC
KZ200	ZS1 + ZS2 + 0.7*ZS5 + 0.5*ZS6 + ZS10	50	0.000	0.00	≤ 1	SE400) PC
KZ201	ZS1 + ZS2 + 0.7*ZS5 + 0.5*ZS7 + ZS9	50	0.000	0.00	≤ 1	SE400) PC
KZ202	ZS1 + ZS2 + 0.7*ZS5 + 0.5*ZS7 + ZS10	50	0.000	0.00	≤ 1	SE400) PC
KZ203	ZS1 + ZS2 + 0.7*ZS5 + 0.5*ZS8 + ZS9	50	0.000	0.00	≤ 1	SE400) PC
KZ204	ZS1 + ZS2 + 0.7*ZS5 + 0.5*ZS8 + ZS10	50	0.000	0.00	≤ 1	SE400) PC
KZ205	ZS1 + ZS2 + 0.5*ZS6 + ZS9	50	0.000	0.00	≤ 1	SE400) PC
KZ206	ZS1 + ZS2 + 0.5*ZS6 + ZS10	50	0.000	0.00	≤ 1	SE400) PC
KZ207	ZS1 + ZS2 + 0.5*ZS7 + ZS9	50	0.000	0.00	≤ 1	SE400) PC
KZ208	ZS1 + ZS2 + 0.5*ZS7 + ZS10	50	0.000	0.00	≤ 1	SE400) PC
KZ209	ZS1 + ZS2 + 0.5*ZS8 + ZS9	50	0.000	0.00	≤ 1	SE400) PC
KZ210	ZS1 + ZS2 + 0.5*ZS8 + ZS10	50	0.000	0.00	≤ 1	SE400) PC

## 2.2 POSOUZENÍ PO PRŮŘEZECH

Průř. č.	Prut č.	Místo x [m]	ZS/KZ/ KV	Návrh	Návrh č.	Označení
8	RO 101.6x5 (za studena)					
	1375	0.000	ZS4	0.00	≤ 1	CS100) Zanedbatelné vnitřní síly
	891	0.000	KZ18	0.06	≤ 1	CS101) Posouzení průřezu - tah podle 6.2.3
	1418	0.850	KZ99	0.02	≤ 1	CS102) Posouzení průřezu - tlak podle 6.2.4
	1431	0.000	KZ24	0.73	≤ 1	CS111) Posouzení průřezu - ohyb okolo y podle 6.2.5 - třída 1 nebo 2
	1390	0.672	KZ24	0.09	≤ 1	CS121) Posouzení průřezu - smyk ve směru z podle 6.2.6
	1403	0.000	KZ92	0.00	≤ 1	CS123) Posouzení průřezu - smyk ve směru y podle 6.2.6
	1380	0.000	KZ91	0.07	≤ 1	CS128) Posouzení průřezu - výsledná smyková síla podle 6.2.6
	1431	0.000	KZ24	0.73	≤ 1	CS141) Posouzení průřezu - ohyb a smyk podle 6.2.5 a 6.2.8
	1434	0.000	KZ12	0.51	≤ 1	CS161) Posouzení průřezu - dvouosý ohyb a smyk podle 6.2.6, 6.2.7 a 6.2.9
	1388	0.672	KZ4	0.73	≤ 1	CS181) Posouzení průřezu - ohyb, smyk a osová síla podle 6.2.9.1
	1391	0.672	ZS10	0.00	≤ 1	CS201) Posouzení průřezu - ohyb okolo z, smyk a osová síla podle 6.2.9.1
	1390	0.672	KZ24	0.54	≤ 1	CS221) Posouzení průřezu - dvouosý ohyb, smyk a osová síla podle 6.2.10 a 6.2.9
	50	0.000	KZ106	0.00	≤ 1	SE400) Použitelnost - malé, resp. velmi malé deformace

## 1.2 MATERIÁLY

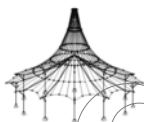
Materiál - č.	Označení materiálu	Modul pruž. E [MPa]	Smykový modul G [MPa]	Poissonův součinitel ν [-]	Mez kluzu f <sub>yk</sub> [MPa]	Max. tloušťka dílce t [mm]
1	Ocel S 355   DIN EN 1993-1-1:2010-12	210000.000	80769.200	0.300	355.000	40.0
	Baustahl S 235				335.000	80.0
					315.000	100.0
					295.000	150.0
					285.000	200.0
					275.000	250.0

## 1.3 PRŮŘEZY

Průř. č.	Materiál - č.	Označení průřezu	Typ průřezu	Max. návrhové využití	Komentář
10	1	RO 76.1x4 (za studena)	Trubka	0.15	

## 2.1 POSOUZENÍ PO ZATĚŽOVACÍCH STAVECH

ZS/KZ/ KV	Označení ZS nebo KZ/KV	Prut č.	Místo x [m]	Návrh	Návrh č.	Označení
ZS1	Vlastní tíha	1474	0.000	0.01	≤ 1	CS102) TD
ZS2	Ostatní stálé	1465	0.000	0.01	≤ 1	ST304) TD
ZS3	Užitné plné	1465	0.000	0.07	≤ 1	ST301) TD
ZS4	Užitné poloviční1	1465	0.000	0.08	≤ 1	ST301) TD
ZS5	Užitné poloviční2	1456	0.000	0.08	≤ 1	ST301) TD
ZS6	Sníh plný	1445	0.000	0.00	≤ 1	CS100) TD
ZS7	Sníh poloviční 1	1447	0.000	0.00	≤ 1	CS100) TD
ZS8	Sníh poloviční 2	1447	0.000	0.00	≤ 1	CS100) TD
ZS9	Vítr ve směru X + tlak na přístřešek	1450	0.773	0.01	≤ 1	CS102) TD
ZS10	Vítr ve směru X + sání na přístřešek	1450	0.773	0.01	≤ 1	CS102) TD
KZ1	1.35*ZS1 + 1.35*ZS2	1465	0.000	0.03	≤ 1	ST301) TD
KZ2	1.35*ZS1 + 1.35*ZS2 + 1.5*ZS3	1465	0.000	0.14	≤ 1	ST301) TD
KZ3	1.35*ZS1 + 1.35*ZS2 + 1.5*ZS4	1465	0.000	0.14	≤ 1	ST301) TD
KZ4	1.35*ZS1 + 1.35*ZS2 + 1.5*ZS5	1456	0.000	0.15	≤ 1	ST301) TD
KZ5	1.35*ZS1 + 1.35*ZS2 + 1.5*ZS3 + 0.75*ZS6	1465	0.000	0.14	≤ 1	ST301) TD
KZ6	1.35*ZS1 + 1.35*ZS2 + 1.5*ZS3 + 0.75*ZS7	1465	0.000	0.14	≤ 1	ST301) TD



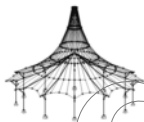
Projekt:

Model: Varianta B

Datum: 08.01.2019

## 2.1 POSOUZENÍ PO ZATĚŽOVACÍCH STAVECH

ZS/KZ/ KV	Označení ZS nebo KZ/KV	Přut č.	Místo x [m]	Návrh		Návrh č.	Označení
KZ7	1.35*ZS1 + 1.35*ZS2 + 1.5*ZS3 + 0.75*ZS8	1465	0.000	0.14	≤ 1	ST301)	TD
KZ8	1.35*ZS1 + 1.35*ZS2 + 1.5*ZS4 + 0.75*ZS6	1465	0.000	0.14	≤ 1	ST301)	TD
KZ9	1.35*ZS1 + 1.35*ZS2 + 1.5*ZS4 + 0.75*ZS7	1465	0.000	0.14	≤ 1	ST301)	TD
KZ10	1.35*ZS1 + 1.35*ZS2 + 1.5*ZS4 + 0.75*ZS8	1465	0.000	0.14	≤ 1	ST301)	TD
KZ11	1.35*ZS1 + 1.35*ZS2 + 1.5*ZS5 + 0.75*ZS6	1456	0.000	0.15	≤ 1	ST301)	TD
KZ12	1.35*ZS1 + 1.35*ZS2 + 1.5*ZS5 + 0.75*ZS7	1456	0.000	0.15	≤ 1	ST301)	TD
KZ13	1.35*ZS1 + 1.35*ZS2 + 1.5*ZS5 + 0.75*ZS8	1456	0.000	0.15	≤ 1	ST301)	TD
KZ14	1.35*ZS1 + 1.35*ZS2 + 1.5*ZS3 + 0.75*ZS6 + 0.9*ZS9	1465	0.000	0.15	≤ 1	ST301)	TD
KZ15	1.35*ZS1 + 1.35*ZS2 + 1.5*ZS3 + 0.75*ZS6 + 0.9*ZS10	1465	0.000	0.15	≤ 1	ST301)	TD
KZ16	1.35*ZS1 + 1.35*ZS2 + 1.5*ZS3 + 0.75*ZS7 + 0.9*ZS9	1465	0.000	0.15	≤ 1	ST301)	TD
KZ17	1.35*ZS1 + 1.35*ZS2 + 1.5*ZS3 + 0.75*ZS7 + 0.9*ZS10	1465	0.000	0.15	≤ 1	ST301)	TD
KZ18	1.35*ZS1 + 1.35*ZS2 + 1.5*ZS3 + 0.75*ZS8 + 0.9*ZS9	1465	0.000	0.15	≤ 1	ST301)	TD
KZ19	1.35*ZS1 + 1.35*ZS2 + 1.5*ZS3 + 0.75*ZS8 + 0.9*ZS10	1465	0.000	0.15	≤ 1	ST301)	TD
KZ20	1.35*ZS1 + 1.35*ZS2 + 1.5*ZS4 + 0.75*ZS6 + 0.9*ZS9	1465	0.000	0.15	≤ 1	ST301)	TD
KZ21	1.35*ZS1 + 1.35*ZS2 + 1.5*ZS4 + 0.75*ZS6 + 0.9*ZS10	1465	0.000	0.15	≤ 1	ST301)	TD
KZ22	1.35*ZS1 + 1.35*ZS2 + 1.5*ZS4 + 0.75*ZS7 + 0.9*ZS9	1465	0.000	0.15	≤ 1	ST301)	TD
KZ23	1.35*ZS1 + 1.35*ZS2 + 1.5*ZS4 + 0.75*ZS7 + 0.9*ZS10	1465	0.000	0.15	≤ 1	ST301)	TD
KZ24	1.35*ZS1 + 1.35*ZS2 + 1.5*ZS4 + 0.75*ZS8 + 0.9*ZS9	1465	0.000	0.15	≤ 1	ST301)	TD
KZ25	1.35*ZS1 + 1.35*ZS2 + 1.5*ZS4 + 0.75*ZS8 + 0.9*ZS10	1465	0.000	0.15	≤ 1	ST301)	TD
KZ26	1.35*ZS1 + 1.35*ZS2 + 1.5*ZS5 + 0.75*ZS6 + 0.9*ZS9	1473	0.000	0.14	≤ 1	ST301)	TD
KZ27	1.35*ZS1 + 1.35*ZS2 + 1.5*ZS5 + 0.75*ZS6 + 0.9*ZS10	1473	0.000	0.14	≤ 1	ST301)	TD
KZ28	1.35*ZS1 + 1.35*ZS2 + 1.5*ZS5 + 0.75*ZS7 + 0.9*ZS9	1473	0.000	0.14	≤ 1	ST301)	TD
KZ29	1.35*ZS1 + 1.35*ZS2 + 1.5*ZS5 + 0.75*ZS7 + 0.9*ZS10	1473	0.000	0.14	≤ 1	ST301)	TD
KZ30	1.35*ZS1 + 1.35*ZS2 + 1.5*ZS5 + 0.75*ZS8 + 0.9*ZS9	1473	0.000	0.14	≤ 1	ST301)	TD
KZ31	1.35*ZS1 + 1.35*ZS2 + 1.5*ZS5 + 0.75*ZS8 + 0.9*ZS10	1473	0.000	0.14	≤ 1	ST301)	TD
KZ32	1.35*ZS1 + 1.35*ZS2 + 1.5*ZS3 + 0.9*ZS9	1465	0.000	0.15	≤ 1	ST301)	TD
KZ33	1.35*ZS1 + 1.35*ZS2 + 1.5*ZS3 + 0.9*ZS10	1465	0.000	0.15	≤ 1	ST301)	TD
KZ34	1.35*ZS1 + 1.35*ZS2 + 1.5*ZS4 + 0.9*ZS9	1465	0.000	0.15	≤ 1	ST301)	TD
KZ35	1.35*ZS1 + 1.35*ZS2 + 1.5*ZS4 + 0.9*ZS10	1465	0.000	0.15	≤ 1	ST301)	TD
KZ36	1.35*ZS1 + 1.35*ZS2 + 1.5*ZS5 + 0.9*ZS9	1473	0.000	0.14	≤ 1	ST301)	TD
KZ37	1.35*ZS1 + 1.35*ZS2 + 1.5*ZS5 + 0.9*ZS10	1473	0.000	0.14	≤ 1	ST301)	TD
KZ38	1.35*ZS1 + 1.35*ZS2 + 1.5*ZS6	1465	0.000	0.03	≤ 1	ST301)	TD
KZ39	1.35*ZS1 + 1.35*ZS2 + 1.5*ZS7	1465	0.000	0.03	≤ 1	ST301)	TD
KZ40	1.35*ZS1 + 1.35*ZS2 + 1.5*ZS8	1465	0.000	0.03	≤ 1	ST301)	TD
KZ41	1.35*ZS1 + 1.35*ZS2 + 1.05*ZS3 + 1.5*ZS6	1465	0.000	0.11	≤ 1	ST301)	TD
KZ42	1.35*ZS1 + 1.35*ZS2 + 1.05*ZS3 + 1.5*ZS7	1465	0.000	0.11	≤ 1	ST301)	TD
KZ43	1.35*ZS1 + 1.35*ZS2 + 1.05*ZS3 + 1.5*ZS8	1465	0.000	0.11	≤ 1	ST301)	TD
KZ44	1.35*ZS1 + 1.35*ZS2 + 1.05*ZS4 + 1.5*ZS6	1465	0.000	0.11	≤ 1	ST301)	TD
KZ45	1.35*ZS1 + 1.35*ZS2 + 1.05*ZS4 + 1.5*ZS7	1465	0.000	0.11	≤ 1	ST301)	TD
KZ46	1.35*ZS1 + 1.35*ZS2 + 1.05*ZS4 + 1.5*ZS8	1465	0.000	0.11	≤ 1	ST301)	TD
KZ47	1.35*ZS1 + 1.35*ZS2 + 1.05*ZS5 + 1.5*ZS6	1456	0.000	0.11	≤ 1	ST301)	TD
KZ48	1.35*ZS1 + 1.35*ZS2 + 1.05*ZS5 + 1.5*ZS7	1456	0.000	0.11	≤ 1	ST301)	TD
KZ49	1.35*ZS1 + 1.35*ZS2 + 1.05*ZS5 + 1.5*ZS8	1456	0.000	0.11	≤ 1	ST301)	TD
KZ50	1.35*ZS1 + 1.35*ZS2 + 1.05*ZS3 + 1.5*ZS6 + 0.9*ZS9	1465	0.000	0.11	≤ 1	ST301)	TD
KZ51	1.35*ZS1 + 1.35*ZS2 + 1.05*ZS3 + 1.5*ZS6 + 0.9*ZS10	1465	0.000	0.11	≤ 1	ST301)	TD
KZ52	1.35*ZS1 + 1.35*ZS2 + 1.05*ZS3 + 1.5*ZS7 + 0.9*ZS9	1465	0.000	0.11	≤ 1	ST301)	TD
KZ53	1.35*ZS1 + 1.35*ZS2 + 1.05*ZS3 + 1.5*ZS7 + 0.9*ZS10	1465	0.000	0.11	≤ 1	ST301)	TD
KZ54	1.35*ZS1 + 1.35*ZS2 + 1.05*ZS3 + 1.5*ZS8 + 0.9*ZS9	1465	0.000	0.11	≤ 1	ST301)	TD
KZ55	1.35*ZS1 + 1.35*ZS2 + 1.05*ZS3 + 1.5*ZS8 + 0.9*ZS10	1465	0.000	0.11	≤ 1	ST301)	TD
KZ56	1.35*ZS1 + 1.35*ZS2 + 1.05*ZS4 + 1.5*ZS6 + 0.9*ZS9	1465	0.000	0.12	≤ 1	ST301)	TD
KZ57	1.35*ZS1 + 1.35*ZS2 + 1.05*ZS4 + 1.5*ZS6 + 0.9*ZS10	1465	0.000	0.12	≤ 1	ST301)	TD
KZ58	1.35*ZS1 + 1.35*ZS2 + 1.05*ZS4 + 1.5*ZS7 + 0.9*ZS9	1465	0.000	0.12	≤ 1	ST301)	TD
KZ59	1.35*ZS1 + 1.35*ZS2 + 1.05*ZS4 + 1.5*ZS7 + 0.9*ZS10	1465	0.000	0.12	≤ 1	ST301)	TD
KZ60	1.35*ZS1 + 1.35*ZS2 + 1.05*ZS4 + 1.5*ZS8 + 0.9*ZS9	1465	0.000	0.12	≤ 1	ST301)	TD
KZ61	1.35*ZS1 + 1.35*ZS2 + 1.05*ZS4 + 1.5*ZS8 + 0.9*ZS10	1465	0.000	0.12	≤ 1	ST301)	TD
KZ62	1.35*ZS1 + 1.35*ZS2 + 1.05*ZS5 + 1.5*ZS6 + 0.9*ZS9	1473	0.000	0.11	≤ 1	ST301)	TD
KZ63	1.35*ZS1 + 1.35*ZS2 + 1.05*ZS5 + 1.5*ZS6 + 0.9*ZS10	1473	0.000	0.11	≤ 1	ST301)	TD
KZ64	1.35*ZS1 + 1.35*ZS2 + 1.05*ZS5 + 1.5*ZS7 + 0.9*ZS9	1473	0.000	0.11	≤ 1	ST301)	TD
KZ65	1.35*ZS1 + 1.35*ZS2 + 1.05*ZS5 + 1.5*ZS7 + 0.9*ZS10	1473	0.000	0.11	≤ 1	ST301)	TD
KZ66	1.35*ZS1 + 1.35*ZS2 + 1.05*ZS5 + 1.5*ZS8 +	1473	0.000	0.11	≤ 1	ST301)	TD



Projekt:

Model: Varianta B

Datum:

08.01.2019

## 2.1 POSOUZENÍ PO ZATĚŽOVACÍCH STAVECH

ZS/KZ/ KV	Označení ZS nebo KZ/KV	Přut č.	Místo x [m]	Návrh			Návrh č.	Označení
KZ67	+ 0.9*ZS9 1.35*ZS1 + 1.35*ZS2 + 1.05*ZS5 + 1.5*ZS8 + 0.9*ZS10	1473	0.000	0.11	≤ 1		ST301)	TD
KZ68	1.35*ZS1 + 1.35*ZS2 + 1.5*ZS6 + 0.9*ZS9	1465	0.000	0.04	≤ 1		ST301)	TD
KZ69	1.35*ZS1 + 1.35*ZS2 + 1.5*ZS6 + 0.9*ZS10	1465	0.000	0.04	≤ 1		ST301)	TD
KZ70	1.35*ZS1 + 1.35*ZS2 + 1.5*ZS7 + 0.9*ZS9	1465	0.000	0.04	≤ 1		ST301)	TD
KZ71	1.35*ZS1 + 1.35*ZS2 + 1.5*ZS7 + 0.9*ZS10	1465	0.000	0.04	≤ 1		ST301)	TD
KZ72	1.35*ZS1 + 1.35*ZS2 + 1.5*ZS8 + 0.9*ZS9	1465	0.000	0.04	≤ 1		ST301)	TD
KZ73	1.35*ZS1 + 1.35*ZS2 + 1.5*ZS8 + 0.9*ZS10	1465	0.000	0.04	≤ 1		ST301)	TD
KZ74	1.35*ZS1 + 1.35*ZS2 + 1.5*ZS9	1465	0.000	0.04	≤ 1		ST301)	TD
KZ75	1.35*ZS1 + 1.35*ZS2 + 1.5*ZS10	1465	0.000	0.04	≤ 1		ST301)	TD
KZ76	1.35*ZS1 + 1.35*ZS2 + 1.05*ZS3 + 1.5*ZS9	1465	0.000	0.12	≤ 1		ST301)	TD
KZ77	1.35*ZS1 + 1.35*ZS2 + 1.05*ZS3 + 1.5*ZS10	1465	0.000	0.12	≤ 1		ST301)	TD
KZ78	1.35*ZS1 + 1.35*ZS2 + 1.05*ZS4 + 1.5*ZS9	1465	0.000	0.12	≤ 1		ST301)	TD
KZ79	1.35*ZS1 + 1.35*ZS2 + 1.05*ZS4 + 1.5*ZS10	1465	0.000	0.12	≤ 1		ST301)	TD
KZ80	1.35*ZS1 + 1.35*ZS2 + 1.05*ZS5 + 1.5*ZS9	1473	0.000	0.10	≤ 1		ST301)	TD
KZ81	1.35*ZS1 + 1.35*ZS2 + 1.05*ZS5 + 1.5*ZS10	1473	0.000	0.10	≤ 1		ST301)	TD
KZ82	1.35*ZS1 + 1.35*ZS2 + 1.05*ZS3 + 0.75*ZS6 + 1.5*ZS9	1465	0.000	0.12	≤ 1		ST301)	TD
KZ83	1.35*ZS1 + 1.35*ZS2 + 1.05*ZS3 + 0.75*ZS6 + 1.5*ZS10	1465	0.000	0.12	≤ 1		ST301)	TD
KZ84	1.35*ZS1 + 1.35*ZS2 + 1.05*ZS3 + 0.75*ZS7 + 1.5*ZS9	1465	0.000	0.12	≤ 1		ST301)	TD
KZ85	1.35*ZS1 + 1.35*ZS2 + 1.05*ZS3 + 0.75*ZS7 + 1.5*ZS10	1465	0.000	0.12	≤ 1		ST301)	TD
KZ86	1.35*ZS1 + 1.35*ZS2 + 1.05*ZS3 + 0.75*ZS8 + 1.5*ZS9	1465	0.000	0.12	≤ 1		ST301)	TD
KZ87	1.35*ZS1 + 1.35*ZS2 + 1.05*ZS3 + 0.75*ZS8 + 1.5*ZS10	1465	0.000	0.12	≤ 1		ST301)	TD
KZ88	1.35*ZS1 + 1.35*ZS2 + 1.05*ZS4 + 0.75*ZS6 + 1.5*ZS9	1465	0.000	0.12	≤ 1		ST301)	TD
KZ89	1.35*ZS1 + 1.35*ZS2 + 1.05*ZS4 + 0.75*ZS6 + 1.5*ZS10	1465	0.000	0.12	≤ 1		ST301)	TD
KZ90	1.35*ZS1 + 1.35*ZS2 + 1.05*ZS4 + 0.75*ZS7 + 1.5*ZS9	1465	0.000	0.12	≤ 1		ST301)	TD
KZ91	1.35*ZS1 + 1.35*ZS2 + 1.05*ZS4 + 0.75*ZS7 + 1.5*ZS10	1465	0.000	0.12	≤ 1		ST301)	TD
KZ92	1.35*ZS1 + 1.35*ZS2 + 1.05*ZS4 + 0.75*ZS8 + 1.5*ZS9	1465	0.000	0.12	≤ 1		ST301)	TD
KZ93	1.35*ZS1 + 1.35*ZS2 + 1.05*ZS4 + 0.75*ZS8 + 1.5*ZS10	1465	0.000	0.12	≤ 1		ST301)	TD
KZ94	1.35*ZS1 + 1.35*ZS2 + 1.05*ZS5 + 0.75*ZS6 + 1.5*ZS9	1473	0.000	0.10	≤ 1		ST301)	TD
KZ95	1.35*ZS1 + 1.35*ZS2 + 1.05*ZS5 + 0.75*ZS6 + 1.5*ZS10	1473	0.000	0.10	≤ 1		ST301)	TD
KZ96	1.35*ZS1 + 1.35*ZS2 + 1.05*ZS5 + 0.75*ZS7 + 1.5*ZS9	1473	0.000	0.10	≤ 1		ST301)	TD
KZ97	1.35*ZS1 + 1.35*ZS2 + 1.05*ZS5 + 0.75*ZS7 + 1.5*ZS10	1473	0.000	0.10	≤ 1		ST301)	TD
KZ98	1.35*ZS1 + 1.35*ZS2 + 1.05*ZS5 + 0.75*ZS8 + 1.5*ZS9	1473	0.000	0.10	≤ 1		ST301)	TD
KZ99	1.35*ZS1 + 1.35*ZS2 + 1.05*ZS5 + 0.75*ZS8 + 1.5*ZS10	1473	0.000	0.10	≤ 1		ST301)	TD
KZ100	1.35*ZS1 + 1.35*ZS2 + 0.75*ZS6 + 1.5*ZS9	1465	0.000	0.04	≤ 1		ST301)	TD
KZ101	1.35*ZS1 + 1.35*ZS2 + 0.75*ZS6 + 1.5*ZS10	1465	0.000	0.04	≤ 1		ST301)	TD
KZ102	1.35*ZS1 + 1.35*ZS2 + 0.75*ZS7 + 1.5*ZS9	1465	0.000	0.04	≤ 1		ST301)	TD
KZ103	1.35*ZS1 + 1.35*ZS2 + 0.75*ZS7 + 1.5*ZS10	1465	0.000	0.04	≤ 1		ST301)	TD
KZ104	1.35*ZS1 + 1.35*ZS2 + 0.75*ZS8 + 1.5*ZS9	1465	0.000	0.04	≤ 1		ST301)	TD
KZ105	1.35*ZS1 + 1.35*ZS2 + 0.75*ZS8 + 1.5*ZS10	1465	0.000	0.04	≤ 1		ST301)	TD
KV1	MSÚ (STR/GEO) - stálá / přechodná - rovn. 6.10	1465	0.000	0.15	≤ 1		ST301)	TD
Posouzení mezního stavu použitelnosti								
KZ106	ZS1 + ZS2	1445	0.000	0.00	≤ 1		SE400)	PC
KZ107	ZS1 + ZS2 + ZS3	1445	0.000	0.00	≤ 1		SE400)	PC
KZ108	ZS1 + ZS2 + ZS4	1445	0.000	0.00	≤ 1		SE400)	PC
KZ109	ZS1 + ZS2 + ZS5	1445	0.000	0.00	≤ 1		SE400)	PC
KZ110	ZS1 + ZS2 + ZS3 + 0.5*ZS6	1445	0.000	0.00	≤ 1		SE400)	PC
KZ111	ZS1 + ZS2 + ZS3 + 0.5*ZS7	1445	0.000	0.00	≤ 1		SE400)	PC
KZ112	ZS1 + ZS2 + ZS3 + 0.5*ZS8	1445	0.000	0.00	≤ 1		SE400)	PC
KZ113	ZS1 + ZS2 + ZS4 + 0.5*ZS6	1445	0.000	0.00	≤ 1		SE400)	PC
KZ114	ZS1 + ZS2 + ZS4 + 0.5*ZS7	1445	0.000	0.00	≤ 1		SE400)	PC
KZ115	ZS1 + ZS2 + ZS4 + 0.5*ZS8	1445	0.000	0.00	≤ 1		SE400)	PC
KZ116	ZS1 + ZS2 + ZS5 + 0.5*ZS6	1445	0.000	0.00	≤ 1		SE400)	PC
KZ117	ZS1 + ZS2 + ZS5 + 0.5*ZS7	1445	0.000	0.00	≤ 1		SE400)	PC
KZ118	ZS1 + ZS2 + ZS5 + 0.5*ZS8	1445	0.000	0.00	≤ 1		SE400)	PC
KZ119	ZS1 + ZS2 + ZS3 + 0.5*ZS6 + 0.6*ZS9	1445	0.000	0.00	≤ 1		SE400)	PC
KZ120	ZS1 + ZS2 + ZS3 + 0.5*ZS6 + 0.6*ZS10	1445	0.000	0.00	≤ 1		SE400)	PC
KZ121	ZS1 + ZS2 + ZS3 + 0.5*ZS7 + 0.6*ZS9	1445	0.000	0.00	≤ 1		SE400)	PC
KZ122	ZS1 + ZS2 + ZS3 + 0.5*ZS7 + 0.6*ZS10	1445	0.000	0.00	≤ 1		SE400)	PC
KZ123	ZS1 + ZS2 + ZS3 + 0.5*ZS8 + 0.6*ZS9	1445	0.000	0.00	≤ 1		SE400)	PC
KZ124	ZS1 + ZS2 + ZS3 + 0.5*ZS8 + 0.6*ZS10	1445	0.000	0.00	≤ 1		SE400)	PC
KZ125	ZS1 + ZS2 + ZS4 + 0.5*ZS6 + 0.6*ZS9	1445	0.000	0.00	≤ 1		SE400)	PC
KZ126	ZS1 + ZS2 + ZS4 + 0.5*ZS6 + 0.6*ZS10	1445	0.000	0.00	≤ 1		SE400)	PC
KZ127	ZS1 + ZS2 + ZS4 + 0.5*ZS7 + 0.6*ZS9	1445	0.000	0.00	≤ 1		SE400)	PC
KZ128	ZS1 + ZS2 + ZS4 + 0.5*ZS7 + 0.6*ZS10	1445	0.000	0.00	≤ 1		SE400)	PC
KZ129	ZS1 + ZS2 + ZS4 + 0.5*ZS8 + 0.6*ZS9	1445	0.000	0.00	≤ 1		SE400)	PC
KZ130	ZS1 + ZS2 + ZS4 + 0.5*ZS8 + 0.6*ZS10	1445	0.000	0.00	≤ 1		SE400)	PC
KZ131	ZS1 + ZS2 + ZS5 + 0.5*ZS6 + 0.6*ZS9	1445	0.000	0.00	≤ 1		SE400)	PC
KZ132	ZS1 + ZS2 + ZS5 + 0.5*ZS6 + 0.6*ZS10	1445	0.000	0.00	≤ 1		SE400)	PC
KZ133	ZS1 + ZS2 + ZS5 + 0.5*ZS7 + 0.6*ZS9	1445	0.000	0.00	≤ 1		SE400)	PC
KZ134	ZS1 + ZS2 + ZS5 + 0.5*ZS7 + 0.6*ZS10	1445	0.000	0.00	≤ 1		SE400)	PC
KZ135	ZS1 + ZS2 + ZS5 + 0.5*ZS8 + 0.6*ZS9	1445	0.000	0.00	≤ 1		SE400)	PC
KZ136	ZS1 + ZS2 + ZS5 + 0.5*ZS8 + 0.6*ZS10	1445	0.000	0.00	≤ 1		SE400)	PC

Projekt:

Model: Varianta B

Datum: 08.01.2019

## 2.1 POSOUZENÍ PO ZATĚŽOVACÍCH STAVECH

ZS/KZ/ KV	Označení ZS nebo KZ/KV	Prut č.	Místo x [m]	Návrh			Návrh č.	Označení
KZ137	ZS1 + ZS2 + ZS3 + 0.6*ZS9	1445	0.000	0.00	≤ 1		SE400)	PC
KZ138	ZS1 + ZS2 + ZS3 + 0.6*ZS10	1445	0.000	0.00	≤ 1		SE400)	PC
KZ139	ZS1 + ZS2 + ZS4 + 0.6*ZS9	1445	0.000	0.00	≤ 1		SE400)	PC
KZ140	ZS1 + ZS2 + ZS4 + 0.6*ZS10	1445	0.000	0.00	≤ 1		SE400)	PC
KZ141	ZS1 + ZS2 + ZS5 + 0.6*ZS9	1445	0.000	0.00	≤ 1		SE400)	PC
KZ142	ZS1 + ZS2 + ZS5 + 0.6*ZS10	1445	0.000	0.00	≤ 1		SE400)	PC
KZ143	ZS1 + ZS2 + ZS6	1445	0.000	0.00	≤ 1		SE400)	PC
KZ144	ZS1 + ZS2 + ZS7	1445	0.000	0.00	≤ 1		SE400)	PC
KZ145	ZS1 + ZS2 + ZS8	1445	0.000	0.00	≤ 1		SE400)	PC
KZ146	ZS1 + ZS2 + 0.7*ZS3 + ZS6	1445	0.000	0.00	≤ 1		SE400)	PC
KZ147	ZS1 + ZS2 + 0.7*ZS3 + ZS7	1445	0.000	0.00	≤ 1		SE400)	PC
KZ148	ZS1 + ZS2 + 0.7*ZS3 + ZS8	1445	0.000	0.00	≤ 1		SE400)	PC
KZ149	ZS1 + ZS2 + 0.7*ZS4 + ZS6	1445	0.000	0.00	≤ 1		SE400)	PC
KZ150	ZS1 + ZS2 + 0.7*ZS4 + ZS7	1445	0.000	0.00	≤ 1		SE400)	PC
KZ151	ZS1 + ZS2 + 0.7*ZS4 + ZS8	1445	0.000	0.00	≤ 1		SE400)	PC
KZ152	ZS1 + ZS2 + 0.7*ZS5 + ZS6	1445	0.000	0.00	≤ 1		SE400)	PC
KZ153	ZS1 + ZS2 + 0.7*ZS5 + ZS7	1445	0.000	0.00	≤ 1		SE400)	PC
KZ154	ZS1 + ZS2 + 0.7*ZS5 + ZS8	1445	0.000	0.00	≤ 1		SE400)	PC
KZ155	ZS1 + ZS2 + 0.7*ZS3 + ZS6 + 0.6*ZS9	1445	0.000	0.00	≤ 1		SE400)	PC
KZ156	ZS1 + ZS2 + 0.7*ZS3 + ZS6 + 0.6*ZS10	1445	0.000	0.00	≤ 1		SE400)	PC
KZ157	ZS1 + ZS2 + 0.7*ZS3 + ZS7 + 0.6*ZS9	1445	0.000	0.00	≤ 1		SE400)	PC
KZ158	ZS1 + ZS2 + 0.7*ZS3 + ZS7 + 0.6*ZS10	1445	0.000	0.00	≤ 1		SE400)	PC
KZ159	ZS1 + ZS2 + 0.7*ZS3 + ZS8 + 0.6*ZS9	1445	0.000	0.00	≤ 1		SE400)	PC
KZ160	ZS1 + ZS2 + 0.7*ZS3 + ZS8 + 0.6*ZS10	1445	0.000	0.00	≤ 1		SE400)	PC
KZ161	ZS1 + ZS2 + 0.7*ZS4 + ZS6 + 0.6*ZS9	1445	0.000	0.00	≤ 1		SE400)	PC
KZ162	ZS1 + ZS2 + 0.7*ZS4 + ZS6 + 0.6*ZS10	1445	0.000	0.00	≤ 1		SE400)	PC
KZ163	ZS1 + ZS2 + 0.7*ZS4 + ZS7 + 0.6*ZS9	1445	0.000	0.00	≤ 1		SE400)	PC
KZ164	ZS1 + ZS2 + 0.7*ZS4 + ZS7 + 0.6*ZS10	1445	0.000	0.00	≤ 1		SE400)	PC
KZ165	ZS1 + ZS2 + 0.7*ZS4 + ZS8 + 0.6*ZS9	1445	0.000	0.00	≤ 1		SE400)	PC
KZ166	ZS1 + ZS2 + 0.7*ZS4 + ZS8 + 0.6*ZS10	1445	0.000	0.00	≤ 1		SE400)	PC
KZ167	ZS1 + ZS2 + 0.7*ZS5 + ZS6 + 0.6*ZS9	1445	0.000	0.00	≤ 1		SE400)	PC
KZ168	ZS1 + ZS2 + 0.7*ZS5 + ZS6 + 0.6*ZS10	1445	0.000	0.00	≤ 1		SE400)	PC
KZ169	ZS1 + ZS2 + 0.7*ZS5 + ZS7 + 0.6*ZS9	1445	0.000	0.00	≤ 1		SE400)	PC
KZ170	ZS1 + ZS2 + 0.7*ZS5 + ZS7 + 0.6*ZS10	1445	0.000	0.00	≤ 1		SE400)	PC
KZ171	ZS1 + ZS2 + 0.7*ZS5 + ZS8 + 0.6*ZS9	1445	0.000	0.00	≤ 1		SE400)	PC
KZ172	ZS1 + ZS2 + 0.7*ZS5 + ZS8 + 0.6*ZS10	1445	0.000	0.00	≤ 1		SE400)	PC
KZ173	ZS1 + ZS2 + ZS6 + 0.6*ZS9	1445	0.000	0.00	≤ 1		SE400)	PC
KZ174	ZS1 + ZS2 + ZS6 + 0.6*ZS10	1445	0.000	0.00	≤ 1		SE400)	PC
KZ175	ZS1 + ZS2 + ZS7 + 0.6*ZS9	1445	0.000	0.00	≤ 1		SE400)	PC
KZ176	ZS1 + ZS2 + ZS7 + 0.6*ZS10	1445	0.000	0.00	≤ 1		SE400)	PC
KZ177	ZS1 + ZS2 + ZS8 + 0.6*ZS9	1445	0.000	0.00	≤ 1		SE400)	PC
KZ178	ZS1 + ZS2 + ZS8 + 0.6*ZS10	1445	0.000	0.00	≤ 1		SE400)	PC
KZ179	ZS1 + ZS2 + ZS9	1445	0.000	0.00	≤ 1		SE400)	PC
KZ180	ZS1 + ZS2 + ZS10	1445	0.000	0.00	≤ 1		SE400)	PC
KZ181	ZS1 + ZS2 + 0.7*ZS3 + ZS9	1445	0.000	0.00	≤ 1		SE400)	PC
KZ182	ZS1 + ZS2 + 0.7*ZS3 + ZS10	1445	0.000	0.00	≤ 1		SE400)	PC
KZ183	ZS1 + ZS2 + 0.7*ZS4 + ZS9	1445	0.000	0.00	≤ 1		SE400)	PC
KZ184	ZS1 + ZS2 + 0.7*ZS4 + ZS10	1445	0.000	0.00	≤ 1		SE400)	PC
KZ185	ZS1 + ZS2 + 0.7*ZS5 + ZS9	1445	0.000	0.00	≤ 1		SE400)	PC
KZ186	ZS1 + ZS2 + 0.7*ZS5 + ZS10	1445	0.000	0.00	≤ 1		SE400)	PC
KZ187	ZS1 + ZS2 + 0.7*ZS3 + 0.5*ZS6 + ZS9	1445	0.000	0.00	≤ 1		SE400)	PC
KZ188	ZS1 + ZS2 + 0.7*ZS3 + 0.5*ZS6 + ZS10	1445	0.000	0.00	≤ 1		SE400)	PC
KZ189	ZS1 + ZS2 + 0.7*ZS3 + 0.5*ZS7 + ZS9	1445	0.000	0.00	≤ 1		SE400)	PC
KZ190	ZS1 + ZS2 + 0.7*ZS3 + 0.5*ZS7 + ZS10	1445	0.000	0.00	≤ 1		SE400)	PC
KZ191	ZS1 + ZS2 + 0.7*ZS3 + 0.5*ZS8 + ZS9	1445	0.000	0.00	≤ 1		SE400)	PC
KZ192	ZS1 + ZS2 + 0.7*ZS3 + 0.5*ZS8 + ZS10	1445	0.000	0.00	≤ 1		SE400)	PC
KZ193	ZS1 + ZS2 + 0.7*ZS4 + 0.5*ZS6 + ZS9	1445	0.000	0.00	≤ 1		SE400)	PC
KZ194	ZS1 + ZS2 + 0.7*ZS4 + 0.5*ZS6 + ZS10	1445	0.000	0.00	≤ 1		SE400)	PC
KZ195	ZS1 + ZS2 + 0.7*ZS4 + 0.5*ZS7 + ZS9	1445	0.000	0.00	≤ 1		SE400)	PC
KZ196	ZS1 + ZS2 + 0.7*ZS4 + 0.5*ZS7 + ZS10	1445	0.000	0.00	≤ 1		SE400)	PC
KZ197	ZS1 + ZS2 + 0.7*ZS4 + 0.5*ZS8 + ZS9	1445	0.000	0.00	≤ 1		SE400)	PC
KZ198	ZS1 + ZS2 + 0.7*ZS4 + 0.5*ZS8 + ZS10	1445	0.000	0.00	≤ 1		SE400)	PC
KZ199	ZS1 + ZS2 + 0.7*ZS5 + 0.5*ZS6 + ZS9	1445	0.000	0.00	≤ 1		SE400)	PC
KZ200	ZS1 + ZS2 + 0.7*ZS5 + 0.5*ZS6 + ZS10	1445	0.000	0.00	≤ 1		SE400)	PC
KZ201	ZS1 + ZS2 + 0.7*ZS5 + 0.5*ZS7 + ZS9	1445	0.000	0.00	≤ 1		SE400)	PC
KZ202	ZS1 + ZS2 + 0.7*ZS5 + 0.5*ZS7 + ZS10	1445	0.000	0.00	≤ 1		SE400)	PC
KZ203	ZS1 + ZS2 + 0.7*ZS5 + 0.5*ZS8 + ZS9	1445	0.000	0.00	≤ 1		SE400)	PC
KZ204	ZS1 + ZS2 + 0.7*ZS5 + 0.5*ZS8 + ZS10	1445	0.000	0.00	≤ 1		SE400)	PC
KZ205	ZS1 + ZS2 + 0.5*ZS6 + ZS9	1445	0.000	0.00	≤ 1		SE400)	PC
KZ206	ZS1 + ZS2 + 0.5*ZS6 + ZS10	1445	0.000	0.00	≤ 1		SE400)	PC
KZ207	ZS1 + ZS2 + 0.5*ZS7 + ZS9	1445	0.000	0.00	≤ 1		SE400)	PC
KZ208	ZS1 + ZS2 + 0.5*ZS7 + ZS10	1445	0.000	0.00	≤ 1		SE400)	PC
KZ209	ZS1 + ZS2 + 0.5*ZS8 + ZS9	1445	0.000	0.00	≤ 1		SE400)	PC
KZ210	ZS1 + ZS2 + 0.5*ZS8 + ZS10	1445	0.000	0.00	≤ 1		SE400)	PC

## 2.2 POSOUZENÍ PO PRŮŘEZECH

Průř. č.	Prut č.	Místo x [m]	ZS/KZ/ KV	Návrh			Návrh č.	Označení
10	RO 76.1x4 (za studena)							
	1473	0.000	ZS4	0.00	≤ 1	CS100)	Zanedbatelné vnitřní síly	
	1445	0.000	ZS9	0.01	≤ 1	CS101)	Posouzení průřezu - tah podle 6.2.3	
	1465	0.000	KZ24	0.13	≤ 1	CS102)	Posouzení průřezu - tlak podle 6.2.4	
	1465	0.000	KZ24	0.15	≤ 1	ST301)	Posouzení stability - vzpěr okolo y podle 6.3.1.1 a 6.3.1.2(4)	
	1465	0.000	KZ24	0.15	≤ 1	ST311)	Posouzení stability - vzpěr okolo z podle 6.3.1.1 a 6.3.1.2(4)	
	1445	0.000	KZ106	0.00	< 1	SE400)	Použitelnost - malé, resp. velmi malé deformace	

Projekt:

Model: Varianta B

Datum: 08.01.2019

RF-STEEL EC3

PR10  
Prut spojující střední  
trubku a plášť

## 1.2 MATERIÁLY

Materiál - č.	Označení materiálu	Modul pruž. E [MPa]	Smykový modul G [MPa]	Poissonův součinitel $\nu$ [-]	Mez kluzu $f_{yk}$ [MPa]	Max. tloušťka dílce t [mm]
1	Ocel S 355   DIN EN 1993-1-1:2010-12	210000.000	80769.200	0.300	355.000	40.0
	Baustahl S 235				335.000	80.0
					315.000	100.0
					295.000	150.0
					285.000	200.0
					275.000	250.0

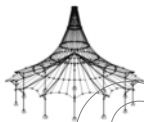
## 1.3 PRŮŘEZY

Průř. č.	Materiál - č.	Označení průřezu	Typ průřezu	Max. návrhové využití	Komentář
9	1	RO 48.3x4 (za studena)	Trubka	0.76	

## 2.1 POSOUZENÍ PO ZATĚŽOVACÍCH STAVECH

ZS/KZ/ KV	Označení ZS nebo KZ/KV	Prut č.	Místo x [m]	Návrh	Návrh č.	Označení
<b>Posouzení mezního stavu únosnosti</b>						
ZS1	Vlastní tíha	63	1.929	0.04	≤ 1	CS111) TD
ZS2	Ostatní stálé	53	0.000	0.00	≤ 1	CS100) TD
ZS3	Užitné plně	63	0.000	0.01	≤ 1	CS102) TD
ZS4	Užitné poloviční1	870	0.000	0.01	≤ 1	CS102) TD
ZS5	Užitné poloviční2	64	0.000	0.01	≤ 1	CS102) TD
ZS6	Sníh plný	64	0.000	0.00	≤ 1	CS100) TD
ZS7	Sníh poloviční 1	58	0.000	0.00	≤ 1	CS100) TD
ZS8	Sníh poloviční 2	58	0.000	0.00	≤ 1	CS100) TD
ZS9	Vítr ve směru X + tlak na přístřešek	63	3.857	0.30	≤ 1	ST364) TD
ZS10	Vítr ve směru X + sání na přístřešek	63	3.857	0.30	≤ 1	ST364) TD
KZ1	1.35*ZS1 + 1.35*ZS2	63	1.929	0.05	≤ 1	CS181) TD
KZ2	1.35*ZS1 + 1.35*ZS2 + 1.5*ZS3	63	1.929	0.25	≤ 1	ST364) TD
KZ3	1.35*ZS1 + 1.35*ZS2 + 1.5*ZS4	58	0.500	0.08	≤ 1	CS271) TD
KZ4	1.35*ZS1 + 1.35*ZS2 + 1.5*ZS5	889	0.000	0.08	≤ 1	CS271) TD
KZ5	1.35*ZS1 + 1.35*ZS2 + 1.5*ZS3 + 0.75*ZS6	63	1.929	0.25	≤ 1	ST364) TD
KZ6	1.35*ZS1 + 1.35*ZS2 + 1.5*ZS3 + 0.75*ZS7	63	1.929	0.25	≤ 1	ST364) TD
KZ7	1.35*ZS1 + 1.35*ZS2 + 1.5*ZS3 + 0.75*ZS8	63	1.929	0.25	≤ 1	ST364) TD
KZ8	1.35*ZS1 + 1.35*ZS2 + 1.5*ZS4 + 0.75*ZS6	58	0.500	0.08	≤ 1	CS271) TD
KZ9	1.35*ZS1 + 1.35*ZS2 + 1.5*ZS4 + 0.75*ZS7	58	0.500	0.08	≤ 1	CS271) TD
KZ10	1.35*ZS1 + 1.35*ZS2 + 1.5*ZS4 + 0.75*ZS8	58	0.500	0.08	≤ 1	CS271) TD
KZ11	1.35*ZS1 + 1.35*ZS2 + 1.5*ZS5 + 0.75*ZS6	889	0.000	0.08	≤ 1	CS271) TD
KZ12	1.35*ZS1 + 1.35*ZS2 + 1.5*ZS5 + 0.75*ZS7	889	0.000	0.08	≤ 1	CS271) TD
KZ13	1.35*ZS1 + 1.35*ZS2 + 1.5*ZS5 + 0.75*ZS8	889	0.000	0.08	≤ 1	CS271) TD
KZ14	1.35*ZS1 + 1.35*ZS2 + 1.5*ZS3 + 0.75*ZS6 + 0.9*ZS9	63	4.500	0.55	≤ 1	ST364) TD
KZ15	1.35*ZS1 + 1.35*ZS2 + 1.5*ZS3 + 0.75*ZS6 + 0.9*ZS10	63	4.500	0.55	≤ 1	ST364) TD
KZ16	1.35*ZS1 + 1.35*ZS2 + 1.5*ZS3 + 0.75*ZS7 + 0.9*ZS9	63	4.500	0.55	≤ 1	ST364) TD
KZ17	1.35*ZS1 + 1.35*ZS2 + 1.5*ZS3 + 0.75*ZS7 + 0.9*ZS10	63	4.500	0.55	≤ 1	ST364) TD
KZ18	1.35*ZS1 + 1.35*ZS2 + 1.5*ZS3 + 0.75*ZS8 + 0.9*ZS9	63	4.500	0.55	≤ 1	ST364) TD
KZ19	1.35*ZS1 + 1.35*ZS2 + 1.5*ZS3 + 0.75*ZS8 + 0.9*ZS10	63	4.500	0.55	≤ 1	ST364) TD
KZ20	1.35*ZS1 + 1.35*ZS2 + 1.5*ZS4 + 0.75*ZS6 + 0.9*ZS9	63	4.500	0.49	≤ 1	ST364) TD
KZ21	1.35*ZS1 + 1.35*ZS2 + 1.5*ZS4 + 0.75*ZS6 + 0.9*ZS10	63	4.500	0.49	≤ 1	ST364) TD
KZ22	1.35*ZS1 + 1.35*ZS2 + 1.5*ZS4 + 0.75*ZS7 + 0.9*ZS9	63	4.500	0.49	≤ 1	ST364) TD
KZ23	1.35*ZS1 + 1.35*ZS2 + 1.5*ZS4 + 0.75*ZS7 + 0.9*ZS10	63	4.500	0.49	≤ 1	ST364) TD
KZ24	1.35*ZS1 + 1.35*ZS2 + 1.5*ZS4 + 0.75*ZS8 + 0.9*ZS9	63	4.500	0.49	≤ 1	ST364) TD
KZ25	1.35*ZS1 + 1.35*ZS2 + 1.5*ZS4 + 0.75*ZS8 + 0.9*ZS10	63	4.500	0.49	≤ 1	ST364) TD
KZ26	1.35*ZS1 + 1.35*ZS2 + 1.5*ZS5 + 0.75*ZS6 + 0.9*ZS9	63	4.500	0.48	≤ 1	ST364) TD
KZ27	1.35*ZS1 + 1.35*ZS2 + 1.5*ZS5 + 0.75*ZS6 + 0.9*ZS10	63	4.500	0.48	≤ 1	ST364) TD
KZ28	1.35*ZS1 + 1.35*ZS2 + 1.5*ZS5 + 0.75*ZS7 + 0.9*ZS9	63	4.500	0.48	≤ 1	ST364) TD
KZ29	1.35*ZS1 + 1.35*ZS2 + 1.5*ZS5 + 0.75*ZS7 + 0.9*ZS10	63	4.500	0.48	≤ 1	ST364) TD
KZ30	1.35*ZS1 + 1.35*ZS2 + 1.5*ZS5 + 0.75*ZS8 + 0.9*ZS9	63	4.500	0.48	≤ 1	ST364) TD
KZ31	1.35*ZS1 + 1.35*ZS2 + 1.5*ZS5 + 0.75*ZS8 + 0.9*ZS10	63	4.500	0.48	≤ 1	ST364) TD
KZ32	1.35*ZS1 + 1.35*ZS2 + 1.5*ZS3 + 0.9*ZS9	63	4.500	0.55	≤ 1	ST364) TD
KZ33	1.35*ZS1 + 1.35*ZS2 + 1.5*ZS3 + 0.9*ZS10	63	4.500	0.55	≤ 1	ST364) TD
KZ34	1.35*ZS1 + 1.35*ZS2 + 1.5*ZS4 + 0.9*ZS9	63	4.500	0.49	≤ 1	ST364) TD
KZ35	1.35*ZS1 + 1.35*ZS2 + 1.5*ZS4 + 0.9*ZS10	63	4.500	0.49	≤ 1	ST364) TD
KZ36	1.35*ZS1 + 1.35*ZS2 + 1.5*ZS5 + 0.9*ZS9	63	4.500	0.48	≤ 1	ST364) TD
KZ37	1.35*ZS1 + 1.35*ZS2 + 1.5*ZS5 + 0.9*ZS10	63	4.500	0.48	≤ 1	ST364) TD
KZ38	1.35*ZS1 + 1.35*ZS2 + 1.5*ZS6	63	1.929	0.05	≤ 1	CS181) TD
KZ39	1.35*ZS1 + 1.35*ZS2 + 1.5*ZS7	63	1.929	0.05	≤ 1	CS181) TD
KZ40	1.35*ZS1 + 1.35*ZS2 + 1.5*ZS8	63	1.929	0.05	≤ 1	CS181) TD
KZ41	1.35*ZS1 + 1.35*ZS2 + 1.05*ZS3 + 1.5*ZS6	63	1.929	0.06	≤ 1	CS181) TD
KZ42	1.35*ZS1 + 1.35*ZS2 + 1.05*ZS3 + 1.5*ZS7	63	1.929	0.06	≤ 1	CS181) TD





Projekt:

Model: Varianta B

Datum: 08.01.2019

## 2.1 POSOUZENÍ PO ZATĚŽOVACÍCH STAVECH

ZS/KZ/ KV	Označení ZS nebo KZ/KV	Přut č.	Místo x [m]	Návrh		Návrh č.	Označení
KZ43	1.35*ZS1 + 1.35*ZS2 + 1.05*ZS3 + 1.5*ZS8	63	1.929	0.06	≤ 1	CS181)	TD
KZ44	1.35*ZS1 + 1.35*ZS2 + 1.05*ZS4 + 1.5*ZS6	63	2.571	0.06	≤ 1	CS181)	TD
KZ45	1.35*ZS1 + 1.35*ZS2 + 1.05*ZS4 + 1.5*ZS7	63	1.929	0.06	≤ 1	CS181)	TD
KZ46	1.35*ZS1 + 1.35*ZS2 + 1.05*ZS4 + 1.5*ZS8	63	1.929	0.06	≤ 1	CS181)	TD
KZ47	1.35*ZS1 + 1.35*ZS2 + 1.05*ZS5 + 1.5*ZS6	63	1.929	0.06	≤ 1	CS181)	TD
KZ48	1.35*ZS1 + 1.35*ZS2 + 1.05*ZS5 + 1.5*ZS7	63	1.929	0.06	≤ 1	CS181)	TD
KZ49	1.35*ZS1 + 1.35*ZS2 + 1.05*ZS5 + 1.5*ZS8	63	1.929	0.06	≤ 1	CS181)	TD
KZ50	1.35*ZS1 + 1.35*ZS2 + 1.05*ZS3 + 1.5*ZS6 + 0.9*ZS9	63	4.500	0.50	≤ 1	ST364)	TD
KZ51	1.35*ZS1 + 1.35*ZS2 + 1.05*ZS3 + 1.5*ZS6 + 0.9*ZS10	63	4.500	0.50	≤ 1	ST364)	TD
KZ52	1.35*ZS1 + 1.35*ZS2 + 1.05*ZS3 + 1.5*ZS7 + 0.9*ZS9	63	4.500	0.50	≤ 1	ST364)	TD
KZ53	1.35*ZS1 + 1.35*ZS2 + 1.05*ZS3 + 1.5*ZS7 + 0.9*ZS10	63	4.500	0.50	≤ 1	ST364)	TD
KZ54	1.35*ZS1 + 1.35*ZS2 + 1.05*ZS3 + 1.5*ZS8 + 0.9*ZS9	63	4.500	0.50	≤ 1	ST364)	TD
KZ55	1.35*ZS1 + 1.35*ZS2 + 1.05*ZS3 + 1.5*ZS8 + 0.9*ZS10	63	4.500	0.50	≤ 1	ST364)	TD
KZ56	1.35*ZS1 + 1.35*ZS2 + 1.05*ZS4 + 1.5*ZS6 + 0.9*ZS9	63	4.500	0.45	≤ 1	ST364)	TD
KZ57	1.35*ZS1 + 1.35*ZS2 + 1.05*ZS4 + 1.5*ZS6 + 0.9*ZS10	63	4.500	0.45	≤ 1	ST364)	TD
KZ58	1.35*ZS1 + 1.35*ZS2 + 1.05*ZS4 + 1.5*ZS7 + 0.9*ZS9	63	4.500	0.45	≤ 1	ST364)	TD
KZ59	1.35*ZS1 + 1.35*ZS2 + 1.05*ZS4 + 1.5*ZS7 + 0.9*ZS10	63	4.500	0.45	≤ 1	ST364)	TD
KZ60	1.35*ZS1 + 1.35*ZS2 + 1.05*ZS4 + 1.5*ZS8 + 0.9*ZS9	63	4.500	0.45	≤ 1	ST364)	TD
KZ61	1.35*ZS1 + 1.35*ZS2 + 1.05*ZS4 + 1.5*ZS8 + 0.9*ZS10	63	4.500	0.45	≤ 1	ST364)	TD
KZ62	1.35*ZS1 + 1.35*ZS2 + 1.05*ZS5 + 1.5*ZS6 + 0.9*ZS9	63	4.500	0.45	≤ 1	ST364)	TD
KZ63	1.35*ZS1 + 1.35*ZS2 + 1.05*ZS5 + 1.5*ZS6 + 0.9*ZS10	63	4.500	0.45	≤ 1	ST364)	TD
KZ64	1.35*ZS1 + 1.35*ZS2 + 1.05*ZS5 + 1.5*ZS7 + 0.9*ZS9	63	4.500	0.45	≤ 1	ST364)	TD
KZ65	1.35*ZS1 + 1.35*ZS2 + 1.05*ZS5 + 1.5*ZS7 + 0.9*ZS10	63	4.500	0.45	≤ 1	ST364)	TD
KZ66	1.35*ZS1 + 1.35*ZS2 + 1.05*ZS5 + 1.5*ZS8 + 0.9*ZS9	63	4.500	0.45	≤ 1	ST364)	TD
KZ67	1.35*ZS1 + 1.35*ZS2 + 1.05*ZS5 + 1.5*ZS8 + 0.9*ZS10	63	4.500	0.45	≤ 1	ST364)	TD
KZ68	1.35*ZS1 + 1.35*ZS2 + 1.5*ZS6 + 0.9*ZS9	63	4.500	0.38	≤ 1	ST364)	TD
KZ69	1.35*ZS1 + 1.35*ZS2 + 1.5*ZS6 + 0.9*ZS10	63	4.500	0.38	≤ 1	ST364)	TD
KZ70	1.35*ZS1 + 1.35*ZS2 + 1.5*ZS7 + 0.9*ZS9	63	4.500	0.38	≤ 1	ST364)	TD
KZ71	1.35*ZS1 + 1.35*ZS2 + 1.5*ZS7 + 0.9*ZS10	63	4.500	0.38	≤ 1	ST364)	TD
KZ72	1.35*ZS1 + 1.35*ZS2 + 1.5*ZS8 + 0.9*ZS9	63	4.500	0.38	≤ 1	ST364)	TD
KZ73	1.35*ZS1 + 1.35*ZS2 + 1.5*ZS8 + 0.9*ZS10	63	4.500	0.38	≤ 1	ST364)	TD
KZ74	1.35*ZS1 + 1.35*ZS2 + 1.5*ZS9	63	4.500	0.60	≤ 1	ST364)	TD
KZ75	1.35*ZS1 + 1.35*ZS2 + 1.5*ZS10	63	4.500	0.60	≤ 1	ST364)	TD
KZ76	1.35*ZS1 + 1.35*ZS2 + 1.05*ZS3 + 1.5*ZS9	63	4.500	0.75	≤ 1	ST364)	TD
KZ77	1.35*ZS1 + 1.35*ZS2 + 1.05*ZS3 + 1.5*ZS10	63	4.500	0.75	≤ 1	ST364)	TD
KZ78	1.35*ZS1 + 1.35*ZS2 + 1.05*ZS4 + 1.5*ZS9	63	4.500	0.69	≤ 1	ST364)	TD
KZ79	1.35*ZS1 + 1.35*ZS2 + 1.05*ZS4 + 1.5*ZS10	63	4.500	0.69	≤ 1	ST364)	TD
KZ80	1.35*ZS1 + 1.35*ZS2 + 1.05*ZS5 + 1.5*ZS9	63	4.500	0.69	≤ 1	ST364)	TD
KZ81	1.35*ZS1 + 1.35*ZS2 + 1.05*ZS5 + 1.5*ZS10	63	4.500	0.69	≤ 1	ST364)	TD
KZ82	1.35*ZS1 + 1.35*ZS2 + 1.05*ZS3 + 0.75*ZS6 + 1.5*ZS9	63	4.500	0.75	≤ 1	ST364)	TD
KZ83	1.35*ZS1 + 1.35*ZS2 + 1.05*ZS3 + 0.75*ZS6 + 1.5*ZS10	63	4.500	0.75	≤ 1	ST364)	TD
KZ84	1.35*ZS1 + 1.35*ZS2 + 1.05*ZS3 + 0.75*ZS7 + 1.5*ZS9	63	4.500	0.75	≤ 1	ST364)	TD
KZ85	1.35*ZS1 + 1.35*ZS2 + 1.05*ZS3 + 0.75*ZS7 + 1.5*ZS10	63	4.500	0.75	≤ 1	ST364)	TD
KZ86	1.35*ZS1 + 1.35*ZS2 + 1.05*ZS3 + 0.75*ZS8 + 1.5*ZS9	63	4.500	0.75	≤ 1	ST364)	TD
KZ87	1.35*ZS1 + 1.35*ZS2 + 1.05*ZS3 + 0.75*ZS8 + 1.5*ZS10	63	4.500	0.75	≤ 1	ST364)	TD
KZ88	1.35*ZS1 + 1.35*ZS2 + 1.05*ZS4 + 0.75*ZS6 + 1.5*ZS9	63	4.500	0.69	≤ 1	ST364)	TD
KZ89	1.35*ZS1 + 1.35*ZS2 + 1.05*ZS4 + 0.75*ZS6 + 1.5*ZS10	63	4.500	0.69	≤ 1	ST364)	TD
KZ90	1.35*ZS1 + 1.35*ZS2 + 1.05*ZS4 + 0.75*ZS7 + 1.5*ZS9	63	4.500	0.69	≤ 1	ST364)	TD
KZ91	1.35*ZS1 + 1.35*ZS2 + 1.05*ZS4 + 0.75*ZS7 + 1.5*ZS10	63	4.500	0.69	≤ 1	ST364)	TD
KZ92	1.35*ZS1 + 1.35*ZS2 + 1.05*ZS4 + 0.75*ZS8 + 1.5*ZS9	63	4.500	0.69	≤ 1	ST364)	TD
KZ93	1.35*ZS1 + 1.35*ZS2 + 1.05*ZS4 + 0.75*ZS8 + 1.5*ZS10	63	4.500	0.69	≤ 1	ST364)	TD
KZ94	1.35*ZS1 + 1.35*ZS2 + 1.05*ZS5 + 0.75*ZS6 + 1.5*ZS9	63	4.500	0.69	≤ 1	ST364)	TD
KZ95	1.35*ZS1 + 1.35*ZS2 + 1.05*ZS5 + 0.75*ZS6 + 1.5*ZS10	63	4.500	0.69	≤ 1	ST364)	TD
KZ96	1.35*ZS1 + 1.35*ZS2 + 1.05*ZS5 + 0.75*ZS7 + 1.5*ZS9	63	4.500	0.69	≤ 1	ST364)	TD
KZ97	1.35*ZS1 + 1.35*ZS2 + 1.05*ZS5 + 0.75*ZS7 + 1.5*ZS10	63	4.500	0.69	≤ 1	ST364)	TD
KZ98	1.35*ZS1 + 1.35*ZS2 + 1.05*ZS5 + 0.75*ZS8 + 1.5*ZS9	63	4.500	0.69	≤ 1	ST364)	TD
KZ99	1.35*ZS1 + 1.35*ZS2 + 1.05*ZS5 + 0.75*ZS8 + 1.5*ZS10	63	4.500	0.69	≤ 1	ST364)	TD
KZ100	1.35*ZS1 + 1.35*ZS2 + 0.75*ZS6 + 1.5*ZS9	63	4.500	0.60	≤ 1	ST364)	TD



Projekt:

Model: Varianta B

Datum:

08.01.2019

## 2.1 POSOUZENÍ PO ZATĚŽOVACÍCH STAVECH

ZS/KZ/ KV	Označení ZS nebo KZ/KV	Pрут č.	Místo x [m]	Návrh		Návrh č.	Označení
KZ101	1.35*ZS1 + 1.35*ZS2 + 0.75*ZS6 + 1.5*ZS10	63	4.500	0.60	≤ 1	ST364)	TD
KZ102	1.35*ZS1 + 1.35*ZS2 + 0.75*ZS7 + 1.5*ZS9	63	4.500	0.60	≤ 1	ST364)	TD
KZ103	1.35*ZS1 + 1.35*ZS2 + 0.75*ZS7 + 1.5*ZS10	63	4.500	0.60	≤ 1	ST364)	TD
KZ104	1.35*ZS1 + 1.35*ZS2 + 0.75*ZS8 + 1.5*ZS9	63	4.500	0.60	≤ 1	ST364)	TD
KZ105	1.35*ZS1 + 1.35*ZS2 + 0.75*ZS8 + 1.5*ZS10	63	4.500	0.60	≤ 1	ST364)	TD
KV1	MSÚ (STR/GEO) - stálá / přechodná - rovn. 6,10	63	4.500	0.75	≤ 1	ST364)	TD
Posouzení mezního stavu použitelnosti							
KZ106	ZS1 + ZS2	63	2.571	0.54	≤ 1	SE401)	PC
KZ107	ZS1 + ZS2 + ZS3	63	2.571	0.59	≤ 1	SE401)	PC
KZ108	ZS1 + ZS2 + ZS4	63	1.929	0.57	≤ 1	SE401)	PC
KZ109	ZS1 + ZS2 + ZS5	63	2.571	0.57	≤ 1	SE401)	PC
KZ110	ZS1 + ZS2 + ZS3 + 0.5*ZS6	63	1.929	0.59	≤ 1	SE401)	PC
KZ111	ZS1 + ZS2 + ZS3 + 0.5*ZS7	63	1.929	0.59	≤ 1	SE401)	PC
KZ112	ZS1 + ZS2 + ZS3 + 0.5*ZS8	63	1.929	0.59	≤ 1	SE401)	PC
KZ113	ZS1 + ZS2 + ZS4 + 0.5*ZS6	63	1.929	0.57	≤ 1	SE401)	PC
KZ114	ZS1 + ZS2 + ZS4 + 0.5*ZS7	63	1.929	0.57	≤ 1	SE401)	PC
KZ115	ZS1 + ZS2 + ZS4 + 0.5*ZS8	63	2.571	0.57	≤ 1	SE401)	PC
KZ116	ZS1 + ZS2 + ZS5 + 0.5*ZS6	63	2.571	0.57	≤ 1	SE401)	PC
KZ117	ZS1 + ZS2 + ZS5 + 0.5*ZS7	63	1.929	0.57	≤ 1	SE401)	PC
KZ118	ZS1 + ZS2 + ZS5 + 0.5*ZS8	63	2.571	0.57	≤ 1	SE401)	PC
KZ119	ZS1 + ZS2 + ZS3 + 0.5*ZS6 + 0.6*ZS9	63	2.571	0.68	≤ 1	SE401)	PC
KZ120	ZS1 + ZS2 + ZS3 + 0.5*ZS6 + 0.6*ZS10	63	2.571	0.68	≤ 1	SE401)	PC
KZ121	ZS1 + ZS2 + ZS3 + 0.5*ZS7 + 0.6*ZS9	63	2.571	0.68	≤ 1	SE401)	PC
KZ122	ZS1 + ZS2 + ZS3 + 0.5*ZS7 + 0.6*ZS10	63	2.571	0.68	≤ 1	SE401)	PC
KZ123	ZS1 + ZS2 + ZS3 + 0.5*ZS8 + 0.6*ZS9	63	2.571	0.68	≤ 1	SE401)	PC
KZ124	ZS1 + ZS2 + ZS3 + 0.5*ZS8 + 0.6*ZS10	63	2.571	0.68	≤ 1	SE401)	PC
KZ125	ZS1 + ZS2 + ZS4 + 0.5*ZS6 + 0.6*ZS9	63	2.571	0.66	≤ 1	SE401)	PC
KZ126	ZS1 + ZS2 + ZS4 + 0.5*ZS6 + 0.6*ZS10	63	2.571	0.66	≤ 1	SE401)	PC
KZ127	ZS1 + ZS2 + ZS4 + 0.5*ZS7 + 0.6*ZS9	63	2.571	0.66	≤ 1	SE401)	PC
KZ128	ZS1 + ZS2 + ZS4 + 0.5*ZS7 + 0.6*ZS10	63	2.571	0.66	≤ 1	SE401)	PC
KZ129	ZS1 + ZS2 + ZS4 + 0.5*ZS8 + 0.6*ZS9	63	2.571	0.66	≤ 1	SE401)	PC
KZ130	ZS1 + ZS2 + ZS4 + 0.5*ZS8 + 0.6*ZS10	63	2.571	0.66	≤ 1	SE401)	PC
KZ131	ZS1 + ZS2 + ZS5 + 0.5*ZS6 + 0.6*ZS9	63	2.571	0.65	≤ 1	SE401)	PC
KZ132	ZS1 + ZS2 + ZS5 + 0.5*ZS6 + 0.6*ZS10	63	2.571	0.65	≤ 1	SE401)	PC
KZ133	ZS1 + ZS2 + ZS5 + 0.5*ZS7 + 0.6*ZS9	63	2.571	0.65	≤ 1	SE401)	PC
KZ134	ZS1 + ZS2 + ZS5 + 0.5*ZS7 + 0.6*ZS10	63	2.571	0.65	≤ 1	SE401)	PC
KZ135	ZS1 + ZS2 + ZS5 + 0.5*ZS8 + 0.6*ZS9	63	2.571	0.65	≤ 1	SE401)	PC
KZ136	ZS1 + ZS2 + ZS5 + 0.5*ZS8 + 0.6*ZS10	63	2.571	0.65	≤ 1	SE401)	PC
KZ137	ZS1 + ZS2 + ZS3 + 0.6*ZS9	63	2.571	0.68	≤ 1	SE401)	PC
KZ138	ZS1 + ZS2 + ZS3 + 0.6*ZS10	63	2.571	0.68	≤ 1	SE401)	PC
KZ139	ZS1 + ZS2 + ZS4 + 0.6*ZS9	63	2.571	0.66	≤ 1	SE401)	PC
KZ140	ZS1 + ZS2 + ZS4 + 0.6*ZS10	63	2.571	0.66	≤ 1	SE401)	PC
KZ141	ZS1 + ZS2 + ZS5 + 0.6*ZS9	63	2.571	0.65	≤ 1	SE401)	PC
KZ142	ZS1 + ZS2 + ZS5 + 0.6*ZS10	63	2.571	0.65	≤ 1	SE401)	PC
KZ143	ZS1 + ZS2 + ZS6	63	1.929	0.54	≤ 1	SE401)	PC
KZ144	ZS1 + ZS2 + ZS7	63	1.929	0.54	≤ 1	SE401)	PC
KZ145	ZS1 + ZS2 + ZS8	63	1.929	0.54	≤ 1	SE401)	PC
KZ146	ZS1 + ZS2 + 0.7*ZS3 + ZS6	63	1.929	0.57	≤ 1	SE401)	PC
KZ147	ZS1 + ZS2 + 0.7*ZS3 + ZS7	63	2.571	0.57	≤ 1	SE401)	PC
KZ148	ZS1 + ZS2 + 0.7*ZS3 + ZS8	63	1.929	0.57	≤ 1	SE401)	PC
KZ149	ZS1 + ZS2 + 0.7*ZS4 + ZS6	63	1.929	0.56	≤ 1	SE401)	PC
KZ150	ZS1 + ZS2 + 0.7*ZS4 + ZS7	63	2.571	0.56	≤ 1	SE401)	PC
KZ151	ZS1 + ZS2 + 0.7*ZS4 + ZS8	63	1.929	0.56	≤ 1	SE401)	PC
KZ152	ZS1 + ZS2 + 0.7*ZS5 + ZS6	63	1.929	0.56	≤ 1	SE401)	PC
KZ153	ZS1 + ZS2 + 0.7*ZS5 + ZS7	63	2.571	0.56	≤ 1	SE401)	PC
KZ154	ZS1 + ZS2 + 0.7*ZS5 + ZS8	63	2.571	0.56	≤ 1	SE401)	PC
KZ155	ZS1 + ZS2 + 0.7*ZS3 + ZS6 + 0.6*ZS9	63	2.571	0.66	≤ 1	SE401)	PC
KZ156	ZS1 + ZS2 + 0.7*ZS3 + ZS6 + 0.6*ZS10	63	2.571	0.66	≤ 1	SE401)	PC
KZ157	ZS1 + ZS2 + 0.7*ZS3 + ZS7 + 0.6*ZS9	63	2.571	0.66	≤ 1	SE401)	PC
KZ158	ZS1 + ZS2 + 0.7*ZS3 + ZS7 + 0.6*ZS10	63	2.571	0.66	≤ 1	SE401)	PC
KZ159	ZS1 + ZS2 + 0.7*ZS3 + ZS8 + 0.6*ZS9	63	2.571	0.66	≤ 1	SE401)	PC
KZ160	ZS1 + ZS2 + 0.7*ZS3 + ZS8 + 0.6*ZS10	63	2.571	0.66	≤ 1	SE401)	PC
KZ161	ZS1 + ZS2 + 0.7*ZS4 + ZS6 + 0.6*ZS9	63	2.571	0.64	≤ 1	SE401)	PC
KZ162	ZS1 + ZS2 + 0.7*ZS4 + ZS6 + 0.6*ZS10	63	2.571	0.64	≤ 1	SE401)	PC
KZ163	ZS1 + ZS2 + 0.7*ZS4 + ZS7 + 0.6*ZS9	63	2.571	0.64	≤ 1	SE401)	PC
KZ164	ZS1 + ZS2 + 0.7*ZS4 + ZS7 + 0.6*ZS10	63	2.571	0.64	≤ 1	SE401)	PC
KZ165	ZS1 + ZS2 + 0.7*ZS4 + ZS8 + 0.6*ZS9	63	2.571	0.64	≤ 1	SE401)	PC
KZ166	ZS1 + ZS2 + 0.7*ZS4 + ZS8 + 0.6*ZS10	63	2.571	0.64	≤ 1	SE401)	PC
KZ167	ZS1 + ZS2 + 0.7*ZS5 + ZS6 + 0.6*ZS9	63	2.571	0.64	≤ 1	SE401)	PC
KZ168	ZS1 + ZS2 + 0.7*ZS5 + ZS6 + 0.6*ZS10	63	2.571	0.64	≤ 1	SE401)	PC
KZ169	ZS1 + ZS2 + 0.7*ZS5 + ZS7 + 0.6*ZS9	63	2.571	0.64	≤ 1	SE401)	PC
KZ170	ZS1 + ZS2 + 0.7*ZS5 + ZS7 + 0.6*ZS10	63	2.571	0.64	≤ 1	SE401)	PC
KZ171	ZS1 + ZS2 + 0.7*ZS5 + ZS8 + 0.6*ZS9	63	2.571	0.64	≤ 1	SE401)	PC
KZ172	ZS1 + ZS2 + 0.7*ZS5 + ZS8 + 0.6*ZS10	63	2.571	0.64	≤ 1	SE401)	PC
KZ173	ZS1 + ZS2 + ZS6 + 0.6*ZS9	63	2.571	0.62	≤ 1	SE401)	PC
KZ174	ZS1 + ZS2 + ZS6 + 0.6*ZS10	63	2.571	0.62	≤ 1	SE401)	PC
KZ175	ZS1 + ZS2 + ZS7 + 0.6*ZS9	63	2.571	0.62	≤ 1	SE401)	PC
KZ176	ZS1 + ZS2 + ZS7 + 0.6*ZS10	63	2.571	0.62	≤ 1	SE401)	PC
KZ177	ZS1 + ZS2 + ZS8 + 0.6*ZS9	63	2.571	0.62	≤ 1	SE401)	PC
KZ178	ZS1 + ZS2 + ZS8 + 0.6*ZS10	63	2.571	0.62	≤ 1	SE401)	PC
KZ179	ZS1 + ZS2 + ZS9	63	2.571	0.70	≤ 1	SE406)	PC
KZ180	ZS1 + ZS2 + ZS10	63	2.571	0.70	≤ 1	SE406)	PC
KZ181	ZS1 + ZS2 + 0.7*ZS3 + ZS9	63	2.571	0.76	≤ 1	SE406)	PC
KZ182	ZS1 + ZS2 + 0.7*ZS3 + ZS10	63	2.571	0.76	≤ 1	SE406)	PC
KZ183	ZS1 + ZS2 + 0.7*ZS4 + ZS9	63	2.571	0.74	≤ 1	SE406)	PC
KZ184	ZS1 + ZS2 + 0.7*ZS4 + ZS10	63	2.571	0.74	≤ 1	SE406)	PC
KZ185	ZS1 + ZS2 + 0.7*ZS5 + ZS9	63	2.571	0.74	≤ 1	SE406)	PC
KZ186	ZS1 + ZS2 + 0.7*ZS5 + ZS10	63	2.571	0.74	≤ 1	SE406)	PC
KZ187	ZS1 + ZS2 + 0.7*ZS3 + 0.5*ZS6 + ZS9	63	2.571	0.76	≤ 1	SE406)	PC
KZ188	ZS1 + ZS2 + 0.7*ZS3 + 0.5*ZS6 + ZS10	63	2.571	0.76	≤ 1	SE406)	PC
KZ189	ZS1 + ZS2 + 0.7*ZS3 + 0.5*ZS7 + ZS9	63	2.571	0.76	≤ 1	SE406)	PC
KZ190	ZS1 + ZS2 + 0.7*ZS3 + 0.5*ZS7 + ZS10	63	2.571	0.76	≤ 1	SE406)	PC

Projekt:

Model: Varianta B

Datum: 08.01.2019

## 2.1 POSOUZENÍ PO ZATĚŽOVACÍCH STAVECH

ZS/KZ/ KV	Označení ZS nebo KZ/KV	Prut č.	Místo x [m]	Návrh		Návrh č.	Označení
KZ191	ZS1 + ZS2 + 0.7*ZS3 + 0.5*ZS8 + ZS9	63	2.571	0.76	≤ 1	SE406)	PC
KZ192	ZS1 + ZS2 + 0.7*ZS3 + 0.5*ZS8 + ZS10	63	2.571	0.76	≤ 1	SE406)	PC
KZ193	ZS1 + ZS2 + 0.7*ZS4 + 0.5*ZS6 + ZS9	63	2.571	0.74	≤ 1	SE406)	PC
KZ194	ZS1 + ZS2 + 0.7*ZS4 + 0.5*ZS6 + ZS10	63	2.571	0.74	≤ 1	SE406)	PC
KZ195	ZS1 + ZS2 + 0.7*ZS4 + 0.5*ZS7 + ZS9	63	2.571	0.74	≤ 1	SE406)	PC
KZ196	ZS1 + ZS2 + 0.7*ZS4 + 0.5*ZS7 + ZS10	63	2.571	0.74	≤ 1	SE406)	PC
KZ197	ZS1 + ZS2 + 0.7*ZS4 + 0.5*ZS8 + ZS9	63	2.571	0.74	≤ 1	SE406)	PC
KZ198	ZS1 + ZS2 + 0.7*ZS4 + 0.5*ZS8 + ZS10	63	2.571	0.74	≤ 1	SE406)	PC
KZ199	ZS1 + ZS2 + 0.7*ZS5 + 0.5*ZS6 + ZS9	63	2.571	0.74	≤ 1	SE406)	PC
KZ200	ZS1 + ZS2 + 0.7*ZS5 + 0.5*ZS6 + ZS10	63	2.571	0.74	≤ 1	SE406)	PC
KZ201	ZS1 + ZS2 + 0.7*ZS5 + 0.5*ZS7 + ZS9	63	2.571	0.74	≤ 1	SE406)	PC
KZ202	ZS1 + ZS2 + 0.7*ZS5 + 0.5*ZS7 + ZS10	63	2.571	0.74	≤ 1	SE406)	PC
KZ203	ZS1 + ZS2 + 0.7*ZS5 + 0.5*ZS8 + ZS9	63	2.571	0.74	≤ 1	SE406)	PC
KZ204	ZS1 + ZS2 + 0.7*ZS5 + 0.5*ZS8 + ZS10	63	2.571	0.74	≤ 1	SE406)	PC
KZ205	ZS1 + ZS2 + 0.5*ZS6 + ZS9	63	2.571	0.70	≤ 1	SE406)	PC
KZ206	ZS1 + ZS2 + 0.5*ZS6 + ZS10	63	2.571	0.70	≤ 1	SE406)	PC
KZ207	ZS1 + ZS2 + 0.5*ZS7 + ZS9	63	2.571	0.70	≤ 1	SE406)	PC
KZ208	ZS1 + ZS2 + 0.5*ZS7 + ZS10	63	2.571	0.70	≤ 1	SE406)	PC
KZ209	ZS1 + ZS2 + 0.5*ZS8 + ZS9	63	2.571	0.70	≤ 1	SE406)	PC
KZ210	ZS1 + ZS2 + 0.5*ZS8 + ZS10	63	2.571	0.70	≤ 1	SE406)	PC

## 2.2 POSOUZENÍ PO PRŮŘEZECH

Průř. č.	Prut č.	Místo x [m]	ZS/KZ/ KV	Návrh		Návrh č.	Označení
9	RO 48.3x4 (za studena)						
	889	0.000	KZ7	0.00	≤ 1	CS100)	Zanedbatelné vnitřní síly
	68	1.800	KZ92	0.06	≤ 1	CS101)	Posouzení průřezu - tah podle 6.2.3
	889	0.800	KZ95	0.08	≤ 1	CS102)	Posouzení průřezu - tlak podle 6.2.4
	63	1.929	ZS1	0.04	≤ 1	CS111)	Posouzení průřezu - ohyb okolo y podle 6.2.5 - třída 1 nebo 2
	63	4.500	KZ82	0.00	≤ 1	CS121)	Posouzení průřezu - smyk ve směru z podle 6.2.6
	63	4.500	KZ82	0.00	≤ 1	CS123)	Posouzení průřezu - smyk ve směru y podle 6.2.6
	63	4.500	KZ82	0.00	≤ 1	CS128)	Posouzení průřezu - výsledná smyková síla podle 6.2.6
	58	0.000	KZ25	0.08	≤ 1	CS131)	Posouzení průřezu - kroucení podle 6.2.7
	63	1.929	ZS1	0.04	≤ 1	CS141)	Posouzení průřezu - ohyb a smyk podle 6.2.5 a 6.2.8
	63	1.929	KZ7	0.06	≤ 1	CS181)	Posouzení průřezu - ohyb, smyk a osová síla podle 6.2.9.1
	63	2.571	ZS9	0.04	≤ 1	CS201)	Posouzení průřezu - ohyb okolo z, smyk a osová síla podle 6.2.9.1
	63	2.571	KZ82	0.02	≤ 1	CS221)	Posouzení průřezu - dvouosý ohyb, smyk a osová síla podle 6.2.10 a 6.2.9
	58	0.000	KZ25	0.09	≤ 1	CS271)	Posouzení průřezu - normálové napětí a kroucení - elastické posouzení
	889	0.800	KZ95	0.10	≤ 1	ST301)	Posouzení stability - vzpěr okolo y podle 6.3.1.1 a 6.3.1.2(4)
	63	4.500	ZS9	0.26	≤ 1	ST302)	Posouzení stability - vzpěr okolo y podle 6.3.1.1 a 6.3.1.2
	889	0.800	KZ95	0.10	≤ 1	ST311)	Posouzení stability - vzpěr okolo z podle 6.3.1.1 a 6.3.1.2(4)
	63	4.500	ZS9	0.26	≤ 1	ST312)	Posouzení stability - vzpěr okolo z podle 6.3.1.1 a 6.3.1.2
	63	4.500	KZ82	0.75	≤ 1	ST364)	Posouzení stability - ohyb a tlak podle 6.3.3, metoda 2
	53	0.000	KZ106	0.00	≤ 1	SE400)	Použitelnost - malé, resp. velmi malé deformace
	63	2.571	KZ187	0.74	≤ 1	SE401)	Použitelnost - kombinace zatížení 'charakteristická' - směr z
	63	2.571	KZ187	0.76	≤ 1	SE406)	Použitelnost - kombinace zatížení 'charakteristická' - směr y

## 1.2 MATERIÁLY

Materiál - č.	Označení materiálu	Modul pruž. E [MPa]	Smykový modul G [MPa]	Poissonův součinitel ν [-]	Mez kluzu f <sub>yk</sub> [MPa]	Max. tloušťka dílce t [mm]
1	Ocel S 355   DIN EN 1993-1-1:2010-12	210000.000	80769.200	0.300	355.000	40.0
	Baustahl S 235				335.000	80.0
					315.000	100.0
					295.000	150.0
					285.000	200.0
					275.000	250.0

## 1.3 PRŮŘEZY

Průř. č.	Materiál - č.	Označení průřezu	Typ průřezu	Max. návrhové využití	Komentář
6	1	RO 355.6x10 (za studena)	Trubka	0.17	

RF-STEEL EC3  
PR11  
Schodišťová trubka

RO 355.6x10 (za s...

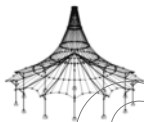
Projekt:

Model: Varianta B

Datum: 08.01.2019

## 2.1 POSOUZENÍ PO ZATĚŽOVACÍCH STAVECH

ZS/KZ/ KV	Označení ZS nebo KZ/KV	Pрут č.	Místo x [m]	Návrh		Návrh č.	Označení
	<b>Posouzení mezního stavu únosnosti</b>						
ZS1	Vlastní tíha	49	0.493	0.02	≤ 1	CS102)	TD
ZS2	Ostatní stálé	49	0.493	0.01	≤ 1	CS102)	TD
ZS3	Užitné plně	84	0.668	0.07	≤ 1	ST364)	TD
ZS4	Užitné poloviční1	116	0.334	0.04	≤ 1	ST364)	TD
ZS5	Užitné poloviční2	67	0.167	0.04	≤ 1	ST364)	TD
ZS6	Sníh plný	206	0.000	0.00	≤ 1	CS102)	TD
ZS7	Sníh poloviční 1	296	0.000	0.00	≤ 1	CS102)	TD
ZS8	Sníh poloviční 2	206	0.000	0.00	≤ 1	CS102)	TD
ZS9	Vítr ve směru X + tlak na přístřešek	248	0.000	0.01	≤ 1	CS181)	TD
ZS10	Vítr ve směru X + sání na přístřešek	248	0.000	0.01	≤ 1	CS181)	TD
KZ1	1.35*ZS1 + 1.35*ZS2	49	0.493	0.04	≤ 1	CS102)	TD
KZ2	1.35*ZS1 + 1.35*ZS2 + 1.5*ZS3	116	0.334	0.15	≤ 1	ST364)	TD
KZ3	1.35*ZS1 + 1.35*ZS2 + 1.5*ZS4	116	0.334	0.11	≤ 1	ST364)	TD
KZ4	1.35*ZS1 + 1.35*ZS2 + 1.5*ZS5	67	0.167	0.11	≤ 1	ST364)	TD
KZ5	1.35*ZS1 + 1.35*ZS2 + 1.5*ZS3 + 0.75*ZS6	116	0.334	0.15	≤ 1	ST364)	TD
KZ6	1.35*ZS1 + 1.35*ZS2 + 1.5*ZS3 + 0.75*ZS7	116	0.334	0.15	≤ 1	ST364)	TD
KZ7	1.35*ZS1 + 1.35*ZS2 + 1.5*ZS3 + 0.75*ZS8	116	0.334	0.15	≤ 1	ST364)	TD
KZ8	1.35*ZS1 + 1.35*ZS2 + 1.5*ZS4 + 0.75*ZS6	116	0.334	0.11	≤ 1	ST364)	TD
KZ9	1.35*ZS1 + 1.35*ZS2 + 1.5*ZS4 + 0.75*ZS7	116	0.334	0.11	≤ 1	ST364)	TD
KZ10	1.35*ZS1 + 1.35*ZS2 + 1.5*ZS4 + 0.75*ZS8	116	0.334	0.11	≤ 1	ST364)	TD
KZ11	1.35*ZS1 + 1.35*ZS2 + 1.5*ZS5 + 0.75*ZS6	67	0.167	0.11	≤ 1	ST364)	TD
KZ12	1.35*ZS1 + 1.35*ZS2 + 1.5*ZS5 + 0.75*ZS7	67	0.167	0.11	≤ 1	ST364)	TD
KZ13	1.35*ZS1 + 1.35*ZS2 + 1.5*ZS5 + 0.75*ZS8	67	0.167	0.11	≤ 1	ST364)	TD
KZ14	1.35*ZS1 + 1.35*ZS2 + 1.5*ZS3 + 0.75*ZS6 + 0.9*ZS9	116	0.334	0.16	≤ 1	ST364)	TD
KZ15	1.35*ZS1 + 1.35*ZS2 + 1.5*ZS3 + 0.75*ZS6 + 0.9*ZS10	116	0.334	0.15	≤ 1	ST364)	TD
KZ16	1.35*ZS1 + 1.35*ZS2 + 1.5*ZS3 + 0.75*ZS7 + 0.9*ZS9	116	0.334	0.16	≤ 1	ST364)	TD
KZ17	1.35*ZS1 + 1.35*ZS2 + 1.5*ZS3 + 0.75*ZS7 + 0.9*ZS10	116	0.334	0.15	≤ 1	ST364)	TD
KZ18	1.35*ZS1 + 1.35*ZS2 + 1.5*ZS3 + 0.75*ZS8 + 0.9*ZS9	116	0.334	0.16	≤ 1	ST364)	TD
KZ19	1.35*ZS1 + 1.35*ZS2 + 1.5*ZS3 + 0.75*ZS8 + 0.9*ZS10	116	0.334	0.15	≤ 1	ST364)	TD
KZ20	1.35*ZS1 + 1.35*ZS2 + 1.5*ZS4 + 0.75*ZS6 + 0.9*ZS9	116	0.334	0.12	≤ 1	ST364)	TD
KZ21	1.35*ZS1 + 1.35*ZS2 + 1.5*ZS4 + 0.75*ZS6 + 0.9*ZS10	116	0.334	0.12	≤ 1	ST364)	TD
KZ22	1.35*ZS1 + 1.35*ZS2 + 1.5*ZS4 + 0.75*ZS7 + 0.9*ZS9	116	0.334	0.12	≤ 1	ST364)	TD
KZ23	1.35*ZS1 + 1.35*ZS2 + 1.5*ZS4 + 0.75*ZS7 + 0.9*ZS10	116	0.334	0.11	≤ 1	ST364)	TD
KZ24	1.35*ZS1 + 1.35*ZS2 + 1.5*ZS4 + 0.75*ZS8 + 0.9*ZS9	116	0.334	0.12	≤ 1	ST364)	TD
KZ25	1.35*ZS1 + 1.35*ZS2 + 1.5*ZS4 + 0.75*ZS8 + 0.9*ZS10	116	0.334	0.11	≤ 1	ST364)	TD
KZ26	1.35*ZS1 + 1.35*ZS2 + 1.5*ZS5 + 0.75*ZS6 + 0.9*ZS9	67	0.167	0.12	≤ 1	ST364)	TD
KZ27	1.35*ZS1 + 1.35*ZS2 + 1.5*ZS5 + 0.75*ZS6 + 0.9*ZS10	67	0.167	0.11	≤ 1	ST364)	TD
KZ28	1.35*ZS1 + 1.35*ZS2 + 1.5*ZS5 + 0.75*ZS7 + 0.9*ZS9	67	0.167	0.12	≤ 1	ST364)	TD
KZ29	1.35*ZS1 + 1.35*ZS2 + 1.5*ZS5 + 0.75*ZS7 + 0.9*ZS10	67	0.167	0.11	≤ 1	ST364)	TD
KZ30	1.35*ZS1 + 1.35*ZS2 + 1.5*ZS5 + 0.75*ZS8 + 0.9*ZS9	67	0.167	0.12	≤ 1	ST364)	TD
KZ31	1.35*ZS1 + 1.35*ZS2 + 1.5*ZS5 + 0.75*ZS8 + 0.9*ZS10	67	0.167	0.11	≤ 1	ST364)	TD
KZ32	1.35*ZS1 + 1.35*ZS2 + 1.5*ZS3 + 0.9*ZS9	116	0.334	0.16	≤ 1	ST364)	TD
KZ33	1.35*ZS1 + 1.35*ZS2 + 1.5*ZS3 + 0.9*ZS10	116	0.334	0.15	≤ 1	ST364)	TD
KZ34	1.35*ZS1 + 1.35*ZS2 + 1.5*ZS4 + 0.9*ZS9	116	0.334	0.12	≤ 1	ST364)	TD
KZ35	1.35*ZS1 + 1.35*ZS2 + 1.5*ZS4 + 0.9*ZS10	116	0.334	0.11	≤ 1	ST364)	TD
KZ36	1.35*ZS1 + 1.35*ZS2 + 1.5*ZS5 + 0.9*ZS9	67	0.167	0.12	≤ 1	ST364)	TD
KZ37	1.35*ZS1 + 1.35*ZS2 + 1.5*ZS5 + 0.9*ZS10	67	0.167	0.11	≤ 1	ST364)	TD
KZ38	1.35*ZS1 + 1.35*ZS2 + 1.5*ZS6	49	0.493	0.04	≤ 1	CS102)	TD
KZ39	1.35*ZS1 + 1.35*ZS2 + 1.5*ZS7	49	0.493	0.04	≤ 1	CS102)	TD
KZ40	1.35*ZS1 + 1.35*ZS2 + 1.5*ZS8	49	0.493	0.04	≤ 1	CS102)	TD
KZ41	1.35*ZS1 + 1.35*ZS2 + 1.05*ZS3 + 1.5*ZS6	116	0.334	0.12	≤ 1	ST364)	TD
KZ42	1.35*ZS1 + 1.35*ZS2 + 1.05*ZS3 + 1.5*ZS7	116	0.334	0.12	≤ 1	ST364)	TD
KZ43	1.35*ZS1 + 1.35*ZS2 + 1.05*ZS3 + 1.5*ZS8	116	0.334	0.12	≤ 1	ST364)	TD
KZ44	1.35*ZS1 + 1.35*ZS2 + 1.05*ZS4 + 1.5*ZS6	116	0.334	0.10	≤ 1	ST364)	TD
KZ45	1.35*ZS1 + 1.35*ZS2 + 1.05*ZS4 + 1.5*ZS7	116	0.334	0.10	≤ 1	ST364)	TD
KZ46	1.35*ZS1 + 1.35*ZS2 + 1.05*ZS4 + 1.5*ZS8	116	0.334	0.10	≤ 1	ST364)	TD
KZ47	1.35*ZS1 + 1.35*ZS2 + 1.05*ZS5 + 1.5*ZS6	67	0.167	0.10	≤ 1	ST364)	TD
KZ48	1.35*ZS1 + 1.35*ZS2 + 1.05*ZS5 + 1.5*ZS7	67	0.167	0.09	≤ 1	ST364)	TD
KZ49	1.35*ZS1 + 1.35*ZS2 + 1.05*ZS5 + 1.5*ZS8	67	0.167	0.09	≤ 1	ST364)	TD
KZ50	1.35*ZS1 + 1.35*ZS2 + 1.05*ZS3 + 1.5*ZS6 + 0.9*ZS9	116	0.334	0.13	≤ 1	ST364)	TD
KZ51	1.35*ZS1 + 1.35*ZS2 + 1.05*ZS3 + 1.5*ZS6 + 0.9*ZS10	116	0.334	0.12	≤ 1	ST364)	TD
KZ52	1.35*ZS1 + 1.35*ZS2 + 1.05*ZS3 + 1.5*ZS7 + 0.9*ZS9	116	0.334	0.13	≤ 1	ST364)	TD
KZ53	1.35*ZS1 + 1.35*ZS2 + 1.05*ZS3 + 1.5*ZS7 + 0.9*ZS10	116	0.334	0.12	≤ 1	ST364)	TD
KZ54	1.35*ZS1 + 1.35*ZS2 + 1.05*ZS3 + 1.5*ZS8 + 0.9*ZS9	116	0.334	0.13	≤ 1	ST364)	TD
KZ55	1.35*ZS1 + 1.35*ZS2 + 1.05*ZS3 + 1.5*ZS8 + 0.9*ZS10	116	0.334	0.12	≤ 1	ST364)	TD
KZ56	1.35*ZS1 + 1.35*ZS2 + 1.05*ZS4 + 1.5*ZS6 + 0.9*ZS9	116	0.334	0.10	≤ 1	ST364)	TD
KZ57	1.35*ZS1 + 1.35*ZS2 + 1.05*ZS4 + 1.5*ZS6 + 0.9*ZS10	116	0.334	0.10	≤ 1	ST364)	TD
KZ58	1.35*ZS1 + 1.35*ZS2 + 1.05*ZS4 + 1.5*ZS7 +	116	0.334	0.10	≤ 1	ST364)	TD



Projekt:

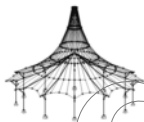
Model: Varianta B

Datum:

08.01.2019

## 2.1 POSOUZENÍ PO ZATĚŽOVACÍCH STAVECH

ZS/KZ/ KV	Označení ZS nebo KZ/KV	Prut č.	Místo x [m]	Návrh		Návrh č.	Označení
KZ59	+ 0.9*ZS9 1.35*ZS1 + 1.35*ZS2 + 1.05*ZS4 + 1.5*ZS7 + 0.9*ZS10	116	0.334	0.10	≤ 1	ST364)	TD
KZ60	1.35*ZS1 + 1.35*ZS2 + 1.05*ZS4 + 1.5*ZS8 + 0.9*ZS9	116	0.334	0.10	≤ 1	ST364)	TD
KZ61	1.35*ZS1 + 1.35*ZS2 + 1.05*ZS4 + 1.5*ZS8 + 0.9*ZS10	116	0.334	0.10	≤ 1	ST364)	TD
KZ62	1.35*ZS1 + 1.35*ZS2 + 1.05*ZS5 + 1.5*ZS6 + 0.9*ZS9	67	0.167	0.10	≤ 1	ST364)	TD
KZ63	1.35*ZS1 + 1.35*ZS2 + 1.05*ZS5 + 1.5*ZS6 + 0.9*ZS10	67	0.167	0.10	≤ 1	ST364)	TD
KZ64	1.35*ZS1 + 1.35*ZS2 + 1.05*ZS5 + 1.5*ZS7 + 0.9*ZS9	67	0.167	0.10	≤ 1	ST364)	TD
KZ65	1.35*ZS1 + 1.35*ZS2 + 1.05*ZS5 + 1.5*ZS7 + 0.9*ZS10	67	0.167	0.09	≤ 1	ST364)	TD
KZ66	1.35*ZS1 + 1.35*ZS2 + 1.05*ZS5 + 1.5*ZS8 + 0.9*ZS9	67	0.167	0.10	≤ 1	ST364)	TD
KZ67	1.35*ZS1 + 1.35*ZS2 + 1.05*ZS5 + 1.5*ZS8 + 0.9*ZS10	67	0.167	0.09	≤ 1	ST364)	TD
KZ68	1.35*ZS1 + 1.35*ZS2 + 1.5*ZS6 + 0.9*ZS9	84	0.668	0.06	≤ 1	ST364)	TD
KZ69	1.35*ZS1 + 1.35*ZS2 + 1.5*ZS6 + 0.9*ZS10	84	0.668	0.05	≤ 1	ST364)	TD
KZ70	1.35*ZS1 + 1.35*ZS2 + 1.5*ZS7 + 0.9*ZS9	84	0.668	0.06	≤ 1	ST364)	TD
KZ71	1.35*ZS1 + 1.35*ZS2 + 1.5*ZS7 + 0.9*ZS10	84	0.668	0.05	≤ 1	ST364)	TD
KZ72	1.35*ZS1 + 1.35*ZS2 + 1.5*ZS8 + 0.9*ZS9	84	0.668	0.06	≤ 1	ST364)	TD
KZ73	1.35*ZS1 + 1.35*ZS2 + 1.5*ZS8 + 0.9*ZS10	84	0.668	0.05	≤ 1	ST364)	TD
KZ74	1.35*ZS1 + 1.35*ZS2 + 1.5*ZS9	346	0.334	0.06	≤ 1	ST364)	TD
KZ75	1.35*ZS1 + 1.35*ZS2 + 1.5*ZS10	84	0.668	0.05	≤ 1	ST364)	TD
KZ76	1.35*ZS1 + 1.35*ZS2 + 1.05*ZS3 + 1.5*ZS9	116	0.334	0.13	≤ 1	ST364)	TD
KZ77	1.35*ZS1 + 1.35*ZS2 + 1.05*ZS3 + 1.5*ZS10	116	0.334	0.12	≤ 1	ST364)	TD
KZ78	1.35*ZS1 + 1.35*ZS2 + 1.05*ZS4 + 1.5*ZS9	116	0.334	0.11	≤ 1	ST364)	TD
KZ79	1.35*ZS1 + 1.35*ZS2 + 1.05*ZS4 + 1.5*ZS10	116	0.334	0.09	≤ 1	ST364)	TD
KZ80	1.35*ZS1 + 1.35*ZS2 + 1.05*ZS5 + 1.5*ZS9	67	0.167	0.10	≤ 1	ST364)	TD
KZ81	1.35*ZS1 + 1.35*ZS2 + 1.05*ZS5 + 1.5*ZS10	67	0.167	0.09	≤ 1	ST364)	TD
KZ82	1.35*ZS1 + 1.35*ZS2 + 1.05*ZS3 + 0.75*ZS6 + 1.5*ZS9	116	0.334	0.13	≤ 1	ST364)	TD
KZ83	1.35*ZS1 + 1.35*ZS2 + 1.05*ZS3 + 0.75*ZS6 + 1.5*ZS10	116	0.334	0.12	≤ 1	ST364)	TD
KZ84	1.35*ZS1 + 1.35*ZS2 + 1.05*ZS3 + 0.75*ZS7 + 1.5*ZS9	116	0.334	0.13	≤ 1	ST364)	TD
KZ85	1.35*ZS1 + 1.35*ZS2 + 1.05*ZS3 + 0.75*ZS7 + 1.5*ZS10	116	0.334	0.12	≤ 1	ST364)	TD
KZ86	1.35*ZS1 + 1.35*ZS2 + 1.05*ZS3 + 0.75*ZS8 + 1.5*ZS9	116	0.334	0.13	≤ 1	ST364)	TD
KZ87	1.35*ZS1 + 1.35*ZS2 + 1.05*ZS3 + 0.75*ZS8 + 1.5*ZS10	116	0.334	0.12	≤ 1	ST364)	TD
KZ88	1.35*ZS1 + 1.35*ZS2 + 1.05*ZS4 + 0.75*ZS6 + 1.5*ZS9	116	0.334	0.11	≤ 1	ST364)	TD
KZ89	1.35*ZS1 + 1.35*ZS2 + 1.05*ZS4 + 0.75*ZS6 + 1.5*ZS10	116	0.334	0.10	≤ 1	ST364)	TD
KZ90	1.35*ZS1 + 1.35*ZS2 + 1.05*ZS4 + 0.75*ZS7 + 1.5*ZS9	116	0.334	0.11	≤ 1	ST364)	TD
KZ91	1.35*ZS1 + 1.35*ZS2 + 1.05*ZS4 + 0.75*ZS7 + 1.5*ZS10	116	0.334	0.09	≤ 1	ST364)	TD
KZ92	1.35*ZS1 + 1.35*ZS2 + 1.05*ZS4 + 0.75*ZS8 + 1.5*ZS9	116	0.334	0.11	≤ 1	ST364)	TD
KZ93	1.35*ZS1 + 1.35*ZS2 + 1.05*ZS4 + 0.75*ZS8 + 1.5*ZS10	116	0.334	0.09	≤ 1	ST364)	TD
KZ94	1.35*ZS1 + 1.35*ZS2 + 1.05*ZS5 + 0.75*ZS6 + 1.5*ZS9	67	0.167	0.11	≤ 1	ST364)	TD
KZ95	1.35*ZS1 + 1.35*ZS2 + 1.05*ZS5 + 0.75*ZS6 + 1.5*ZS10	67	0.167	0.09	≤ 1	ST364)	TD
KZ96	1.35*ZS1 + 1.35*ZS2 + 1.05*ZS5 + 0.75*ZS7 + 1.5*ZS9	67	0.167	0.11	≤ 1	ST364)	TD
KZ97	1.35*ZS1 + 1.35*ZS2 + 1.05*ZS5 + 0.75*ZS7 + 1.5*ZS10	67	0.167	0.09	≤ 1	ST364)	TD
KZ98	1.35*ZS1 + 1.35*ZS2 + 1.05*ZS5 + 0.75*ZS8 + 1.5*ZS9	67	0.167	0.11	≤ 1	ST364)	TD
KZ99	1.35*ZS1 + 1.35*ZS2 + 1.05*ZS5 + 0.75*ZS8 + 1.5*ZS10	67	0.167	0.09	≤ 1	ST364)	TD
KZ100	1.35*ZS1 + 1.35*ZS2 + 0.75*ZS6 + 1.5*ZS9	346	0.334	0.06	≤ 1	ST364)	TD
KZ101	1.35*ZS1 + 1.35*ZS2 + 0.75*ZS6 + 1.5*ZS10	84	0.668	0.05	≤ 1	ST364)	TD
KZ102	1.35*ZS1 + 1.35*ZS2 + 0.75*ZS7 + 1.5*ZS9	346	0.334	0.06	≤ 1	ST364)	TD
KZ103	1.35*ZS1 + 1.35*ZS2 + 0.75*ZS7 + 1.5*ZS10	346	0.334	0.05	≤ 1	ST364)	TD
KZ104	1.35*ZS1 + 1.35*ZS2 + 0.75*ZS8 + 1.5*ZS9	346	0.334	0.06	≤ 1	ST364)	TD
KZ105	1.35*ZS1 + 1.35*ZS2 + 0.75*ZS8 + 1.5*ZS10	84	0.668	0.05	≤ 1	ST364)	TD
KV1	MSÚ (STR/GEO) - stálá / přechodná - rovn. 6.10	116	0.334	0.16	≤ 1	ST364)	TD
Posouzení mezního stavu použitelnosti							
KZ106	ZS1 + ZS2	248	0.000	0.00	≤ 1	SE406)	PC
KZ107	ZS1 + ZS2 + ZS3	1515	3.500	0.01	≤ 1	SE406)	PC
KZ108	ZS1 + ZS2 + ZS4	1515	3.500	0.02	≤ 1	SE406)	PC
KZ109	ZS1 + ZS2 + ZS5	855	0.159	0.01	≤ 1	SE406)	PC
KZ110	ZS1 + ZS2 + ZS3 + 0.5*ZS6	1515	3.500	0.01	≤ 1	SE406)	PC
KZ111	ZS1 + ZS2 + ZS3 + 0.5*ZS7	1515	3.500	0.01	≤ 1	SE406)	PC
KZ112	ZS1 + ZS2 + ZS3 + 0.5*ZS8	1515	3.500	0.01	≤ 1	SE406)	PC
KZ113	ZS1 + ZS2 + ZS4 + 0.5*ZS6	1515	3.500	0.02	≤ 1	SE406)	PC
KZ114	ZS1 + ZS2 + ZS4 + 0.5*ZS7	1515	3.500	0.02	≤ 1	SE406)	PC
KZ115	ZS1 + ZS2 + ZS4 + 0.5*ZS8	1515	3.500	0.02	≤ 1	SE406)	PC
KZ116	ZS1 + ZS2 + ZS5 + 0.5*ZS6	855	0.159	0.01	≤ 1	SE406)	PC
KZ117	ZS1 + ZS2 + ZS5 + 0.5*ZS7	232	0.585	0.01	≤ 1	SE406)	PC
KZ118	ZS1 + ZS2 + ZS5 + 0.5*ZS8	855	0.159	0.01	≤ 1	SE406)	PC
KZ119	ZS1 + ZS2 + ZS3 + 0.5*ZS6 + 0.6*ZS9	1515	3.500	0.10	≤ 1	SE401)	PC
KZ120	ZS1 + ZS2 + ZS3 + 0.5*ZS6 + 0.6*ZS10	1515	2.333	0.10	≤ 1	SE401)	PC



Projekt:

Model: Varianta B

Datum:

08.01.2019

## 2.1 POSOUZENÍ PO ZATĚŽOVACÍCH STAVECH

ZS/KZ/ KV	Označení ZS nebo KZ/KV	Přut č.	Místo x [m]	Návrh		Návrh č.	Označení
KZ121	ZS1 + ZS2 + ZS3 + 0.5*ZS7 + 0.6*ZS9	1515	3.500	0.10	≤ 1	SE401)	PC
KZ122	ZS1 + ZS2 + ZS3 + 0.5*ZS7 + 0.6*ZS10	1515	3.500	0.10	≤ 1	SE401)	PC
KZ123	ZS1 + ZS2 + ZS3 + 0.5*ZS8 + 0.6*ZS9	1515	1.750	0.10	≤ 1	SE401)	PC
KZ124	ZS1 + ZS2 + ZS3 + 0.5*ZS8 + 0.6*ZS10	1515	1.167	0.10	≤ 1	SE401)	PC
KZ125	ZS1 + ZS2 + ZS4 + 0.5*ZS6 + 0.6*ZS9	1515	3.500	0.10	≤ 1	SE401)	PC
KZ126	ZS1 + ZS2 + ZS4 + 0.5*ZS6 + 0.6*ZS10	1515	2.333	0.10	≤ 1	SE401)	PC
KZ127	ZS1 + ZS2 + ZS4 + 0.5*ZS7 + 0.6*ZS9	1515	3.500	0.10	≤ 1	SE401)	PC
KZ128	ZS1 + ZS2 + ZS4 + 0.5*ZS7 + 0.6*ZS10	1515	3.500	0.10	≤ 1	SE401)	PC
KZ129	ZS1 + ZS2 + ZS4 + 0.5*ZS8 + 0.6*ZS9	1515	1.750	0.10	≤ 1	SE401)	PC
KZ130	ZS1 + ZS2 + ZS4 + 0.5*ZS8 + 0.6*ZS10	1515	1.167	0.10	≤ 1	SE401)	PC
KZ131	ZS1 + ZS2 + ZS5 + 0.5*ZS6 + 0.6*ZS9	1515	3.500	0.10	≤ 1	SE401)	PC
KZ132	ZS1 + ZS2 + ZS5 + 0.5*ZS6 + 0.6*ZS10	1515	3.500	0.10	≤ 1	SE401)	PC
KZ133	ZS1 + ZS2 + ZS5 + 0.5*ZS7 + 0.6*ZS9	1515	3.500	0.10	≤ 1	SE401)	PC
KZ134	ZS1 + ZS2 + ZS5 + 0.5*ZS7 + 0.6*ZS10	1515	3.500	0.10	≤ 1	SE401)	PC
KZ135	ZS1 + ZS2 + ZS5 + 0.5*ZS8 + 0.6*ZS9	1515	3.500	0.10	≤ 1	SE401)	PC
KZ136	ZS1 + ZS2 + ZS5 + 0.5*ZS8 + 0.6*ZS10	1515	2.333	0.10	≤ 1	SE401)	PC
KZ137	ZS1 + ZS2 + ZS3 + 0.6*ZS9	1515	3.500	0.10	≤ 1	SE401)	PC
KZ138	ZS1 + ZS2 + ZS3 + 0.6*ZS10	1515	2.333	0.10	≤ 1	SE401)	PC
KZ139	ZS1 + ZS2 + ZS4 + 0.6*ZS9	1515	3.500	0.10	≤ 1	SE401)	PC
KZ140	ZS1 + ZS2 + ZS4 + 0.6*ZS10	1515	2.333	0.10	≤ 1	SE401)	PC
KZ141	ZS1 + ZS2 + ZS5 + 0.6*ZS9	1515	3.500	0.10	≤ 1	SE401)	PC
KZ142	ZS1 + ZS2 + ZS5 + 0.6*ZS10	1515	3.500	0.10	≤ 1	SE401)	PC
KZ143	ZS1 + ZS2 + ZS6	248	0.000	0.00	≤ 1	SE406)	PC
KZ144	ZS1 + ZS2 + ZS7	1515	3.500	0.00	≤ 1	SE401)	PC
KZ145	ZS1 + ZS2 + ZS8	1515	3.500	0.00	≤ 1	SE401)	PC
KZ146	ZS1 + ZS2 + 0.7*ZS3 + ZS6	1515	3.500	0.00	≤ 1	SE406)	PC
KZ147	ZS1 + ZS2 + 0.7*ZS3 + ZS7	1515	3.500	0.00	≤ 1	SE406)	PC
KZ148	ZS1 + ZS2 + 0.7*ZS3 + ZS8	1515	3.500	0.00	≤ 1	SE406)	PC
KZ149	ZS1 + ZS2 + 0.7*ZS4 + ZS6	1515	3.500	0.01	≤ 1	SE406)	PC
KZ150	ZS1 + ZS2 + 0.7*ZS4 + ZS7	1515	3.500	0.01	≤ 1	SE406)	PC
KZ151	ZS1 + ZS2 + 0.7*ZS4 + ZS8	1515	3.500	0.01	≤ 1	SE406)	PC
KZ152	ZS1 + ZS2 + 0.7*ZS5 + ZS6	855	0.159	0.01	≤ 1	SE406)	PC
KZ153	ZS1 + ZS2 + 0.7*ZS5 + ZS7	855	0.159	0.01	≤ 1	SE406)	PC
KZ154	ZS1 + ZS2 + 0.7*ZS5 + ZS8	855	0.159	0.01	≤ 1	SE406)	PC
KZ155	ZS1 + ZS2 + 0.7*ZS3 + ZS6 + 0.6*ZS9	1515	3.500	0.10	≤ 1	SE401)	PC
KZ156	ZS1 + ZS2 + 0.7*ZS3 + ZS6 + 0.6*ZS10	1515	2.917	0.10	≤ 1	SE401)	PC
KZ157	ZS1 + ZS2 + 0.7*ZS3 + ZS7 + 0.6*ZS9	1515	3.500	0.10	≤ 1	SE401)	PC
KZ158	ZS1 + ZS2 + 0.7*ZS3 + ZS7 + 0.6*ZS10	1515	3.500	0.10	≤ 1	SE401)	PC
KZ159	ZS1 + ZS2 + 0.7*ZS3 + ZS8 + 0.6*ZS9	1515	1.167	0.10	≤ 1	SE401)	PC
KZ160	ZS1 + ZS2 + 0.7*ZS3 + ZS8 + 0.6*ZS10	1515	0.583	0.10	≤ 1	SE401)	PC
KZ161	ZS1 + ZS2 + 0.7*ZS4 + ZS6 + 0.6*ZS9	1515	3.500	0.10	≤ 1	SE401)	PC
KZ162	ZS1 + ZS2 + 0.7*ZS4 + ZS6 + 0.6*ZS10	1515	2.917	0.10	≤ 1	SE401)	PC
KZ163	ZS1 + ZS2 + 0.7*ZS4 + ZS7 + 0.6*ZS9	1515	3.500	0.10	≤ 1	SE401)	PC
KZ164	ZS1 + ZS2 + 0.7*ZS4 + ZS7 + 0.6*ZS10	1515	3.500	0.10	≤ 1	SE401)	PC
KZ165	ZS1 + ZS2 + 0.7*ZS4 + ZS8 + 0.6*ZS9	1515	1.167	0.10	≤ 1	SE401)	PC
KZ166	ZS1 + ZS2 + 0.7*ZS4 + ZS8 + 0.6*ZS10	1515	0.583	0.10	≤ 1	SE401)	PC
KZ167	ZS1 + ZS2 + 0.7*ZS5 + ZS6 + 0.6*ZS9	1515	3.500	0.10	≤ 1	SE401)	PC
KZ168	ZS1 + ZS2 + 0.7*ZS5 + ZS6 + 0.6*ZS10	1515	3.500	0.10	≤ 1	SE401)	PC
KZ169	ZS1 + ZS2 + 0.7*ZS5 + ZS7 + 0.6*ZS9	1515	3.500	0.10	≤ 1	SE401)	PC
KZ170	ZS1 + ZS2 + 0.7*ZS5 + ZS7 + 0.6*ZS10	1515	3.500	0.10	≤ 1	SE401)	PC
KZ171	ZS1 + ZS2 + 0.7*ZS5 + ZS8 + 0.6*ZS9	1515	1.750	0.10	≤ 1	SE401)	PC
KZ172	ZS1 + ZS2 + 0.7*ZS5 + ZS8 + 0.6*ZS10	1515	1.167	0.10	≤ 1	SE401)	PC
KZ173	ZS1 + ZS2 + ZS6 + 0.6*ZS9	1515	3.500	0.10	≤ 1	SE401)	PC
KZ174	ZS1 + ZS2 + ZS6 + 0.6*ZS10	1515	3.500	0.10	≤ 1	SE401)	PC
KZ175	ZS1 + ZS2 + ZS7 + 0.6*ZS9	1515	3.500	0.10	≤ 1	SE401)	PC
KZ176	ZS1 + ZS2 + ZS7 + 0.6*ZS10	1515	3.500	0.10	≤ 1	SE401)	PC
KZ177	ZS1 + ZS2 + ZS8 + 0.6*ZS9	1515	1.750	0.10	≤ 1	SE401)	PC
KZ178	ZS1 + ZS2 + ZS8 + 0.6*ZS10	1515	1.167	0.10	≤ 1	SE401)	PC
KZ179	ZS1 + ZS2 + ZS9	1515	3.500	0.17	≤ 1	SE401)	PC
KZ180	ZS1 + ZS2 + ZS10	1515	3.500	0.16	≤ 1	SE401)	PC
KZ181	ZS1 + ZS2 + 0.7*ZS3 + ZS9	1515	3.500	0.17	≤ 1	SE401)	PC
KZ182	ZS1 + ZS2 + 0.7*ZS3 + ZS10	1515	3.500	0.16	≤ 1	SE401)	PC
KZ183	ZS1 + ZS2 + 0.7*ZS4 + ZS9	1515	3.500	0.17	≤ 1	SE401)	PC
KZ184	ZS1 + ZS2 + 0.7*ZS4 + ZS10	1515	3.500	0.16	≤ 1	SE401)	PC
KZ185	ZS1 + ZS2 + 0.7*ZS5 + ZS9	1515	3.500	0.17	≤ 1	SE401)	PC
KZ186	ZS1 + ZS2 + 0.7*ZS5 + ZS10	1515	3.500	0.17	≤ 1	SE401)	PC
KZ187	ZS1 + ZS2 + 0.7*ZS3 + 0.5*ZS6 + ZS9	1515	3.500	0.17	≤ 1	SE401)	PC
KZ188	ZS1 + ZS2 + 0.7*ZS3 + 0.5*ZS6 + ZS10	1515	3.500	0.16	≤ 1	SE401)	PC
KZ189	ZS1 + ZS2 + 0.7*ZS3 + 0.5*ZS7 + ZS9	1515	3.500	0.17	≤ 1	SE401)	PC
KZ190	ZS1 + ZS2 + 0.7*ZS3 + 0.5*ZS7 + ZS10	1515	3.500	0.17	≤ 1	SE401)	PC
KZ191	ZS1 + ZS2 + 0.7*ZS3 + 0.5*ZS8 + ZS9	1515	3.500	0.17	≤ 1	SE401)	PC
KZ192	ZS1 + ZS2 + 0.7*ZS3 + 0.5*ZS8 + ZS10	1515	2.333	0.16	≤ 1	SE401)	PC
KZ193	ZS1 + ZS2 + 0.7*ZS4 + 0.5*ZS6 + ZS9	1515	3.500	0.17	≤ 1	SE401)	PC
KZ194	ZS1 + ZS2 + 0.7*ZS4 + 0.5*ZS6 + ZS10	1515	3.500	0.16	≤ 1	SE401)	PC
KZ195	ZS1 + ZS2 + 0.7*ZS4 + 0.5*ZS7 + ZS9	1515	3.500	0.17	≤ 1	SE401)	PC
KZ196	ZS1 + ZS2 + 0.7*ZS4 + 0.5*ZS7 + ZS10	1515	3.500	0.16	≤ 1	SE401)	PC
KZ197	ZS1 + ZS2 + 0.7*ZS4 + 0.5*ZS8 + ZS9	1515	3.500	0.17	≤ 1	SE401)	PC
KZ198	ZS1 + ZS2 + 0.7*ZS4 + 0.5*ZS8 + ZS10	1515	2.333	0.16	≤ 1	SE401)	PC
KZ199	ZS1 + ZS2 + 0.7*ZS5 + 0.5*ZS6 + ZS9	1515	3.500	0.17	≤ 1	SE401)	PC
KZ200	ZS1 + ZS2 + 0.7*ZS5 + 0.5*ZS6 + ZS10	1515	3.500	0.17	≤ 1	SE401)	PC
KZ201	ZS1 + ZS2 + 0.7*ZS5 + 0.5*ZS7 + ZS9	1515	3.500	0.17	≤ 1	SE401)	PC
KZ202	ZS1 + ZS2 + 0.7*ZS5 + 0.5*ZS7 + ZS10	1515	3.500	0.17	≤ 1	SE401)	PC
KZ203	ZS1 + ZS2 + 0.7*ZS5 + 0.5*ZS8 + ZS9	1515	3.500	0.17	≤ 1	SE401)	PC
KZ204	ZS1 + ZS2 + 0.7*ZS5 + 0.5*ZS8 + ZS10	1515	3.500	0.16	≤ 1	SE401)	PC
KZ205	ZS1 + ZS2 + 0.5*ZS6 + ZS9	1515	3.500	0.17	≤ 1	SE401)	PC
KZ206	ZS1 + ZS2 + 0.5*ZS6 + ZS10	1515	3.500	0.16	≤ 1	SE401)	PC
KZ207	ZS1 + ZS2 + 0.5*ZS7 + ZS9	1515	3.500	0.17	≤ 1	SE401)	PC
KZ208	ZS1 + ZS2 + 0.5*ZS7 + ZS10	1515	3.500	0.16	≤ 1	SE401)	PC
KZ209	ZS1 + ZS2 + 0.5*ZS8 + ZS9	1515	3.500	0.17	≤ 1	SE401)	PC
KZ210	ZS1 + ZS2 + 0.5*ZS8 + ZS10	1515	3.500	0.16	≤ 1	SE401)	PC

Projekt:

Model: Varianta B

Datum: 08.01.2019

## 2.2 POSOUZENÍ PO PRŮŘEZECH

Průř. č.	Prut č.	Místo x [m]	ZS/KZ/KV	Návrh	Návrh č.	Označení
6	RO 355.6x10 (za studena)					
	206	0.835	ZS1	0.00	≤ 1	CS100) Zanedbatelné vnitřní síly
	1515	3.500	KZ77	0.01	≤ 1	CS101) Posouzení průřezu - tah podle 6.2.3
	49	0.493	KZ14	0.11	≤ 1	CS102) Posouzení průřezu - tlak podle 6.2.4
	264	0.000	KZ75	0.02	≤ 1	CS111) Posouzení průřezu - ohyb okolo y podle 6.2.5 - třída 1 nebo 2
	246	0.000	KZ103	0.01	≤ 1	CS116) Posouzení průřezu - ohyb okolo z podle 6.2.5 - třída 1 nebo 2
	520	0.668	KZ18	0.02	≤ 1	CS121) Posouzení průřezu - smyk ve směru z podle 6.2.6
	512	0.000	KZ18	0.03	≤ 1	CS123) Posouzení průřezu - smyk ve směru y podle 6.2.6
	512	0.000	KZ16	0.03	≤ 1	CS128) Posouzení průřezu - výsledná smyková síla podle 6.2.6
	264	0.000	KZ75	0.02	≤ 1	CS141) Posouzení průřezu - ohyb a smyk podle 6.2.5 a 6.2.8
	246	0.000	KZ103	0.01	≤ 1	CS151) Posouzení průřezu - ohyb okolo z a smyk podle 6.2.5 a 6.2.8
	248	0.000	KZ93	0.00	≤ 1	CS161) Posouzení průřezu - dvouosý ohyb a smyk podle 6.2.6, 6.2.7 a 6.2.9
	55	0.000	KZ94	0.04	≤ 1	CS181) Posouzení průřezu - ohyb, smyk a osová síla podle 6.2.9.1
	346	0.000	KZ14	0.05	≤ 1	CS201) Posouzení průřezu - ohyb okolo z, smyk a osová síla podle 6.2.9.1
	84	0.000	KZ14	0.00	≤ 1	CS221) Posouzení průřezu - dvouosý ohyb, smyk a osová síla podle 6.2.10 a 6.2.9
	49	0.493	KZ14	0.11	≤ 1	ST301) Posouzení stability - vzpěr okolo y podle 6.3.1.1 a 6.3.1.2(4)
	49	0.493	KZ14	0.11	≤ 1	ST311) Posouzení stability - vzpěr okolo z podle 6.3.1.1 a 6.3.1.2(4)
	116	0.334	KZ14	0.16	≤ 1	ST364) Posouzení stability - ohyb a tlak podle 6.3.3, metoda 2
	49	0.000	KZ106	0.00	≤ 1	SE400) Použitelnost - malé, resp. velmi malé deformace
	1515	3.500	KZ201	0.17	≤ 1	SE401) Použitelnost - kombinace zatížení 'charakteristická' - směr z
	1515	3.500	KZ125	0.02	≤ 1	SE406) Použitelnost - kombinace zatížení 'charakteristická' - směr y

## 1.2 MATERIÁLY

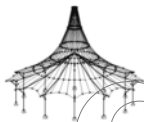
Materiál - č.	Označení materiálu	Modul pruž. E [MPa]	Smykový modul G [MPa]	Poissonův součinitel ν [-]	Mez kluzu f <sub>yk</sub> [MPa]	Max. tloušťka dílce t [mm]
1	Ocel S 355   DIN EN 1993-1-1:2010-12	210000.000	80769.200	0.300	355.000	40.0
	Baustahl S 235				335.000	80.0
					315.000	100.0
					295.000	150.0
					285.000	200.0
					275.000	250.0

## 1.3 PRŮŘEZY

Průř. č.	Materiál - č.	Označení průřezu	Typ průřezu	Max. návrhové využití	Komentář
3	1	Tyč 12	Tyčová ocel	0.81	

## 2.1 POSOUZENÍ PO ZATĚŽOVACÍCH STAVECH

ZS/KZ/KV	Označení ZS nebo KZ/KV	Prut č.	Místo x [m]	Návrh	Návrh č.	Označení
Posouzení mezního stavu únosnosti						
ZS1	Vlastní tíha	1569	4.873	0.01	≤ 1	CS101) TD
ZS2	Ostatní stálé	265	0.000	0.00	≤ 1	CS101) TD
ZS3	Užitné plné	965	0.000	0.03	≤ 1	CS101) TD
ZS4	Užitné poloviční1	1567	0.000	0.07	≤ 1	CS101) TD
ZS5	Užitné poloviční2	1568	0.000	0.06	≤ 1	CS101) TD
ZS6	Sníh plný	154	0.000	0.00	≤ 1	CS100) TD
ZS7	Sníh poloviční 1	1572	0.000	0.01	≤ 1	CS101) TD
ZS8	Sníh poloviční 2	275	0.000	0.01	≤ 1	CS101) TD
ZS9	Vítr ve směru X + tlak na přístřešek	272	0.000	0.50	≤ 1	CS101) TD
ZS10	Vítr ve směru X + sání na přístřešek	272	0.000	0.50	≤ 1	CS101) TD
KZ1	1.35*ZS1 + 1.35*ZS2	1572	0.000	0.02	≤ 1	CS101) TD
KZ2	1.35*ZS1 + 1.35*ZS2 + 1.5*ZS3	272	4.873	0.06	≤ 1	CS101) TD
KZ3	1.35*ZS1 + 1.35*ZS2 + 1.5*ZS4	1567	0.000	0.11	≤ 1	CS101) TD
KZ4	1.35*ZS1 + 1.35*ZS2 + 1.5*ZS5	1568	0.000	0.09	≤ 1	CS101) TD
KZ5	1.35*ZS1 + 1.35*ZS2 + 1.5*ZS3 + 0.75*ZS6	272	4.873	0.06	≤ 1	CS101) TD
KZ6	1.35*ZS1 + 1.35*ZS2 + 1.5*ZS3 + 0.75*ZS7	1555	6.225	0.06	≤ 1	CS101) TD
KZ7	1.35*ZS1 + 1.35*ZS2 + 1.5*ZS3 + 0.75*ZS8	272	4.873	0.06	≤ 1	CS101) TD
KZ8	1.35*ZS1 + 1.35*ZS2 + 1.5*ZS4 + 0.75*ZS6	1567	0.000	0.11	≤ 1	CS101) TD
KZ9	1.35*ZS1 + 1.35*ZS2 + 1.5*ZS4 + 0.75*ZS7	1567	0.000	0.11	≤ 1	CS101) TD
KZ10	1.35*ZS1 + 1.35*ZS2 + 1.5*ZS4 + 0.75*ZS8	1567	0.000	0.11	≤ 1	CS101) TD
KZ11	1.35*ZS1 + 1.35*ZS2 + 1.5*ZS5 + 0.75*ZS6	1568	0.000	0.09	≤ 1	CS101) TD
KZ12	1.35*ZS1 + 1.35*ZS2 + 1.5*ZS5 + 0.75*ZS7	1568	0.000	0.09	≤ 1	CS101) TD
KZ13	1.35*ZS1 + 1.35*ZS2 + 1.5*ZS5 + 0.75*ZS8	1568	0.000	0.09	≤ 1	CS101) TD
KZ14	1.35*ZS1 + 1.35*ZS2 + 1.5*ZS3 + 0.75*ZS6 + 0.9*ZS9	272	4.873	0.52	≤ 1	CS101) TD
KZ15	1.35*ZS1 + 1.35*ZS2 + 1.5*ZS3 + 0.75*ZS6 + 0.9*ZS10	272	4.873	0.51	≤ 1	CS101) TD
KZ16	1.35*ZS1 + 1.35*ZS2 + 1.5*ZS3 + 0.75*ZS7 + 0.9*ZS9	272	4.873	0.52	≤ 1	CS101) TD
KZ17	1.35*ZS1 + 1.35*ZS2 + 1.5*ZS3 + 0.75*ZS7 + 0.9*ZS10	272	4.873	0.51	≤ 1	CS101) TD



Projekt:

Model: Varianta B

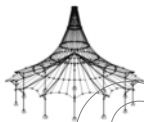
Datum:

08.01.2019

## 2.1 POSOUZENÍ PO ZATĚŽOVACÍCH STAVECH

ZS/KZ/ KV	Označení ZS nebo KZ/KV	Pрут č.	Místo x [m]	Návrh		Návrh č.	Označení
KZ18	+ 0.9*ZS10 1.35*ZS1 + 1.35*ZS2 + 1.5*ZS3 + 0.75*ZS8 + 0.9*ZS9	272	4.873	0.52	≤ 1	CS101)	TD
KZ19	1.35*ZS1 + 1.35*ZS2 + 1.5*ZS3 + 0.75*ZS8 + 0.9*ZS10	272	4.873	0.52	≤ 1	CS101)	TD
KZ20	1.35*ZS1 + 1.35*ZS2 + 1.5*ZS4 + 0.75*ZS6 + 0.9*ZS9	272	4.873	0.48	≤ 1	CS101)	TD
KZ21	1.35*ZS1 + 1.35*ZS2 + 1.5*ZS4 + 0.75*ZS6 + 0.9*ZS10	272	4.873	0.48	≤ 1	CS101)	TD
KZ22	1.35*ZS1 + 1.35*ZS2 + 1.5*ZS4 + 0.75*ZS7 + 0.9*ZS9	272	4.873	0.48	≤ 1	CS101)	TD
KZ23	1.35*ZS1 + 1.35*ZS2 + 1.5*ZS4 + 0.75*ZS7 + 0.9*ZS10	272	4.873	0.47	≤ 1	CS101)	TD
KZ24	1.35*ZS1 + 1.35*ZS2 + 1.5*ZS4 + 0.75*ZS8 + 0.9*ZS9	272	4.873	0.49	≤ 1	CS101)	TD
KZ25	1.35*ZS1 + 1.35*ZS2 + 1.5*ZS4 + 0.75*ZS8 + 0.9*ZS10	272	4.873	0.48	≤ 1	CS101)	TD
KZ26	1.35*ZS1 + 1.35*ZS2 + 1.5*ZS5 + 0.75*ZS6 + 0.9*ZS9	272	4.873	0.50	≤ 1	CS101)	TD
KZ27	1.35*ZS1 + 1.35*ZS2 + 1.5*ZS5 + 0.75*ZS6 + 0.9*ZS10	272	4.873	0.49	≤ 1	CS101)	TD
KZ28	1.35*ZS1 + 1.35*ZS2 + 1.5*ZS5 + 0.75*ZS7 + 0.9*ZS9	272	4.873	0.50	≤ 1	CS101)	TD
KZ29	1.35*ZS1 + 1.35*ZS2 + 1.5*ZS5 + 0.75*ZS7 + 0.9*ZS10	272	4.873	0.49	≤ 1	CS101)	TD
KZ30	1.35*ZS1 + 1.35*ZS2 + 1.5*ZS5 + 0.75*ZS8 + 0.9*ZS9	272	4.873	0.50	≤ 1	CS101)	TD
KZ31	1.35*ZS1 + 1.35*ZS2 + 1.5*ZS5 + 0.75*ZS8 + 0.9*ZS10	272	4.873	0.50	≤ 1	CS101)	TD
KZ32	1.35*ZS1 + 1.35*ZS2 + 1.5*ZS3 + 0.9*ZS9	272	4.873	0.52	≤ 1	CS101)	TD
KZ33	1.35*ZS1 + 1.35*ZS2 + 1.5*ZS3 + 0.9*ZS10	272	4.873	0.51	≤ 1	CS101)	TD
KZ34	1.35*ZS1 + 1.35*ZS2 + 1.5*ZS4 + 0.9*ZS9	272	4.873	0.48	≤ 1	CS101)	TD
KZ35	1.35*ZS1 + 1.35*ZS2 + 1.5*ZS4 + 0.9*ZS10	272	4.873	0.48	≤ 1	CS101)	TD
KZ36	1.35*ZS1 + 1.35*ZS2 + 1.5*ZS5 + 0.9*ZS9	272	4.873	0.50	≤ 1	CS101)	TD
KZ37	1.35*ZS1 + 1.35*ZS2 + 1.5*ZS5 + 0.9*ZS10	272	4.873	0.49	≤ 1	CS101)	TD
KZ38	1.35*ZS1 + 1.35*ZS2 + 1.5*ZS6	1572	0.000	0.02	≤ 1	CS101)	TD
KZ39	1.35*ZS1 + 1.35*ZS2 + 1.5*ZS7	1572	0.000	0.02	≤ 1	CS101)	TD
KZ40	1.35*ZS1 + 1.35*ZS2 + 1.5*ZS8	275	4.873	0.02	≤ 1	CS101)	TD
KZ41	1.35*ZS1 + 1.35*ZS2 + 1.05*ZS3 + 1.5*ZS6	272	4.873	0.04	≤ 1	CS101)	TD
KZ42	1.35*ZS1 + 1.35*ZS2 + 1.05*ZS3 + 1.5*ZS7	1555	6.225	0.04	≤ 1	CS101)	TD
KZ43	1.35*ZS1 + 1.35*ZS2 + 1.05*ZS3 + 1.5*ZS8	272	4.873	0.05	≤ 1	CS101)	TD
KZ44	1.35*ZS1 + 1.35*ZS2 + 1.05*ZS4 + 1.5*ZS6	1567	0.000	0.08	≤ 1	CS101)	TD
KZ45	1.35*ZS1 + 1.35*ZS2 + 1.05*ZS4 + 1.5*ZS7	1567	0.000	0.08	≤ 1	CS101)	TD
KZ46	1.35*ZS1 + 1.35*ZS2 + 1.05*ZS4 + 1.5*ZS8	1567	0.000	0.08	≤ 1	CS101)	TD
KZ47	1.35*ZS1 + 1.35*ZS2 + 1.05*ZS5 + 1.5*ZS6	1568	0.000	0.06	≤ 1	CS101)	TD
KZ48	1.35*ZS1 + 1.35*ZS2 + 1.05*ZS5 + 1.5*ZS7	1568	0.000	0.06	≤ 1	CS101)	TD
KZ49	1.35*ZS1 + 1.35*ZS2 + 1.05*ZS5 + 1.5*ZS8	1568	0.000	0.06	≤ 1	CS101)	TD
KZ50	1.35*ZS1 + 1.35*ZS2 + 1.05*ZS3 + 1.5*ZS6 + 0.9*ZS9	272	4.873	0.50	≤ 1	CS101)	TD
KZ51	1.35*ZS1 + 1.35*ZS2 + 1.05*ZS3 + 1.5*ZS6 + 0.9*ZS10	272	4.873	0.50	≤ 1	CS101)	TD
KZ52	1.35*ZS1 + 1.35*ZS2 + 1.05*ZS3 + 1.5*ZS7 + 0.9*ZS9	272	4.873	0.49	≤ 1	CS101)	TD
KZ53	1.35*ZS1 + 1.35*ZS2 + 1.05*ZS3 + 1.5*ZS7 + 0.9*ZS10	272	4.873	0.51	≤ 1	CS101)	TD
KZ54	1.35*ZS1 + 1.35*ZS2 + 1.05*ZS3 + 1.5*ZS8 + 0.9*ZS9	272	4.873	0.50	≤ 1	CS101)	TD
KZ55	1.35*ZS1 + 1.35*ZS2 + 1.05*ZS3 + 1.5*ZS8 + 0.9*ZS10	272	4.873	0.48	≤ 1	CS101)	TD
KZ56	1.35*ZS1 + 1.35*ZS2 + 1.05*ZS4 + 1.5*ZS6 + 0.9*ZS9	272	4.873	0.47	≤ 1	CS101)	TD
KZ57	1.35*ZS1 + 1.35*ZS2 + 1.05*ZS4 + 1.5*ZS6 + 0.9*ZS10	272	4.873	0.47	≤ 1	CS101)	TD
KZ58	1.35*ZS1 + 1.35*ZS2 + 1.05*ZS4 + 1.5*ZS7 + 0.9*ZS9	272	4.873	0.46	≤ 1	CS101)	TD
KZ59	1.35*ZS1 + 1.35*ZS2 + 1.05*ZS4 + 1.5*ZS7 + 0.9*ZS10	272	4.873	0.48	≤ 1	CS101)	TD
KZ60	1.35*ZS1 + 1.35*ZS2 + 1.05*ZS4 + 1.5*ZS8 + 0.9*ZS9	272	4.873	0.48	≤ 1	CS101)	TD
KZ61	1.35*ZS1 + 1.35*ZS2 + 1.05*ZS4 + 1.5*ZS8 + 0.9*ZS10	272	4.873	0.49	≤ 1	CS101)	TD
KZ62	1.35*ZS1 + 1.35*ZS2 + 1.05*ZS5 + 1.5*ZS6 + 0.9*ZS9	272	4.873	0.48	≤ 1	CS101)	TD
KZ63	1.35*ZS1 + 1.35*ZS2 + 1.05*ZS5 + 1.5*ZS6 + 0.9*ZS10	272	4.873	0.48	≤ 1	CS101)	TD
KZ64	1.35*ZS1 + 1.35*ZS2 + 1.05*ZS5 + 1.5*ZS7 + 0.9*ZS9	272	4.873	0.48	≤ 1	CS101)	TD
KZ65	1.35*ZS1 + 1.35*ZS2 + 1.05*ZS5 + 1.5*ZS7 + 0.9*ZS10	272	4.873	0.50	≤ 1	CS101)	TD
KZ66	1.35*ZS1 + 1.35*ZS2 + 1.05*ZS5 + 1.5*ZS8 + 0.9*ZS9	272	4.873	0.49	≤ 1	CS101)	TD
KZ67	1.35*ZS1 + 1.35*ZS2 + 1.05*ZS5 + 1.5*ZS8 + 0.9*ZS10	272	4.873	0.46	≤ 1	CS101)	TD
KZ68	1.35*ZS1 + 1.35*ZS2 + 1.5*ZS6 + 0.9*ZS9	272	4.873	0.46	≤ 1	CS101)	TD
KZ69	1.35*ZS1 + 1.35*ZS2 + 1.5*ZS6 + 0.9*ZS10	272	4.873	0.46	≤ 1	CS101)	TD
KZ70	1.35*ZS1 + 1.35*ZS2 + 1.5*ZS7 + 0.9*ZS9	272	4.873	0.45	≤ 1	CS101)	TD
KZ71	1.35*ZS1 + 1.35*ZS2 + 1.5*ZS7 + 0.9*ZS10	272	4.873	0.47	≤ 1	CS101)	TD
KZ72	1.35*ZS1 + 1.35*ZS2 + 1.5*ZS8 + 0.9*ZS9	272	4.873	0.46	≤ 1	CS101)	TD
KZ73	1.35*ZS1 + 1.35*ZS2 + 1.5*ZS8 + 0.9*ZS10	272	4.873	0.77	≤ 1	CS101)	TD
KZ74	1.35*ZS1 + 1.35*ZS2 + 1.5*ZS9	272	4.873	0.76	≤ 1	CS101)	TD
KZ75	1.35*ZS1 + 1.35*ZS2 + 1.5*ZS10	272	4.873	0.81	≤ 1	CS101)	TD
KZ76	1.35*ZS1 + 1.35*ZS2 + 1.05*ZS3 + 1.5*ZS9	272	4.873	0.80	≤ 1	CS101)	TD
KZ77	1.35*ZS1 + 1.35*ZS2 + 1.05*ZS3 + 1.5*ZS10	272	4.873	0.78	≤ 1	CS101)	TD
KZ78	1.35*ZS1 + 1.35*ZS2 + 1.05*ZS4 + 1.5*ZS9	272	4.873				





Projekt:

Model: Varianta B

Datum: 08.01.2019

## 2.1 POSOUZENÍ PO ZATĚŽOVACÍCH STAVECH

ZS/KZ/ KV	Označení ZS nebo KZ/KV	Prut č.	Místo x [m]	Návrh		Návrh č.	Označení
KZ79	1.35*ZS1 + 1.35*ZS2 + 1.05*ZS4 + 1.5*ZS10	272	4.873	0.77	≤ 1	CS101)	TD
KZ80	1.35*ZS1 + 1.35*ZS2 + 1.05*ZS5 + 1.5*ZS9	272	4.873	0.79	≤ 1	CS101)	TD
KZ81	1.35*ZS1 + 1.35*ZS2 + 1.05*ZS5 + 1.5*ZS10	272	4.873	0.78	≤ 1	CS101)	TD
KZ82	1.35*ZS1 + 1.35*ZS2 + 1.05*ZS3 + 0.75*ZS6 + 1.5*ZS9	272	4.873	0.81	≤ 1	CS101)	TD
KZ83	1.35*ZS1 + 1.35*ZS2 + 1.05*ZS3 + 0.75*ZS6 + 1.5*ZS10	272	4.873	0.80	≤ 1	CS101)	TD
KZ84	1.35*ZS1 + 1.35*ZS2 + 1.05*ZS3 + 0.75*ZS7 + 1.5*ZS9	272	4.873	0.81	≤ 1	CS101)	TD
KZ85	1.35*ZS1 + 1.35*ZS2 + 1.05*ZS3 + 0.75*ZS7 + 1.5*ZS10	272	4.873	0.80	≤ 1	CS101)	TD
KZ86	1.35*ZS1 + 1.35*ZS2 + 1.05*ZS3 + 0.75*ZS8 + 1.5*ZS9	272	4.873	0.81	≤ 1	CS101)	TD
KZ87	1.35*ZS1 + 1.35*ZS2 + 1.05*ZS3 + 0.75*ZS8 + 1.5*ZS10	272	4.873	0.80	≤ 1	CS101)	TD
KZ88	1.35*ZS1 + 1.35*ZS2 + 1.05*ZS4 + 0.75*ZS6 + 1.5*ZS9	272	4.873	0.78	≤ 1	CS101)	TD
KZ89	1.35*ZS1 + 1.35*ZS2 + 1.05*ZS4 + 0.75*ZS6 + 1.5*ZS10	272	4.873	0.77	≤ 1	CS101)	TD
KZ90	1.35*ZS1 + 1.35*ZS2 + 1.05*ZS4 + 0.75*ZS7 + 1.5*ZS9	272	4.873	0.78	≤ 1	CS101)	TD
KZ91	1.35*ZS1 + 1.35*ZS2 + 1.05*ZS4 + 0.75*ZS7 + 1.5*ZS10	272	4.873	0.77	≤ 1	CS101)	TD
KZ92	1.35*ZS1 + 1.35*ZS2 + 1.05*ZS4 + 0.75*ZS8 + 1.5*ZS9	272	4.873	0.79	≤ 1	CS101)	TD
KZ93	1.35*ZS1 + 1.35*ZS2 + 1.05*ZS4 + 0.75*ZS8 + 1.5*ZS10	272	4.873	0.77	≤ 1	CS101)	TD
KZ94	1.35*ZS1 + 1.35*ZS2 + 1.05*ZS5 + 0.75*ZS6 + 1.5*ZS9	272	4.873	0.80	≤ 1	CS101)	TD
KZ95	1.35*ZS1 + 1.35*ZS2 + 1.05*ZS5 + 0.75*ZS6 + 1.5*ZS10	272	4.873	0.78	≤ 1	CS101)	TD
KZ96	1.35*ZS1 + 1.35*ZS2 + 1.05*ZS5 + 0.75*ZS7 + 1.5*ZS9	272	4.873	0.79	≤ 1	CS101)	TD
KZ97	1.35*ZS1 + 1.35*ZS2 + 1.05*ZS5 + 0.75*ZS7 + 1.5*ZS10	272	4.873	0.78	≤ 1	CS101)	TD
KZ98	1.35*ZS1 + 1.35*ZS2 + 1.05*ZS5 + 0.75*ZS8 + 1.5*ZS9	272	4.873	0.80	≤ 1	CS101)	TD
KZ99	1.35*ZS1 + 1.35*ZS2 + 1.05*ZS5 + 0.75*ZS8 + 1.5*ZS10	272	4.873	0.79	≤ 1	CS101)	TD
KZ100	1.35*ZS1 + 1.35*ZS2 + 0.75*ZS6 + 1.5*ZS9	272	4.873	0.77	≤ 1	CS101)	TD
KZ101	1.35*ZS1 + 1.35*ZS2 + 0.75*ZS6 + 1.5*ZS10	272	4.873	0.76	≤ 1	CS101)	TD
KZ102	1.35*ZS1 + 1.35*ZS2 + 0.75*ZS7 + 1.5*ZS9	272	4.873	0.76	≤ 1	CS101)	TD
KZ103	1.35*ZS1 + 1.35*ZS2 + 0.75*ZS7 + 1.5*ZS10	272	4.873	0.75	≤ 1	CS101)	TD
KZ104	1.35*ZS1 + 1.35*ZS2 + 0.75*ZS8 + 1.5*ZS9	272	4.873	0.77	≤ 1	CS101)	TD
KZ105	1.35*ZS1 + 1.35*ZS2 + 0.75*ZS8 + 1.5*ZS10	272	4.873	0.76	≤ 1	CS101)	TD
KV1	MSÚ (STR/GEO) - stálá / přechodná - rovní 6.10	272	4.873	0.81	≤ 1	CS101)	TD

## 2.2 POSOUZENÍ PO PRŮŘEZECH

Průř. č.	Prut č.	Místo x [m]	ZS/KZ/ KV	Návrh		Návrh č.	Označení
3	<b>Tyč 12</b>						
	208	4.873	KZ8	0.00	≤ 1	CS100)	Zanedbatelné vnitřní síly
	272	4.873	KZ86	0.81	≤ 1	CS101)	Posouzení průřezu - tah podle 6.2.3